



PD 14425



003096971

COBISS •

Univerzitet u Beogradu  
Građevinski fakultet

Ivan Aleksić

PRILOG OPTIMIZACIJI  
GEODETSKIH MREŽA

-Doktorski rad-

Beograd  
1991















72 14425

ARHIV  
UNIVERZITET U BEOGRADU  
FIZIKALNO MATEMATIČKI FAKULTET  
1991

UNIVERZITET U BEOGRADU - GRAĐEVINSKI FAKULTET

Mr. Ivan Aleksić, dipl.inž.

PRILOG OPTIMIZACIJI GEODETSKIH MREŽA

- DOKTORSKI RAD -



BEOGRAD, Decembra 1991.



УНИВЕРЗИТЕТСКА БИБЛИОТЕКА  
"СВЕТОСЛАВ МАРКОВИЋ" - БЕОГРАД

№ 96971

26441 SP

UNIVERSITET U BEOGRADU - GRAĐEVINARSKI FAKULTET

Dr. Ivan Kikić, dipl. ing.

PRILOG OPTIMIZACIJI GEOMETRIJSKIH FAKTA



BEOGRAD, Decembar 1981.



## SADRŽAJ

PREDGOVOR	
NOTACIJA	2
1. UVOD	5
2. GENERALIZOVANE INVERZIJE MATRICA	9
2.1. Matrice potpunog ranga	9
2.2. Matrice nepotpunog ranga	11
2.3. Rešenja sistema jednačina pomoću G inverzije	11
3. FUNKCIONALNI I STOHAŠTIČKI MODELI IZRAVNANJA GEODETSKIH MREŽA	15
3.1. Matematički model posrednog izravnjanja	15
3.2. Matematički model uslovnog izravnjanja	17
3.3. Ocene parametara	18
3.4. Problem datuma i invarijantne veličine	21
4. POUZDANOST GEODETSKIH MREŽA	29
4.1. Uticaj grubih grešaka na vektor ocena	30
4.2. Uticaj grubih grešaka na popravke	31
4.3. Uticaj grubih grešaka na izravnate vrednosti opažanja	34
4.4. Uticaj grubih grešaka na ocene parametara	36
4.5. Statističko testiranje hipoteza	38
4.6. Unutrašnja i spoljašnja pouzdanost	44
5. OGRANIČENJA TEORIJE POUZDANOSTI	47
5.1. Elementarni popravke	47
5.2. Problemi identifikacije grubih grešaka	49
5.3. Prosta aritmetička sredina	62
5.4. Opšta aritmetička sredina	64
6. OPTIMIZACIJA OPAŽANJA U GEODETSKIM MREŽAMA	67
6.1. Savremeni ciljevi optimizacije	68
6.2. Kriterijumi tačnosti i kriterijum matrice	71
6.3. Kriterijumi pouzdanosti	77

7. SEKVENCIJALNI MODEL OPTIMIZACIJE OPAŽANJA	79
7.1 Model baziran na tačnosti	79
7.2. Razvoj integralnog modela	79
7.3. Optimizacija bazirana na modelu uslovnog izravnjanja	82
7.4. Primena u 1-D mrežama	97
7.5 Primena u 2-D mrežama	102
8. OPTIMIZACIJA OPAŽANJA U GEODETSKIM DEFORMACIONIM MREŽAMA	107
8.1. Problem optimizacije u deformacionim mrežama	107
8.2. Identifikacija stabilnih tačaka metodom Mihailovića	108
8.3 Optimizacija sa aspekta osetljivosti	130
8.4. Sekvencijalni model optimizacije sa aspekta ostljivosti	135
9. ZAKLJUČAK	149
10. DODACI	153
Dodatak 1: Sekvencijalni model optimizacije u 1-D mrežama	
- program - OPT1D	154
Dodatak 2: Provera rezultata dobijenih sekvencijalnim modelom	
optimizacije u 2-D mreži - program - IGM2D	159
Dodatak 3: Izravnjanje 0. i 1. epohe test deformacione mreže	
- program - IGM2D	161
Dodatak 4: Deformacije dužina i uglova rotacija	
- program - MRKS	169
Dodatak 5: Transformacija koordinata X"Y" u X'Y'	
- program - TRAN	171
Dodatak 6: Identifikacija stabilnih tačaka 2-D test mreže 1	
- program - ISTGE2	172
Dodatak 7: Identifikacija stabilnih tačaka 2-D test mreže 2	
- program - ISTGE2	176
Dodatak 8: Identifikacija stabilnih tačaka u 1-D mreži u	
slučaju graničnih pomeranja - program - ISTGE1	182
Dodatak 9: Sekvencijalni model optimizacije u deformacionim	
mrežama	185
Dodatak 10: Tablice	187
LITERATURA	189



## P R E D G O V O R

Ova disertacija nastala je kao rezultat višegodišnjeg rada autora na izučavanju problema optimizacije geodetskih mreža. Ustvari, ona predstavlja nastavak započetih istraživanja vezanih za sekvencijalni model optimizacije opažanja u geodetskim mrežama.

Kako se dosadašnji sekvencijalni model bazirao na optimizaciji geodetskih mreža samo sa aspekta njihove tačnosti, u ovom radu biće pokazan razvoj integralnog modela optimizacije sa aspekta tačnosti, pouzdanosti i osetljivosti.

U čitavom razvoju ovog modela, od osnovne ideje pa do zaokruženja koje je dato u ovom radu, imao sam veliku i stalnu naučnu podršku od strane profesora dr. Krunislava Mihailovića i njegove korisne sugestije u mnogome su doprinele poboljšanju ovog rada na čemu mu se posebno zahvaljujem.

Posebnu zahvalnost dugujem i profesoru dr. Krsti Vračariću na sve-srdnoj podršci u radu i na korisnim sugestijama.

Zahvalnost dugujem i dr. Toši Ninkovu na pomoći u prikupljanju savremene literature iz ove oblasti.

U Beogradu  
25. 12. 1991. god.

Autor

NOTACIJAGeneralizovane inverzije matrica

- ⊗ kronekerov proizvod matrica
- I jedinična matrica
- $A_D^-$  desna inverzija pravougla matrice
- $A_L^-$  leva inverzija pravougla matrice
- G generalizovana inverzija matrice
- $A^+$  pseudo inverzija matrice

Modeli izravnjanja geodetskih mreža

- $A_{nu}^T$  matrica dizajna u modelu posrednog izravnjanja
- $B_{rn}^T$  matrica dizajna u modelu uslovnog izravnjanja
- l vektor opažanja
- v vektor popravaka
- $\hat{x}$  vektor ocena nepoznatih parametara
- $\hat{l}$  vektor izravnatih vrednosti opažanja
- h vektor ocena u modelu izravnjanja
- $K_h$  kovarijaciona matrica vektora ocena h
- P matrica težina opažanja
- $Q_1$  matrica kofaktora opažanja
- $Q_x^{\wedge}$  matrica kofaktora nepoznatih parametara
- $Q_v$  matrica kofaktora popravaka
- $Q_l^{\wedge}$  matrica kofaktora izravnatih opažanja
- $\sigma_0$  a priori standardna devijacija jedinice težine
- $\hat{\sigma}_0$  a posteriori standardna devijacija jedinice težine
- $\sigma_x^{\wedge}$  standardna devijacija nepoznatih parametara
- M srednja položajna greška tačke



Pouzdanost geodetskih mreža

$\nabla l_i$	gruba greška opažanja
$\hat{\nabla} l_i$	ocena grube greške u opažanju
$\nabla l$	vektor opažanja koji sadrži grube greške
$\nabla v$	uticaj grubih grešaka na popravke
$\nabla \hat{x}$	uticaj grubih grešaka na ocene parametara
$\nabla \hat{l}$	uticaj grubih grešaka na ocene izravnatih opažanja
$r_i$	elementarni brojevi suvišnih opažanja
$R$	matrica elementarnih brojeva suvišnih opažanja
$u_i$	koeficijenti uticaja grubih grešaka na izravnate vrednosti opažanja
$U$	matrica koeficijenata uticaja grubih grešaka na izravnate vrednosti opažanja
$w_i$	test statistike u identifikaciji grubih grešaka
$\delta_i$	empirijske vrednosti parametra necentralnosti
$\delta_o$	teorijska vrednost parametra necentralnosti
$\alpha$	greška I vrste
$1-\beta$	greška II vrste
$\beta$	moć testa
$k$	kritična vrednost
$\nabla_o l_i$	unutrašnja pouzdanost opažanja
$\nabla_o x_i$	spoljašnja pouzdanost opažanja
$\nabla_o f_i$	pouzdanost funkcije nepoznatih parametara
$v_{ij}$	elementarne popravke
$R_o$	optimalni oblik matrice $R$

Optimizacija opažanja u geodetskim mrežama

- ⊙ Khatri-Rao proizvod matrica
- \* Hadamard proizvod matrica
- $Q_x$  kriterijum matrica kofaktora nepoznatih parametara
- $K_x$  kovarijaciona kriterijum matrica nepoznatih parametara
- $R_x$  korelaciona matrica nepoznatih parametara
- $\sigma_x$  definisana neophodna tačnost nepoznatih parametara
- $D_x$  dijagonalna matrica definisane neophodne tačnosti parametara
- $K_{-1}$  kovarijaciona kriterijum matrica izravnatih opažanja
- $K_{-v}$  kriterijum kovarijaciona matrica popravaka
- $\sigma_{-1}$  optimalna standardna devijacija opažanja
- $D_{-1}$  dijagonalna matrica optimalnih standardnih devijacija
- $r_{\min}$  minimalni elementarni broj suvišnih opažanja
- $u_{\max}$  maksimalni koeficijent uticaja grubih grešaka na izra-  
vnate vrednosti opažanja

Optimizacija opažanja u geodetskim deformacionim mrežama

- $\hat{x}'$  vektor ocena koordinata u tekućoj epohi
- $\hat{x}$  vektor ocena koordinata u prethodnoj epohi
- $d'$  vektor prividnih pomeranja
- $d$  vektor relativnih pomeranja
- $B$  matrica koeficijenata stabilnih i nestabilnih tačaka
- $Q_d$  matrica kofaktora relativnih pomeranja
- $\sigma_d$  standardna devijacija relativnog pomeranja
- $t_i$  test statistike u identifikaciji pomeranja
- $d_o$  minimalno pomeranje
- $a_o$  globalna osetljivost deformacione mreže
- $d_{i,o}$  lokalna osetljivost deformacione mreže
- $D_d$  dijagonalna matrica standardnih devijacija relativnih pomeranja
- $R_d$  korelaciona matrica relativnih pomeranja
- $K_{-d}$  kovarijaciona kriterijum matrica osetljivosti
- $K_{-x,d}$  transformisana kriterijum matrica osetljivosti



## 1. U V O D

Problemima optimizacije geodetskih mreža naučna i stručna geodetska javnost okupirana je već jedno stoleće. Pionirskim radom u ovoj oblasti smatra se disertacija *Helmert-a, F.R.(1868.)*. Ogroman naučni doprinos rešavanju problema optimizacije geodetskih mreža dali su: *Schreiber (1882.)*, *Bruns, H. (1886.)*, *Jordan, W. (1888.)*, *Runge, C. (1890.)*, a u novije vreme *Wolf, H. (1958., 1960., 1961.)*, *Grafarend, E. (1979.)*, *Cross, P. i Thapa, K. (1977.)*, *Schmit, G. (1982.)*, *Banov, B. (1982.)*, *Bill, R., Muller, H., Schmit G. (1983.)*, *Bill, R. (1985.)*, *Pelzer, H. (1985.)*, *Illner, M. (1987.)*, *Gaspar P., Schmit, G. (1989.)*, *Hoppe, H., Kaltenbach, H. (1989.)*, a kod nas *Ninkov, T. (1982., 1989.)*, *Bilajbegović, A. (1983.)*, *Mihajlović, K. i Vračarić, K. (1985.d)*, *Mihajlović, K. (1988a.)* *Perović, G. i Ašanin, S. (1985.)*, *Aleksić, I. (1988.)*.

U navedenim radovima pažnja je najčešće posvećivana problemima optimizacije sa aspekta tačnosti, gde su matematički modeli optimizacije uglavnom bazirani na analizi tačnosti geodetskih mreža, a veoma retko su razmatrani problemi ekonomičnosti.

U savremenim uslovima, pored kriterijuma tačnosti i ekonomičnosti u matematičke modele optimizacije uključuju se i kriterijumi pouzdanosti geodetskih mreža. Na osnovu analize teorije pouzdanosti geodetskih mreža koju je razvio *Baarda, W. (1967., 1968.)*, preporuke u cilju optimizacije sa ovog aspekta dali su *Pelzer, H. (1977., 1985.)*, *Alberda, J.E. (1980.)* *Forstner, W. (1985.)*, *Kok, J. J. (1984.)*, *Murle, M. i Bill, R. (1984.)*, *Teunissn, P. (1984.)*, *Hech, B. (1980.)*, *Van Mierlo, J. i Hahn, M. (1987.)* i drugi, a kod nas *Ninkov T. (1989.)*, *Perović, G. i Ašanin, S. (1989.)* i *Aleksić, I. (1990a.)*.

Matematičke modele optimizacije koji sadrže kriterijume pouzdanosti geodetskih mreža kreirali su *Van Mierlo, J. (1981.)* i *Muller, H. (1986.)*. Očigledno je veoma malo pažnje posvećeno istraživanjima modela optimizacije sa aspekta pouzdanosti a u slučaju modela optimizacije geodetskih deforma-

cionih mreža sa aspekta osetljivosti obim istraživanja je sveden na minimum. Preporuke u cilju optimizacije geodetskih deformacionih mreža sa aspekta osetljivosti dao je *Pelzer, H. (1985.)* a modele optimizacije sa ovog aspekta kreirali su: *Huaxue, T. i Fengxiang, J. (1990.)*, *Zhang, Z. i Li, X. (1990.)*.

Osnovni cilj ovog rada je uključivanje kriterijuma tačnosti, pouzdanosti i osetljivosti u jedan integralni model optimizacije. Razvoj ovog integralnog modela, u daljem radu nazvan sekvencijalni model optimizacije geodetskih mreža, zasnovan je na već postojećem iterativnom modelu optimizacije *Aleksić I. (1988a., 1990a.)*, koji je do sada omogućavao optimizaciju opažanja samo sa aspekta tačnosti.

Sledeći cilj koji se želeo ovde postići je da kriterijumi tačnosti, pouzdanosti ili osetljivosti budu invarijantni u odnosu na koordinatne sisteme u kojima se geodetske mreže nalaze. Naime, najveći broj razvijenih modela optimizacije geodetskih mreža podrazumeva obavezno formiranje kriterijum matrice kofaktora nepoznatih parametara  $Q_x$ . Problemi koji nastaju prilikom formiranja ove matrice i razlozi zbog čega se oni javljaju već su istaknuti, ali osnovni problem se ne ističe sa dovoljno oštine. Treba imati u vidu da se matrica kofaktora  $Q_x$  odnosi na koordinate tačaka u geodetskim mrežama. Ako znamo da se apsolutni položaj tela u prostoru ne može ni na koji način odrediti *Einstein, A. (1987.)* onda je potpuno jasno da se i koordinate geodetskih tačaka nemogu apsolutno određivati.

Ako smo već prinuđeni da uvodimo konvencijalne ili na proizvoljan način odabrane koordinatne sisteme onada treba nastojati da se izbegne uticaj ovih koordinatnih sistema na rezultate optimizacije opažanja. Potpuno je jasno da se fizički procesi planiranih opažanja u geodetskim mrežama odvijaju nezavisno od uvedenih koordinatnih sistema.

U želji da se određena rešenja istaknutih ciljeva što bolje objasne u ovom radu, u okviru poglavlja 2 sažeto je data analiza generalizovanih inverzija matrica *Rao, C. i Mitra, S. (1971.)*, koja služi kao neophodna osnova za rešavanje problema u narednim poglavljima.

U poglavlju 3 sažeto su prikazani funkcionalni i stohastički modeli izravnjanja geodetskih mreža neophodnih za kasniju analizu teorije pouzdanosti i formiranja modela optimizacije. Ovde je pokazano da položajna tačnost



tačkaka u slobodnoj geodetskoj mreži ne zavisi od težišta mreže, kako se to do sada često smatralo, već od povezanosti tačkaka mreže opažanim veličinama i tačnosti opažanja odnosno, da su invarijantne u odnosu na koordinatne sisteme.

Poglavlje 4 sadrži dosadašnja saznanja iz oblasti teorije pouzdanosti geodetskih mreža koju je definisao Baarda, W. (1967., 1968.), i to samo oni delovi koji su bili neophodni za razvoj modela optimizacije sa aspekta pouzdanosti.

Poglavlje 5 objašnjava ograničenja teorije pouzdanosti. Ukupne popravke opažanja razložene su na elementarne koje su omogućile lakše sagledavanje problema testiranja statističkih hipoteza grubih grešaka, kao i problema ocena grubih grešaka. Iz ovih teorijskih razmatranja proistekao je i optimalni oblik matrice  $R_0$  neophodan u cilju projektovanja i optimizacije geodetskih mreža.

Poglavlje 6 objašnjava savremene ciljeve optimizacije opažanja u geodetskim mrežama kao i kriterijume tačnosti i pouzdanosti u geodetskim mrežama. Detaljno je objašnjen nov postupak dobijanja realne kovarijacione kriterijum matrice koordinata na osnovu položajne tačnosti tačkaka u mreži.

Poglavlje 7 objašnjava nov razvoj sekvencijalnog modela optimizacije opažanja sa aspekta tačnosti i pouzdanosti geodetskih mreža. Prikazan razvoj je zasnovan na modelu posrednog i uslovnog izravnjanja kao i rezultati primene u 1-D i 2-D geodetskim mrežama.

Poglavlje 8 posvećeno je optimizaciji opažanja u deformacionim geodetskim mrežama. O problemima deformacione analize ovde neće biti govora, a oni mogu biti sagledani u radovima Heck, B. (1980.), Kok, J. J. (1982.), *Deformationsanalysen* (1983.), Caspary, W. i Borutta, H. (1987.), Yan, Z. (1987.) Niemeier, W. (1988.) i drugi, a kod nas Mihailović, K. (1985.), Ninkov T. (1985.), Ašanin, S. (1986.), Čvorović, M. (1986.) Vučkov, S. (1988.), Aleksić, I. (1989.). U ovom poglavlju bi će samo sažeto prikazana metoda Mihailovića. Ovaj matematički model deformacione analize poslužio je za formiranje jedne opšte kriterijuma matrice osetljivosti. Takođe su pokazane osnovne ideje dva najsavremenija pristupa u optimizaciji deformacionih mreža sa aspekta osetljivosti.



U ovom poglavlju detaljno je objašnjen i nov pristup optimizaciji deformacionih mreža sa aspekta osetljivosti i pouzdanosti odnosno, uključivanje kriterijuma osetljivosti i pouzdanosti u sekvencijalni model optimizacije.

U poglavlju 9 dati su zaključci i preporuke za buduća istraživanja u ovoj oblasti optimizacije.

U poglavlju 10 pokazani su rezultati analiza i istraživanja u simuliranim geodetskim mrežama, dobijeni na osnovu programa I1DGM, OPT1D, ISTGE1 ISTGE2 čiji je tvorac autor ovoga rada, a već postojeći program IGM2D samo je prilagođen u smislu kompatibilnosti sa programom ISTGE2.

Na kraju je priložen spisak literature sastavljen od bibliografskih jedinica kojima se autor služio prilikom svojih ranijih istraživanja vezanih za ovu problematiku.



## 2. GENERALIZOVANE INVERZIJE MATRICA

2.1. Matrice potpunog rangaRegularna inverzija kvadratne matrice

Za kvadratnu matricu  $N$  reda  $u \times u$  i ranga  $r(N) = u$  postoji jedinstvena regularna inverzija  $N^{-1}$  za koju važi

$$N N^{-1} = N^{-1} N = I_u \quad \dots (2.1.1)$$

gde je  $I_u$  jedinična matrica reda  $u$ .

Desna inverzija pravougla matrice

Za pravouglu matricu  $A$  reda  $n \times u$  sa potpunim rangom vrsta  $r(A) = n$  i rangom  $r(A^T A) = n$  postoji desna inverzija  $A_D^-$  za koju važi

$$(A A^T)(A A^T)^{-1} = A(A^T(A^T A)^{-1}) = A A_D^- = I_n \quad \dots (2.1.2)$$

gde je

$$A_D^- = A^T(A A^T)^{-1} \quad \dots (2.1.3)$$

desna inverzija pravougla matrice a  $I_n$  jedinična matrica reda  $n$ .

Leva inverzija pravougla matrice

Za pravouglu matricu  $A$  reda  $n \times u$  sa potpunim rangom kolona  $r(A) = u$  i rangom  $r(A^T A) = u$  postoji leva inverzija  $A_L^-$  za koju važi

$$(A^T A)^{-1}(A^T A) = ((A^T A)^{-1} A^T) A = A_L^- A = I_u \quad \dots (2.1.4)$$

gde je

$$A_L^- = (A^T A)^{-1} A^T \quad \dots (2.1.5)$$

leva inverzija pravougla matrice a  $I_u$  jedinična matrica reda  $u$ .

Desna i leva inverzija pravougla matrice egzistira samo ako je  $r(A A^T) = n$  i  $r(A^T A) = u$  odnosno, da matrica  $A$  ima potpun rang vrsta  $r(A)=n$  ili potpun rang kolona  $r(A) = u$ . U opstem slucaju

$$A_D^- A \neq I_u \quad \text{i} \quad A A_L^- \neq I_n$$

### Opšti izrazi za desnu i levu inverziju

Neka je matrica  $A$  reda  $n \times u$  i potpunog ranga vrsta  $r(A)=n$ . Matrične jednačine

$$A x = l \quad \text{i} \quad A^T P A x = A^T P l \quad \dots (2.1.6)$$

su ekvivalentne ako je  $r(A^T P A) = r(A) = n$ , gde je  $P$  proizvoljna matrica sa  $\det P \neq 0$ . Rešenje jednačine je

$$x = P A^T (A P A^T)^{-1} l \quad \dots (2.1.7)$$

gde je opšta desna inverzija matrice  $A$

$$A_D^- = P A^T (A P A^T)^{-1} \quad \dots (2.1.8)$$

Očigledno važi  $A A_D^- = I_n$ . Ako je matrica  $A$  sa potpunim rangom kolona  $r(A) = u$  onda je rešenje matrične jednačine (2.1.6) oblika

$$x = (A^T P A)^{-1} A^T P l \quad \dots (2.1.9)$$

gde je opšta leva inverzija matrice  $A$

$$A_L^- = (A^T P A)^{-1} A^T P \quad \dots (2.1.10)$$

Očigledno važi  $A_L^- A = I_u$ .



## 2.2. Matrice nepotpunog ranga i generalizovane inverzije

Matricu  $A$  reda  $n \times u$  nazivamo matricom sa nepotpunim rangom ako je njen rang  $r(A)$  manji od  $\min(n, u)$ . Za  $n > u$  matrica  $A$  ima nepotpun rang kolona a za  $n < u$  nepotpun rang vrsta.

Ako je matrica  $A$  kvadratna i reda  $n$ , rešenje linearne matricne jednačine  $Ax = y$  je oblika  $x = A^{-1}y$  gde je  $A^{-1}$  regularna inverzija od  $A$  i važi  $AA^{-1} = A^{-1}A = I_n$ . Ako je matrica  $A$  kvadratna i reda  $n$ , ali singularna  $\det A = 0$ , ili je  $A$  pravouglata matrica, onda se postavlja pitanje da li egzistira matrica  $G$  takva da je  $x = Gy$  rešenje jednačine  $Ax = y$ .

Oдавде sledi definicija za generalizovanu inverziju. Neka je matrica  $A$  reda  $u \times n$  proizvoljnog ranga. Generalizovana inverzija  $A$  je reda  $n \times u$  u oznaci  $G$  takva da je  $x = Gy$  rešenje jednačine  $Ax = y$  za bilo koje  $y$  odnosno, generalizovana inverzija  $G$  matrice  $A$  ispunjava uslov

$$AGA = A \quad \dots (2.2.1)$$

Generalizovana inverzija  $G$  nije jedinstvena i postoji više izbora za matricu  $G$ , tako da jednakost (2.2.1) bude ispunjena. Različite mogućnosti određivanja generalizovane inverzije date su u Rao, C. i Mitra, S. (1971.) ili Perović, G. (1986.), a ovde će dalje biti prikazane neke specijalne mogućnosti od interesa za naredna teorijska razmatranja u ovom radu.

## 2.3. Rešenja sistema jednačina pomoću $G$ inverzije

### Rešenje sa minimalnom normom

Za saglasan sistem  $Ax = y$  neophodno je odrediti generalizovanu inverziju  $G$  nezavisno od vektora  $y$ , tako da rešenje  $x = Gy$  ima minimalnu normu



$$\min_{Ax=y} ||x|| = ||Gy|| \quad \dots(2.3.1)$$

gde je  $||x|| = (x^T x)^{1/2}$  i  $||x|| = \min \Leftrightarrow x^T x = \min.$

Prema teoremi datoj u Rao, C. i Mitra, S. (1971.) rešenje saglasnog sistema  $Ax = y$  ima minimalnu normu ako generalizovana inverzija  $G$  zadovoljava sledeće uslove

$$AGA = A, (GA)^T = GA \text{ i } GAA^T = A^T \quad \dots(2.3.2)$$

Ako je norma  $||x|| = (x^T P x)^{1/2}$ , gde je  $P$  pozitivno određena matrica, tada su uslovi (2.3.2) oblika

$$\begin{aligned} AGA = A, (GA)^T P = PGA \text{ i} \\ GAP^{-1}A^T = P^{-1}A \end{aligned} \quad \dots(2.3.3)$$

Za  $P = I$  uslovi (2.3.3) prelaze u specijalne (2.3.2). Treba naglasiti još da je rešenje sa minimalnom normom jedinstveno a norma inverzije  $G$  ne mora biti minimalna.

#### Rešenje sa minimumom sume kvadrata

Za nesaglasan sistem  $Ax = y$  postoji rešenje  $\hat{x}$  sa minimumom sume kvadrata ako je

$$||v|| = ||A\hat{x} - y|| = \inf_x ||Ax - y|| \quad \dots(2.3.4)$$

Rešenje sa minimalnom sumom kvadrata  $\hat{x} = Gy$  mora da zadovolji uslove

$$AGA = A, (AG)^T = AG \text{ i } A^T AG = A^T \quad \dots(2.3.5)$$

gde je  $G$  generalizovana inverzija od  $A$ . Ako je  $||x|| = (x^T P x)^{1/2}$  gde je  $P$  pozitivno određena matrica, onda uslovi (2.3.5) imaju oblik

$$AGA = A, (AG)^T P = PAG \text{ i } A^T PAG = A^T P \quad \dots(2.3.6)$$

Za  $P=I$  uslovi (2.3.6) prelaze u specijalne (2.3.5).



### Rešenje sa minimalnom normom i minimalnom sumom kvadrata

Za nesaglasan sistem  $A \mathbf{x} = \mathbf{y}$  postoji rešenje  $\hat{\mathbf{x}} = A^+ \mathbf{y}$  sa minimalnom normom i minimalnom sumom kvadrata ako su ispunjeni uslovi

$$(a) \quad A A^+ A = A$$

$$(b) \quad A^+ A A^+ = A^+$$

$$(c) \quad (A A^+)^T = A A^+$$

$$(d) \quad (A^+ A)^T = A^+ A$$

... (2.3.7)

gde je  $A^+$  generalizovana G inverzija matrice A odnosno inverzija Moore (1920.) i Penrose (1955) ili pseudoinverzija.

Za razliku od prethodnih G inverzija pseudoinverzija označena je simbolom "+" zbog sledećih osobina :

- (1) pseudo inverzija  $A^+$  je generalizovana inverzija matrice A jer uslov (2.3.7.a) odgovara uslovu (2.2.1),
- (2) za pseudo inverziju  $A^+$  važi:

$$A A^+ A = A \quad , \quad A^+ A A^+ = A^+ \quad \text{i} \quad (A^+)^+ = A$$

ako važi  $r(A) = r(A^+)$  ,

- (3) pseudo inverzija  $A^+$  zasniva se na rešenju sa minimalnom sumom kvadrata  $\|\mathbf{v}\| = (\mathbf{v}^T \mathbf{v})^{1/2} = \min$  saglasno uslovu (2.3.4) ,
- (4) pseudo inverzija  $A^+$  istovremeno je zasnovana i na rešenju sa minimalnom normom  $\|\mathbf{x}\| = (\mathbf{x}^T \mathbf{x})^{1/2} = \min$  saglasno uslovu (2.3.1) ,
- (5) pseudo inverzija  $A^+$  je jedinstvena što je posledica jedinstvenosti rešenja sa minimalnom normom .
- (6) pseudo inverzija  $A^+$  ima minimalni trag  $\text{tr} A^+ = \min$ , što je posledica minimalne norme rešenja .

Različite mogućnosti dobijanja pseudoinverzija objašnjene su u (Rao, C. i Mitra, S. 1971.) ili (Perović, G. 1986.) a u ovom radu biće korišćena

$$A^+ = A^T (A A^T)^{-1} A (A^T A)^{-1} A^T \quad \dots (2.3.9)$$

sa relacijama

$$(A^+)^T = (A^T)^+$$

$$(A A^T)^+ = (A^+)^T A^+$$



### 3. FUNKCIONALNI I STOHAŠTIČKI MODELI IZRAVNANJA GEODETSKIH MREŽA

U teoriji izravnjanja geodetskih mreža egzistiraju najčešće dva standardna problema. Prvi problem izravnjanja po metodi posrednih merenja pišemo kao relacije između opažanih vrednosti i nepoznatih parametara u vidu linearnog funkcionalnog modela

$$\tilde{l} = A \tilde{x} \quad \dots (3.1)$$

a drugi, izravnjanje po metodi uslovnih merenja kada merene veličine stoje u nekim matematičkim uslovima

$$B^T \tilde{l} = 0 \quad \dots (3.2)$$

gde su :

$\tilde{l}$  vektor istinitih vrednosti opažanja ( $n \times 1$ ),

$\tilde{x}$  vektor istinitih vrednosti nepoznatih parametara ( $u \times 1$ ),

$A_{n \times u} = \left[ \frac{\partial F(x)}{\partial x} \right]$  matrica dizajna u modelu posrednog izravnjanja,

$B_{r \times u}^T = \left[ \frac{\partial F(l)}{\partial l} \right]$  matrica dizajna u modelu uslovnog izravnjanja.

gde je:  $F$  vektor funkcija merenih i nepoznatih veličina.

#### 3.1. Matematički model posrednog izravnjanja

---

Zamenom vektora istinitih vrednosti  $\tilde{l}$  sa vektorom opažanih vrednosti  $l$  u (3.1) dobijamo jednačine popravka odnosno, funkcionalni model

$$\hat{l} = l + v = A \hat{x} + l(x_0)$$

ili

$$v = A \hat{x} + f$$

... (3.1.1)

gde je:

$v$  vektor popravaka,

$\hat{x}$  vektor ocena nepoznatih parametara,

$f = l(x_0) - l$  vektor slobodnih članova,

$\hat{l} = l + v$  vektor izravnatih vrednosti opažanja.

Matematičko očekivanje vektora popravaka je  $E(v) = 0$  a stohastička svojstva vektora opažanja ogledaju se u matematičkom očekivanju

$$E(l) = \hat{l} = A \hat{x}$$

i kovarijacionoj matrici

$$K_l = \sigma_0^2 Q_l = \sigma_0^2 P^{-1}$$

sa normalnom raspodelom

$$l \sim N \{ A \hat{x}, \sigma_0^2 Q_l \} \quad \dots (3.1.2)$$

Primenom uopštenog metoda najmanjih kvadrata  $v^T K_l^{-1} v = \min$  dobijamo vektor ocena

$$h = \begin{bmatrix} \hat{x} \\ \hat{l} \\ v \\ \hat{f} \\ l \end{bmatrix} = \begin{bmatrix} Q_x^{\Delta} A^T Q_1^{-1} \\ A Q_x^{\Delta} A^T Q_1^{-1} \\ A Q_x^{\Delta} A^T Q_1^{-1} - I \\ g^T Q_x^{\Delta} A^T Q_1^{-1} \\ I \end{bmatrix} l = H l \quad \dots (3.1.3)$$

gde je kofaktor matrica nepoznatih parametara

$$Q_x^{\Delta} = (A^T Q_1^{-1} A)^{-1} \quad \text{za} \quad r(A) = r = u$$

ili 
$$Q_x^{\Delta} = (A^T Q_1^{-1} A)^+ \quad \text{za} \quad r(A) = r < u$$

Vektor  $\hat{f}$  je linearna funkcija nepoznatih parametara

$$\hat{f} = g^T \hat{x} = g^T Q_x^{\Delta} A^T Q_1^{-1} l \quad \dots (3.1.4)$$

Kovarijaciona matrica vektora  $h$  ima oblik

$$K_h = \sigma_0^2 H Q_1 H^T = \sigma_0^2 Q_h \quad \dots (3.1.5)$$

gde je  $Q_h$  kofaktor matrica koja definiše korelativnu zavisnost između



pojedinih ocena

$$Q_h = \begin{bmatrix} \hat{x} & \hat{1} & v & \hat{f} & 1 \\ Q_x^\Delta & Q_x^\Delta A^T & 0 & Q_x^\Delta g & Q_x^\Delta A^T \\ & A Q_x^\Delta A^T & 0 & A Q_x^\Delta g & A Q_x^\Delta A^T \\ & & Q_1 - A Q_x^\Delta A^T & 0 & A Q_x^\Delta A^T - Q_1 \\ & & & g^T Q_x^\Delta g & A Q_x^\Delta g \\ & \text{simetrično} & & & Q_1 \\ & & & & 1 \end{bmatrix} \begin{bmatrix} \hat{x} \\ \hat{1} \\ v \\ \hat{g} \\ 1 \end{bmatrix}$$

Disperzija jedinice težine

$$\hat{\sigma}_0^2 = v^T P v / r$$

je nepristrasna ocena disperzije jedinice težine  $\sigma_0^2$  gde je  $r = n - u$  broj suvišno merenih veličina za  $r(A) = u$ . Kada je  $r(A) < u$  onda je  $r = d + n - u$  gde je  $d = u - r(A)$  defekt funkcionalnog modela.

### 3.2. Matematički model uslovnog izravnjanja

Zamenom vektora istinitih vrednosti  $\tilde{1}$  sa vektorom opažanih vrednosti  $1$  u jednačini (3.2) dobijamo uslovne jednačine popravaka odnosno, linearni funkcionalni model uslovnog izravnjanja

$$B^T v + B^T 1 = 0$$

ili

$$B^T v + w = 0$$

... (3.2.1)

gde je  $w = B^T 1$  vektor slobodnih članova. Stohastička svojstva vektora  $v$  i vektora opažanja  $1$  su

$$M(v) = 0, \quad K_1 = \sigma_0^2 Q_1 = \sigma_0^2 P^{-1} \quad \dots (3.2.2)$$

$$1 \sim N \{ \hat{1}, \sigma_0^2 Q_1 \}$$

Primenom uopštenog metoda najmanjih kvadrata  $\mathbf{v}^T \mathbf{K}_1^{-1} \mathbf{v} = \min$  dobijamo vektor ocena

$$\mathbf{h} = \begin{bmatrix} \hat{l} \\ \mathbf{v} \\ \mathbf{k} \\ 1 \end{bmatrix} = \begin{bmatrix} \mathbf{I} - \mathbf{Q}_1 \mathbf{B} \mathbf{N}^{-1} \mathbf{B}^T \\ - \mathbf{Q}_1 \mathbf{B} \mathbf{N}^{-1} \mathbf{B}^T \\ - \mathbf{N}^{-1} \mathbf{B}^T \\ \mathbf{I} \end{bmatrix} \mathbf{l} = \mathbf{H} \mathbf{l} \quad \dots (3.2.3)$$

gde je matrica koeficijenata normalnih jednačina korelata  $\mathbf{N} = \mathbf{B}^T \mathbf{Q}_1 \mathbf{B}$ . Kovarijaciona matrica vektora  $\mathbf{h}$  dobija se prema (3.1.5) a kofaktor matrica je

$$\mathbf{Q}_h = \begin{bmatrix} \hat{l} & \mathbf{v} & \mathbf{k} & 1 \\ \mathbf{Q}_1 - \mathbf{Q}_1 \mathbf{B} \mathbf{N}^{-1} \mathbf{B}^T \mathbf{Q}_1 & 0 & 0 & \mathbf{Q}_1 - \mathbf{Q}_1 \mathbf{B} \mathbf{N}^{-1} \mathbf{B}^T \mathbf{Q}_1 \\ & \mathbf{Q}_1 \mathbf{B} \mathbf{N}^{-1} \mathbf{B}^T \mathbf{Q}_1 & \mathbf{Q}_1 \mathbf{B} \mathbf{N}^{-1} & \mathbf{Q}_1 \mathbf{B} \mathbf{N}^{-1} \mathbf{B}^T \mathbf{Q}_1 \\ & & \mathbf{N}^{-1} & \mathbf{N}^{-1} \mathbf{B}^T \mathbf{Q}_1 \\ & & & \mathbf{Q}_1 \\ & & & 1 \end{bmatrix} \begin{matrix} \hat{l} \\ \mathbf{v} \\ \mathbf{k} \\ 1 \end{matrix}$$

simetrično

Disperzija jedinice težine iz izravnjanja  $\hat{\sigma}_0^2 = (\mathbf{v}^T \mathbf{K}_1^{-1} \mathbf{v}) / r$  je nepri-  
strasna ocena od  $\sigma_0^2$ , gde je  $r$  broj linearno nezavisnih matematičkih  
uslova .

### 3.3. Ocene parametara

Ako se jedna geodetska mreža izravna po metodi uslovnih i posrednih  
merenja, dobro je poznato da se dobijaju identične ocene za pojedine vektore  
kao i za standardnu devijaciju  $\hat{\sigma}_0$ . U slučaju uslovnog izravnjanja ove  
ocene proističu iz jasno definisanih nezavisnih matematičkih uslova koji



povezuju merene fizičke veličine nezavisno od koordinatnog sistema. Kod posrednog izravnjanja merene fizičke veličine, dovode se u funkcionalnu vezu sa koordinatnim sistemom, a iz ovog modela izravnjanja određuju se ocene za vektor parametara  $\hat{\mathbf{x}}$ , koji se odnosi na koordinate tačaka u mreži. Ocene mogu biti ili nepristrasne ili pristrasne što zavisi od funkcionalnog modela mreže. Ako je  $\hat{\mathbf{x}}$  ocena parametra  $\mathbf{x}$  onda važi:

1. ocena  $\hat{\mathbf{x}}$  je nepristrasna ocena parametra  $\mathbf{x}$  ako je matematičko očekivanje  $E(\hat{\mathbf{x}}) = \mathbf{x}$ ,
2. ocena  $\hat{\mathbf{x}}$  je linearna nepristrasna ocena parametra  $\mathbf{x}$  ako je  $E(\hat{\mathbf{x}}) = \mathbf{x}$  i linearna ocena  $\hat{\mathbf{x}} = L \mathbf{l}$  gde je  $L$  linearni operator.

Kada je matrica dizajna geodetske mreže  $A_{nu}$  potpunog ranga kolona  $r(A)=u$  i iz uslova izravnjanja važi  $n > u$ , ocena za parametar  $\mathbf{x}$  je nepristrasna. Ocena dobijena u vektoru (3.1.3) za nezavisna opažanja i iste tačnosti je

$$\begin{aligned} \bar{Q}_1^{-1} &= I \\ \hat{\mathbf{x}} &= (A^T A)^{-1} A^T \mathbf{l} \end{aligned} \quad \dots (3.3.1)$$

a njeno matematičko očekivanje

$$E(\hat{\mathbf{x}}) = (A^T A)^{-1} A^T E(\mathbf{l}) \quad \dots (3.3.2)$$

Kako je  $E(\mathbf{l}) = A \mathbf{x}$  onda (3.3.2) ima oblik

$$E(\hat{\mathbf{x}}) = (A^T A)^{-1} A^T A \mathbf{x}$$

odnosno  $E(\hat{\mathbf{x}}) = \mathbf{x}$

je nepristrasna ocena. Ova ocena je i linearno nepristrasna jer iz (3.3.1) sledi

$$\hat{\mathbf{x}} = L \mathbf{l} \quad \text{gde je} \quad L = (A^T A)^{-1} A^T$$

Na osnovu ovih razmatranja proističe, da za neslobodne mreže  $u$  kojima je definisan datum, i za koje matrica dizajna  $A$  uvek ima potpun rang kolona, ocene parametra  $\hat{\mathbf{x}}$  su linearno nepristrasne.

Kada je matrica dizajna  $A_{nu}$  nepotpunog ranga kolona,  $r(A) < u$  i  $r(A^T A) < u$  ocena

$$\hat{x} = (A^T A)^+ A^T l = N^+ A^T l \quad \dots (3.3.3)$$

je linearno pristrasna. Matematičko očekivanje vektora (3.3.3) je

$$E(\hat{x}) = N^+ A^T E(l)$$

$$\text{ili} \quad E(\hat{x}) = N^+ A^T A x = N^+ N x \quad \dots (3.3.4)$$

Kako za pseudoinverziju važi  $N^+ N \neq I$  to je

$$E(\hat{x}) \neq x \quad \dots (3.3.5)$$

odnosno  $\hat{x}$  je linearno pristrasna ocena, sa pristrasnošću

$$\begin{aligned} E(\hat{x} - x) &= E(\hat{x}) - E(x) = E(\hat{x}) - x = N^+ N x - x = \\ &= (N^+ N - I) x = C x = \Delta x \quad \dots (3.3.6) \end{aligned}$$

gde je  $C = (N^+ N - I)$ .

Na osnovu ovih izraza sledi da za slobodnu geodetsku mrežu za koju nije definisan datum, i za koju matrica dizajna  $A$  ima nepotpun rang kolona, ocena parametra  $\hat{x}$  je linearno pristrasna. Za ocenu parametra  $\hat{x}$  neslobodne mreže (3.3.1) dobija se kovarijaciona matrica  $K_{\hat{x}}$  sa najmanjim disperzijama nepoznatih parametara pa se ova ocena naziva najbolja linearna nepristrasna ocena. Takođe za ocenu parametra  $\hat{x}$  slobodne mreže (3.3.3) dobija se jedinstvena kovarijaciona matrica  $K_{\hat{x}}$  sa najmanjom disperzijom, pa ocenu nazivamo najbolja linearna pristrasna ocena. Kako se ocena  $\hat{x}$  za slobodne mreže dobija pomoću pseudoinverzije sa minimalnom normom

$$\|x\| = (x^T x)^{1/2} = \min$$

to je i pristrasnost  $\Delta x^T \Delta x = \min$ .



$\mathbf{x} = \{ x_1, x_2, \dots, x_u \}$  skup nepoznatih parametara  
(čvorovi grafa),

$\mathbf{l} = \{ l_1, l_2, \dots, l_n \}$  skup merenih veličina  
(orijentisane grane grafa).

Matrica incidencije ili matrica susedstva  $\mathbf{A}$  za orijentisan graf 1-D mreže, ima koeficijente

$$a_{ij} = \begin{cases} -1, & \text{ako } l_i \text{ izlazi iz } x_j \\ 0, & \text{ako } x_j \text{ i } l_i \text{ nisu susedni elementi} \\ 1, & \text{ako } l_i \text{ ulazi u } x_j \end{cases}$$

$$i = 1, 2, 3, \dots, n, \quad j = 1, 2, 3, \dots, u$$

Matrica susedstva identična je matrici dizajna  $\mathbf{A}$ . Očigledno je da koeficijenti matrice  $\mathbf{A}$  ni u kom slučaju ne zavise od datuma 1-D mreže već isključivo od zavisnosti nepoznatih parametara  $x_j$  od opažanih veličina  $l_i$ .

Neka je 1-D mreža izravnata po metodi najmanjih kvadrata i neka su dobijene izravnate vrednosti opažanja  $\hat{l}_i$  kao i kovarijaciona matrica  $\mathbf{K}_l$ . Ova kovarijaciona matrica izravnatih veličina invarijantna je u odnosu na datum mreže.

Sada se nameće pitanje, kako izravnate vrednosti opažanih veličina  $\hat{l}_i$  utiču svojom tačnošću  $\sigma_l$  na čvorove grafa odnosno, nepoznate parametre  $x_i$ ? Da bi se odgovorilo na ovo pitanje, napišemo funkcije veze između vrednosti izravnatih veličina i parametara (Sl.3.4.2) u obliku

$$\hat{l}_1 = x_2 - x_1$$

$$\hat{l}_2 = x_3 - x_1$$

.....

$$\hat{l}_n = x_u - x_{u-1}$$

ili u matičnom obliku

$$\hat{\mathbf{l}} = \mathbf{A} \mathbf{x} \quad \dots (3.4.1)$$

sa kovarijacionom matricom

$$K_{\Delta} = A K_x A^T \quad \dots (3.4.2)$$

Iz ove matrične jednačine neophodno je odrediti matricu  $K_x$ . Pravouglu matricu  $A$  je nepotpunog ranga kolona a njena transpozicija je nepotpunog ranga vrsta, pa za njih ne postoji leva i desna inverzija. Jednačinu (3.4.2) pomnožimo sa desne strane matricom  $A$  a sa leve  $A^T$

$$A^T K_{\Delta} A = A^T A K_x A^T A \quad \dots (3.4.3)$$

gde je  $r(A^T A) < u$  i  $\det(A^T A) = 0$ . Matričnu jednačinu (3.4.3.) rešimo pod uslovom minimalne norme i minimalne sume kvadrata koristeći pseudoinverziju (2.3.12) pa sledi rešenje oblika

$$K_x = (A^T A)^+ A^T K_{\Delta} A (A^T A)^+ \quad \dots (3.4.4)$$

Na osnovu ovog rešenja jasno se vidi distribucija odnosno, uticaj tačnosti izravnatih veličina na tražene parametre ili koordinate tačaka u mreži. Prema tome, tačnost koordinata  $x$  zavisice od tačnosti izravnatih veličina  $K_{\Delta}$  i od međusobne povezanosti tačaka merenim veličinama koju definiše matrica dizajna  $A$ . Kako je napred istaknuto, da su matrice  $K_{\Delta}$  i  $A$  invarijantne u odnosu na datum mreže onda, prema (3.4.4) sledi i invarijantni uticaj tačnosti izravnatih veličina na tačnost traženih parametara. To znači da ukupni uticaj svih izravnatih veličina u mreži na pojedine tačke mreže ni u kom slučaju ne zavisi od datuma mreže a samim tim ni od težišta mreže. Nepobitan dokaz za ove tvrdnje je dat izrazom (3.4.4).

Na osnovu ovih razmatranja sledi da srednja položajna greška  $M$  ne zavisi od datuma mreže a naravno ni od njenog težišta u slučaju izravnjanja sa nepotpunim rangom matrice  $A$ . Matrična jednačina ima opšti karakter i napred navedene tvrdnje važe i za slučajeve višedimenzionalnih mreža. Ovde je 1-D mreža poslužila samo radi očiglednosti i jednostavnosti prikazivanja. Pre razmatranja 2 - D mreža svakako je interesantnije dati odgovor



### 3.4. Problem datuma i invarijantne veličine

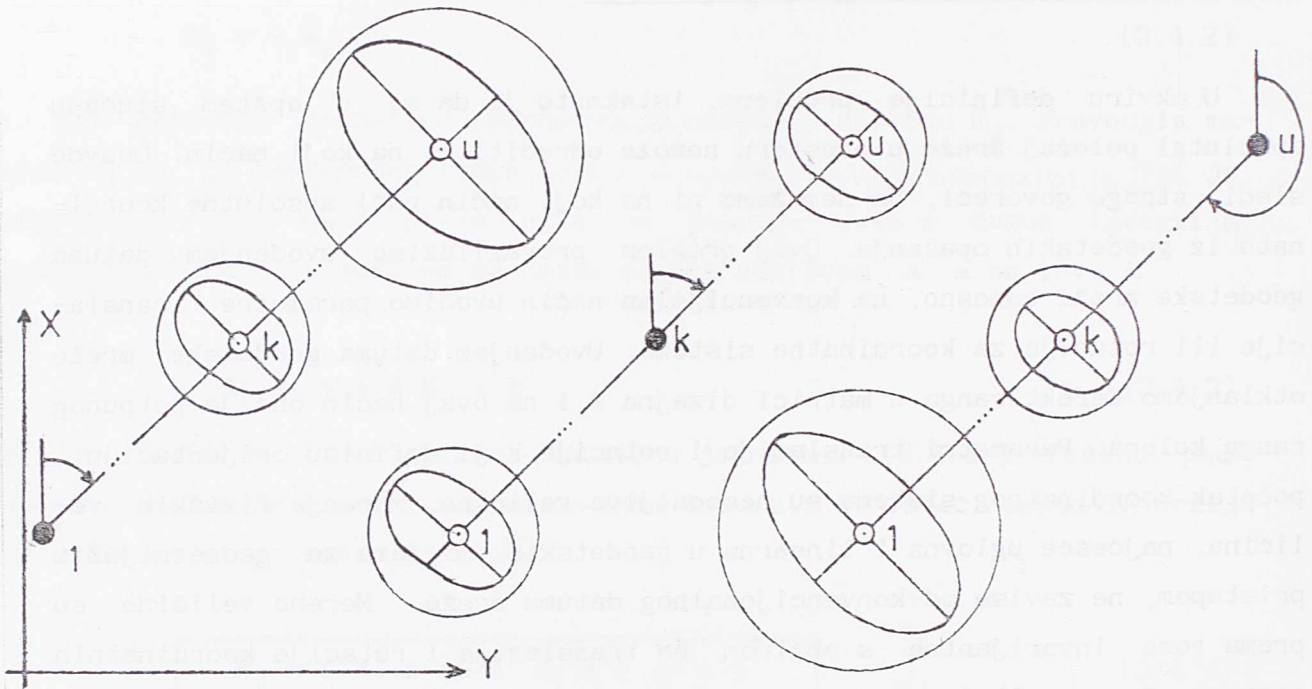
---

U okviru definicije problema, istaknuto je da se u opštem slučaju apsolutni položaj mreže u prostoru ne može odrediti ni na koji način. Oдавde sledi, strogo govoreći, da ne možemo ni na koji način naći apsolutne koordinate iz geodetskih opažanja. Ovaj problem prevazilazimo uvođenjem datuma geodetske mreže odnosno, na konvencionalan način uvodimo parametre translacije ili rotacije za koordinatne sisteme. Uvođenjem datuma geodetske mreže otklanjamo defekt ranga u matrici dizajna  $A$  i na ovaj način ona je potpunog ranga kolona. Parametri translacije i rotacije koji definišu orijentaciju i početak koordinatnog sistema su neocenljive veličine. Merenja fizičkih veličina, najčešće uglovna i linearna u geodetskim mrežama sa geometrijskim pristupom, ne zavise od konvencionalnog datuma mreže. Merene veličine su prema tome invarijantne s obzirom na translacije i rotacije koordinatnih sistema. Ocene ovih invarijantnih veličina, dobijene iz matematičkih modela izravnjanja geodetskih mreža su uvek najbolje linearno nepristrasne ocene.

U analizi geodetskih mreža najčešće se koriste informacije koje daje kovarijaciona matrica  $K_{\underline{x}}$ . Kao što je poznato, u slučaju izravnjanja mreža za koje je definisan datum, standardne devijacije traženih koordinata  $\sigma_{\underline{x}}$ , poluprečnici elipsi grešaka  $a$  i  $b$  kao i uglovi orijentacija  $\theta$ , srednje položajne greške  $M$ , sopstvene vrednosti  $\lambda$  matrice  $K_{\underline{x}}$ , su veličine koje zavise od datumske određenosti mreže. Ova zavisnost geometrijski je pokazana na slici 3.4.1.

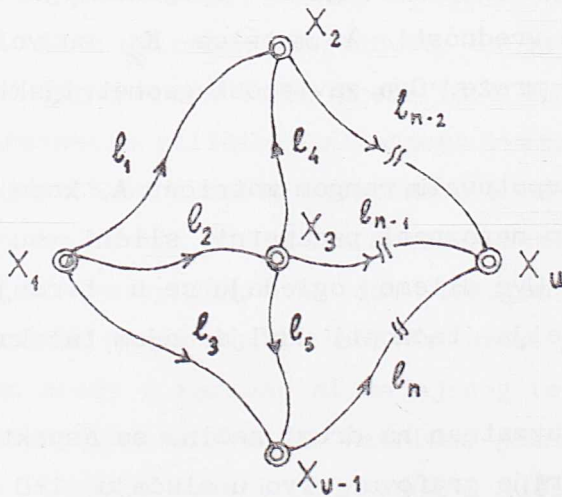
U slučaju izravnjanja sa nepotpunim rangom matrice  $A$ , kada se koordinate svih tačaka posmatraju kao nepoznati parametri, slični su zaključci, mada postoje određene dileme. Ove dileme ogledaju se u tvrdnjama, da se povećavaju vrednosti pokazatelja tačnosti udaljavanjem tačaka od težišta mreže.

Ovaj problem biće sada razmatran na drugi način, sa aspekta matematičkih metoda modeliranja i teorije grafova, prvo u slučaju 1-D mreža. Sve 1-D mreže predstavljaju orijentisane grafove (sl.3.4.2) u kojima su:



a) Datum u tački 1. b) Datum u tački k. c) Datum u tački u.

Sl.3.4.1. Zavisnost veličina od datuma mreže.



Sl.3.4.2. Orijeantisan graf 1-D mreže .



na pitanje: kakva je razlika između matrice  $K_x$  dobijene u (3.4.4) i matrice  $K_x^\Delta$  dobijene iz posrednog izravnjanja, koja predstavlja kovarijacionu matricu ocena koordinata. Radi pojednostavljivanja posmatračemo matrice kofaktora  $Q_x$  i  $Q_x^\Delta$  koje ne menjaju suštinu zaključivanja. Matricu kofaktora  $Q_x^\Delta$  dobijenu iz posrednog izravnjanja sa nepotpunim rangom matrice  $A$  uvrstimo u (3.4.4) pa sledi

$$Q_x = (A^T A)^+ A^T A Q_x^\Delta A^T A (A^T A)^+ \quad \dots (3.4.5)$$

gde je

$$Q_x^\Delta = N^+ \quad \text{i} \quad N = A^T A \quad \dots (3.4.6)$$

Imajući u vidu jednakosti (3.4.6), jednačinu (3.4.5) pišemo

$$Q_x = N^+ N N^+ N N^+$$

odnosno, na osnovu svojstva pseudo inverzije (2.3.7.a) dobijamo

$$Q_x = N^+ N N^+$$

ili prema svojstvu (2.3.7.b)

$$Q_x = N^+ \quad \dots (3.4.7)$$

Jednakosti (3.4.6) i (3.4.7) daju sledeću jednakost

$$Q_x = Q_x^\Delta \quad \dots (3.4.8)$$

koja predstavlja dokaz da je matrica  $K_x$  dobijena prema (3.4.4) ekvivalentna matrici  $K_x^\Delta$  datoj u modelu posrednog izravnjanja sa nepotpunim rangom matrice  $A$ . Prema ovome zaključci napred donešeni za matricu  $K_x$  važe i za matricu  $K_x^\Delta$ .

Kada je definisan datum mreže, matrica  $A$  je potpunog ranga kolona ali tada njen dizajn zavisi od izbora datuma. U ovom slučaju rešenje za (3.4.2) nalazimo pomoću leve i desne inverzije pravouglo matrice

$$K_x = A_L^{-1} K_{\Delta}^T (A^T)^{-1}_D$$

ili prema (2.1.3) i (2.1.5) dobijamo

$$K_x = (A^T A)^{-1} A^T K_{\Delta} A (A^T A)^{-1} \dots (3.4.9)$$

Matrica  $K_{\Delta}$  je invarijantna u odnosu na datum ali kako je matrica  $A$  zavisna od datuma to je i matrica  $K_x$  zavisna od njega. Ako matricu kofaktora izravnatih veličina  $Q_{\Delta}$  dobijenu iz posrednog izravnjanja unesemo u (3.4.9) onda sledi

$$Q_x = (A^T A)^{-1} A^T A Q_{\Delta} A^T A (A^T A)^{-1} = Q_{\Delta}$$

pa prema tome i zavisnost matrice  $Q_x$  od datuma mreže odnosno, srednjih položajnih grešaka  $M$ .

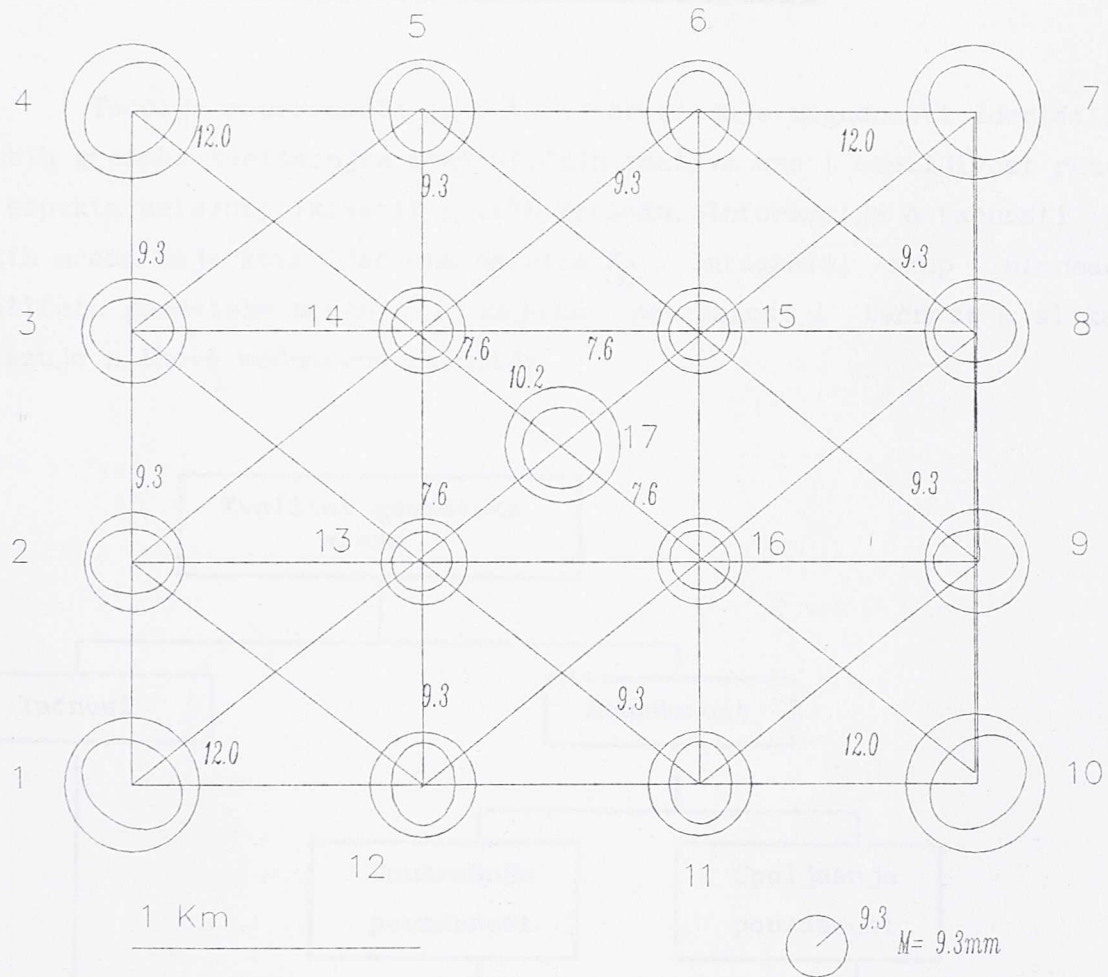
Prethodna teorijska razmatranja, sada će biti ilustrovana na primeru 2-D mreže (Sl.3.4.3) u kojoj su merene dužine sa istom tačnošću ali je mreža tako projektovana da su pojedine grupe tačaka određene sa različitim brojem dužina. Mreža je izravnata kao slobodna sa nepotpunim rangom matrice  $A$  a informacije dobijene na osnovu matrice  $K_{\Delta}$  date su na istoj slici.

Na osnovu navedenih ilustracija očigledno je da položajne greške  $M_i$  ne zavise od težišta mreže već od povezanosti tačaka opažanim veličinama i naravno od njihove tačnosti. Na slici 3.4.3. uočava se, da su tačke 13, 14, 15 i 16 određene sa najvećim brojem dužina (ukupno 8) pa iz tog razloga imaju najmanje srednje položajne greške  $M_i = 7.6$ .

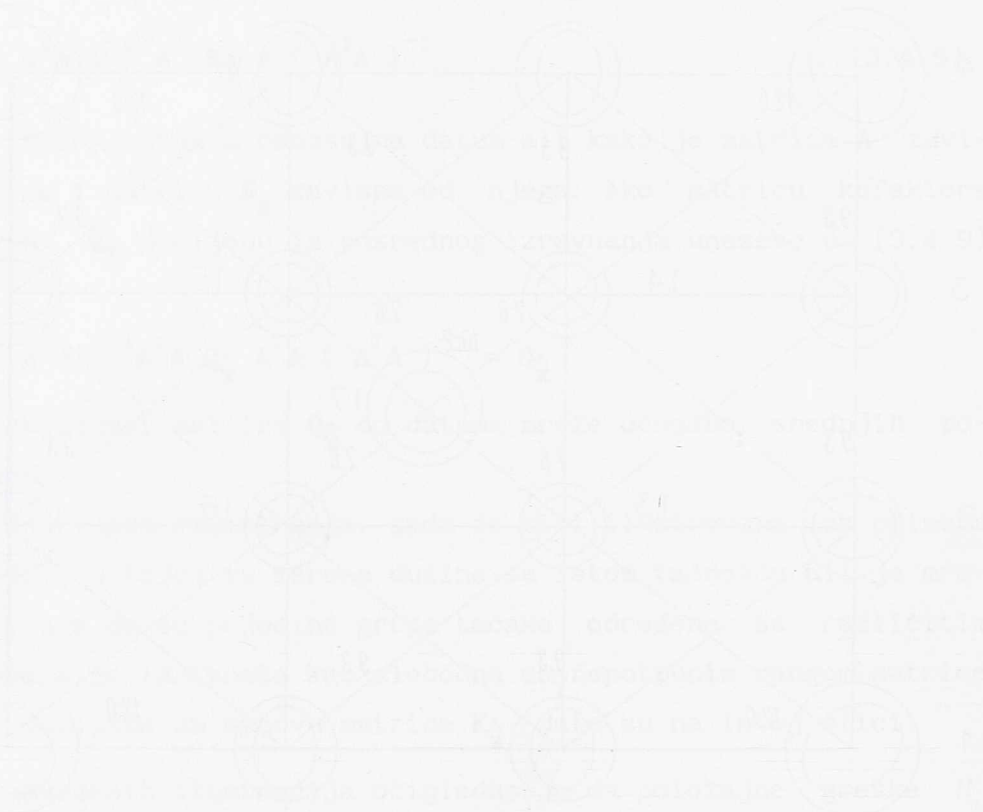
Sledeći skup čine tačke 2, 3, 5, 6, 8, 9, 11 i 12 koje su određene sa po pet dužina i imaju manju položajnu tačnost  $M_i = 9.3$ . Tačka 17 određena je na osnovu četiri dužine sa  $M_i = 10.2$ . Na kraju tačke 1, 4, 7 i 10 određene su sa najmanjim brojem dužina (samo tri) imaju i najveće srednje položajne greške ili najmanju položajnu tačnost.

Naglasimo još samo to da su rezultati ovde prezentovani u potpunoj saglasnosti sa prethodnim teorijskim razmatranjima. Ove invarijantne veličine neophodne su za definisanje kriterijuma tačnosti geodetskih mreža u cilju njihove optimizacije.





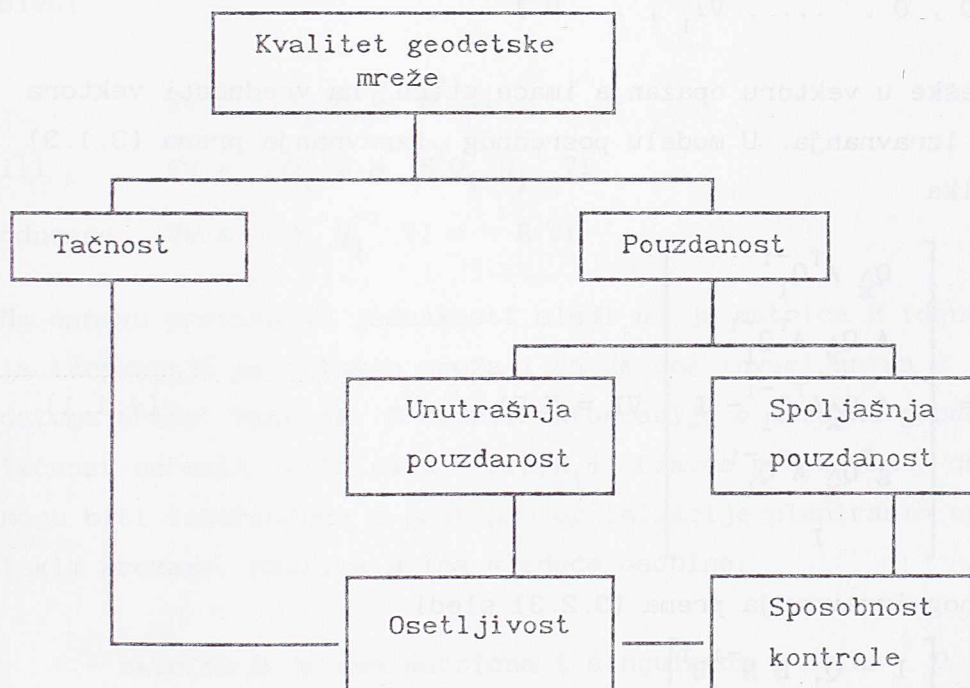
Sl.3.4.3. Položajna tačnost u 2-D mreži.





## 4. POUZDANOST GEODETSKIH MREŽA

Teorija pouzdanosti geodetskih mreža daje mogućnosti identifikacije grubih grešaka korišćenjem statističkih testova kao i osetljivost rezultata sa aspekta neidentifikovanih grubih grešaka. Informacije o tačnosti geodetskih mreža daje kovarijaciona matrica  $K_{\Lambda}$ . Integralni skup informacija o kvalitetu geodetske mreže daju zajedno pouzdanost i tačnost a slika 4.1. pokazuje njihove međusobne relacije.



Sl.4.1. Kvalitet geodetske mreže.

Koncept unutrašnje i spoljašnje pouzdanosti geodetske mreže definisao je Baarda, W. (1967. i 1968.) a teorijska i praktična razmatranja obogaćena su radovima Kok, J. (1982., 1983. i 1984.), De Heus, H. (1982.), Pelzer, H. (1977. i 1985.), Forstner, W. (1985.), Van Mierlo, J. (1987. i 1990.), Caspary, W. (1987.), Niemeier, W. (1989.) i drugi. U ovom radu dalje će

biti razmatrani matematički modeli neophodni u cilju optimizacije geodetskih mreža sa aspekta pouzdanosti odnosno, sa aspekta mogućih grešaka u rezultatima planiranih opažanja.

#### 4.1. Uticaj grubih grešaka na vektor ocena

Ako opažana vrednost  $l_i$  sadrži grubu grešku  $\nabla l_i$  onda njenu pojavu u vektoru opažanja  $l$  označavamo sa

$$\nabla l^T = ( 0 , 0 , \dots , \nabla l_i , \dots 0 )$$

Prisustvo grube greške u vektoru opažanja imaće uticaj na vrednosti vektora ocena dobijenog iz izravnjanja. U modelu posrednog izravnjanja prema (3.1.3) ovaj uticaj je oblika

$$\nabla h = \begin{bmatrix} \nabla \hat{x} \\ \nabla \hat{l} \\ \nabla v \\ \nabla \hat{f} \\ \nabla l \end{bmatrix} = \begin{bmatrix} Q_{\hat{x}}^{\Delta} A^T Q_l^{-1} \\ A Q_{\hat{x}}^{\Delta} A^T Q_l^{-1} \\ A Q_{\hat{x}}^{\Delta} A^T Q_l^{-1} - I \\ g^T Q_{\hat{x}}^{\Delta} A^T Q_l^{-1} \\ I \end{bmatrix} \nabla l = H \nabla l \quad \dots (4.1.1)$$

ili u modelu uslovnog izravnjanja prema (3.2.3) sledi

$$\nabla h = \begin{bmatrix} \nabla \hat{l} \\ \nabla v \\ \nabla k \\ \nabla l \end{bmatrix} = \begin{bmatrix} I - Q_l B N^{-1} B^T \\ - Q_l B N^{-1} B^T \\ - N^{-1} B^T \\ I \end{bmatrix} \nabla l = H \nabla l \quad \dots (4.1.2)$$



## 4.2. Uticaj grubih grešaka na popravke

Uticaj grubih grešaka na popravke dobijamo iz (4.1.1) u obliku

$$\nabla v = (A Q_{\Delta}^T A^T Q_1^{-1} - I) \nabla l = -Q_v Q_1^{-1} \nabla l \quad \dots (4.2.1)$$

ili

$$\nabla v = -R \nabla l \quad \dots (4.2.2)$$

gde je  $R = Q_v Q_1^{-1} = K_v K_1^{-1} \quad \dots (4.2.3)$

Jednačina (4.2.1) važi i u slučaju posmatranja uticaja slučajnih grešaka merenja  $\varepsilon$  na popravke  $v$ . Iz modela uslovnog izravnjanja, prema (4.1.2) sledi

$$\nabla v = -Q_1 B N^{-1} B^T \nabla l$$

ili  $\nabla v = -Q_1 B N^{-1} B^T Q_1^{-1} \nabla l$

odnosno  $\nabla v = -Q_v Q_1^{-1} \nabla l = -R \nabla l$

Na osnovu prethodnih jednakosti sledi da je matrica  $R$  identična u oba modela izravnjanja geodetskih mreža i da je ona invarijantna u odnosu na izbor datuma mreže. Matrica  $R$  sadrži informacije o dizajnu geodetske mreže kao i tačnost merenih veličina  $R = F(A, K_1)$ . Odavde proizilazi, da ove informacije mogu biti iskorišćene u postupku optimizacije planiranih opažanja u geodetskim mrežama. Matrica  $R$  ima sledeće osobine:

- matrica  $R$  je nesimetrična i singularna,  $\det R = 0$

(simetrična samo za  $Q_1 = I$ )

- rang matrice  $R$  prema Silvesterovoj teoremi je

$$r(R) = r(Q_v Q_1^{-1}) \Rightarrow r(Q_v) - [n - r(Q_1^{-1})] \leq r(R) \leq r(Q_v) \Rightarrow$$

$$n - u - [n - n] \leq r(R) \leq n - u \Rightarrow r(R) = n - u = r$$

pa je  $R$  nepotpunog ranga

- matrica je idempotentna  $R = R R = R^2$

- trag matrice je  $tr(R) = \sum_{11} = n - u = r \Rightarrow r(R) = tr(R) = r$

- za dijagonalne elemente matrice R važi  $0 \leq r_{11} \leq 1$  koji predstavljaju elementarne brojeve suvišnih merenja. Uticaj pojedine grube greške  $\nabla l_i$  na korespondentnu popravku  $v_i$  određujemo posredstvom elementarnih brojeva suvišnih merenja  $r_i$

$$\nabla v_i = - r_i \nabla l_i \quad \dots (4.2.4)$$

gde je  $r_i = (Q_v Q_l^{-1})_{ii}$

Kako su vrednosti  $r_i$  u granicama 0 i 1 onda se samo mali deo greške prenosi na popravke. Grube greške bi će pouzdanije otkrivene ako  $r_i \rightarrow \max$  odnosno  $r_i \rightarrow 1$ . Odavde sledi zaključak da u optimizaciji opažanja u geodetskim mrežama sa aspekta unutrašnje pouzdanosti neophodno je uključiti i numeričke pokazatelje  $r_i$  sa ciljem  $r_i \rightarrow \max$ .

Iz jednačine (4.2.4) sledi ocena vrednosti greške  $\nabla l$  u obliku

$$\hat{\nabla} l_i = - v_i / r_i \quad \dots (4.2.5)$$

a njena standardna devijacija

$$\sigma_{\hat{\nabla} l_i} = \sigma_{v_i} / r_i \quad \dots (4.2.6)$$

Kako je

$$\sigma_{v_i} = \sigma_o \sqrt{Q_{v_i v_i}} = \sigma_{l_i} \sqrt{r_i} \quad \dots (4.2.7)$$

onda (4.2.6) pišemo u obliku

$$\sigma_{\hat{\nabla} l_i} = \sigma_{v_i} / r_i = \sigma_{l_i} / \sqrt{r_i} \quad \dots (4.2.8)$$

Ocene grubih grešaka  $\hat{\nabla} l$  u pojedinim opažanjima možemo dobiti i sa aspekta linearnih statističkih hipoteza. Hipoteze su

$$H_o : E(1/H_o) = A x \quad \dots (4.2.9)$$

$$H_a : E(1/H_a) = A x + C \nabla l \quad \dots (4.2.10)$$

gde je

$$C^T = \begin{bmatrix} 0 & 0 & 0 & \dots & 1 & \dots & 0 & 0 & 0 & 0 \\ 0 & 0 & 0 & \dots & 0 & \dots & 1 & \dots & 0 & 0 \end{bmatrix}$$

a opažanja  $l_i$  i  $l_k$  sadrže grube greške. Alternativnoj hipotezi adekvatan je funkcionalni model posrednog izravnjanja

$$v = A x + C \nabla l - l \quad \dots (4.2.11)$$

ili

$$v = \begin{bmatrix} A & C \end{bmatrix} \begin{bmatrix} x \\ \nabla l \end{bmatrix} - l \quad \dots (4.2.12)$$

Primenom metode najmanjih kvadrata slede normalne jednačine

$$\begin{bmatrix} A^T P A & A^T P C \\ C^T P C & C^T P C \end{bmatrix} \begin{bmatrix} x \\ \nabla l \end{bmatrix} = \begin{bmatrix} A^T P l \\ C^T P l \end{bmatrix} \quad \dots (4.2.13)$$

Iz ovog sistema jednačina dobijamo matricnu jednačinu

$$(C^T P C - C^T P A N^{-1} A^T P C) \hat{\nabla} l = C^T P (P^{-1} - A N^{-1} A^T) P l$$

u kojoj je

$$Q_v = P^{-1} - A N^{-1} A^T$$

$$Q_{\hat{\nabla} l \hat{\nabla} l} = (C^T P C - C^T P A N^{-1} A^T P C)^{-1} = (C^T P Q_v P C)^{-1} \quad \dots (4.2.14)$$

pa rešenje za  $\hat{\nabla} l$  pišemo kraće

$$\hat{\nabla} l = Q_{\hat{\nabla} l \hat{\nabla} l} C^T P Q_v P l \quad \dots (4.2.15)$$

Vektor popravaka  $v$  napišemo u obliku

$$v = A \hat{x} - l = (A Q_{\hat{x}} A^T P - I) l = -Q_v P l \quad \dots (4.2.16)$$

i zamenom u (4.2.15) sledi

$$\hat{\nabla} l = -Q_{\hat{\nabla} l \hat{\nabla} l} C^T P v \quad \dots (4.2.17)$$

Za jedno pogrešno opažanje  $\nabla l_i$  pišemo

$$C^T = c_i^T = e_i^T = \begin{bmatrix} 0 & 0 & 0 & \dots & 1 & \dots & 0 & 0 \end{bmatrix}$$

a jednakost (4.2.17) ima oblik

$$\hat{\nabla} l_i = \frac{-e_i^T P v}{e_i^T P Q_v P e_i} \quad \dots (4.2.18)$$

ili za stohastički nezavisna opažanja ( $P = \text{Diag } P$ )



$$\hat{\Delta} l_i = \frac{-p_i v_i}{p_i Q_{V_i} p_i} = \frac{-v_i}{Q_{V_i} p_i} = \frac{-v_i}{r_i}$$

što je identično izrazu (4.2.5).

#### 4.3. Uticaj grubih grešaka na izravnete vrednosti opažanja

Uticaj grubih grešaka na izravnete vrednosti opažanja sledi iz (4.1.1) u obliku

$$\nabla \hat{l} = A Q_{\hat{x}} A^T Q_1^{-1} \nabla l = Q_{\hat{l}} Q_1^{-1} \nabla l \quad \dots (4.3.1)$$

ili  $\nabla \hat{l} = U \nabla l \quad \dots (4.3.2)$

gde je  $U = Q_{\hat{l}} Q_1^{-1} = K_{\hat{l}} K_1^{-1} \quad \dots (4.3.3)$

Isti uticaj dobijamo iz (4.1.2)

$$\nabla \hat{l} = (I - Q_1 B N^{-1} B^T) \nabla l$$

ili  $\nabla \hat{l} = (Q_1 - Q_1 B N^{-1} B^T Q_1) Q_1^{-1} \nabla l$

odnosno  $\nabla \hat{l} = Q_{\hat{l}} Q_1^{-1} \nabla l = U \nabla l$

pa sledi da je matrica U identična u oba modela izravnanja geodetskih mreža i da je invarijantna u odnosu na izbor datuma mreže. Na osnovu (4.2.1) i (4.3.3) dobijamo jednakost

$$\nabla v = (U - I) \nabla l = -R \nabla l$$

ili  $R + U = I \quad \dots (4.3.4)$

odnosno  $u_i + r_i = 1. \quad \dots (4.3.5)$

Osobine matrice U su :

- matrica U je nesimetrična i singularna ,  $\det U = 0$
- rang matrice U je  $r(U) = u$
- matrica U je idempotentna  $U = U U = U^2$
- trag matrice U je  $tr(U) = \sum u_i = u \Rightarrow r(U) = tr(U) = u$

- za dijagonalne elemente matrice  $U$  važi  $0 \leq u_{ii} \leq 1$  i oni vrše distribuciju grubih grešaka na izravnete vrednosti opažanja. Uticaj pojedine grube greške  $\nabla l_i$  na korespondentnu izravnatu vrednost opažanja je

$$\nabla \hat{l}_i = u_{ii} \nabla l_i$$

sa ocenom

$$\hat{\nabla} l_i = u_{ii} \hat{\nabla} l_i \quad \dots (4.3.6)$$

gde je:

$$u_{ii} = (Q_{1i}^{-1} Q_{1i})_{ii} \text{ dijagonalni koeficijent matrice } U,$$

$\hat{\nabla} l_i$  ocena grube greške u opažanju  $l_i$  određena prema (4.2.5).

Standardne devijacije izravnatih veličina dobijamo prema

$$\sigma_{\hat{l}_i} = \sigma_o \sqrt{Q_{1i}^{-1} \hat{l}_i} = \sigma_{l_i} \sqrt{u_{ii}}$$

a standardne devijacije ocena grubih grešaka u izravnatim vrednostima opažanja (4.3.6) prema

$$\sigma_{\hat{\nabla} l_i} = \sqrt{u_{ii}} \sigma_{\hat{\nabla} l_i} \quad \dots (4.3.7)$$

ili zamenom (4.2.7) u (4.3.7) dobijamo

$$\sigma_{\hat{\nabla} l_i} = \sigma_{l_i} \sqrt{u_{ii} / r_i} \quad \dots (4.3.8)$$

#### 4.4. Uticaj grubih grešaka na ocene parametara

Uticaj grubih grešaka na ocene parametara sledi iz (4.1.1)

$$\nabla \hat{x}_i = Q_X^{\wedge} A^T Q_1^{-1} \nabla l_i$$

odnosno, kako su određene ocene  $\hat{\nabla} l_i$  za  $\nabla l_i$  u (4.2.5) prethodnu jednakost pišemo

$$\hat{\nabla} \hat{x}_i = Q_X^{\wedge} A^T Q_1^{-1} \hat{\nabla} l_i \quad \dots (4.4.1)$$

Ove ocene zavise od izbora datuma mreže pa određujemo invarijantne ocene posredstvom norme kvadratne forme

$$|| \hat{\nabla} \hat{x}_i ||^2 = ( \hat{\nabla} \hat{x}_i^T Q_X^{\wedge} Q_1^{-1} \hat{\nabla} \hat{x}_i ) \quad \dots (4.4.2)$$

Zamenom (4.4.1) u (4.4.2) sledi

$$|| \hat{\nabla} \hat{x}_i ||^2 = \hat{\nabla} l_i^T ( Q_1^{-1} Q_X^{\wedge} Q_1 ) \hat{\nabla} l_i$$

ili imajući u vidu (4.3.3)

$$|| \hat{\nabla} \hat{x}_i ||^2 = \hat{\nabla} l_i^T ( Q_1^{-1} U ) \hat{\nabla} l_i \quad \dots (4.4.3)$$

Za stohastički nezavisna merenja pišemo

$$\bar{\delta}_i = || \hat{\nabla} \hat{x}_i || = \sqrt{p_i u_i} \hat{\nabla} l_i \quad \dots (4.4.4)$$

ili prema (4.2.5) i (4.4.4) sledi

$$\bar{\delta}_i = - \frac{\sqrt{p_i u_i}}{r_i} v_i = - \frac{\sqrt{p_i (1-r_i)}}{r_i} v_i \quad \dots (4.4.5)$$

U slučaju opažanja iste tačnosti dobijamo jednostavan izraz

$$\bar{\delta}_i = - \frac{\sqrt{1-r_i}}{r_i} v_i \quad \dots (4.4.6)$$

koji je u funkciji  $r_i$  i  $v_i$ .

Uticaj grubih grešaka opažanja na linearnu funkciju

$$\hat{f} = g^T \hat{x}$$

sledi iz (4.1.1)



Prvi integral u ovoj jednačini je verovatnoća na levoj strani normalne necentralne distribucije koja se odnosi na hipotezu  $H_a$ . Za velike vrednosti  $\beta$  vrednost prvog integrala je praktično zanemarljiva ( $I_1 \approx 0$ ) u odnosu na  $\beta$ . Drugi integral razvijemo u obliku

$$I_2 = \frac{1}{\sqrt{2\pi}} \int_{-(\delta-k)}^{+\infty} e^{-1/2 x^2} dx = \frac{1}{\sqrt{2\pi}} \int_{-(\delta-k)}^0 e^{-1/2 x^2} dx + \frac{1}{\sqrt{2\pi}} \int_0^{+\infty} e^{-1/2 x^2} dx$$

ili

$$\beta = \frac{1}{\sqrt{2\pi}} \int_{-(\delta-k)}^0 e^{-1/2 x^2} dx + 0.5 \quad \dots (4.5.14)$$

Jednačinu (4.5.13) možemo pisati i kraće

$$\beta = [1 - \Phi(\delta+k)] + \Phi(\delta-k) = I_1 + I_2 \quad \dots (4.5.15)$$

gde je za veliku vrednost  $\beta$  vrednost  $I_1 \approx 0$  a moć testa

$$\beta = \Phi(\delta-k) \quad \dots (4.5.16)$$

Zahtevi da greška prve vrste bude minimalna a moć testa maksimalna, su u suprotnosti pa je neophodno nalaženje optimalnog rešenja. Pri rešavanju ovog problema neophodno je imati u vidu i problem necentralnog parametra  $\delta$ .

Naime, kako u opštem slučaju neznamo unapred uticaj grubih grešaka onda proizilazi da nemožemo unapred birati konstantnu vrednost za necentralni parametar  $\delta$  a samim tim i primenjivati (4.5.15) ili (4.5.16) u cilju određivanja moći testa  $\beta$ . Parametar necentralnosti treba odrediti na osnovu usvojene optimalne verovatnoće greške prve vrste  $\alpha_0$  i usvojene optimalne moći testa  $\beta_0$  tako da je  $\delta_0 = f(\alpha_0, \beta_0)$ . Rešenje dobijamo direktno iz jednačine (4.5.16) u obliku

$$\delta_0 = k + \Phi^{-1}(\beta_0) \quad \dots (4.5.17)$$

ili zamenom (4.5.10) u (4.5.17) sledi

$$\delta_0 = \Phi^{-1}(1-\alpha_0/2) + \Phi^{-1}(\beta_0) \quad \dots (4.5.18)$$

U tabeli 4.5.2 određene su vrednosti necentralnog parametra  $\delta_0$  prema (4.5.18) za različite verovatnoće  $\alpha_0$  i  $\beta_0$ .

Tabela 4.5.2.

$\alpha_0$	0.01%	0.1%	1%	5%
$\beta_0 = k$	3.72	3.29	2.58	1.96
50%	3.72	3.29	2.58	1.96
70%	4.41	3.82	3.10	2.48
80%	4.73	4.13	3.42	2.80
90%	5.17	4.57	3.86	3.24
95%	5.54	4.94	4.22	3.61
99%	6.22	5.62	4.90	4.29

Vrednosti necentralnog parametra  $\delta_0 = f(\alpha_0, \beta_0)$

Testiranje jednodimenzionalnih statističkih hipoteza dato je u vidu grafičkog algoritma (Sl.4.5.2), u literaturi poznat kao " data snooping " ili *Baardin metod* testiranja (De Heus, H. 1982.) ili (Kok, J.J. 1984.). Za testiranje standardne devijacije jedinice težine  $\hat{\sigma}_0$  uzima se globalna  $r$  dimenzionalna test statistika

$$T = \frac{\mathbf{v}^T \mathbf{P} \mathbf{v}}{r \sigma_0^2} = \frac{\hat{\sigma}_0^2}{\sigma_0^2} \sim F_{1-\alpha, r, \infty} \left( = \frac{\chi_r^2}{r} \right) \quad \dots (4.5.19)$$

gde se za  $T \leq F_{1-\alpha, r, \infty}$  prihvata nulta hipoteza  $H_0$ . Za jednodimenzionalni " data snooping " test

$$|w_1|^2 = \left[ \frac{v_1}{\sigma_0 \sqrt{Q_{v_1}}} \right]^2 \sim F_{1-\alpha, 1, \infty} \quad \dots (4.5.20)$$

$$\hat{\hat{f}}_i = \mathbf{g}^T \mathbf{K}_x^\Delta \mathbf{A}^T \mathbf{K}_l^{-1} \hat{\hat{l}}_i \quad \dots (4.4.7)$$

ili za stohastički nezavisna opažanja

$$\hat{\hat{f}}_i = \mathbf{g}^T \mathbf{K}_x^\Delta \mathbf{a}_i^T \hat{\hat{l}}_i / \sigma_{l_i}^2 \quad \dots (4.4.8)$$

gde je  $\mathbf{a}_i^T$  i-ti red matrice  $\mathbf{A}$ .

Prema Schwarz-ovoj nejednakosti

$$\mathbf{u}^T \mathbf{V} \mathbf{w} \leq (\mathbf{u}^T \mathbf{V} \mathbf{u})^{1/2} (\mathbf{w}^T \mathbf{V} \mathbf{w})^{1/2}$$

jednačinu (4.4.8) pišemo u obliku

$$\hat{\hat{f}}_i \leq (\mathbf{g}^T \mathbf{K}_x^\Delta \mathbf{g})^{1/2} (\mathbf{a}_i^T \mathbf{K}_x^\Delta \mathbf{a}_i)^{1/2} \frac{\hat{\hat{l}}_i}{\sigma_{l_i}^2}$$

gde je

$$\begin{aligned} (\mathbf{g}^T \mathbf{K}_x^\Delta \mathbf{g})^{1/2} &= \sigma_f \\ (\mathbf{a}_i^T \mathbf{K}_x^\Delta \mathbf{a}_i)^{1/2} &= \sigma_{l_i} = \sigma_{l_i} \sqrt{u_i} \end{aligned}$$

pa sledi

$$\hat{\hat{f}}_i \leq \sigma_f \sqrt{u_i} \frac{\hat{\hat{l}}_i}{\sigma_{l_i}} \quad \dots (4.4.9)$$

Imajući u vidu (4.3.9) i (4.4.9) dobijamo

$$\hat{\hat{f}}_i \leq \bar{\delta}_i \sigma_f \quad \dots (4.4.10)$$

Ovaj izraz daje uticaj grešaka  $\hat{\hat{l}}_i$  u opažanjima na linearnu funkciju  $\hat{f}$  i predstavlja empirijsku osetljivost funkcije.



#### 4.5. Statističko testiranje hipoteza

U postupku identifikacije grubih grešaka u opažanjima, statistički testovi daju kriterijume za donošenje odluke o prihvatanju ili odbacivanju hipoteza

$$\begin{aligned} H_o &: \nabla l_i = 0 \\ H_a &: \nabla l_i \neq 0 \end{aligned} \quad \dots(4.5.1)$$

Kada su opažanja stohastički zavisna test statistika ima oblik ( Van Mierlo J. 1982.)

$$w_i = \frac{-c_i^T K_l^{-1} v}{\sigma_o \sqrt{c_i^T K_l^{-1} K_v K_l^{-1} c_i}} \quad \dots(4.5.2)$$

ili za stohastički nezavisna

$$w_i = \frac{-v_i}{\sigma_o \sqrt{Q_{v_i v_i}}} = \frac{-v_i}{\sigma_{v_i}} \quad \dots(4.5.3)$$

odnosno

$$w_i = \frac{-v_i}{\sigma_{v_i}} = \frac{-v_i}{\sigma_l \sqrt{r_i}} \sim N(0, 1) \quad \dots(4.5.4)$$

Ocena test statistike u nultoj hipotezi je

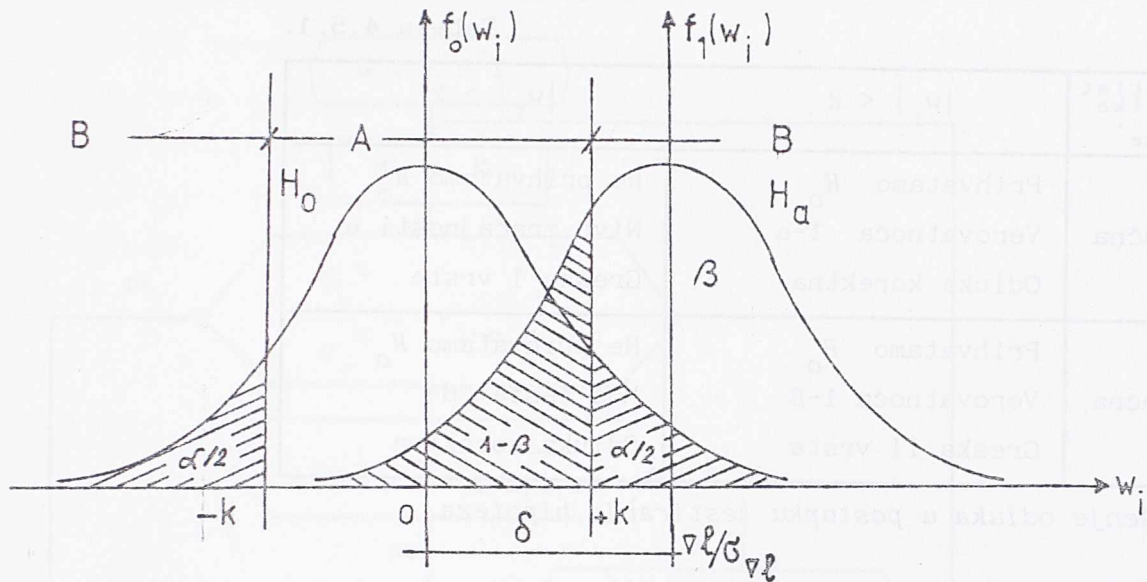
$$E \{ w_i / H_o \} = 0 \quad \dots(4.5.5)$$

a u alternativnoj

$$E \{ w_i / H_a \} = \nabla w_i = \delta_i \quad \dots(4.5.6)$$

odnosno  $w_i / H_o \sim N(0, 1)$

$$w_i / H_a \sim N(\delta_i, 1)$$

Sl.4.5.1. Gustina funkcija test statistika  $w_1$ 

gde je  $N(\delta_1, 1)$  necentralna normalna distribucija a  $\delta_1$  parametar necentralnosti. Parametar necentralnosti (4.5.6) možemo pisati prema (4.5.4) odnosno, prema (4.2.5), (4.2.6), (4.2.7)

$$\delta_1 = \nabla w_1 = - \frac{\nabla v_i}{\sigma_{v_i}} = - \frac{\hat{\Delta} l_i}{\sigma \hat{\Delta} l_i} = \frac{\hat{\Delta} l_i \sqrt{r_i}}{\sigma l_i} \quad \dots(4.5.7)$$

a odavde proizilazi da slaba geometrija mreže ima mali uticaj na test statistiku pa samim tim otežava donošenje korektnih odluka između hipoteza  $H_0$  i  $H_a$ . Odluke o prihvatanju ili odbacivanju hipoteza donosimo na osnovu tabele 4.5.1.

Verovatnoća da test statistika  $w_1$  dobije vrednost između kritičnih vrednosti  $-k$  i  $k$ , kada je  $H_0$  tačna, jednaka je

$$1 - \alpha = P(w_1 \in A / H_0) \quad \dots(4.5.8)$$

a njen komplement do 1 je nivo značajnosti  $\alpha$  koji predstavlja verovatnoću pojave greške prve vrste

$$\alpha = P(w_1 \in B / H_0) = 2 \{ 1 - \phi(k) \} \quad \dots(4.5.9)$$

Tabela 4.5.1.

Statistika Hipoteze	$ w_i  < k$	$ w_i  > k$
$H_0$ tačna	Prihvatamo $H_0$ Verovatnoća $1-\alpha$ Odluka korektna	Ne prihvatamo $H_0$ Nivo značajnosti $\alpha$ Greška I vrste
$H_a$ tačna	Prihvatamo $H_0$ Verovatnoća $1-\beta$ Greška II vrste	Ne prihvatamo $H_0$ Moć testa $\beta$ Odluka korektna

Donošenje odluka u postupku testiranja hipoteza.

iz koje sledi kritična vrednost

$$k = \phi^{-1}(1 - \alpha/2) \quad \dots(4.5.10)$$

Verovatnoća korektnog ne prihvatanja nulte hipoteze  $H_0$  odnosno, verovatnoća prihvatanja alternativne hipoteze  $H_a$  kada je ona tačna, jednaka je moći testa

$$\beta = P(w_i \in B / H_a) \quad \dots(4.5.11)$$

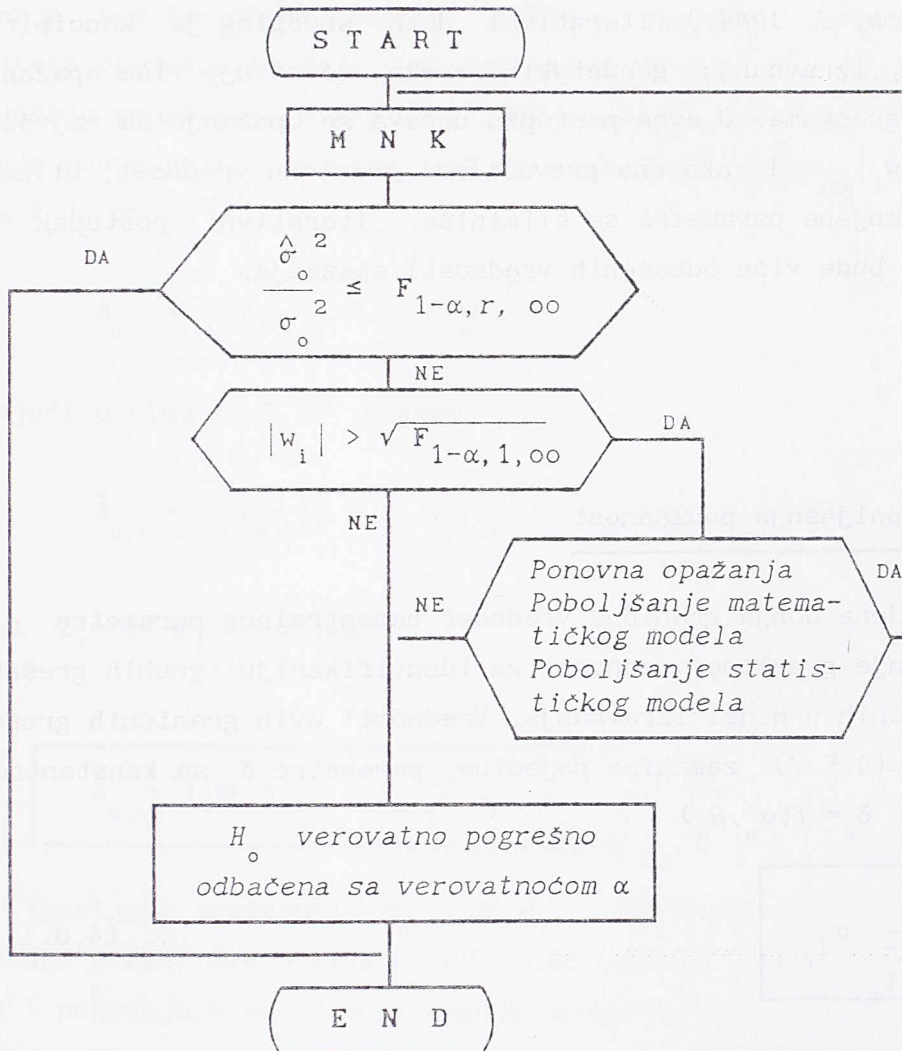
a njen komplement do 1 je verovatnoća pojave greške druge vrste

$$1 - \beta = P(w_i \in A / H_a) \quad \dots(4.5.12)$$

Prilikom testiranja hipoteza, za grešku prve vrste  $\alpha$  usvajaju se obično verovatnoće  $\alpha = 0.05, 0.01, \dots 0.001$  a prema (4.5.10) određujemo kritičnu vrednost  $k$ . Ako je pritom poznata vrednost parametra ncentralnosti  $\delta_1$  onda određujemo moć testa

$$P(w_i > k / H_a) = \beta = \frac{1}{\sqrt{2\pi}} \int_{-\infty}^{-(k+\delta)} e^{-1/2 x^2} dx + \frac{1}{\sqrt{2\pi}} \int_{-(\delta-k)}^{+\infty} e^{-1/2 x^2} dx = I_1 + I_2 \quad \dots(4.5.13)$$





Sl.4.5.2. Testiranje statističkih hipoteza,  
" Data snooping "

prihvata se nulta hipoteza  $H_o$  ako je

$$|w_i| \leq \sqrt{F_{1-\alpha, 1, \infty}} \quad \dots (4.5.21)$$

Pored klasičnog "data snooping-a" razvijen je i iterativni "data snooping" koji se bazira na rekurzivnim formulama odnosno, ponavljanju standardnog

data snooping-a (Kok, J. 1984.). Iterativni data snooping je koncipiran za slučajeve kada u izravnanju geodetskih mreža učestvuje više opažanja opterećenih grubim greškama. U ovom postupku uočava se opažanje sa najvećom test statistikom  $|w_i|_{\max}$  i ako ona prevazilazi graničnu vrednost, uticaj ovog opažanja na ocenjene parametre se eliminiše. Iterativni postupak se ponavlja sve dok ne bude više odbačenih vrednosti opažanja.

#### 4.6. Unutrašnja i spoljašnja pouzdanost

Kada je određena donja granična vrednost necentralnog parametra  $\delta_0$  mogu se odrediti donje granične vrednosti za identifikaciju grubih grešaka u opažanjima uključenih u model izravnjanja. Vrednosti ovih graničnih grešaka dobijamo kada u (4.5.7) zamenimo pojedine parametre  $\delta_1$  sa konstantnom graničnom vrednošću  $\delta_0 = f(\alpha_0, \beta_0)$

$$\nabla_0 l_1 = \frac{\delta_0}{\sqrt{r_1}} \sigma_{l_1} \quad \dots (4.6.1)$$

Teorijske vrednosti  $\nabla_0 l_1$  daju unutrašnju pouzdanost geodetske mreže koju je definisao Baarda. Ove granične greške mogu se odrediti za sva opažanja u geodetskoj mreži kao mere sposobnosti mreže da identifikuje grube greške u pojedinim opažanjima. Obično se za sva opažanja u mreži uzima  $\delta_0 = \text{const}$  u cilju dobijanja homogene unutrašnje pouzdanosti mreže.

Imajući u vidu da teorijske vrednosti graničnih grešaka (4.6.1) ne zavise od rezultata opažanja već od dizajna mreže, stohastičkog modela opažanja i parametra necentralnosti  $\delta_0$  proizilazi da unutrašnja pouzdanost geodetske mreže može biti određena pre realizacije opažanja. Ova mogućnost bi će iskorišćena kasnije u ovom radu u okviru optimizacije geodetskih mreža.

Najčešće finalni rezultati izravnjanja geodetske mreže nisu izravnata opažanja, već koordinate tačaka. Dobra i homogena unutrašnja pouzdanost rezultata opažanja ne daje uvek adekvatnu pouzdanost koordinata odnosno, spoljašnju pouzdanost mreže. U cilju dobijanja teorijskih vrednosti spoljašnje pouzdanosti u izrazu (4.4.4) empirijsku vrednost  $\hat{\sigma}_i$  zamenimo teorijskom  $\nabla_o l_i$  pa je

$$\bar{\delta}_{o,i} = \|\nabla_o X_i\| = \nabla_o l_i \sqrt{p_i u_i} \quad \dots (4.6.2)$$

i imajući u vidu (4.6.1) pišemo

$$\bar{\delta}_{o,i} = \|\nabla_o X_i\| = \delta_o \sigma_{l_i} \sqrt{p_i u_i / r_i}$$

ili za  $p_i = 1/\sigma_{l_i}^2$  dobijamo

$$\bar{\delta}_{o,i} = \|\nabla_o X_i\| = \delta_o \sqrt{u_i / r_i} \quad \dots (4.6.3)$$

Teorijske vrednosti  $\bar{\delta}_{o,i} = \|\nabla_o X_i\|$  definišu spoljašnju pouzdanost geodetske mreže. Ove veličine su invarijantne u odnosu na datum geodetske mreže i pokazuju u kojoj meri moguća neidentifikovana gruba greška u opažanju  $\nabla l$ , može uticati na definitivne ocene nepoznatih parametara  $x$  odnosno, vrednosti koordinata.

Kako ove mere ne zavise od rezultata opažanja to one mogu biti određene pre početka opažanja u mreži odnosno, mogu biti uključene u matematičke modele optimizacije. Za linearnu funkciju sledi prema (4.6.2) i (4.4.9)

$$\hat{\sigma}_i \leq \sigma_f \delta_i \sqrt{u_i / r_i} \quad \dots (4.6.4)$$

a zamenom  $\delta_i$  sa  $\delta_o$  dobijamo



$$\nabla_{o_i} f_i \leq \sigma_f \delta_o \sqrt{u_i / r_i} \quad \dots (4.6.5)$$

spoljašnju teorijsku pouzdanost funkcije.

## 5. OGRANICENJA TEORIJE POUZDANOSTI

Određeni problemi koji mogu nastupiti pri identifikaciji grubih grešaka putem klasične teorije pouzdanosti, već su istaknuti u radovima : Kok, J. J. (1984.), Caspary, W. (1988.), Forstner, W. (1985.), Mihailović, K. (1991.b) i drugi.

U postupku identifikacije grubih grešaka može se dogoditi, da opažanja koja ne sadrže grube greške imaju maksimalnu vrednost test statistike veću od kritične vrednosti i na taj način se nekorektno odbacuju. Gruba greška jednog opažanja može prouzrokovati velike vrednosti test statistika više drugih opažanja koje prevazilaze kritičnu vrednost. Ove pojave obično se objašnjavaju time, da popravke opažanja u mreži dobijene izravnanjem po MNK nisu robustne s obzirom na pojavu grubih grešaka u opažanjima.

Zato se želi ukazati na određena ograničenja u teoriji pouzdanosti. S obzirom na ova ograničenja biće određen optimalni oblik matrice  $R_0$  koji može biti korišćen u fazama projektovanja i optimizacije geodetskih mreža.

### 5.1 Elementarne popravke

Vektor popravaka  $v$  iz modela posrednog izravnjanja (3.1.3) možemo pisati u drugom obliku ako imamo u vidu (4.2.3)

$$v = -R l$$

... (5.1.1)

Odavde je očigledno da se uticaj rezultata opažanja  $l$  na vektor popravaka  $v$  ostvaruje preko matrice  $R$ . Jednakost (5.1.1) napišemo sada u razvijenom obliku

$$\begin{bmatrix} v_1 \\ v_2 \\ \vdots \\ v_n \end{bmatrix} = - \begin{bmatrix} r_{11} & r_{12} & \dots & r_{1n} \\ r_{21} & r_{22} & \dots & r_{2n} \\ \vdots & \vdots & \ddots & \vdots \\ r_{n1} & r_{n2} & \dots & r_{nn} \end{bmatrix} \begin{bmatrix} l_1 \\ l_2 \\ \vdots \\ l_n \end{bmatrix}$$

ili

$$\begin{bmatrix} v_1 \\ v_2 \\ \vdots \\ v_n \end{bmatrix} = - \begin{bmatrix} r_{11} l_1 + r_{12} l_2 + \dots + r_{1n} l_n \\ r_{21} l_1 + r_{22} l_2 + \dots + r_{2n} l_n \\ \vdots \\ r_{n1} l_1 + r_{n2} l_2 + \dots + r_{nn} l_n \end{bmatrix} \quad \dots (5.1.2)$$

odnosno,

$$\begin{bmatrix} v_1 \\ v_2 \\ \vdots \\ v_n \end{bmatrix} = - \begin{bmatrix} v_{11} + v_{12} + \dots + v_{1n} \\ v_{21} + v_{22} + \dots + v_{2n} \\ \vdots \\ v_{n1} + v_{n2} + \dots + v_{nn} \end{bmatrix} \quad \dots (5.1.3)$$

gde su :

$v_i$  ukupne popravke

$$\begin{aligned} -v_i &= r_{i1} l_1 + r_{i2} l_2 + \dots + r_{in} l_n = \\ &= v_{i1} + v_{i2} + \dots + v_{in} \end{aligned} \quad (i=1, 2, \dots, n) \quad \dots (5.1.4)$$

$v_{ij}$  elementarne popravke

$$-v_{ij} = r_{ij} l_j \quad (j=1, 2, \dots, n) \quad \dots (5.1.5)$$

Ukupna popravka  $v_i$  jednog opažanja u vektoru  $v$  zavisi od koeficijenata matrice  $R$  i od svih rezultata opažanja

$$v_i = f(r_{i1}, r_{i2}, \dots, r_{in}, l_1, l_2, \dots, l_n) \quad \dots (5.1.6)$$

a elementarna  $v_{ij}$  samo od korespondentnih vrednosti

$$v_{ij} = f(r_{ij}, l_j) \quad (i, j=1, 2, \dots, n) \quad \dots (5.1.7)$$



Za elementarne popravke važi

$$\left. \begin{aligned} E(v_{ij}) &= -r_{ij} & E(l_j) &= -r_{ij} \mu_{l_i} \neq 0 \\ \sigma_{v_{ij}} &= r_{ij} \sigma_{l_j} \end{aligned} \right\} \dots (5.1.8)$$

Na osnovu standardnih devijacija ukupnih popravaka  $v_i$

$$\sigma_{v_i} = \sigma_0 \sqrt{Q_{v_i v_i}} = \sigma_{l_i} \sqrt{r_{ii}}$$

i standardnih devijacija elementarnih popravaka (5.1.8)

sledi veza između njih

$$\sigma_{v_{ii}} = \sigma_{v_i} \sqrt{r_{ii}} = r_{ii} \sigma_{l_i} \dots (5.1.9)$$

Kako su vrednosti koeficijenata  $r_{ii}$  u realnim geodetskim mrežama uvek manje od jedan

$$r_{ii} < 1$$

to je

$$\sigma_{v_{ii}} < \sigma_{v_i} \quad (i=1, 2, \dots, n) \quad \dots (5.1.10)$$

Prethodna razmatranja poslužiće u cilju uočavanja ograničenja u identifikaciji grubih grešaka u narednim poglavljima.

## 5.2. Problemi identifikacije grubih grešaka

U teoriji pouzdanosti geodetskih mreža, postavlja se zahtev da  $r_i \Rightarrow \max$  u cilju pouzdanijeg otkrivanja grubih grešaka. Numerički pokazatelji dobijeni na osnovu velikog broja simuliranih i realnih geodetskih mreža, dati su u tabeli 5.2.1. (Murle, M. i Bill, R. 1984).

Tabela 5.2.1.

GRANICE $r$	OCENE KONTROLE
$0 \leq r_1 < 0.01$	nema kontrole
$0.01 \leq r_1 < 0.1$	slaba kontrola
$0.1 \leq r_1 < 0.3$	dovoljna kontrola
$0.3 \leq r_1 \leq 1$	dobra kontrola

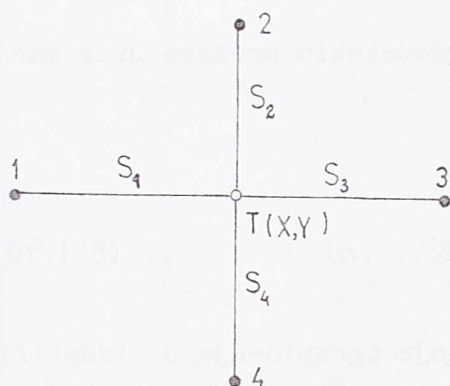
Ocene kontrole u teoriji pouzdanosti.

Karakteristične vrednosti koeficijenata  $r_i$  u geodetskim mrežama (Caspary, W. 1988.) su:

- trigonometrijske mreže  $r_i = 0.3 - 0.6$
- poligonske mreže  $r_i = 0.1 - 0.2$
- kombinovane mreže  $r_i = 0.5 - 0.8$
- nivelmanske mreže  $r_i = 0.2 - 0.5$ .

Međutim, ustanovljeno je kada vrednosti koeficijenata  $r_i$  pripadaju intervalu dobre kontrole  $0.3 \leq r_i < 1$ , grube greške u opažanjima mogu ostati neidentifikovane pouzdano. Sledeći primer ilustruje ovu konstataciju.

Primer 5.2.1. Za 2-D mrežu (Sl.5.2.1) imamo:



$$\sigma_{S_i} = 1 \text{ mm}$$

$$(i=1, 2, 3, 4)$$

SL.5.2.1. Merene dužine u 2-D mreži.

$$A = \begin{bmatrix} 0 & 1 \\ -1 & 0 \\ 0 & -1 \\ 1 & 0 \end{bmatrix}, \quad l = \begin{bmatrix} -1.0 \\ 0.1 \\ -0.8 \\ 0.8 \end{bmatrix}, \quad R = \begin{bmatrix} 0.5 & 0 & 0.5 & 0 \\ 0 & 0.5 & 0 & 0.5 \\ 0.5 & 0 & 0.5 & 0 \\ 0 & 0.5 & 0 & 0.5 \end{bmatrix} \text{ [mm]}$$

Vrednost opažanja  $l_2$  opteretimo grubom greškom

$$\nabla l_2 = 10 \text{ mm} \{ \nabla l_2 > \nabla_0 l_2 = 5.8 \text{ mm}, \delta_0 = f(0.001; 0.80; 1; \infty) = 4.13 \}$$

pa je sada vektor opažanja

$$l = \begin{bmatrix} l_1 \\ l_2 + \nabla l_2 \\ l_3 \\ l_4 \end{bmatrix} = \begin{bmatrix} -1.0 \\ 10.1 \\ -0.8 \\ 0.8 \end{bmatrix} \text{ [mm]}$$

Nakon primene MNK dobijamo

$$\hat{\mathbf{x}} = \begin{bmatrix} -4.65 \\ -0.10 \end{bmatrix} \quad \mathbf{v} = \begin{bmatrix} 0.90 \\ -5.45 \\ 0.90 \\ -5.45 \end{bmatrix} \quad [\text{mm}]$$

odnosno, nakon identifikacije grubih grešaka

$$T = \frac{\hat{\sigma}_o^2}{\sigma_o^2} = 30.5 > 3.0 = F_{0.95; 2; \infty}$$

$$w_i = \frac{|v_i|}{\sigma_{v_i}} = \begin{bmatrix} 1.27 < \\ 7.71 > \\ 1.27 < \\ 7.71 > \end{bmatrix} \left. \vphantom{\frac{|v_i|}{\sigma_{v_i}}} \right\} k, \quad \hat{l}_i = \frac{-v_i}{r_i} = \begin{bmatrix} -1.8 \\ 10.9 \\ -1.8 \\ 10.9 \end{bmatrix}$$

$$k = \sqrt{F_{0.999; 1; \infty}} = 3.29$$

Iz ovog primera jasno se vidi da gruba greška u opažanju  $l_2$  pokazuje identične vrednosti test statistika

$$w_2 = w_4 > k.$$

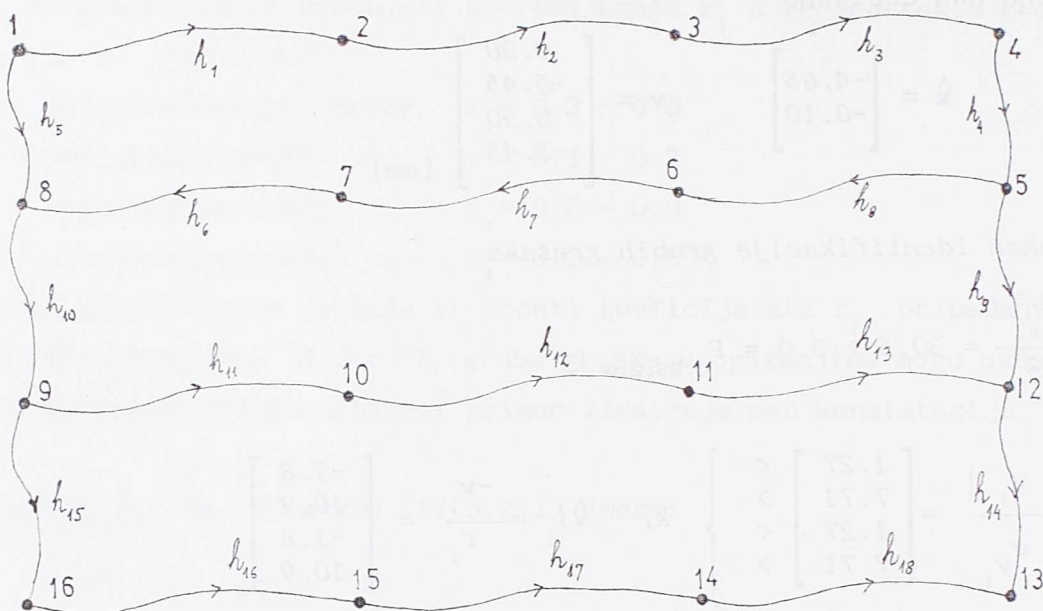
Oдавде proizilazi da se ne može nakon testiranja statističkih hipoteza doneti odluka o tome, da li se gruba greška nalazi u opažanju  $l_2$  ili  $l_4$  ili možda u oba ova opažanja. Prema tome, iako se koeficijenti  $r_i = 0.5$  nalaze u granici dobre kontrole identifikacija grube greške nije pouzdana.

Ako se samo opažanje  $l_4$  optereti grubom greškom dolazi do identične pojave  $w_2 = w_4$ . Ova će pojava doći do izražaja i kada je u pitanju par opažanja  $l_1$  i  $l_3$  odnosno, pojava grube greške u jednom ili drugom dovodi do identičnih vrednosti test statistika  $w_1 = w_3$ .

Sledeći primer je nivelmanska mreža na slici 5.2.2. sa prosečnom pouzdanošću opažanja  $\bar{r} = r/n = 0.17$  u granicama dovoljne kontrole. Za grubu grešku u jednom od opažanja dobijaju se sledeće identične vrednosti test statistika:

- za  $h_1$  ili  $h_2$  ili ... ili  $h_5 \Rightarrow w_1 = w_2 = \dots = w_5$  ili,
- za  $h_6$  ili  $h_7$  ili  $h_8 \Rightarrow w_6 = w_7 = w_8$  ili,
- za  $h_{11}$  ili  $h_{12}$  ili  $h_{13} \Rightarrow w_{11} = w_{12} = w_{13}$  ili,
- za  $h_{16}$  ili  $h_{17}$  ili  $h_{18} \Rightarrow w_{16} = w_{17} = w_{18}$ .



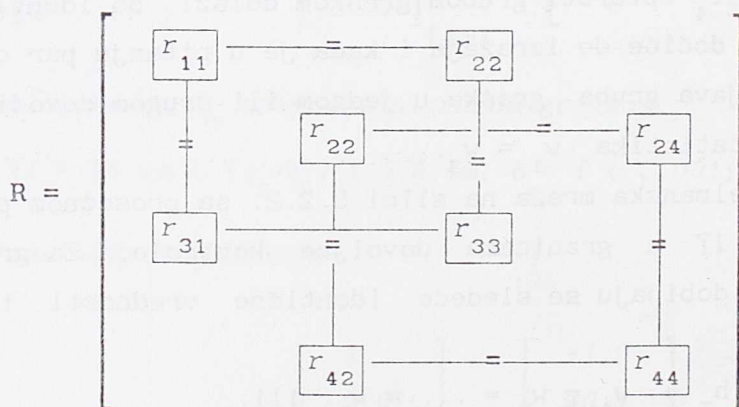


Sl.5.2.2. Nivelmanska mreža ( $\sigma_{h_1} = \sigma_{h_2} = \dots = \sigma_{h_n}$ ).

U ovim slučajevima moguće je samo identifikovati grupu opažanja u kojoj se nalazi opažanje opterećeno grubom greškom, ali koje je od njih zaista pogrešno ne možemo ustanoviti.

Prethodno izneta dva primera pokazuju dileme koje mogu nastati u identifikaciji grubih grešaka posredstvom test statistika  $w_i$ . Navedene dileme mogu nastati i u drugim vrstama geodetskih mreža.

Razlog ovih pojava nalazi se u matrici R gde su dijagonalni i vandijagonalni koeficijenti jednaki  $r_{ii} = r_{ij}$  (sl.5.2.3)



Sl.5.2.3. Jednakost dijagonalnih i vandijagonalnih koeficijenata

$$r_{ii} = r_{ij} \text{ za mrežu datu na slici 5.2.1.}$$

Ako imamo u vidu (5.1.1) onda u primeru 5.2.1 za popravke  $v_1$  i  $v_3$  dobijamo

$$\begin{aligned} -v_1 &= r_{11} l_1 + r_{13} l_3 \\ -v_3 &= r_{31} l_1 + r_{33} l_3, \quad (r_{11}=r_{33}=r_{13}=r_{31}) \end{aligned}$$

pa je očigledno da su vrednosti ovih popravaka identične, bez obzira da li je gruba greška u opažanju  $l_1$  ili  $l_3$  ili u oba ova opažanja. Isti zaključak važi i za popravke  $v_2$  i  $v_4$  gde je

$$\begin{aligned} -v_2 &= r_{22} l_2 + r_{24} l_4 \\ -v_4 &= r_{42} l_2 + r_{44} l_4, \quad (r_{22}=r_{44}=r_{24}=r_{42}) \end{aligned}$$

odnosno  $v_2=v_4$  bez obzira na vrednosti  $l_2$  i  $l_4$ .

Kako je  $P=I$  odnosno  $Q_v=R$  vrednosti test statistika su

$$w_i = \frac{|v_i|}{\sigma_o \sqrt{Q_{v_i v_i}}} = \frac{|v_i|}{\sigma_o \sqrt{r_{ii}}} \quad (i=1,2,3,4)$$

ili za  $v_1=v_3$  i  $r_{11}=r_{33}$  dobijamo

$$w_1 = w_3$$

odnosno, za  $v_2=v_4$  i  $r_{22}=r_{44}$  sledi

$$w_2 = w_4$$

Za ove parove opažanja dobijaju se takođe identične vrednosti ocena grubih grešaka.

Ako se do sada istaknute dileme uoče nakon izravnjanja i testiranja statističkih hipoteza, onda je kasno za intervencije i preostaje jedino da se obave ponovna merenja u cilju pouzdanog otkrivanja grube greške. Ovi problemi mogu biti izbegnuti ako se vodi računa o matrici  $R$  u fazama projektovanja i optimizacije geodetskih mreža.

Prema tome, neophodno je odrediti optimalni oblik matrice  $R$  odnosno, optimalne vrednosti kako dijagonalnih tako i vandijagonalnih koeficijenata ove matrice.

U izravanju realnih geodetskih mreža po MNK, problem test statistike ogleda se u tome što je popravka pojedinog opažanja  $v_i$  u funkciji svih opažanja a ne samo korespondentnog  $l_i$  pa test statistiku (4.5.4) pišemo

$$w_i = \frac{-v_i}{\sigma_{V_i}} = \frac{f(l_1, l_2, \dots, l_n)}{\sigma_{l_i} \sqrt{r_{ii}}} \quad \dots (5.2.1)$$

ili imajući u vidu izraz (5.1.4) sledi

$$w_i = \frac{-v_i}{\sigma_{l_i} \sqrt{r_{ii}}} = \frac{r_{i1}}{\sigma_{l_i} \sqrt{r_{ii}}} l_1 + \dots + \frac{r_{in}}{\sigma_{l_i} \sqrt{r_{ii}}} l_n \quad \dots (5.2.2)$$

U idealnom slučaju kada bi vandijagonalni koeficijenti matrice R bili jednaki nuli izraz (5.2.2) bi postao

$$w_i = \frac{r_{ii}}{\sigma_{l_i} \sqrt{r_{ii}}} l_i = \frac{v_{ii}}{\sigma_{V_i}} = \frac{-v_i}{\sigma_{V_i}} \quad (\text{za } r_{ij}=0, i \neq j) \quad \dots (5.2.3)$$

i jedino u tom slučaju bilo bi

$$w_i = f(l_i, \sigma_{l_i}, r_{ii}) \quad (i=1, 2, \dots, n)$$

odnosno, test statistika  $w_i$  zavisi samo od korespondentnih vrednosti  $l_i$ ,  $\sigma_{l_i}$  i  $r_{ii}$ .

U geodetskim mrežama sa dobrom pouzdanošću imamo

$$\left. \begin{array}{l} r_{ii} \Rightarrow \max \Rightarrow 1 \\ r_{ij} \Rightarrow \min \Rightarrow 0 \\ r_{ii} > r_{ij} \end{array} \right\} \quad \dots (5.2.4)$$



a test statistika (5.2.2) za homogenu tačnost opažanja postaje

$$\lim_{\substack{r_{ii} \rightarrow 1 \\ r_{ij} \rightarrow 0}} w_i \rightarrow \frac{r_{ii}}{\sigma_{l_i} \sqrt{r_{ii}}} l_i \rightarrow \frac{\max v_i}{\sigma_{V_i}} = \max w_i \quad \dots (5.2.5)$$

U ovim najboljim slučajevima, pojava grube greške  $\nabla l_i$  u opažanju  $l_i$  imaće za posledicu maksimalnu vrednost test statistike  $i$ -tog opažanja  $\max w_i$ .

U slučajevima kada je

$$r_{ii} = r_{jj} = r_{ij} = r_{ji}$$

bez obzira na vrednosti ovih koeficijenat dobijaju se identične vrednosti test statistika

$$w_i = w_j$$

U slučajevima kada su vandijagonalni koeficijenti  $r_{ij}$  veći od dijagonalnih  $r_{ii}$  ( $r_{ij} > r_{ii}$ ), može doći do pojave da gruba greška u opažanju  $l_i$  prouzrokuje maksimalnu vrednost test statistike  $w_j$  opažanja  $j$  ili

$$w_j > w_i$$

U ovom slučaju korektno otkrivanje grube greške je nemoguće. Na sličan način možemo posmatrati i ocene grubih grešaka  $\hat{\nabla} l_i$ . Ako u izrazu (4.2.5) ukupnu popravku  $v_i$  zamenimo sa zbirom elementarnih popravaka (5.1.4) dobijamo

$$\hat{\nabla} l_i = \frac{-v_i}{r_{ii}} = \frac{r_{i1}}{r_{ii}} l_1 + \dots + \frac{r_{ii}}{r_{ii}} l_i + \dots + \frac{r_{in}}{r_{ii}} l_n \quad \dots (5.2.6)$$

ili

$$\hat{\nabla} l_i = \frac{-v_i}{r_{ii}} = \frac{r_{i1}}{r_{ii}} l_1 + \dots + l_i + \dots + \frac{r_{in}}{r_{ii}} l_n \quad \dots (5.2.7)$$

odnosno, za stvarnu vrednost grube greške  $\nabla l_i = l_i$  ocena je

$$\hat{\nabla} l_i = \frac{-v_i}{r_{ii}} = \frac{r_{i1}}{r_{ii}} l_1 + \dots + \nabla l_i + \dots + \frac{r_{in}}{r_{ii}} l_n \quad \dots (5.2.8)$$

Iz (5.2.8) jasno se vidi da ocena grube greške  $\hat{\nabla} l_i$  zavisi od vrednosti svih  $n$  opažanja a ne samo od korespondentne grube greške  $\nabla l_i$ , kao i od svih koeficijenata matrice  $R$  a ne samo dijagonalnih.

Do istog izraza možemo doći direktno iz (4.2.15) gde je ocena  $\hat{\sigma}_l$  u funkciji vektora opažanja  $l$  a ne popravaka  $v$ , bez uključivanja elementarnih popravaka  $v_{ij}$  uzimajući za

$$c^T = [0 \ 0 \ 0 \ \dots \ 1 \ \dots \ 0] \quad \text{ i } \quad P=I$$

pa prema (4.2.15) dobijamo

$$Q_{\hat{\sigma}_l \hat{\sigma}_l} = (c^T P Q_V P c)^{-1} = (c^T Q_V c)^{-1} = Q_{V_i V_i}^{-1} \quad \dots (5.2.9)$$

$$c^T P Q_V l = c^T Q_V l = Q_{V_1 V_1} l_1 + Q_{V_2 V_2} l_2 + \dots + Q_{V_n V_n} l_n \quad \dots (5.2.10)$$

Kako za

$$P = I \Rightarrow Q_V = R \Rightarrow r_{ij} = Q_{V_i V_j}$$

(5.2.9) i (5.2.10) pišemo

$$Q_{\hat{\sigma}_l \hat{\sigma}_l} = r_{ii}^{-1} \quad \dots (5.2.11)$$

$$c^T P Q_V l = r_{i1} l_1 + r_{i2} l_2 + \dots + r_{in} l_n \quad \dots (5.2.12)$$

a zamenom (5.2.11) i (5.2.12) u (4.2.15) sledi

$$\hat{\sigma}_l = \frac{r_{i1}}{r_{ii}} l_1 + \dots + l_i + \dots + \frac{r_{in}}{r_{ii}} l_n$$

što je identično sa (5.2.7).

Kada bi vandijagonalni koeficijenti bili  $r_{ij}=0$  ( $i \neq j$ ) onda bi ocena (5.2.8) postala

$$\hat{\sigma}_l = \frac{-v_i}{r_{ii}} = \nabla l_i, \quad (\text{za } r_{ij}=0, i \neq j) \quad \dots (5.2.13)$$

Međutim, u realnim geodetskim mrežama ovaj uslov nije nikada ispunjen, pa ni ocena  $\hat{\sigma}_l$  neće biti jednaka stvarnoj vrednosti grube greške  $\nabla l_i$ . U realnim geodetskim mrežama sa dobrom pouzdanošću dizajna vandijagonalni koeficijenti  $r_{ij}$  su znatno manji po apsolutnom iznosu od dijagonalnih  $r_{ii}$

$$|r_{ij}| \ll |r_{ii}|$$

$$\text{odnosno } r_{ij} \rightarrow \max \rightarrow 1$$

$$r_{ij} \rightarrow \min \rightarrow 0.$$

Ovo doprinosi da u oceni (5.2.8) imamo

$$\lim \hat{\sigma}_{l_i} \rightarrow \nabla l_i \quad \dots (5.2.14)$$

$$\begin{pmatrix} r_{ii} \rightarrow 1 \\ r_{ij} \rightarrow 0 \end{pmatrix}$$

odnosno

$$\frac{r_{ij}}{r_{ii}} \rightarrow 0, \quad (i \neq j) \quad \dots (5.2.15)$$

Na osnovu dosadašnjih razmatranja i na osnovu izraza (5.2.4), (5.2.5), (5.2.14) i (5.2.15) sledi optimalni oblik matrice  $R_0$ .

$$R_0 = \begin{bmatrix} & & r_{ij} \rightarrow \min \\ & & r_{ii} \rightarrow \max \\ r_{ij} \rightarrow \min & & \end{bmatrix} \rightarrow \begin{bmatrix} & & 0 \\ 1 & & \\ & 1 & \\ & & 1 \\ & 0 & & 1 \end{bmatrix} \quad \dots (5.2.16)$$

ili granična vrednost matrice

$$\lim R \rightarrow R_0 \rightarrow I \quad \dots (5.2.17)$$

Znači, optimalni oblik matrice  $R_0$  teži jediničnoj matrici  $I$ . Pri projektovanju i optimizaciji geodetskih mreža neophodno je voditi računa o ovom optimalnom obliku matrice  $R_0$  da bi se otklonile moguće kasnije dileme o pouzdanosti pojedinih opažanja nakon izravnjanja.

Tabela 5.2.1 može poslužiti u ocenjivanju kontrole pouzdanosti opažanja ali uz uslov da koeficijenti matrice  $R$  van glavne dijagonale  $r_{ij}$  ( $i \neq j$ ) teže nuli ili još preciznije, vrednosti  $r_{ij}$  moraju biti znatno manje po apsolutnoj vrednosti od dijagonalnih  $r_{ii}$ .

Uloga matrice  $R$  u preraspodeli grubih grešaka može se posmatrati i na drugi način. Iz razlike vektora popravaka (4.2.2) i (5.1.1)

$$\nabla v = \bar{v} = -R \nabla l$$

$$v = -R l$$

dobijamo

$$\bar{v} - v = -R (\nabla l - l) \quad \dots (5.2.18)$$

gde je

$$\nabla v = \bar{v} \text{ vektor popravaka opterećen grubom greškom.}$$



Matričnu jednačinu (5.2.18) napišemo u razvijenom obliku

$$\bar{v} - v = -R \left\{ \begin{array}{c} \begin{bmatrix} l_1 \\ \vdots \\ l_i + \nabla l_i \\ \vdots \\ l_n \end{bmatrix} - \begin{bmatrix} l_1 \\ \vdots \\ l_i \\ \vdots \\ l_n \end{bmatrix} \end{array} \right\} \dots (5.2.19)$$

ili

$$\bar{v} - v = -R \begin{bmatrix} 0 \\ 0 \\ \vdots \\ \nabla l_i \\ \vdots \\ 0 \end{bmatrix} \dots (5.2.20)$$

odnosno

$$\bar{v} = v - \begin{bmatrix} r_{1i} \\ r_{2i} \\ \vdots \\ r_{ii} \\ \vdots \\ r_{ni} \end{bmatrix} \nabla l_i \dots (5.2.21)$$

Izraz (5.2.21) možemo napisati kraće

$$\bar{v}_i = v_i - R_i \nabla l_i \dots (5.2.22)$$

gde je  $R_i$   $i$ -ta kolona matrice  $R$  preko koje se prenose grube greške na vektor popravaka. Odavde se nedvosmisleno vidi da će gruba greška  $\nabla l_i$  biti prisutna u svim popravkama  $\bar{v}_i$  ( $i=1, 2, \dots, n$ ).

Iz (5.2.21) takođe se lako uočava da gruba greška  $\nabla l_i$  može izazvati najveću vrednost popravke  $\bar{v}_i$  one merene veličine kod koje je koeficijent  $r_{ij}$  najveći

$$\bar{v}_{i \max} = v_i - r_{ij \max} \nabla l_i \dots (5.2.23)$$

Ovde mogu nastupiti dva slučaja. Prvi ako je  $r_{ij \max}$  van glavne dijagonale

$$\bar{v}_{j \max} = v_j - r_{ij \max} \nabla l_i \quad (i \neq j) \dots (5.2.24)$$

onda će gruba greška u opažanju  $l_i$  prouzrokovati maksimalni uticaj na popravku opažanja  $l_j$ . U ovom slučaju identifikacija grube greške u opažanju

$l_j$  može biti nepouzdana jer je

$$w_{j \max} = \frac{|v_{j \max}|}{\sigma_{l_j} \sqrt{r_{jj}}}, \quad \hat{\nabla} l_{j \max} = \frac{-v_{j \max}}{r_{jj}}$$

odnosno, može se dogoditi da test statistika opažanja  $l_j$  bude maksimalna.

U drugom slučaju kada je u (5.2.23) dijagonalni koeficijent veći od vandijagonalnih imamo

$$\bar{v}_{i \max} = v_i - r_{ii} \nabla l_{i \max} \quad \dots (5.2.25)$$

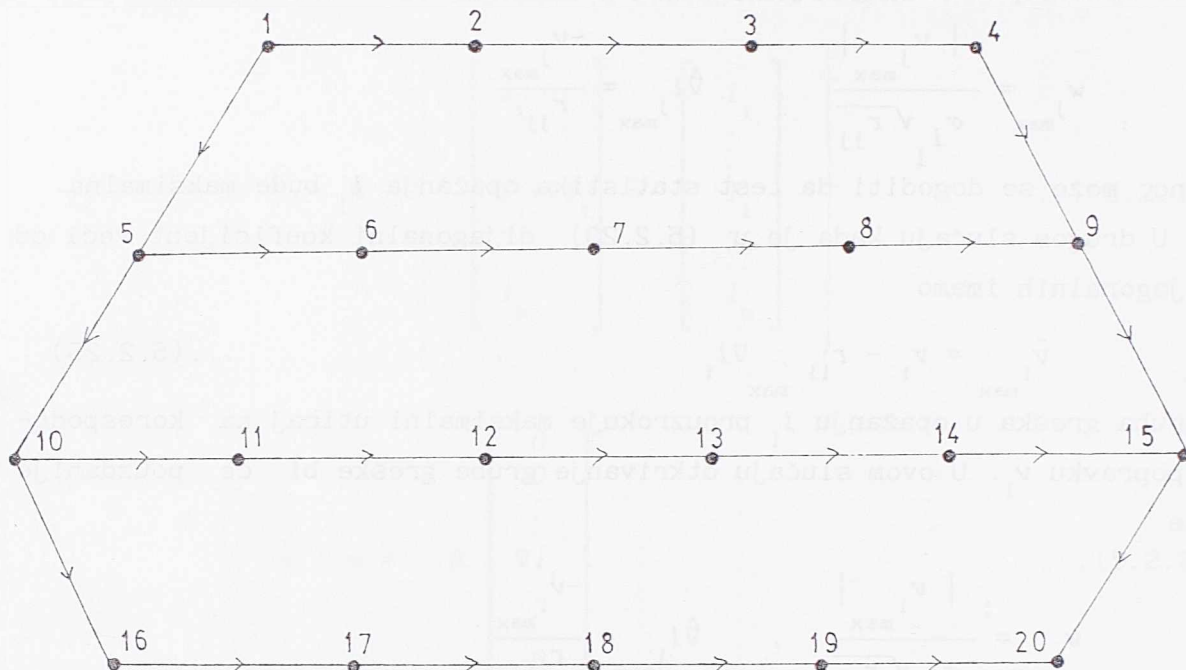
gde gruba greška u opažanju  $l_i$  prouzrokuje maksimalni uticaj na korespondentnu popravku  $v_i$ . U ovom slučaju otkrivanje grube greške biće pouzdanije jer je

$$w_{i \max} = \frac{|v_{i \max}|}{\sigma_{l_i} \sqrt{r_{ii}}}, \quad \hat{\nabla} l_{i \max} = \frac{-v_{i \max}}{r_{ii}}$$

Na osnovu ovih razmatranja proizilazi da je otkrivanje grubih grešaka pouzdanije ako su koeficijenti  $r_{ij}$  matrice  $R$  van glavne dijagonale mali u odnosu na dijagonalne  $r_{ii}$ , što je saglasno sa zaključcima donetim prethodno u (5.2.16) i (5.2.17).

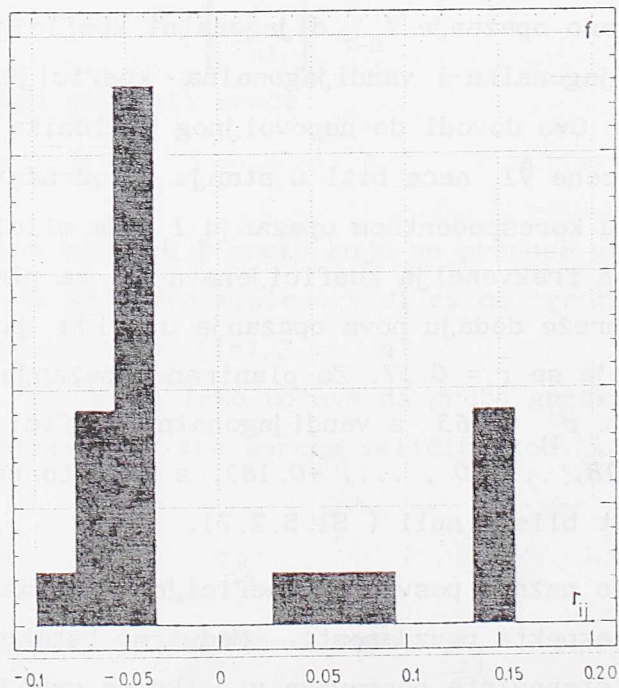
Na slici 5.2.4 dat je projekat 1-D mreže sa slabom prosečnom pouzdanošću  $\bar{r}=0.14$ . Za planirano opažanje  $l_{6-7}$  dijagonalni koeficijent je  $r_{ii}=0.15$  ali postoje još tri dijagonalna i vandijagonalna koeficijenta koji imaju istu vrednost  $r_{ij}=0.15$ . Ovo dovodi do nepovoljnog količnika  $r_{ij}/r_{ii} = 1$  pa test statistike  $w_i$  i ocene  $\hat{\nabla} l_i$  neće biti u stanju da odražavaju stvarnu pojavu grube greške  $\nabla l_i$  u korespondentnom opažanju  $l_i$ . Na slici 5.2.5 pokazan je histogram relativnih frekvencija koeficijenata  $r_{ij}$  za planirano opažanje  $h_{6-7}$ . Ako se projektu mreže dodaju nova opažanja u cilju povećanja pouzdanosti (Sl.5.2.6) dobija se  $\bar{r} = 0.57$ . Za planirano opažanje  $h_{6-7}$  sada je dijagonalni koeficijent  $r_{ii}=0.63$  a vandijagonalni koeficijenti nalaze se u intervalu  $r_{ij} \in (-0.18, \dots, 0, \dots, +0.18)$ , s tim što najveći broj koeficijenata ima vrednost blisku nuli (Sl.5.2.7).

Do sada je najviše pažnje posvećeno koeficijentima matrice  $R$  zbog kasnije optimizacije sa aspekta pouzdanosti. Međutim, istaknuti problemi mogu se posmatrati i sa stanovišta popravaka  $v_i$ . Ako se usvoji da je  $v_i=0$  iz (5.2.23) sledi



$$r=3, \quad \bar{r} = r/n = 0.14$$

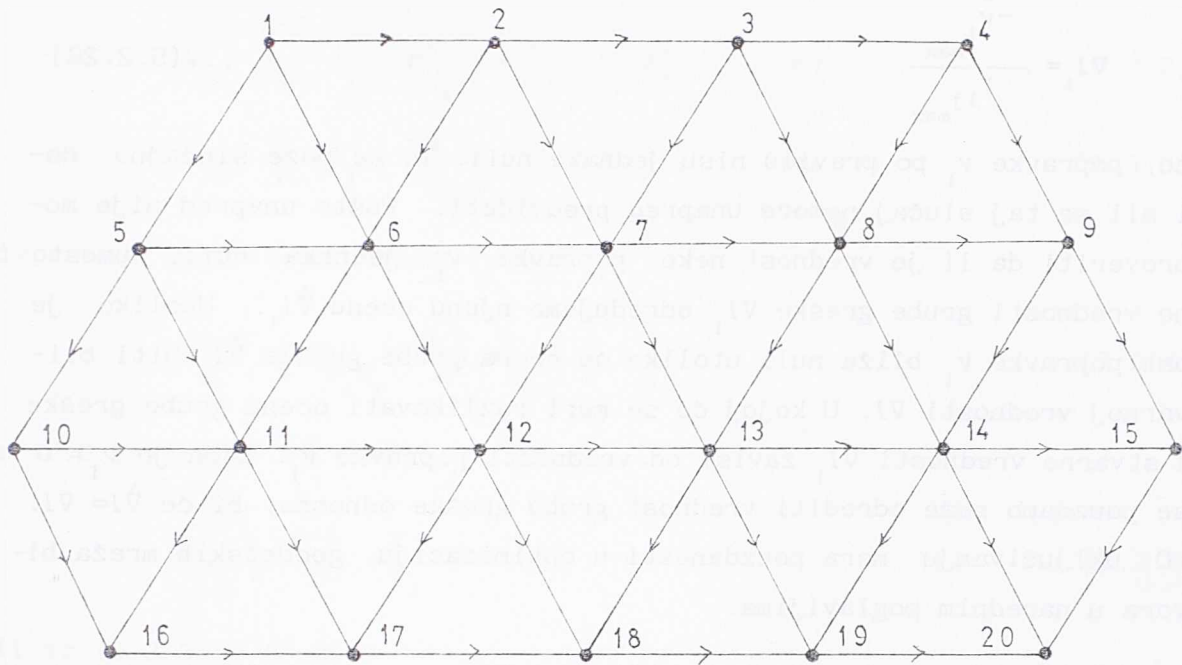
Sl.5.2.4. Projekat 1-D mreže sa slabom pouzdanošću.



SL.5.2.5. Histogram relativnih frekvencija koeficijenata

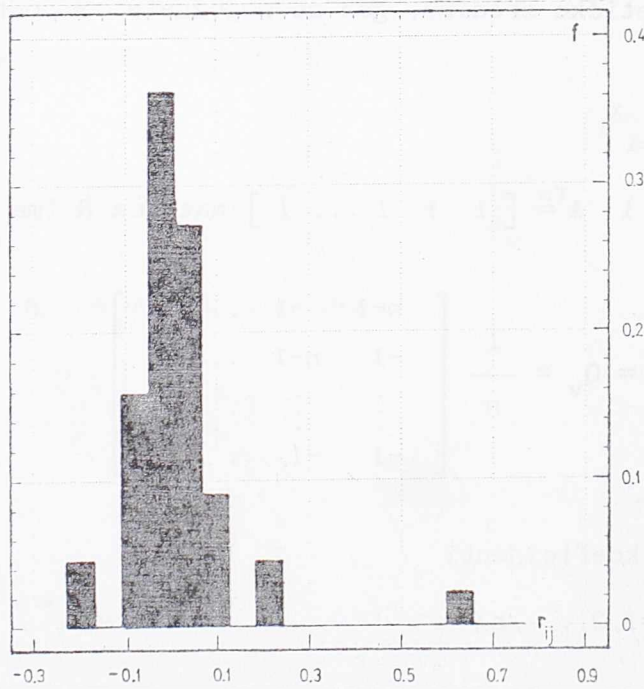
$r_{ij}$  opažanja  $h_{6-7}$  u mreži na slici (5.2.4).





$$r=25, \quad \bar{r} = r/n = 0.57$$

Sl.5.2.6. Projekat 1-D mreže sa dobrom pouzdanošću.



SL.5.2.7. Histogram relativnih frekvencija koeficijenata

$r_{ij}$  opažanja  $h_{6-7}$  u mreži na slici (5.2.6).

$$\nabla l_i = \frac{-\bar{v}_i}{r_{ij \max}} \quad \dots (5.2.26)$$

Naravno, popravke  $v_i$  po pravilu nisu jednake nuli. To se može slučajno dogoditi ali se taj slučaj ne može unapred predvideti. Pošto unapred nije moguće proveriti da li je vrednost neke popravke  $v_i$  jednaka nuli, umesto stvarne vrednosti grube greške  $\nabla l_i$  određujemo njenu ocenu  $\hat{\nabla} l_i$ . Ukoliko je vrednost popravke  $v_i$  bliža nuli utoliko će ocena grube greške  $\hat{\nabla} l_i$  biti bliža stvarnoj vrednosti  $\nabla l_i$ . U kojoj će se meri razlikovati ocena grube greške  $\hat{\nabla} l_i$  od stvarne vrednosti  $\nabla l_i$  zavisi od vrednosti popravke  $v_i$ . Kada je  $v_i = 0$  tada se pouzdano može odrediti vrednost grube greške odnosno, bíće  $\hat{\nabla} l_i = \nabla l_i$ .

O uključivanju mera pouzdanosti u optimizaciju geodetskih mreža biće govora u narednim poglavljima.

### 5.3. Prosta aritmetička sredina

Interesantno je razmotriti kako se grube greške opažanja mogu identifikovati iz proste aritmetičke sredine, gde se nepoznata  $\bar{x}$  određuje prema

$$\bar{x} = \frac{1}{n} \sum_{i=1}^n x_i$$

Kako je matrica  $P = I$  i  $A^T = [1 \ 1 \ 1 \ \dots \ 1]$  matrica  $R$  ima oblik

$$R = Q_V P = Q_V = \frac{1}{n} \begin{bmatrix} n-1 & -1 & \dots & -1 \\ -1 & n-1 & \dots & -1 \\ \vdots & \vdots & \ddots & \vdots \\ -1 & -1 & \dots & n-1 \end{bmatrix} \quad \dots (5.3.1)$$

gde su:

$r_{ii}$  dijagonalni koeficijenti

$$r_{ii} = \frac{n-1}{n}, \quad (i=1, 2, \dots, n)$$

$r_{ij}$  vandijagonalni koeficijenti

$$r_{ij} = \frac{-1}{n}, \quad (i \neq j, \quad j=1, 2, \dots, n)$$

Elementarne popravke i njihove disperzije su:

$$v_{ii} = \frac{n-1}{n} l_i, \quad \sigma_{v_{ii}}^2 = \left(\frac{n-1}{n}\right)^2 \sigma_{l_i}^2, \quad i=j \quad \dots (5.3.2)$$

$$v_{ij} = \frac{-1}{n} l_j, \quad \sigma_{v_{ij}}^2 = \frac{1}{n^2} \sigma_{l_j}^2, \quad i \neq j \quad \dots (5.3.3)$$

Disperzije ukupnih popravaka  $v_i$  su

$$\sigma_{v_i}^2 = \sigma_o^2 Q_{v_i v_i} = \frac{n-1}{n} \sigma_{l_i}^2 \quad \dots (5.3.4)$$

Iz (5.3.2) i (5.3.4) sledi

$$\sigma_{v_{ii}}^2 = \frac{n-1}{n} \sigma_{v_i}^2 \quad \dots (5.3.5)$$

ili iz (5.3.3) i (5.3.4)

$$\sigma_{v_{ij}}^2 = \frac{1}{n(n-1)} \sigma_{v_i}^2 \quad \dots (5.3.6)$$

odnosno, iz (5.3.5) i (5.3.6)

$$\sigma_{v_{ii}}^2 = (n-1)^2 \sigma_{v_{ij}}^2 \quad \dots (5.3.7)$$

Test statistiku  $w_i$  napišemo prema (5.2.2)

$$w_i = \frac{-v_i}{\sigma_{v_i}} = \frac{\frac{1}{n} l_i}{\sigma_{v_i}} + \dots + \frac{\frac{n-1}{n} l_i}{\sigma_{v_i}} + \dots + \frac{\frac{1}{n} l_n}{\sigma_{v_i}} \quad \dots (5.3.8)$$

gde je za  $n \rightarrow \infty$  njena granična vrednost

$$\lim_{(n \rightarrow \infty)} w_i \Rightarrow \frac{\frac{n-1}{n} l_i}{\sigma_{v_i}} \Rightarrow \frac{v_{ii}}{\sigma_{v_i}} \quad \dots (5.3.9)$$

ili kako je

$$\lim_{(n \rightarrow \infty)} \frac{n-1}{n} \Rightarrow r_{\max} \Rightarrow 1$$

onda (5.3.9) postaje

$$\lim_{(r \rightarrow \infty)} w_i \Rightarrow \frac{v_{i \max}}{\sigma_{v_i}} = w_{i \max} \quad \dots (5.3.10)$$



Prema tome kada je  $n$  veće otkrivanje grubih grešaka biće pouzdanije. Drugim rečima, pošto su članovi na glavnoj dijagonali  $r_{ii}$  matrice  $R$ ,  $(n-1)$  puta veći od članova van glavne dijagonale  $r_{ij}$ , to će se i standardne devijacije  $\sigma_{v_i}$  i  $\sigma_{v_j}$  (5.3.7) nalaziti u istoj proporciji. Kada je  $n=2$  nije moguće otkriti grubu grešku, jer je tada

$$|r_{ii}| = |r_{jj}| = |r_{ij}| = |r_{ji}|.$$

Slični zaključci vrede i za ocene grubih grešaka  $\hat{\Delta}l_i$ .

#### 5.4. Opšta aritmetička sredina

Kod opšte aritmetičke sredine nepoznata  $\bar{x}$  se određuje prema

$$\bar{x} = \frac{\sum p_i x_i}{\sum p_i}$$

Kako je matrica  $A^T = [1 \ 1 \ 1 \ \dots \ 1]$  matrica  $R$  ima oblik

$$R = Q_V P = Q_V = \frac{1}{\sum p} \begin{bmatrix} \sum p - p_1 & -p_2 & \dots & -p_n \\ -p_1 & \sum p - p_2 & \dots & -p_n \\ \vdots & \vdots & \ddots & \vdots \\ -p_1 & -p_2 & \dots & \sum p - p_n \end{bmatrix} \quad \dots (5.4.1)$$

gde su:

$$r_{ii} \text{ dijagonalni koeficijenti} \\ r_{ii} = \frac{\sum p - p_i}{\sum p}, \quad (i=1, 2, \dots, n)$$

$$r_{ij} \text{ vandijagonalni koeficijenti} \\ r_{ij} = \frac{-p_j}{\sum p}, \quad (i \neq j, \quad j=1, 2, \dots, n)$$

Elementarne popravke i njihove disperzije su:

$$v_{ii} = \frac{\sum p - p_i}{\sum p} l_i, \quad \sigma_{v_{ii}}^2 = \left( \frac{\sum p - p_i}{\sum p} \right)^2 \sigma_{l_i}^2, \quad i=j \quad \dots (5.4.2)$$

$$v_{ij} = \frac{-p_j}{\Sigma p} l_j, \quad \sigma_{v_{ij}}^2 = \left(\frac{p_j}{\Sigma p}\right)^2 \sigma_{l_j}^2, \quad i \neq j \quad \dots (5.4.3)$$

Disperzije ukupnih popravaka  $v_i$  su

$$\sigma_{v_i}^2 = \sigma_o^2 Q_{v_i v_i} = \frac{\Sigma p - p_i}{\Sigma p} \sigma_{l_i}^2 \quad \dots (5.4.4)$$

Iz (5.4.3) i (5.4.4) sledi

$$\sigma_{v_{ii}}^2 = \frac{\Sigma p - p_i}{\Sigma p} \sigma_{v_i}^2 \quad \dots (5.4.5)$$

ili iz (5.4.3) i (5.4.4)

$$\sigma_{v_{ij}}^2 = \frac{p_j^2}{(\Sigma p - p_i) \Sigma p} \sigma_{v_i}^2 \quad \dots (5.4.6)$$

odnosno, iz (5.4.5) i (5.4.6)

$$\sigma_{v_{ii}}^2 = \frac{(\Sigma p - p_i)^2}{p_j^2} \sigma_{v_{ij}}^2 \quad \dots (5.4.7)$$

Količnik između popravaka  $v_{ii}$  i  $v_{ij}$  identičan je količniku koeficijenata  $r_{ii}$  i  $r_{ij}$

$$\frac{r_{ii}}{r_{ij}} = \frac{\Sigma p - p_i}{-p_j} \quad \dots (5.4.8)$$

Imajući u vidu uslov (5.2.15) i količnik (5.4.8) sledi

$$\frac{r_{ij}}{r_{ii}} = \frac{-p_j}{\Sigma p - p_i} \rightarrow 0 \quad (i \neq j)$$

odnosno, ako  $p_j \rightarrow 0$  otkrivanje grubih grešaka je pouzdanije. Drugim rečima, što je manja vrednost  $p_j$  u odnosu na  $\Sigma p - p_i$  otkrivanje grubih grešaka je pouzdanije.

Kada je  $n=2$  popravke  $v_i$  su

$$\begin{aligned} -v_1 &= \frac{\Sigma p - p_1}{\Sigma p} l_1 - \frac{p_2}{\Sigma p} l_2 \\ -v_2 &= \frac{-p_1}{\Sigma p} l_1 + \frac{\Sigma p - p_2}{\Sigma p} l_2 \end{aligned}$$

odnosno

$$-v_1 = \frac{p_2}{\Sigma p} (l_1 - l_2)$$

$$-v_2 = \frac{p_1}{\Sigma p} (l_2 - l_1)$$

pa je očigledno da pojava grube greške u jednom od ovih opažanja ne može biti pouzdano otkrivena, bez obzira na njenu veličinu.



## 6. OPTIMIZACIJA OPAŽANJA U GEODETSKIM MREŽAMA

Problemima optimizacije geodetskih mreža naučna i stručna geodetska javnost okupirana je već preko stotinu godina. Za različite ciljeve optimizacije formirane u proteklom periodu opštu klasifikaciju dao je Grafarend, E. (1979.) u okviru četiri reda (Tabela 6.1).

Tabela 6.1.

Dizajn	Konstantni parametri	Nepoznati parametri	Rešenje problema
Nulti red	A, P	$\hat{x}$ , $Q_{\hat{x}}$	Datuma
Prvi red	P, $Q_{\hat{x}}$	A	Konfiguracije
Drugi red	A, $Q_{\hat{x}}$	P	Težina
Treći red	$Q_{\hat{x}}$	A, P (DELOM SLOBODNI)	Poboljšanje postojećih mreža

Opšta klasifikacija optimizacije geodetskih mreža.

U široj populaciji naučno istraživačkih radova najveća pažnja posvećivana je dizajnu drugog reda, što će biti slučaj i u ovom radu.

### 6.1. Savremeni ciljevi optimizacije

Najveći broj razvijenih matematičkih modela optimizacije geodetskih mreža, od različitih autora, dobijen je iz opšte matematičke jednačine

$$A^T P A = Q_x^{-1} \quad \text{za} \quad r(A) = r = u \quad \dots (6.1.1)$$

ili  $A^T P A = Q_x^+ \quad \text{za} \quad r(A) = r < u$

gde je  $Q_x$  kriterijum matrica.

Rešenje problema optimizacije zasniva se na određivanju optimalnih težina opažanja  $P$  iz matricne j-ne (6.1.1) kada je poznat dizajn mreže  $A$  i kriterijum matrica  $Q_x$ . Razvoj više različitih metoda optimizacije iz jednačine (6.1.1) omogućile su dve činjenice. Prva činjenica je da jednačina (6.1.1) ima višeznačna rešenja (*Van Mierlo, J. 1981. i Aleksić, I. 1988.*), a druga, da postoji širok spektar mogućnosti kreiranja kriterijuma matrice  $Q_x$ . Međutim, bez obzira na različite pristupe rešenju problema u matematičkom smislu kao i postignute objektivne rezultate, sve ove metode imaju jednu zajedničku osobinu a to je de se baziraju na poznavanju kriterijuma matrice  $Q_x$ . Na ovaj način dosadašnji matematički modeli optimizacije obuhvatili su samo tačnost geodetskih mreža.

Međutim, u savremenoj analizi geodetskih mreža, važno mesto zauzima teorija pouzdanosti, koja zajedno sa tačnošću daje kvalitet mreže (Sl.4.1). Dakle, geodetska mreža je dobrog kvaliteta ako istovremeno ima dobru pouzdanost i dobru tačnost. Odavde proizilazi potreba optimizacije geodetskih mreža sa aspekta pouzdanosti i tačnosti.

Mogućnost optimizacije geodetskih mreža sa aspekta teorije pouzdanosti nagovestio je *Baarda (1968.)*. Kasnije, mnogi autori koji su istraživali pouzdanost geodetskih mreža, dali su korisne preporuke i sugestije u cilju optimizacije. *Pelzer, H. (1977.)* dao je doprinos formiranju kriterijuma

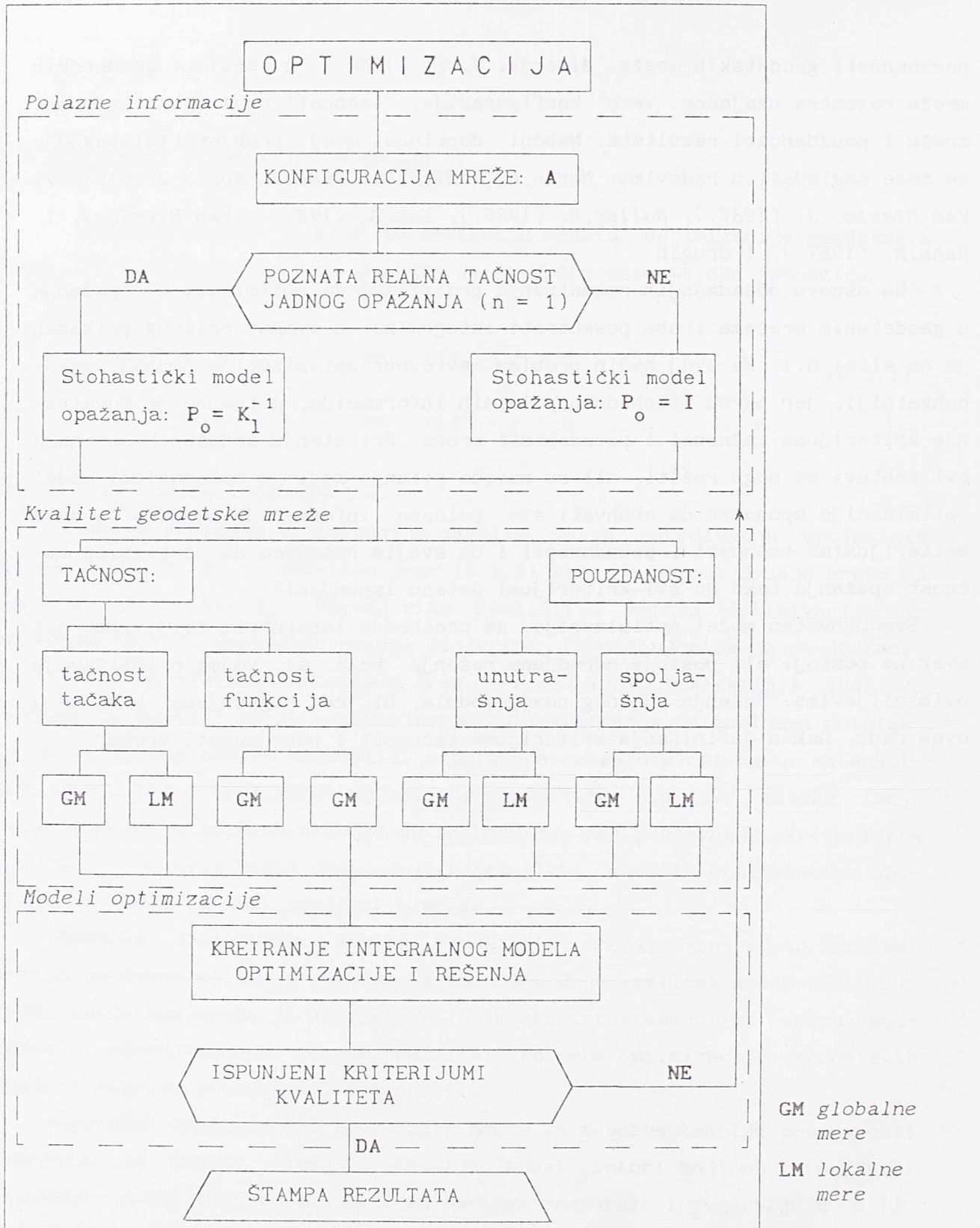


pouzdanosti geodetskih mreža. Alberda, J. E. (1980.) u analizi geodetskih mreža razmatra uzajamne veze konfiguracije, tačnosti opažanja, tačnosti mreže i pouzdanosti rezultata. Naučni doprinos ovoj problematici takodje se može sagledati u radovima: Murle, M. i Bill, R. (1984.), Kok, J. J. (1984.), Van Mierlo, J. (1987.), Muller, H. (1986.), Yan, Z. (1987.), Van Mierlo, J. i Hahn, M. (1987.), i drugih.

Na osnovu dosadašnjih razmatranja proizilazi da optimizaciju opažanja u geodetskim mrežama treba posmatrati integralno, a ovakav pristup prikazan je na slici 6.1. Na ovaj način problem savremene optimizacije postaje sveobuhvatniji, jer pored neophodnih polaznih informacija, potrebno je formiranje kriterijuma tačnosti i pouzdanosti mreže. Pri stanju sadašnjih saznanja ovi zahtevi se mogu rešiti, ali se nameće pitanje koji je matematički model optimizacije sposoban da obuhvati sve polazne informacije zajedno sa svim kriterijumima tačnosti i pouzdanosti i da svojim rešenjem da optimalnu tačnost opažanja tako da svi kriterijumi ostanu ispunjeni?

Sveobuhvatan model optimizacije, sa prethodno istaknutim ciljevima, još uvek ne postoji ali postoje odredjena rešenja koja se veoma približavaju ovim ciljevima. Rešenja jednog novog modela, biće objašnjena kasnije u ovom radu, nakon definisanja kriterijuma tačnosti i pouzdanosti mreža.





Sl.6.1. Integralni model optimizacije.

## 6.2. Kriterijumi tačnosti i kriterijum matrice

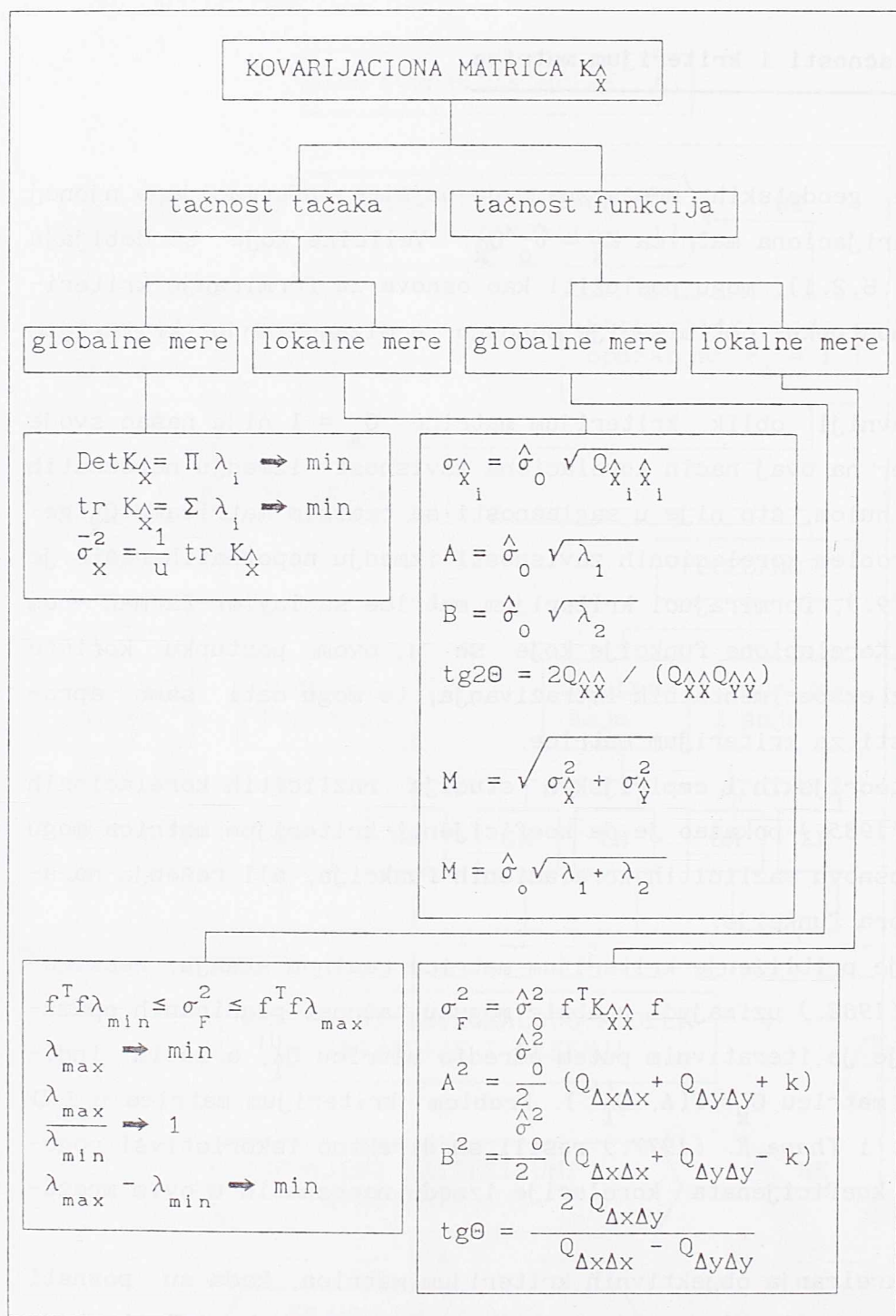
Iz analize geodetskih mreža znamo da najšire informacije o njenoj tačnosti daje kovarijaciona matrica  $K_{\mathbf{x}}^{\wedge} = \hat{\sigma}_0^2 Q_{\mathbf{x}}^{\wedge}$ . Veličine koje se dobijaju iz ove matrice (sl.6.2.1), mogu poslužiti kao osnova za formiranje kriterijuma tačnosti u postupku optimizacije odnosno, u dizajniranju kriterijum matrica  $Q_{\mathbf{x}}$ .

Najjednostavniji oblik kriterijum matrice  $Q_{\mathbf{x}} = I$  nije našao svoje mesto u primeni jer na ovaj način korelaciona zavisnost izmedju nepoznatih je izjednačena sa nulom, što nije u saglasnosti sa realnim matricama  $Q_{\mathbf{x}}^{\wedge}$  geodetskih mreža. Problem korelacionih zavisnosti izmedju nepoznatih rešio je Grafarend, E. (1979.), formirajući kriterijum matrice sa Taylor-Karman - om strukturom  $Q_{\mathbf{x}} = Q_{TK}$ . Korelacione funkcije koje se u ovom postupku koriste određene su na bazi eksperimentalnih istraživanja, te mogu dati samo aproksimativne vrednosti za kriterijum matrice.

Na osnovu teorijskih i empirijskih studija različitih korelacionih funkcija Bill, R. (1985.) pokazao je da koeficijenti kriterijum matrice mogu biti dobijeni na osnovu različitih korelacionih funkcija, ali rešenja naravno zavise od izbora funkcije.

Jedno bolje približenje kriterijum matrice realnom stanju, realizovao je Banov, B. (1982.) uzimajući u obzir moguću tačnost planiranih opažanja, na osnovu koje je iterativnim putem odredio matricu  $Q_{\mathbf{x}}^{(i)}$ , a zatim indirektno kriterijum matricu  $Q_{\mathbf{x}} = F(A, Q_{\mathbf{x}}^{(i)})$ . Problem kriterijum matrica u 1-D mrežama, Cross, P. i Thapa, K. (1977.) rešili su direktno iskoristivši pogodnost određivanja koeficijenata korelacije između nepoznatih u ovim mrežama.

Mogućnost kreiranja objektivnih kriterijum matrica, kada su poznati rezultati prethodne analize tačnosti opažanja u obliku matrice  $K_{\mathbf{1}}$  i kada je u fazi izrade projekta mreže definisana neophodna i dovoljna tačnost koordinata



Sl.6.2.1. Kriterijumi tačnosti geodetskih mreža.



$\sigma_x$  objašnjene su u radu Aleksić, I. (1988a). U ovom pristupu neophodno je prvo odrediti matricu kofaktora nepoznatih veličina

$$Q_x^\Delta = (A^T K_1^{-1} A)^+ \quad \dots (6.2.1)$$

a zatim iz ove matrice koeficijente korelacije

$$r_{X_i X_j}^\Delta = Q_{X_i X_j}^\Delta / \sqrt{Q_{X_i X_i}^\Delta Q_{X_j X_j}^\Delta} \quad i, j = 1, 2, \dots, u$$

$$i \neq j$$

odnosno korelacionu matricu

$$R_x = \begin{bmatrix} 1 & r_{X_1 X_2}^\Delta & \dots & r_{X_1 X_u}^\Delta \\ & 1 & \dots & r_{X_2 X_u}^\Delta \\ & & \ddots & \vdots \\ \text{simetrično} & & & 1 \end{bmatrix} \quad \dots (6.2.3)$$

Kovarijacionu kriterijum matricu pišemo u obliku

$$K_x = D_x R_x D_x = \begin{bmatrix} \sigma_{X_1}^2 & r_{X_1 X_2}^\Delta \sigma_{X_1} \sigma_{X_2} & \dots & r_{X_1 X_u}^\Delta \sigma_{X_1} \sigma_{X_u} \\ & \sigma_{X_2}^2 & \dots & r_{X_2 X_u}^\Delta \sigma_{X_2} \sigma_{X_u} \\ & & \ddots & \vdots \\ \text{simetrično} & & & \sigma_{X_u}^2 \end{bmatrix} \quad \dots (6.2.4)$$

gde je  $D_x$  dijagonalna matrica neophodne i dovoljne tačnosti

$$D_x = \text{Diag} \left[ \sigma_{X_1}, \sigma_{X_2}, \dots, \sigma_{X_u} \right]. \quad \dots (6.2.5)$$

Lako se uočava da je kovarijaciona kriterijum matrica u funkcionalnoj zavisnosti od

$$K_x = F \begin{cases} 1. \text{ dizajna mreže} = A \\ 2. \text{ neophodna i dovoljna tačnost} = D_x \\ 3. \text{ tačnosti planiranih opažanja} = K_1 \end{cases}$$

ili za  $K_1 = I$

$$K_x = F \begin{cases} 1. \text{ dizajn mreže} = A \\ 2. \text{ neophodna i dovoljna tačnost} = D_x \end{cases}$$

Na ovaj način formirane kriterijum matrice bile su korišćene u različitim modelima optimizacije, *Aleksić, I.* (1988a, 1988b, 1990. ), u kojima je pokazana objektivnost ovih matrica.

Međutim, i pored ove objektivnosti, istaknut je problem definisanja neophodne i dovoljne tačnosti posredstvom  $\sigma_x$ . Razlog ovome je činjenica da u realnim geodetskim mrežama standardne devijacije  $\sigma_x^A$  zavise od izbora datuma mreže, odnosno daju apsolutnu tačnost (sl. 3.4.1).

Ova pojava ima manji ili veći uticaj na rezultate optimizacije gde se dolazi u situaciju da oni zavise od datuma mreže odnosno, izbora početka koordinatnog sistema. Naravno, zavisnost optimalne tačnosti opažanja od koordinatnog sistema ne može se ničim opravdati. Zapravo, fizički proces opažanja koji treba da se ostvari prema optimalnim standardnim devijacijama ne može se ni na koji način dovoditi u vezu sa koordinatnim sistemom. Drugim rečima, kakve veze ima fizički proces opažanja sa koordinatnim sistemom koga možemo proizvoljno postaviti ili birati u proizvoljnoj tački mreže? Jasno je, nikakve.

Problem kriterijum matrice, strogo govoreći, bio bi valjano rešen, kada bi se njeni koeficijenti određivali na osnovu parametara koji ne zavise od izbora datuma mreže.

Pokušaj autora da reši uočeni problem kod kriterijum matrice, pri tadašnjem stanju znanja, ostao je bez rezultata. Sada, imajući u vidu radove *Einstein, A.* (1961.), *Grafarend, E.* (1976.) i *Welsh, W.* (1979.), kao i zaključak iz poglavlja 3.4, istaknuti problem može ipak biti rešen.

Razmotrimo prvo problem kriterijum matrica u slobodnim 1-D mrežama. Kako je u poglavlju 3.4 pokazano da standardne devijacije nepoznatih  $\sigma_x^A$  ne zavise od koordinatnog sistema onda, neophodna i dovoljna tačnost može biti definisana u vidu matrice  $D_x$  (6.2.5), a kriterijum matrica određena prema (6.2.4).

Kod slobodnih 2-D mreža, srednje položajne greške  $M_i$  su invarijantne u odnosu na datum, pa pomoću njih možemo definisati kriterijume tačnosti. Očigledno, sada se nameće sledeće pitanje; Kako definisane vrednosti  $M_i$  uključiti u kriterijum matricu?

Radi jednostavnosti, razmotrimo prvo slučaj jedne tačke za koju je poznata položajna tačnost  $M$  i submatrica

$$Q_{\mathbf{x}}^{\Delta} = \begin{bmatrix} Q_{XX}^{\Delta\Delta} & Q_{XY}^{\Delta\Delta} \\ Q_{YX}^{\Delta\Delta} & Q_{YY}^{\Delta\Delta} \end{bmatrix} \quad \dots (6.2.6)$$

preuzeta iz matrice (6.2.1). Nepoznata kriterijum matrica ima oblik

$$K_{\mathbf{x}} = \begin{bmatrix} K_{XX} & K_{XY} \\ K_{XY} & K_{YY} \end{bmatrix} \quad \dots (6.2.7)$$

Iz matricne jednačine

$$K_{\mathbf{x}} = \sigma_o^2 Q_{\mathbf{x}}^{\Delta}$$

slede dijagonalni koeficijenti

$$K_{XX} = \sigma_o^2 Q_{XX}^{\Delta\Delta} = \sigma_o^2 Q_{XX}^{\Delta\Delta} \frac{M^2}{M^2} = \frac{\sigma_o^2 Q_{XX}^{\Delta\Delta} M^2}{\sigma_o^2 (Q_{XX}^{\Delta\Delta} + Q_{YY}^{\Delta\Delta})} \quad \dots (6.2.8)$$

$$K_{YY} = \sigma_o^2 Q_{YY}^{\Delta\Delta} = \sigma_o^2 Q_{YY}^{\Delta\Delta} \frac{M^2}{M^2} = \frac{\sigma_o^2 Q_{YY}^{\Delta\Delta} M^2}{\sigma_o^2 (Q_{XX}^{\Delta\Delta} + Q_{YY}^{\Delta\Delta})} \quad \dots (6.2.9)$$

ili

$$K_{XX} = \frac{Q_{XX}^{\Delta\Delta}}{Q_{XX}^{\Delta\Delta} + Q_{YY}^{\Delta\Delta}} M^2 \quad \dots (6.2.10)$$



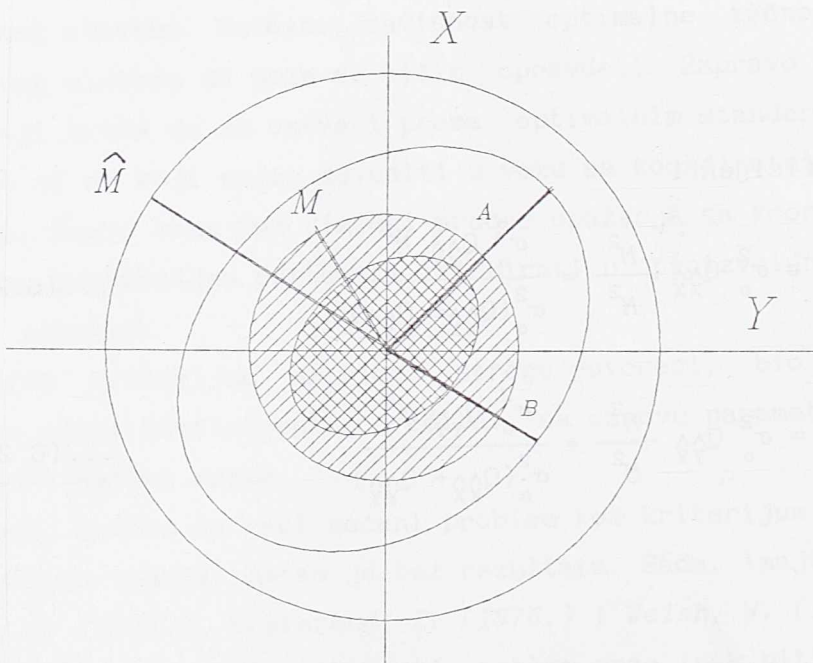
$$K_{YY} = \frac{Q_{YY}^{\wedge\wedge}}{Q_{XX}^{\wedge\wedge} + Q_{YY}^{\wedge\wedge}} M^2 \quad \dots (6.2.11)$$

Vandijagonalni koeficijent određujemo prema

$$K_{XY} = r_{XY}^{\wedge\wedge} \sqrt{K_{XX} K_{YY}} \quad \dots (6.2.12)$$

gde je koeficijent  $r_{XY}^{\wedge\wedge}$  određen prema (6.2.2).

Rešenja  $K_{XX} = \sigma_x^2$ ,  $K_{YY} = \sigma_y^2$  i  $K_{XY} = r_{XY}^{\wedge\wedge} \sigma_x \sigma_y$  predstavljaju tražene koeficijente kovarijacione kriterijum matrice (6.2.4). Očigledno, u slučaju više tačaka u mreži, na ovaj način svi koeficijenti matrice (6.2.4) mogu biti određeni. Geometrijsko značenje ovog rešenja prikazano je na slici 6.2.2.



Sl.6.2.2. Realna položajna tačnost  $\hat{M}$  i neophodna  $M$  ( $M < \hat{M}$ ).

Ako je definisana neophodna i dovoljna položajna tačnost  $M$  manja od realne položajne tačnosti u mreži  $\hat{M}$  ( $M < \hat{M}$ ), onda su i standardne devijacije  $\sigma_x$  manje od realnih  $\sigma_x^{\wedge}$  ( $\sigma_x < \sigma_x^{\wedge}$ ), takode elipsa grešaka sa poluosama  $A$  i  $B$  je manja ali ima istu orijentaciju.

Ista orijentacija elipse grešaka je posledica određivanja koeficijenata korelacije iz realne mreže prema (6.2.2).

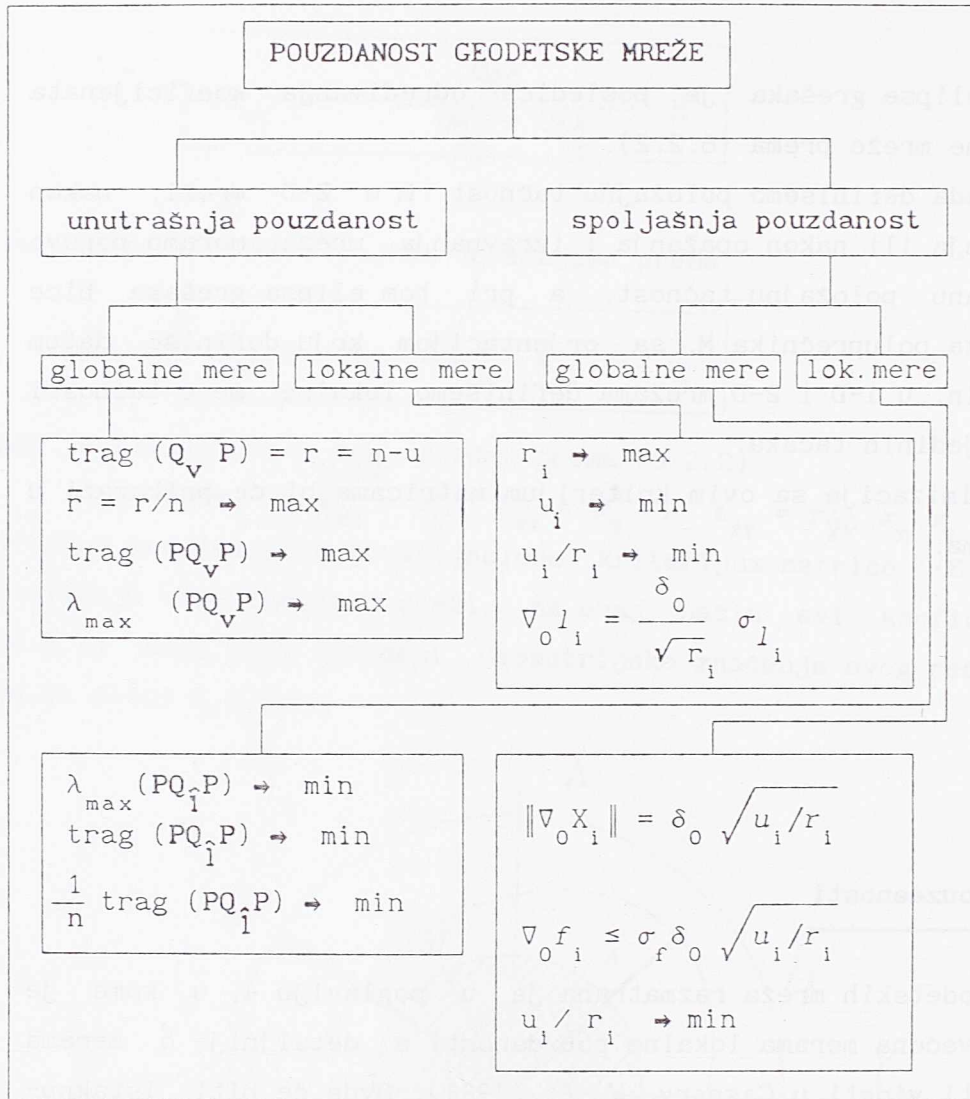
Prema tome, kada definišemo položajnu tačnost  $M$  u 2-D mreži, nakon optimizacije opažanja ili nakon opažanja i izravnjanja mreže, moramo ponovo dobiti ovu definisanu položajnu tačnost, a pri tom elipsa grešaka biće unutar kruga grešaka poluprečnika  $M$ , sa orijentacijom koju definiše datum mreže. Na ovaj način, u 1-D i 2-D mrežama definišemo lokalne mere tačnosti odnosno tačnost pojedinih tačaka.

Rezultati optimizacije sa ovim kriterijum matricama biće prikazani u narednim poglavljima.

### 6.3. Kriterijumi pouzdanosti

Pouzdanost geodetskih mreža razmatrana je u poglavlju 4, u kome je najveća pažnja posvećena merama lokalne pouzdanosti a detaljnije o merama globalne pouzdanosti videti u *Caspary, W. F. (1988)*. Ovde će biti istaknute samo mere pouzdanosti koje mogu poslužiti kao kriterijumi pouzdanosti u optimizaciji geodetskih mreža (Sl.6.3.1).

Ove mere pouzdanosti mogu biti direktno uključene u optimizaciju dizajna drugog reda; problem je složen iz jednostavnog razloga što je matrica dizajna  $A$  konstantna. Odavde proizilazi da o globalnim merama pouzdanosti možemo voditi računa samo u fazi izrade projekta. Naime, nijedan postupak optimizacije drugog reda ne može poboljšati globalne kriterijume, jer ako je mreža projektovana sa brojem suvišnih merenja  $r=10$ , ovaj broj ostaje konstantan nakon optimizacije. Međutim, metodama optimizacije drugog reda otvoren je put ka rešenju lokalnih mera pouzdanosti.



Sl.6.3.1. Kriterijumi pouzdanosti geodetskih mreža.

Činjenica je, da i pored toga što projekat mreže može imati dobru globalnu pouzdanost, mogu postojati pojedina planirana opažanja sa veoma slabom lokalnom pouzdanošću. Ovo je upravo problem koji treba da reši optimizacija drugog reda: Kako opažanja sa slabom lokalnom pouzdanošću transformisati metodom optimizacije u opažanja sa dobrom pouzdanošću?

Odgovor na ovo pitanje bice dat u narednim poglavljima.



## 7. SEKVENCIJALNI MODEL OPTIMIZACIJE OPAŽANJA

Kao što je naglašeno, izvesne metode optimizacije opažanja u geodetskim mrežama, za tražene optimalne težine daju negativne vrednosti ovih veličina. Ova pojava, najčešće je izražena kod primene metode direktnog rešenja ( $(A^T \circledast A^T)p=q$ ,  $q=\text{vec } Q_x^{-1}$ ), metode kanonskog rešenja ( $(A^T \circledast A^T)p=d$ ,  $d=\text{vec } \lambda_1$ ), i drugih, pa ova rešenja redovno prati dodatno ograničenje  $p_i \geq 0$ .

Nasuprot ovim metodama, razvijeni su postupci koji daju uvek pozitivna rešenja, pa je na taj način dodatno ograničenje suvišno, a jedan od ovih postupaka je i sekvencijalni. Kako je razvoj ovog modela optimizacije već detaljno objašnjen u (Aleksić, I. 1988a., 1990.) to će on biti veoma sažeto prikazan u cilju kasnijeg uključivanja optimizacije sa aspekata pouzdanosti i osetljivosti.

## 7.1. Model baziran na tačnosti

Problem određivanja optimalnih težina opažanja ili, što je identično ovome, optimalnih standardnih devijacija definišemo opštom matričnom jednačinom

$$K_x = (A^T K_I^{-1} A)^+ \quad \dots (7.1.1)$$

gde je:

$K_x$  kovarijaciona kriterijum matrica nepoznatih,

$K_I$  kovarijaciona matrica nepoznatih optimalnih,

standardnih devijacija planiranih opažanja.

Imajući u vidu mogućnost razlaganja kovarijacione kriterijum matrice (6.2.4), jednačinu (7.1.1) pišemo u obliku

$$D_x R_x D_x = (A^T D_1^{-1} R_1^{-1} D_1^{-1} A)^+ \quad \dots (7.1.2)$$

U ovoj jednačini poznate su matrice  $D_x = \text{const}$ ,  $A = \text{const}$  i  $R_1 = \text{const}$  ili za stohastički nezavisna opažanja  $R_1 = I$ . Na levoj strani jednačine nepoznata je korelaciona matrica  $R_x = F(A, K_1)$  odnosno  $K_1$  a na desnoj dijagonalna matrica optimalnih standardnih devijacija

$$D_1 = \text{Diag} [\sigma_{1_1}^-, \sigma_{1_2}^-, \dots, \sigma_{1_n}^-] \quad \dots (7.1.3)$$

Na ovaj način, postoji jedna matrična jednačina sa dve nepoznate matrice, pa slede višeznačna rešenja za (7.1.2). Problem leve strane jednačine rešen je putem definisanja početnih uslova odnosno, formiranjem realne kovarijacione kriterijum matrice  $K_x$ .

U cilju dobijanja optimalnih standardnih devijacija  $\sigma_{1_i}^-$  jednačinu (4.3.3) pišemo u obliku

$$u_i = \sigma_{1_i}^{\Delta 2} / \sigma_{1_i}^2$$

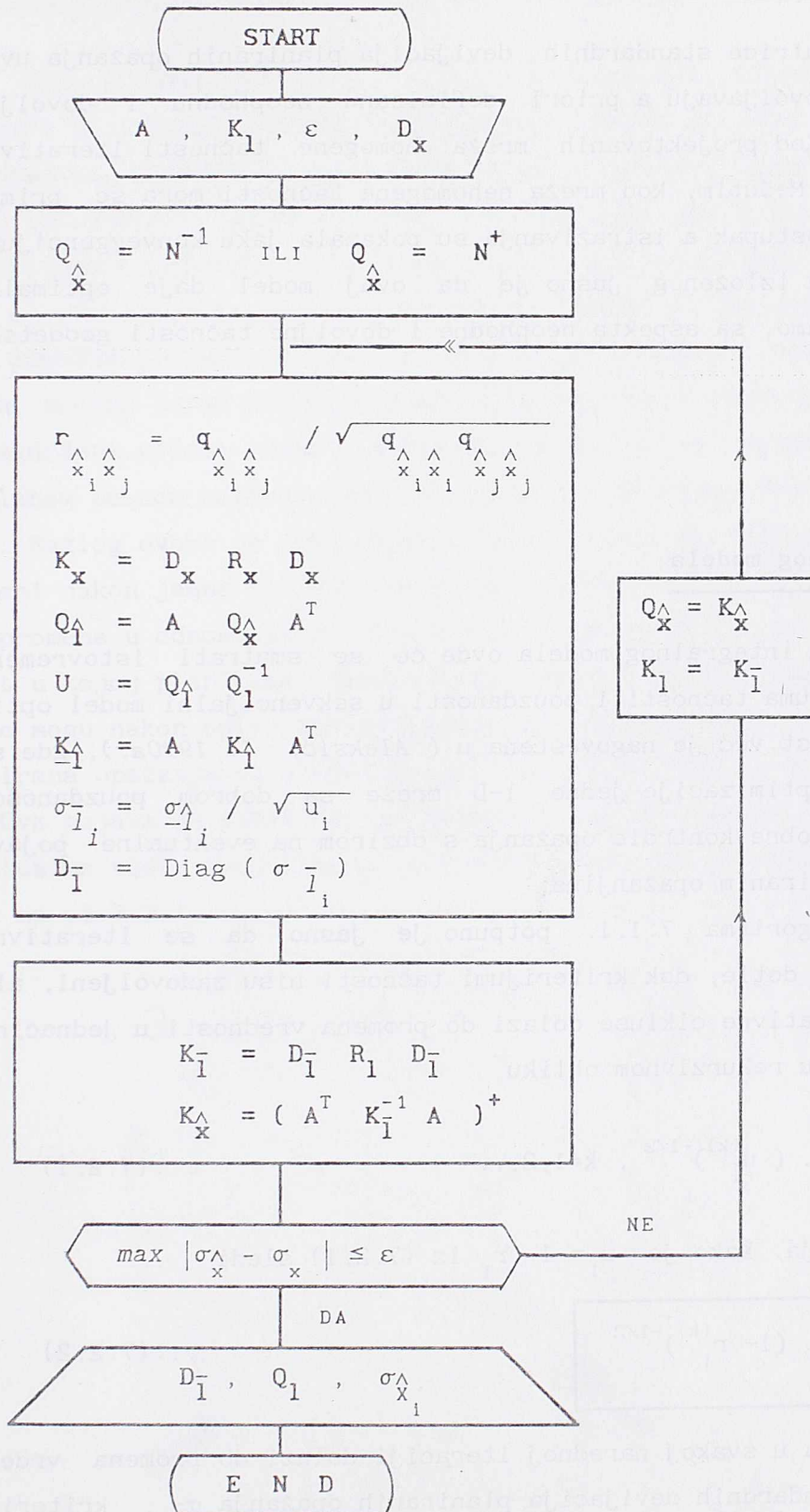
ili

$$\sigma_{1_i}^- = \sigma_{1_i}^{\Delta} / \sqrt{u_i} \quad , \quad i=1,2,\dots,n \quad \dots (7.1.4)$$

Standardne devijacije izravnatih veličina  $\sigma_{1_i}^{\Delta}$  zamenimo sa vrednostima  $\sigma_{1_i}^{\Delta}$  dobijenim iz kriterijum matrice izravnatih veličina (6.4.4), pa slede

$$\sigma_{1_i}^- = \sigma_{1_i}^{\Delta} / \sqrt{u_i} = F(A, K_1, D_x) \quad \dots (7.1.5)$$

optimalne standardne devijacije planiranih opažanja. Da bi se što bolje ispunili zahtevi neophodne tačnosti definisani matricom  $D_x$ , postupak se može ponavljati odnosno, postaje iterativan što je ilustrovano grafičkim algoritmom na slici 7.1.1. Ovaj postupak primenjivan je kod slobodnih i neslobodnih 1-D, 2-D i 3-D geodetskih mreža. Rešenja koja se dobijaju



Sl.7.1.1. Sekvencijalni model optimizacije geodetskih mreža sa aspekta tačnosti.



u vidu dijagonalne matrice standardnih devijacija planiranih opažanja uvek su pozitivna i zadovoljavaju a priori definisanu neophodnu i dovoljnu tačnost nepoznatih. Kod projektovanih mreža homogene tačnosti iterativni postupak je suvišan. Međutim, kod mreža nehomogene tačnosti mora se primenjivati iterativni postupak a istraživanja su pokazala jaku konvergenciju.

Na osnovu svega izloženog, jasno je da ovaj model daje optimalnu tačnost opažanja samo sa aspekta neophodne i dovoljne tačnosti geodetske mreže.

## 7.2. Razvoj integralnog modela

Pod razvojem integralnog modela ovde će se smatrati istovremeno uključivanje kriterijuma tačnosti i pouzdanosti u sekvencijalni model optimizacije. Ova mogućnost već je nagoveštena u (Aleksić, I. 1990a.), gde su pokazani rezultati optimizacije jedne 1-D mreže sa dobrom pouzdanošću odnosno, mogućnošću dobre kontrole opažanja s obzirom na eventualne pojave grubih grešaka u planiranim opažanjima.

Na osnovu algoritma 7.1.1. jasno je da se iterativni postupak ponavlja sve dotle, dok kriterijumi tačnosti nisu zadovoljeni, ali istovremeno kroz iterativne cikluse dolazi do promena vrednosti u jednačini (7.1.5) koju pišemo u rekurzivnom obliku

$$\sigma_{1_i}^{(k)} = \sigma_{1_i}^{(k-1)} \cdot (u_i^{(k)})^{-1/2}, \quad k=1,2,\dots \quad \dots (7.2.1)$$

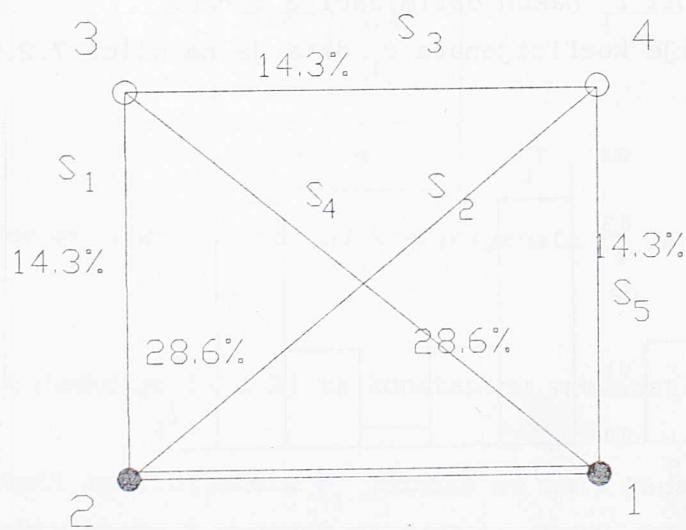
gde je  $k$  broj iteracija. Kako je  $u_i = 1 - r_i$  iz (7.2.1) sledi

$$\sigma_{1_i}^{(k)} = \sigma_{1_i}^{(k-1)} \cdot (1 - r_i^{(k)})^{-1/2} \quad \dots (7.2.2)$$

Prema (7.2.2) sledi da u svakoj narednoj iteraciji dolazi do promena vrednosti optimalnih standardnih devijacija planiranih opažanja  $\sigma_{1_i}$ , kriterijum matrice  $K_{1_i}$  kao i koeficijenata  $r_i$ .

Kako su koeficijenti  $r_i$  elementi kriterijuma pouzdanosti (Sl.6.3.1) to znači da u samom procesu optimizacije dolazi do interakcije tačnosti i pouzdanosti. U narednim razmatranjima upravo se želi posvetiti pažnja navedenoj interakciji između tačnosti i pouzdanosti kao i mogućnostima uvođenja kriterijuma pouzdanosti u sekvencijalni model optimizacije.

Pre svega interesantno je razmotriti ponašanje koeficijenata  $r_i$  u dosadašnjem modelu (Sl.7.1.1). U istraživanju većeg broja realnih mreža, uočeno je da projekat mreže koji ima dobre ocene kontrole ( $0.3 \leq r_i \leq 1$ ), zadržava slične ocene i nakon optimizacije. Sa druge strane, projekat sa slabom ocenom kontrole može zadržati takođe slabe ocene nakon optimizacije. Razlog ovome je jaka konvergencija modela ka rešenju, pa u praktičnoj primeni nakon jedne ili dve iteracije vrednosti koeficijenata  $r_i$  se neznatno promene u odnosu na početno stanje. Uočeno je da postoji i treća mogućnost u kojoj planirana opažanja sa dobrom ocenom kontrole u projektu mreže mogu nakon optimizacije dobijaju slabije ocene, a važi i obrnuto, planirana opažanja sa slabom ocenom nakon optimizacije dobijaju dobre ocene. Ova pojava je retka ali je moguća u slučajevima gde je broj iteracija eventualno veći. Ovaj slučaj ilustruje optimizacija neslobodne 2-D mreže date na sl.7.2.1.



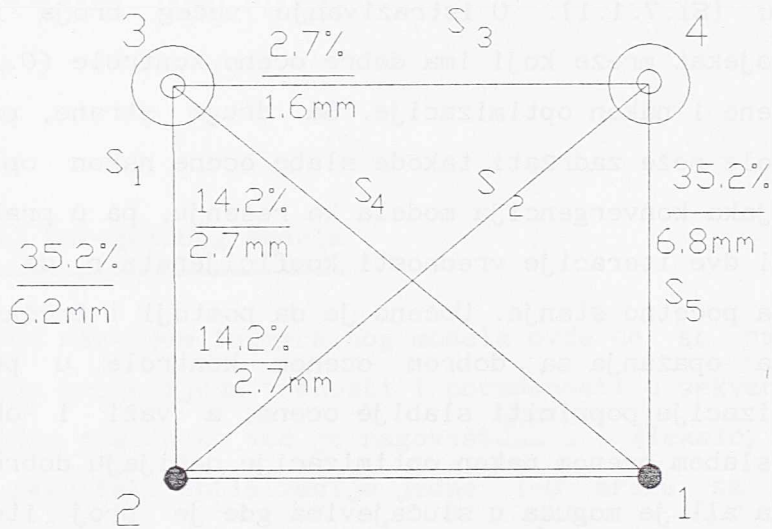
$$\bar{r} = r/n = 0.20$$

$$r = \sum r_i = 1$$

$$p_i = 1$$

Sl.7.2.1. Koeficijenti  $r_i$  u projektu 2-D mreže

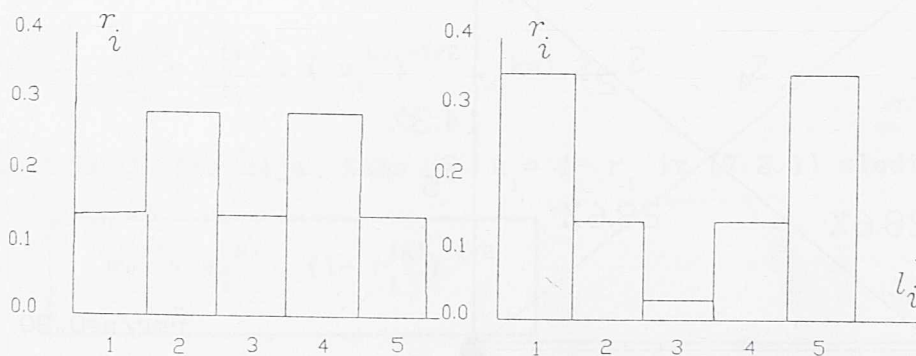
Svi koeficijenti  $r_i$  u projektu imaju ocenu dovoljne kontrole ( $0.1 \leq r_i \leq 0.3$ ) a nakon optimizacije (Sl.7.2.2), vrednosti koeficijenata  $r_1$  i  $r_5$  su se povećale i pripadaju sada oceni dobre kontrole ( $r_1$  i  $r_5 > 0.3$ ), vrednosti koeficijenata  $r_2$  i  $r_4$  su se smanjile ali ostaju u intervalu ( $0.1 < r_i < 0.3$ ), dok se vrednost koeficijenta  $r_3$  znatno smanjila i nalazi se u domenu slabe kontrole.



$$\frac{35.2\%}{6.2\text{ mm}} = \frac{r_i}{\sigma_{S_i}}, \quad \sigma_{X_i} = \sigma_{Y_i} = 5\text{ mm}, \quad r = 1$$

Sl.7.2.2. Koeficijenti  $r_i$  nakon optimizacije mreže.

Ilustracija ove transformacije koeficijenata  $r_i$  data je na slici 7.2.3.



a) Koef.  $r_i$  u projektu.      b) Koef.  $r_i$  posle optimizacije.

Sl.7.2.3. Preraspodela koeficijenata  $r_i$  u optimizaciji.



Kako je suma koeficijenata  $r_i$  konstantna  $\sum r_i = \text{const} = r$  onda preraspodela njihovih vrednosti mora biti u okviru ove konstante. To znači da će povećanje vrednosti jednog od koeficijenata  $r_i$  prouzrokovati smanjenje vrednosti drugih koeficijenata ili obrnuto, smanjenje vrednosti jednog koeficijenta prouzrokuje povećanje ostalih.

Promene koeficijenata  $r_i$  odnosno  $u_i$  prouzrokuje promene u vrednostima optimalnih standardnih devijacija  $\sigma_{l_i}$ . Za konstantnu vrednost standardne devijacije  $\sigma_{l_i}$  date su vrednosti  $\sigma_{l_i}^{-1}$  u funkciji promena  $r_i$  (tabela 7.2.1), prema (7.2.2).

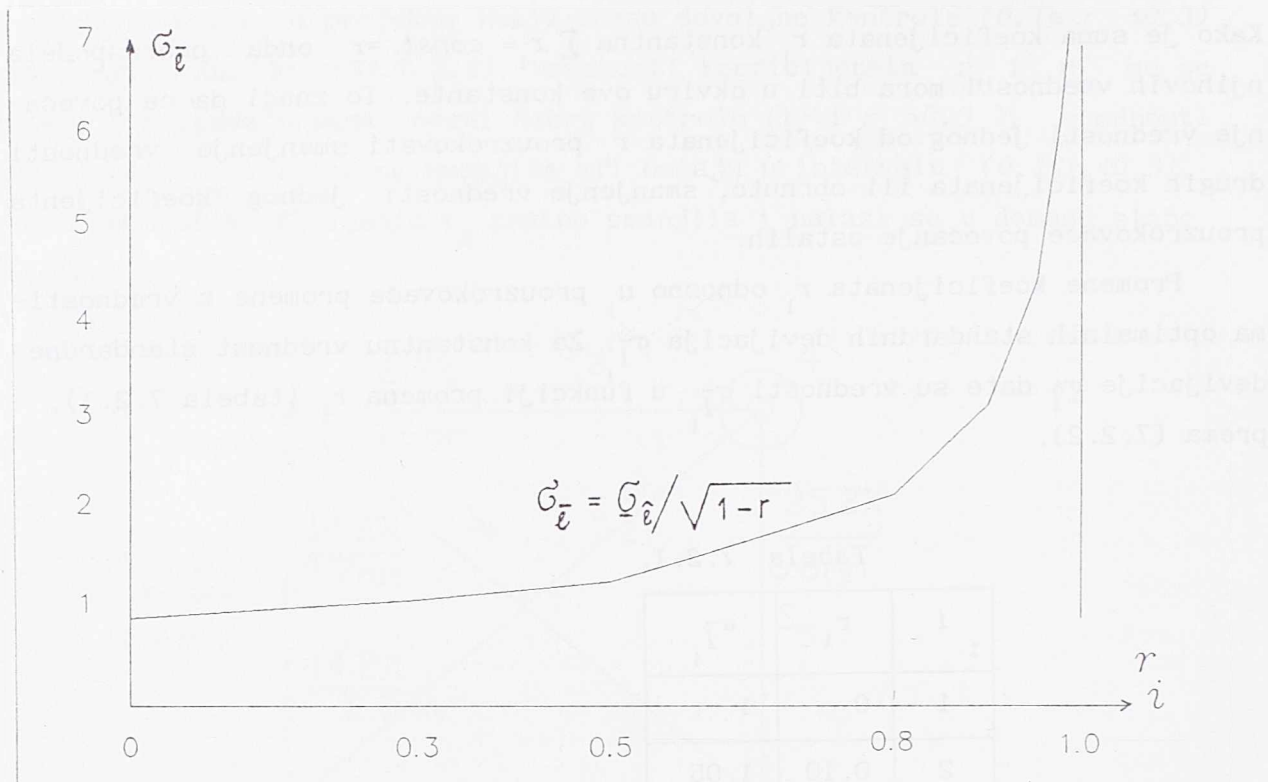
Tabela 7.2.1.

$i$	$r_i$	$\sigma_{l_i}^{-1}$
1	0	1
2	0.10	1.05
3	0.50	1.41
4	0.80	2.24
5	0.90	3.16
6	0.95	4.47
7	0.99	10.00
8	1.00	$\infty$

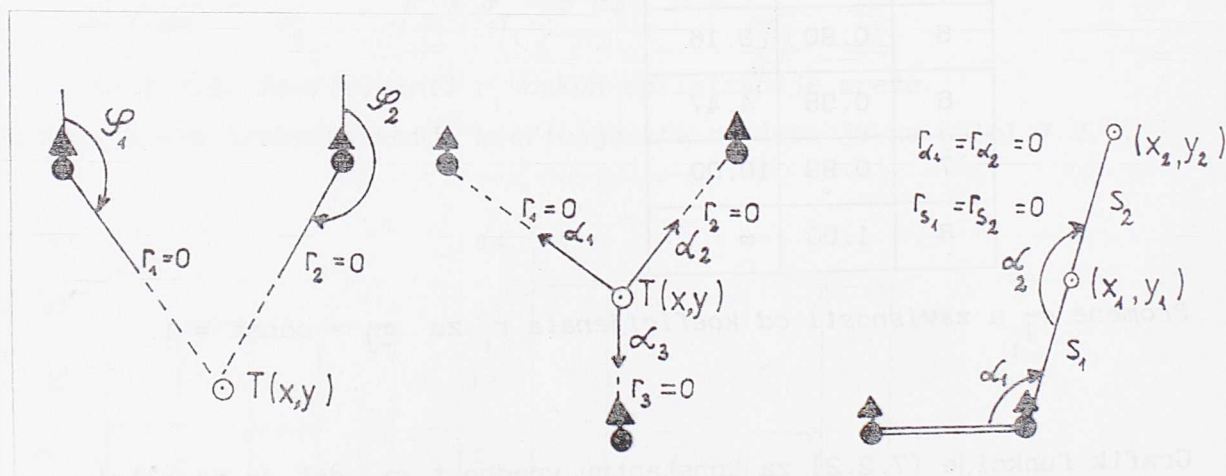
Promene  $\sigma_{l_i}^{-1}$  u zavisnosti od koeficijenata  $r_i$  za  $\sigma_{l_i} = \text{const} = 1$ .

Grafik funkcije (7.2.2) za konstantnu vrednost  $\sigma_{l_i}$  dat je na slici 7.2.4.

Vrednosti koeficijenata  $r_i$  jednake su nuli kada nema suvišnih opažanja u projektu mreže ( $n-u=r=0 \Rightarrow r_i=0$ ). Neki od slučajeva u geodetskim mrežama kada praktično ne postoji pouzdanost opažanja dati su na slici 7.2.5.



Sl. 7.2.4. Promene  $\bar{\sigma}_i$  u zavisnosti od  $r_i$  pri  $\hat{\sigma}_i = \text{const.}$



Sl.7.2.5. Slučajevi kada je  $r_i = 0$ .

Odavde proizilazi, da ovi slučajevi ne mogu biti obuhvaćeni modelom optimizacije sa aspekta pouzdanosti opažanja već samo sa aspekta tačnosti.

U sekvencijalnom modelu optimizacije, kroz iteracije dolazi do promene vrednosti  $r_i$ ,  $\sigma_i$  i  $\sigma_i^-$  prema (7.2.2). Grafik ovih promena dat je na slici 7.2.6, za karakteristično planirano opažanje dužine  $S_3$  u optimizaciji 2-D mreže (sl.7.2.1. i 7.2.2). Očigledno, vrednosti optimalnih standardnih devijacija  $\sigma_i^-$  monotono opadaju kroz iteracije. Na osnovu numeričkih pokazatelja za  $r_i$  i  $\sigma_i^-$  datih na istom grafiku uočava se da njihove vrednosti takođe monotono opadaju kroz iteracije.

Naravno, ove vrednosti mogu biti i monotono rastuće. Na sl. 7.2.7. grafik promena  $\sigma_i^-$  ( $i = 1, 2, \dots, 5$ ) pokazuje oba slučaja monotonosti, a bitno je to da kroz iteracije vrednosti ne menjaju trend rasta ili opadanja.

Nakon ovih detaljnih razmatranja, sada ima smisla govoriti o uključivanju kriterijuma pouzdanosti u sekvencijalni model optimizacije. Na osnovu rezultata optimizacije (Sl.7.2.4, 7.2.6 i 7.2.7) lako je uočiti da važi

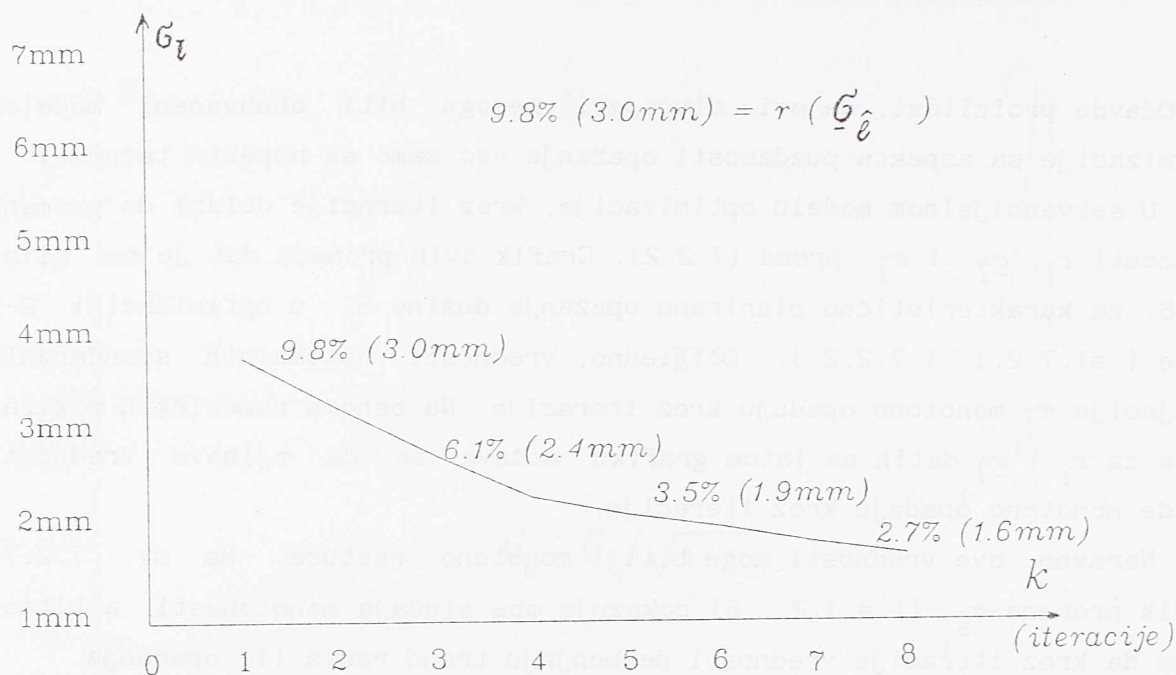
$$\begin{array}{l} \text{ako } r_i \rightarrow \max \\ \text{onda } u_i \rightarrow \min \end{array} \Rightarrow \begin{array}{l} \left[ \begin{array}{l} u_i / r_i \rightarrow \min \\ \sigma_i^- \rightarrow \max \end{array} \right] \end{array} \quad \dots (7.2.3)$$

Odavde proizilazi, da sa povećanjem pouzdanosti opažanja u mreži ( $r_i \rightarrow \max$ ), sekvencijalni model optimizacije daje povećane vrednosti optimalnih standardnih devijacija  $\sigma_i^- \rightarrow \max$  odnosno, manju tačnost opažanja. Sledi

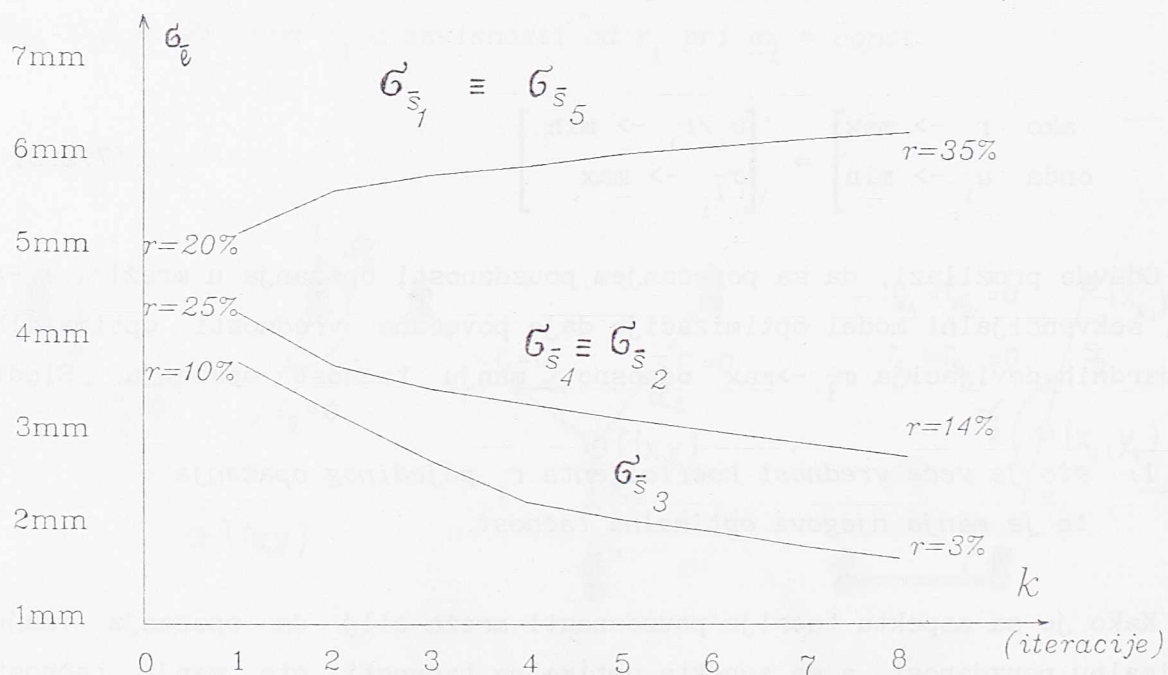
stav 1: što je veća vrednost koeficijenta  $r_i$  pojedinog opažanja to je potrebna manja tačnost.

Kako je sa aspekta teorije pouzdanosti mreža cilj da opažanja imaju maksimalnu pouzdanost, a sa aspekta optimalne tačnosti što manja tačnost opažanja, onda je potpuno jasno da sekvencijalni model ispunjava oba zahteva automatski.





Sl.7.2.6. Osetljivost vrednosti  $\sigma_{1_i}$ ,  $r_i$  i  $\sigma_{1_i}$ .



Sl.7.2.7. Osetljivost  $\sigma_{s_i}$  i  $r_i$  u optimizaciji 2-D mreže.

Relacije (7.2.3.) su proizvod zaključaka donešenih na osnovu istraživanja osobina sekvencijalnog modela optimizacije, i sada se može lako konstatovati da su oni u potpunoj saglasnosti sa kriterijumima pouzdanosti geodetskih mreža (sl.6.3.1).

Kada u sekvencijalnom modelu optimizacije vrednosti funkcija monotono opadaju onda važi

$$\left[ \begin{array}{l} \text{ako } r_i \rightarrow \min \\ \text{onda } u_i \rightarrow \max \end{array} \right] \Rightarrow \left[ \begin{array}{l} u_i / r_i \rightarrow \max \\ \sigma_{l_i}^- \rightarrow \min \end{array} \right] \quad \dots (7.2.4)$$

U ovom slučaju kada pouzdanost opažanja opada ( $r_i \rightarrow \min$ ) istovremeno tačnost korespondentnog opažanja je strožija ( $\sigma_{l_i}^- \rightarrow \min$ ). Sledi

stav 2: što je manja vrednost koeficijenta  $r_i$  pojedinog opažanja to je potrebna veća tačnost.

Na ovaj način, sekvencijalni model optimizacije planiranim opažanjima sa slabom pouzdanošću automatski dodeljuje veću optimalnu tačnost, što je principijelno posmatrano sasvim ispravno. Međutim, problem može nastupiti kada koeficijent  $r_i$  imaju male vrednosti, kao što je slučaj na sl.7.2.3. a optimalna tačnost korespondentnog opažanja postaje znatno strožija u odnosu na tačnost drugih opažanja (sl.7.2.2).

Ovaj problem u sekvencijalnom modelu optimizacije može se prevazići uvođenjem donje granične vrednosti za koeficijente  $r_i$ . Minimalna vrednost  $r_{\min} = \min(r_i)$  u ovom modelu optimizacije bi će određivana prema  $r_{\min} = (1/2)\bar{r}$  Muller, H. (1986.). Na ovaj način, ako u određenoj iteraciji vrednost koeficijenta  $r_i$  dostigne graničnu vrednost  $r_{\min} = (1/2)\bar{r}$  onda vrednosti  $r_i$  i  $\sigma_{l_i}^-$  proglašavamo konstantnim veličinama

$$\text{ako je } r_i^{(k)} \leq r_{\min} \Rightarrow \left[ \begin{array}{l} r_i^{(k)} = r_{\min} = \text{const} \\ \sigma_{l_i}^{(k)} = \text{const} \end{array} \right] \quad \dots (7.2.5)$$

gde je  $k$  broj iteracija.

U sledećim iteracijama  $k+1, k+2, \dots$  vrednosti  $r_i^{(k)}$  i  $\sigma_{\bar{l}_i}^{(k)}$  ostaju konstantne veličine, kao donje granične vrednosti, a za ostala planirana opažanja ove vrednosti će biti promenljive sve do ispunjenja kriterijuma tačnosti mreže.

Na osnovu određene minimalne vrednosti  $r_{\min}$  lako određujemo maksimalnu vrednost  $u_{\max} = 1 - r_{\min}$ .

Kada su uz navedene kriterijume tačnosti i pouzdanosti dobijene optimalne standardne devijacije  $\sigma_{\bar{l}_i}$  predstoji određivanje veličina koje mogu poslužiti u cilju kontrole opažanja. Zamenjujući standardnu devijaciju opažanja  $\sigma_{\bar{l}_i}$  sa optimalnom standardnom devijacijom planiranog opažanja  $\sigma_{\bar{l}_i}$  u (4.6.1) dobijamo

$$\nabla_{\circ} \bar{l}_i = \frac{\delta_{\circ}}{\sqrt{r_i}} \sigma_{\bar{l}_i} \quad \dots (7.2.6)$$

gde je:

$\nabla_{\circ} \bar{l}_i$  optimalna unutrašnja pouzdanost,

$\sigma_{\bar{l}_i}$  optimalna standardna devijacija,

$r_i \geq r_{\min} = \frac{1}{2} \bar{r}$  koeficijenti  $r_i$  nakon optimizacije.

Vrednost parametra necentralnosti  $\delta_{\circ} = f(\alpha_{\circ}, \beta_{\circ})$  biće constantna  $\delta_{\circ} = \text{const}$  za sva planirana opažanja. Na osnovu vrednosti  $\nabla_{\circ} \bar{l}_i$  možemo u fazi optimizacije geodetske mreže, unapred znati granične vrednosti grubih grešaka koje mogu biti identifikovane nakon izravnjanja po metodi najmanjih kvadrata.

Sa koeficijentima  $r_i$  dobijenim nakon optimizacije ( $r_i \geq r_{\min} = \frac{1}{2} \bar{r}$ ) takođe može biti određena optimalna spoljašnja pouzdanost mreže prema (4.6.3) ili (4.6.5).

Na osnovu svih dosadašnjih razmatranja, kreiran je integralni model optimizacije odnosno, sekvencijalni model sa aspekta tačnosti i pouzdanosti mreže (sl.7.2.8). Sam dijagram toka ovog modela optimizacije ne treba dodatno objašnjavati jer je on logička celina dosadašnjih matematičkih razmatranja, ali zato vredno diskutovati mere unutrašnje i spoljašnje pouzdanosti koje se na osnovu njega dobijaju.



Na osnovu stava 1 i 2 i konstantnog parametra necentralnosti  $\delta_0 = \text{const}$ , (7.2.6) pišemo u obliku

$$\nabla_{\delta_0} \bar{l}_i = \frac{\sigma_{\bar{l}_i}}{\sqrt{r_i}} \delta_0, \quad \left[ \begin{array}{l} \sigma_{\bar{l}_i} \rightarrow \max \\ r_i \rightarrow \max \end{array} \right]$$

ili

$$\nabla_{\delta_0} \bar{l}_i = \frac{\sigma_{\bar{l}_i}}{\sqrt{r_i}} \delta_0, \quad \left[ \begin{array}{l} \sigma_{\bar{l}_i} \rightarrow \min \\ r_i \rightarrow \min \end{array} \right] \quad \dots (7.2.7)$$

Odavde proizilazi da će mere unutrašnje pouzdanosti određene prema prvom i drugom slučaju (7.2.7) biti približnih vrednosti, bez obzira na vrednosti  $r_i$ . Ovo se može ilustrovati na osnovu rezultata optimizacije samo sa aspekta tačnosti (sl.7.2.2) gde dobijamo za  $S_1$  i  $S_3$

$$\nabla_{\delta_0} S_1 = \frac{\delta_0}{\sqrt{0.352}} \cdot 6.2 = 43 \text{ mm}$$

$$i \quad \nabla_{\delta_0} S_3 = \frac{\delta_0}{\sqrt{0.027}} \cdot 1.6 = 40 \text{ mm} \quad (\delta_0 = 4.13).$$

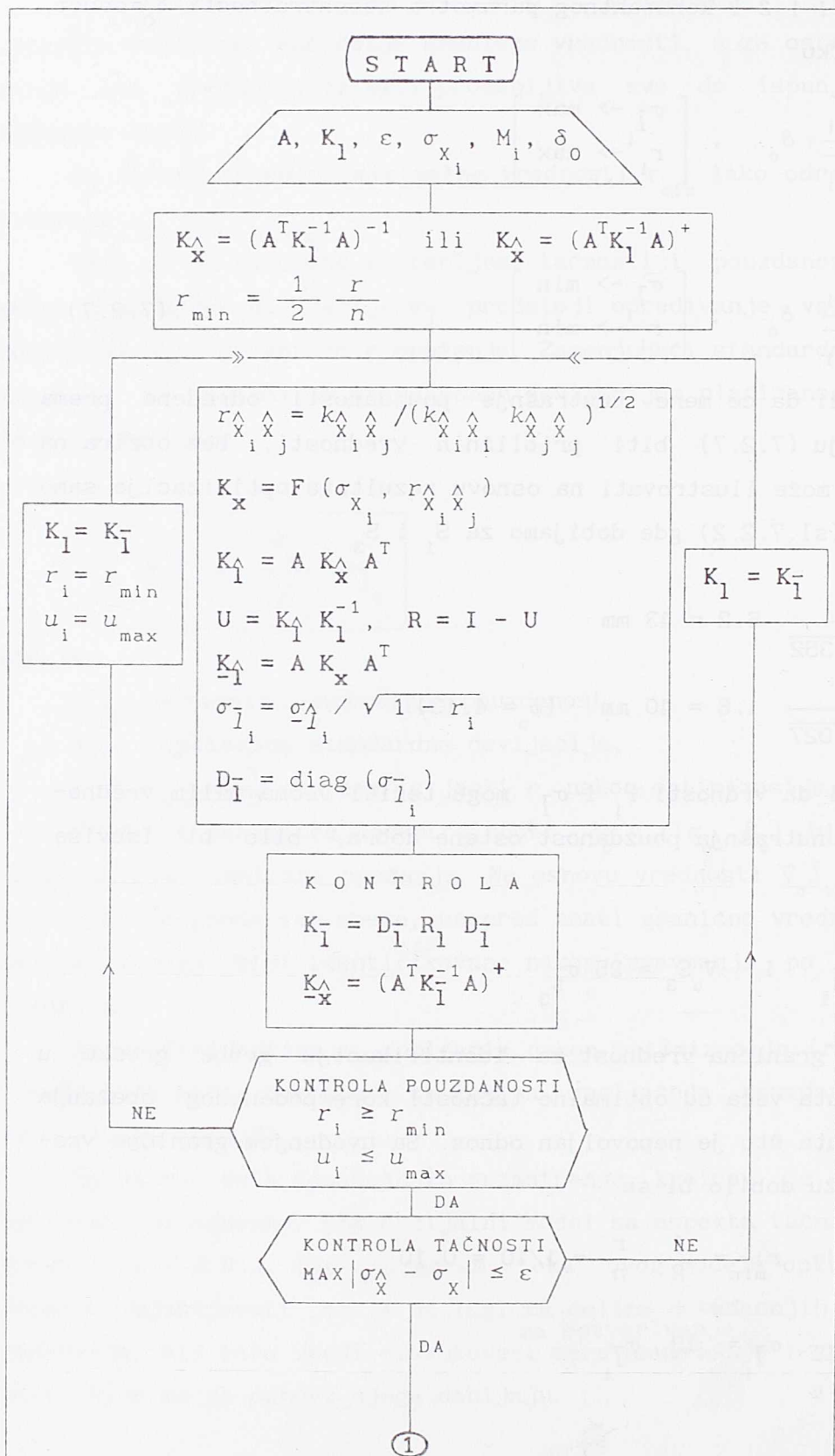
Međutim, tvrditi da vrednosti  $r_i$  i  $\sigma_{\bar{l}_i}$  mogu težiti veoma malim vrednostima, a da pri tom unutrašnja pouzdanost ostane dobra, bilo bi isuviše preuranjeno jer je

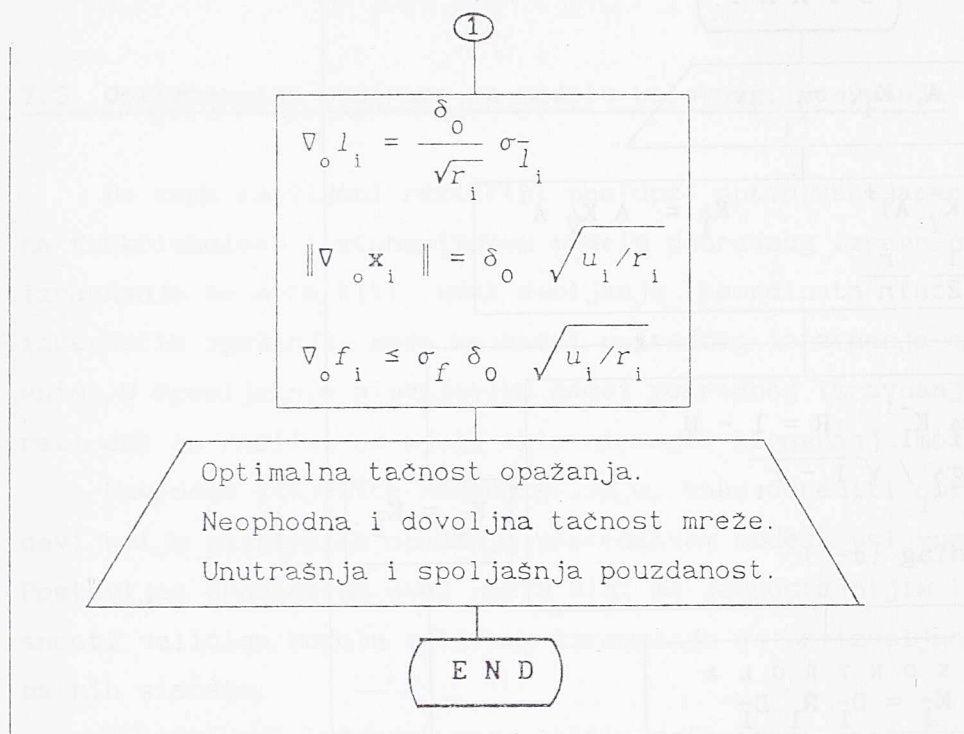
$$\nabla_{\delta_0} S_1 = 7 \sigma_{S_1} \quad i \quad \nabla_{\delta_0} S_3 = 25 \sigma_{S_3}$$

Očigledno donja granična vrednost za identifikaciju grube greške u opažanju  $S_1$  je 7 puta veća od optimalne tačnosti korespondentnog opažanja dok za  $S_3$  čak 25 puta što je nepovoljan odnos. Sa uvođenjem granične vrednosti za ovu mrežu dobilo bi se

$$r_i > r_{\min} \quad \text{gde je} \quad r_{\min} = \frac{1}{2} \frac{r}{n} = 1/10 = 0.10$$

$$(\nabla_{\delta_0} S_i)_{\min} = \frac{\delta_0}{\sqrt{r_{\min}}} \sigma_{\bar{l}_i} = 13 \sigma_{\bar{l}_i}$$





Sl. 7.2.8. Algoritam sekvencijalnog modela optimizacije.

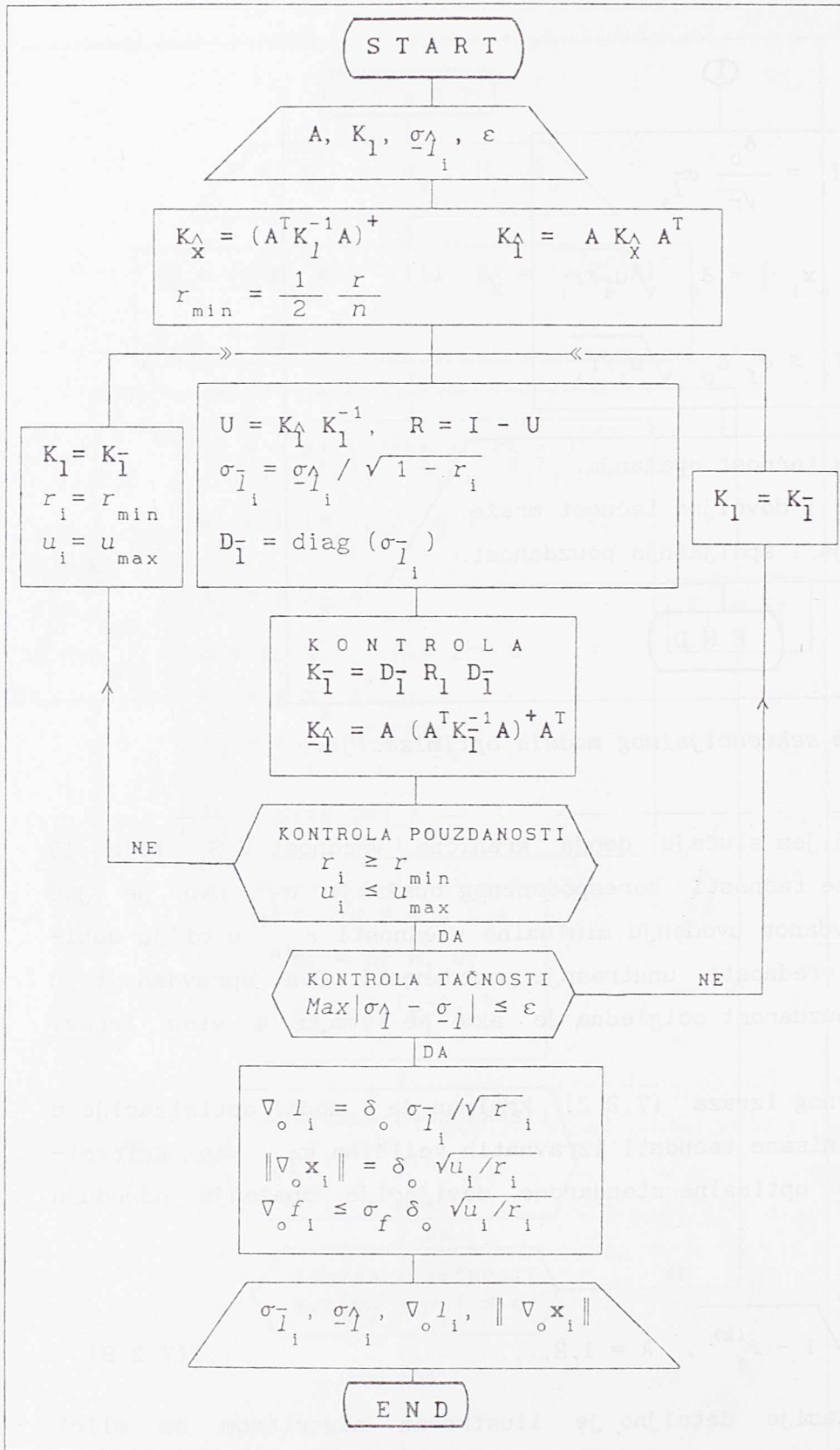
pa bi u najnepovoljnijem slučaju donja granična vrednost  $\nabla_{\circ} S_i$  bila 13 puta veća od optimalne tačnosti korespondentnog opažanja  $\sigma_{\bar{l}_i}$ . Ovo je još jedan doprinos opravdanom uvođenju minimalne vrednosti  $r_{\min}^i$  u cilju dobijanja donje granične vrednosti unutrašnje pouzdanosti. Ova opravdanost u slučaju spoljašnje pouzdanost očigledna je ako se imaju u vidu izrazi (4.6.3) i (4.6.5).

Na bazi rekursivnog izraza (7.2.2) kreiran je i model optimizacije u slučaju *a priori* definisane tačnosti izravnatih veličina  $\sigma_{\bar{l}_i}$ , kao kriterijuma tačnosti, gde se optimalne standardne devijacije opažanja određuju prema

$$\sigma_{\bar{l}_i}^{(k)} = \sigma_{\bar{l}_i} / \sqrt{1 - r_i^{(k)}}, \quad k = 1, 2, \dots \quad \dots (7.2.8)$$

Ovaj model optimizacije detaljno je ilustrovan algoritmom na slici 7.2.9.





Sl.7.2.9. Algoritam sekvencijalnog modela optimizacije kada je definisana tačnost izravnatih veličina.

7.3. Optimizacija bazirana na modelu uslovnog izravnjanja

Do sada razvijani različiti postupci optimizacija uglavnom su bazirani na funkcionalnom i stohastičkom modelu posrednog izravnjanja. Međutim, cilj izravnjanja ne mora biti uvek dobijanje koordinata tačaka već vrednosti izravnatih opažanja, kada se model posrednog izravnjanja može zameniti uslovnim. U specijalnim slučajevima model posrednog izravnjanja ne može egzistirati dok za razliku od njega uslovni model izravnjanja može biti formiran.

Navedene činjenice nameću pitanje, kako odrediti optimalne standardne devijacije planiranih opažanja posredstvom modela uslovnog izravnjanja? Postavljen problem na ovaj način čini se jednostavnijim iz razloga nezavisnosti veličina modela uslovnog izravnjanja od proizvoljno uvedenih koordinatnih sistema.

Kriterijumi tačnosti mogu biti definisani posredstvom neophodne i dovoljne tačnosti izravnatih veličina  $\sigma_1$ . Matrica dizajna uslovnog izravnjanja  $B^T$  određuje se na osnovu projekta mreže. Ako je poznata tačnost metoda opažanja i mernog pribora (za broj opažanja  $n = 1$ ), onda nju treba uključiti kao polaznu veličinu.

Na osnovu ovih poznatih informacija lako se formira matrica

$$N = B^T K_1 B = F \begin{cases} 1. \text{ dizajna mreže} = B^T \\ 2. \text{ analiza metoda opažanja} = \sigma_1 \end{cases} \quad \dots (7.3.1)$$

ili za  $K_1 = P^{-1} = I$  matrica  $N = B^T B$ .

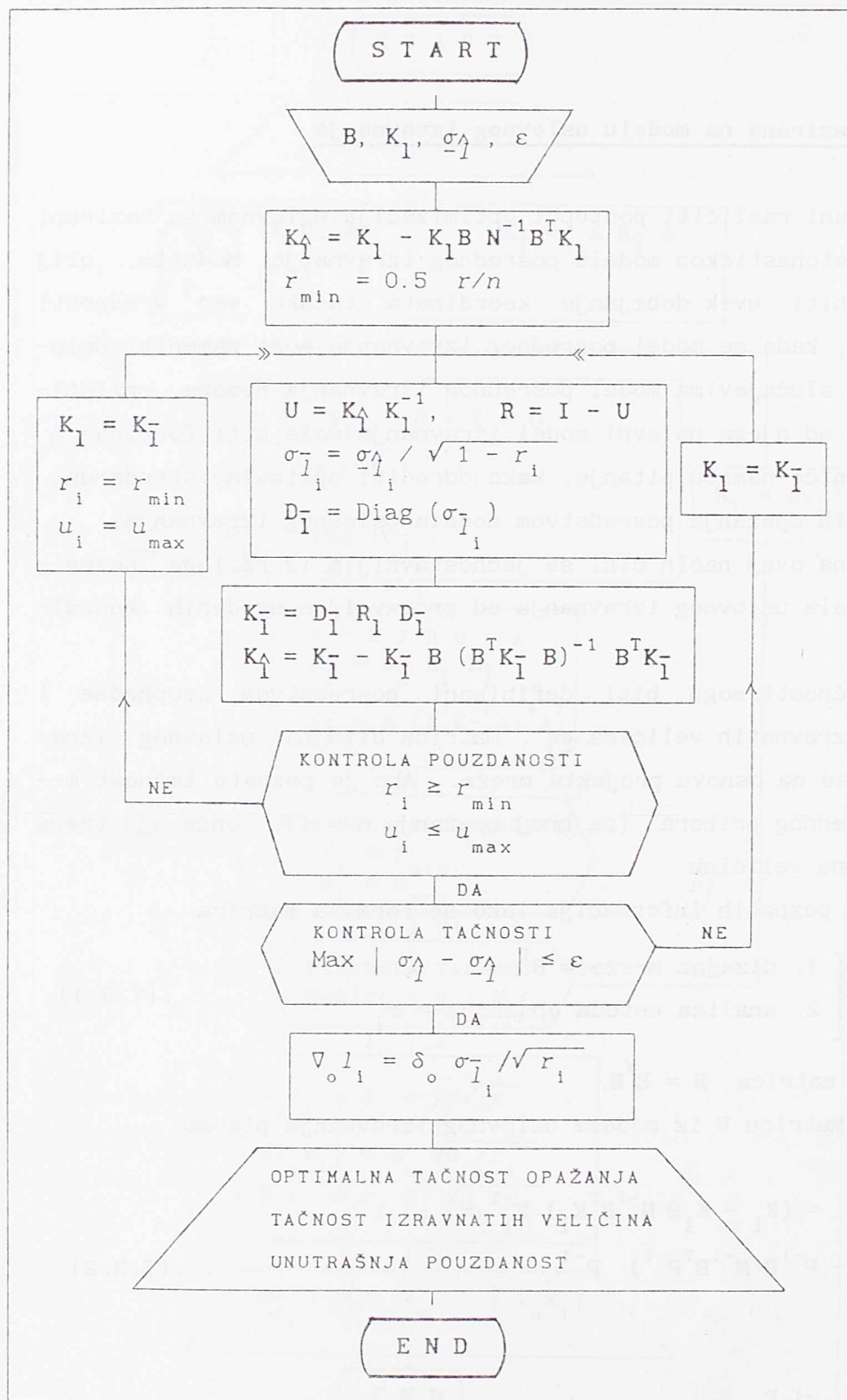
Prema (4.3.3) matricu  $U$  iz modela uslovnog izravnjanja pišemo

$$\begin{aligned} U &= K_1 K_1^{-1} = (K_1 - K_1 B N^{-1} B^T K_1) K_1^{-1} = \\ &= (P^{-1} - P^{-1} B N^{-1} B^T P^{-1}) P^{-1} \quad \dots (7.3.2) \end{aligned}$$

ili za  $P = I$

$$U = I - B N^{-1} B^T \quad \dots (7.3.3)$$

a matrica  $R = I - U$ .



Sl.7.3.1. Sekvencijalni model optimizacije baziran na uslovnom modelu izravnjanja.



Kada su poznate vrednosti koeficijenata matrica  $U$  ili  $R$ , optimalne standardne devijacije planiranih opažanja određujemo pomoću rekurzivnih izraza (7.2.1) ili (7.2.2) u obliku

$$\sigma_{\bar{l}}^{(k)} = \sigma_{\bar{l}}^{\Delta} / \sqrt{u_i^{(k)}}, \quad k = 1, 2, 3, \dots$$

ili

$$\sigma_{\bar{l}}^{(k)} = \sigma_{\bar{l}}^{\Delta} / \sqrt{1 - r_i^{(k)}}, \quad k = 1, 2, 3, \dots$$

gde je  $k = 1, 2, 3, \dots$  broj iteracija.

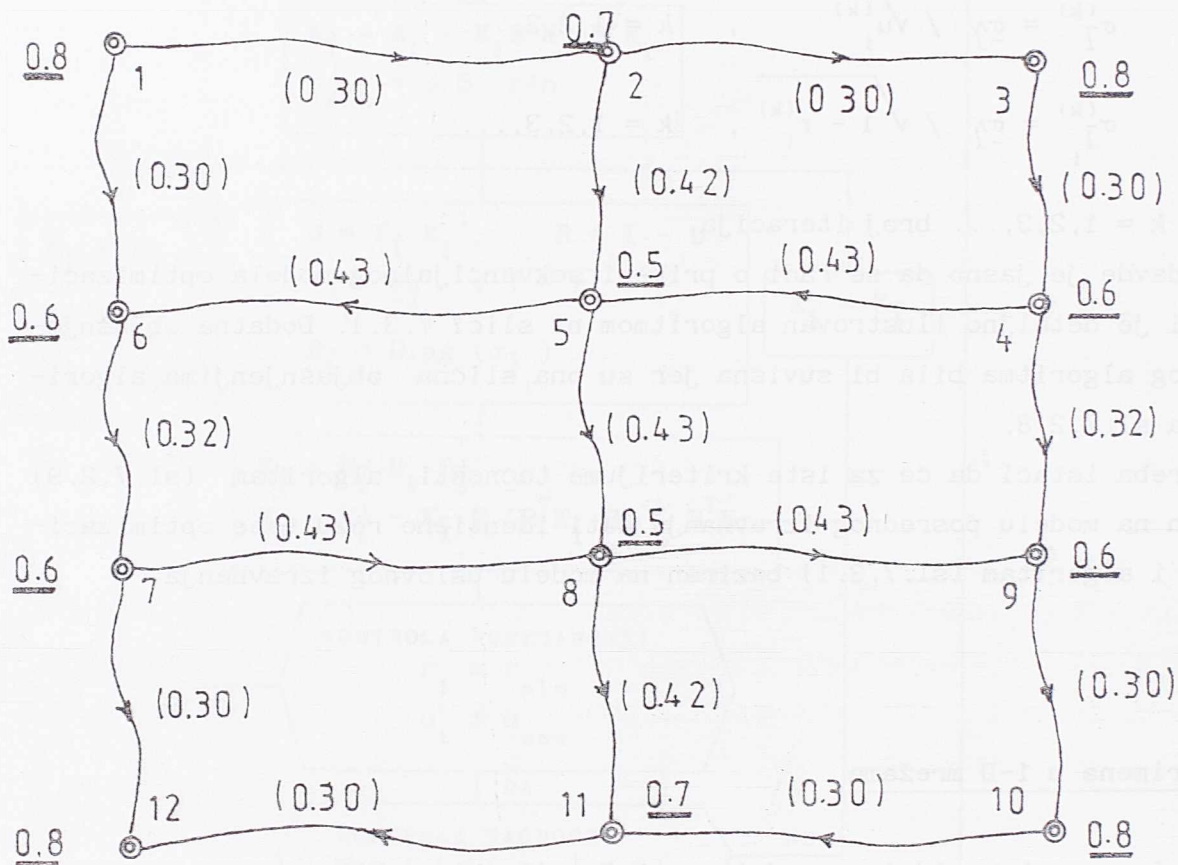
Odavde je jasno da se radi o primeni sekvencijalnog modela optimizacije koji je detaljno ilustrovan algoritmom na slici 7.3.1. Dodatna objašnjenja ovog algoritma bila bi suvišna jer su ona slična objašnjenjima algoritama na sl. 7.2.8.

Treba istaći da će za iste kriterijume tačnosti, algoritam (sl. 7.2.9) baziran na modelu posrednog izravnjanja dati identične rezultate optimizacije kao i algoritam (sl. 7.3.1) baziran na modelu uslovnog izravnjanja.

#### 7.4. Primena u 1-D mrežama

Primena sekvencijalnog modela optimizacije biće ilustrovana u projektu 1-D mreže (sl. 7.4.1). Definisana neophodna i dovoljna tačnost mreže je homogena  $\sigma_x = 5 \text{ mm}$  ( $i = 1, 2, \dots, 12$ ). Minimalna granična vrednost koeficijenta  $r_i$  ( $i = 1, 2, \dots, 17$ ) je  $r_{\min} = 1/2 \bar{r} = 0.18$ . Za homogenu tačnost planiranih opažanja ( $\sigma_l = 1 \text{ mm}$ ,  $i = 1, 2, \dots, 17$ ) standardne devijacije nepoznatih  $\sigma_{x_i}^{\Delta}$  i koeficijenti  $r_i$  pojedinih opažanja  $r_i$  dati su na sl. 7.4.1.

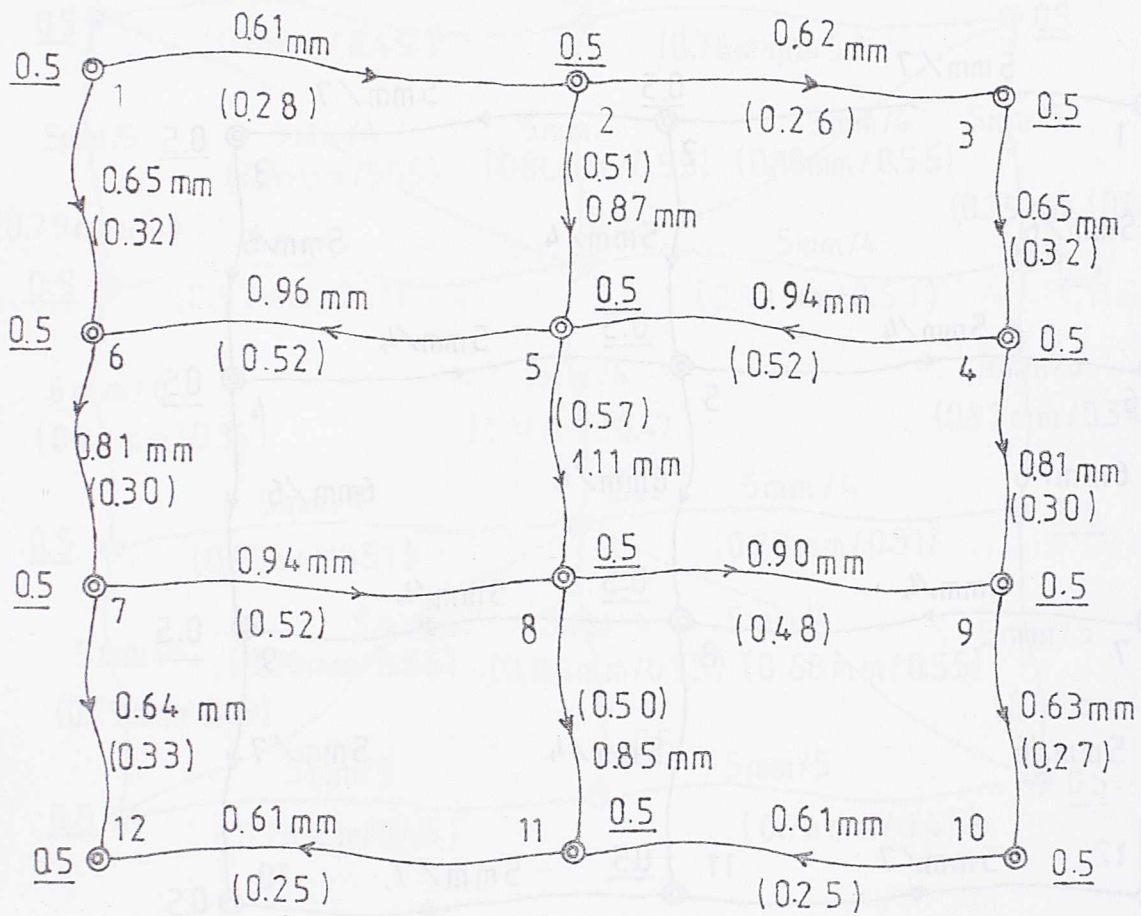
Optimizacija ove slobodne mreže, kao i niz drugih mreža u cilju prove- re sekvencijalnog modela optimizacije, izvršena je programom OPT1D. Ovaj program napisan je programskim jezikom FORTRAN 77, prema grafičkom algoritmu sekvencijalnog modela optimizacije (sl. 7.2.8). Kompletne rezultate optimizacije dobijeni ovim programom nalaze se u dodatku 1, a na slici 7.4.2. date su optimalne standardne devijacije  $\sigma_{\bar{l}}$  kao i koeficijenti  $r_i$  nakon optimizacije.



$$\begin{aligned} \underline{0.8} &= \sigma_x^{\wedge} & \sigma_1 &= 1 \text{ mm} & r &= n - u + d = 6 \\ (0.30) &= r_i & s_i &= 1 \text{ km} & \bar{r} &= r/n = 0.35 \end{aligned}$$

S1.7.4.1. Karakteristike projekta slobodne 1-D mreže.

Posledica ispunjenja homogene tačnosti mreže ( $\sigma_x = 0.5 \text{ mm}$ ), posredstvom sekvencijalnog modela optimizacije dovodi do strožije<sup>1</sup> tačnosti optimalnih opažanja ako se manji broj opažanja susiće u jednoj tački, i obrnuto, tačnost planiranih opažanja je manja ako se veći broj opažanja susiće u jednoj tački.



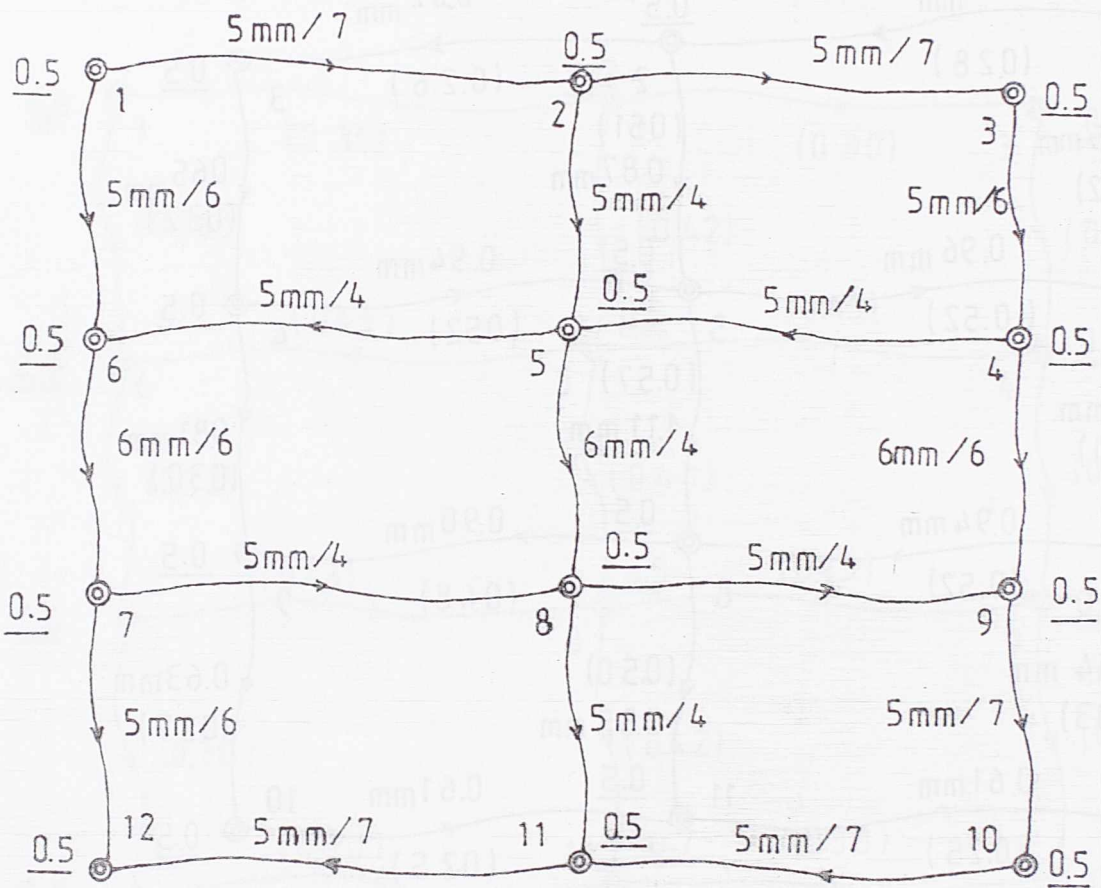
$$\underline{0.5} = \sigma_x, \quad (0.32) = r_1$$

$$0.61 \text{ mm} = \sigma_{\bar{1}}, \quad r_{\min} = 0.18$$

Sl.7.4.2. Optimalne standardne devijacije planiranih opažanja  $\sigma_{\bar{1}}$  u 1-D mreži.

To znači da ako su pojedine tačke u projektu mreže određene malim brojem planiranih opažanja, optimalne standardne devijacije ovih opažanja bi će manje, i važi obrnuto. Na ovaj način sekvencijalni model optimizacije, dovodi do logičkih rezultata optimalnih standardnih devijacija planiranih opažanja.





$$\underline{0.5} = \sigma_x$$

$$5 \text{ mm} / 7 = \nabla_{\circ} l_i / \|\nabla_{\circ} \mathbf{x}_i\|$$

$$\text{ALFA } \alpha = 0.001$$

$$\text{BETA } \beta = 0.80$$

$$\text{DELTA } \delta = 4.13$$

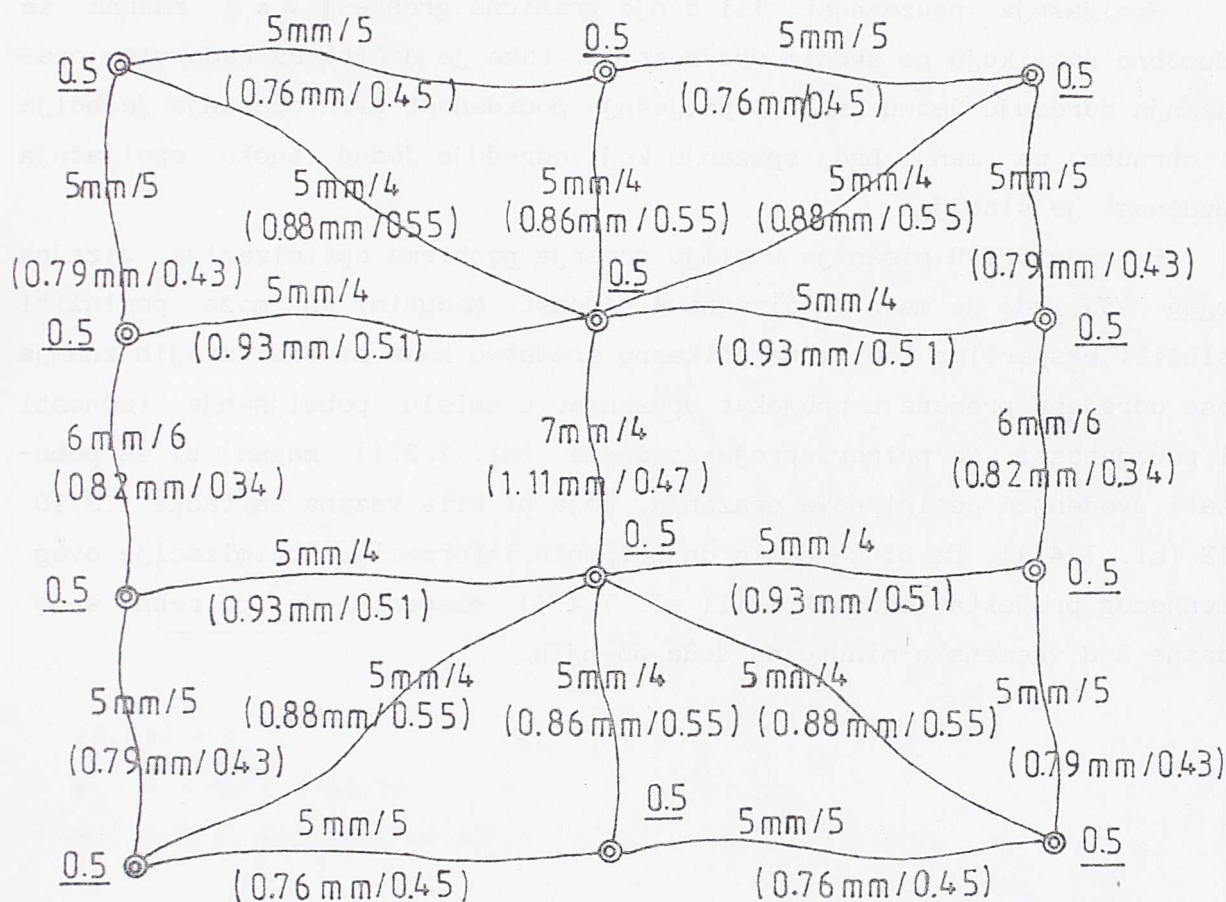
$$k = 3.29$$

#### Sl.7.4.3. Optimalna unutrašnja i spoljašnja pouzdanost

1-D mreže.

Koeficijenti  $r_i$  neznatno su se promenili nakon optimizacije, i njihove vrednosti su znatno veće od donje granične  $(r)_{\min} = 0.18$ .

Optimalna unutrašnja i spoljašnja pouzdanost dobijena takođe programom OPT1D, data je na sl.7.4.3. Donje granične greške  $\nabla_{\circ} l_i$  u kontroli opažanja ove mreže veoma su bliske po svojim vrednostima (5 mm i 6 mm) tako da



$$\underline{0.5} = \sigma_x$$

$$5 \text{ mm} / 5 = \nabla_o l_1 / \|\nabla_o x_1\|$$

$$(0.76 \text{ mm} / 0.45) = (\sigma_{\bar{l}} / r_1)$$

$$\text{ALFA } \alpha = 0.001$$

$$\text{BETA } \beta = 0.80$$

$$\text{DELTA } \delta = 4.13$$

$$k = 3.29$$

Sl.7.4.4. Optimalna tačnost i kontrola opažanja izmenjenog projekta 1-D mreže.

je unutrašnja pouzdanost veoma bliska homogenoj pouzdanosti opažanja. Međutim, bez obzira na ovu homogenost treba imati u vidu da je donja granična vrednost  $\nabla_o l_{1-2}$  visinske razlike 1-2 veća 7.8 puta od njene optimalne standardne devijacije  $\sigma_{\bar{l}}_{1-2}$  a na primer  $\nabla_o l_{5-8}$  je veća 5.4 puta od korepodentne  $\sigma_{\bar{l}}_{5-8}$ .

Spoljašnja pouzdanost ili donje granične greške  $\| \nabla_{\mathbf{x}_1} \mathbf{f} \|$  znatno se međusobno razlikuju po svojim vrednostima. Lako je uočiti da kada više opažanja određuju jednu tačku, spoljašnja pouzdanost ovih opažanja je bolja ili obrnuto, za manji broj opažanja koji određuje jednu tačku spoljašnja pouzdanost je slabija.

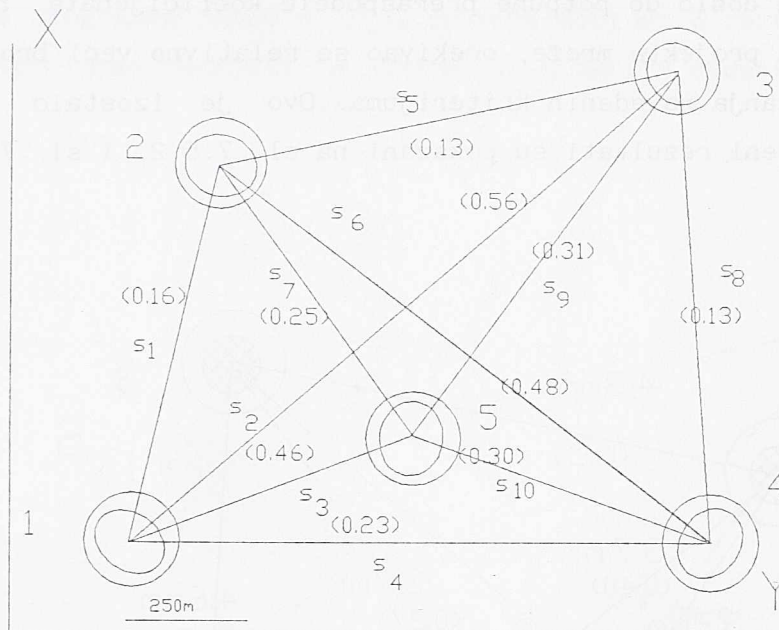
Program OPT1D pisan je u cilju rešenja problema optimizacije dizajna drugog reda, gde je matrica dizajna  $\mathbf{A} = \text{const}$ . Međutim, on može poslužiti ekspertima kao veoma efikasno sredstvo kada na bazi svojih znanja unose određene promene u projekat opažanja, u smislu poboljšanja tačnosti ili pouzdanosti. Na primer, projekat mreže (sl. 7.3.1) mogao bi se poboljšati uvođenjem četiri nova opažanja, koja bi bila vezana za tačke 1, 3, 10 i 12 (sl. 7.4.4). Da bi se došlo do potpunih informacija optimizacije ovog izmenjenog projekta (dodatak 1 ili sl. 7.4.4) ekspertu je potrebno samo dodatne 2-3 vremenske minute da dode do njih.

### 7.5. Primena u 2-D mrežama

Primena sekvencijalnog modela optimizacije u 2-D mrežama biće pokazana za projekat slobodne mreže, čije su karakteristike date na sl. 7.5.1. Neophodna i dovoljna tačnost definisana je u vidu homogene položajne tačnosti tačaka  $M_i = 3 \text{ mm}$  ( $i = 1, 2, \dots, 5$ ). Na osnovu ovih kriterijuma, određena je kriterijum kovarajaciona matrica (6.2.4) prema (6.2.10., 6.2.11. i 6.2.12.). Donja granična vrednost koeficijenata  $r_i$  ( $i = 1, 2, \dots, 10$ ) je  $r_{\min} = 1/2 \bar{r} = 0.15$ .

Vrednosti koeficijenata  $r_5$  i  $r_8$  u projektu mreže (sl.7.5.1.) nalaze se ispod granične vrednosti  $(r)_{\min}$ , a vrednost  $r_1$  je veoma bliska njoj. Razlog ovome je slab dizajn projekta mreže. Neki pokušaji u smislu povećanja vrednosti koeficijenata  $r_i$  intervencijama u samom projektu ne bi dali vidne rezultate, jer su položaji tačka 1, 2, ..., 5 konstantni, a dodavanje novih linearnih opažanja projektu, očigledno nije moguće.





$$(0.13) = r_1$$

$$\sigma_{s_1} = 3 \text{ mm} + 5 \text{ mm/km}$$

Sl. 7.5.1. Karakteristike projekta slobodne 2-D mreže.

$$r = n - u + d = 3$$

$$\bar{r} = r/n = 0.30$$

U ovom slučaju, optimizacija dolazi do potpunog izražaja, sa ciljem da reši problem optimalne tačnosti opažanja, uz istovremeno zadovoljenje definisane tačnosti i kriterijuma pouzdanosti.

Primenjen sekvencijalni model optimizacije u potpunosti je ispunio navedene kriterijume.

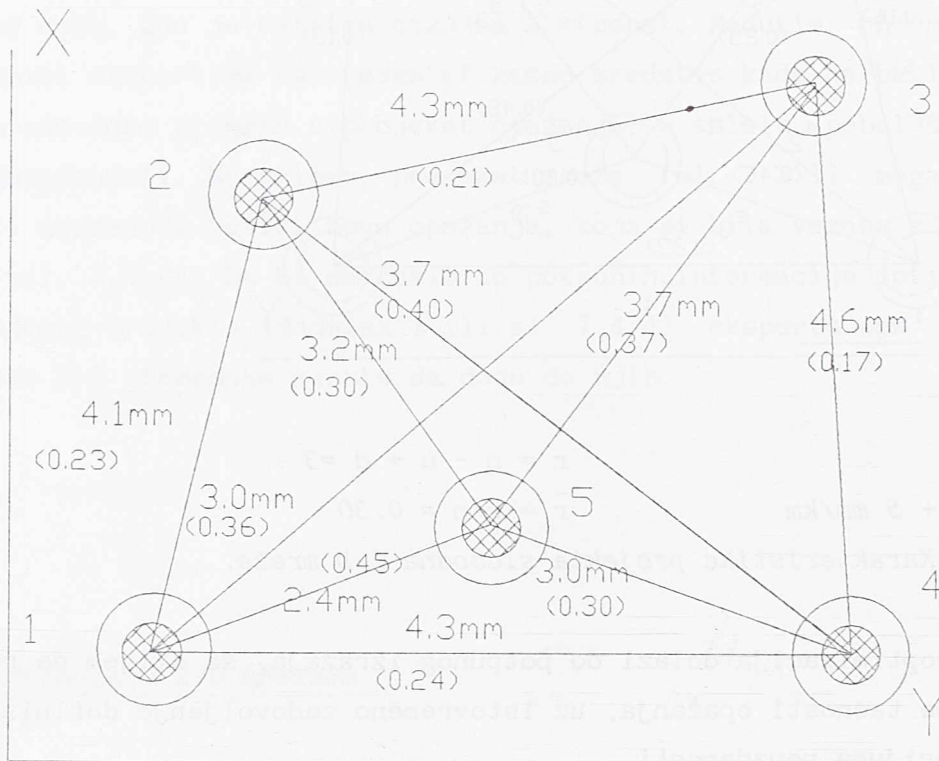
Koeficijenti  $r_5$  i  $r_8$  nakon optimizacije zadržali su minimalne granične vrednosti  $r_5 = r_8 = (r)_{\min} = 0.15$  dok su se ostale vrednosti  $r_i$  neznatno promenile u odnosu na početno stanje (sl. 7.5.1). Na ovaj način koeficijenti  $r_i$  prema tabeli 5.2.1. pripadaju granicama dovoljne i dobre kontrole.

Ovde se sada došlo do jedne nove ideje, da se za početne vrednosti koeficijenata  $r_i$  uzmu vrednosti

$$r_i^{(0)} = \bar{r} = r/n = 0.30, \quad i = 1, 2, \dots, 10$$

koje pripadaju granicama dobre kontrole, i da iterativni proces počne u odnosu na ovo nulto stanje, a kriterijum o donjoj granici  $r_{\min} = 0.15$  ostaje i dalje prisutan.

Kako je na ovaj način došlo do potpune preraspodele koeficijenata  $r_i^{(0)}$  i kako je "slab" dizajn projekta mreže, očekivao se relativno veći broj iteracija u cilju postizanja navedenih kriterijuma. Ovo je izostalo i nakon jedne iteracije dobijeni rezultati su pokazani na sl. 7.5.2. i sl. 7.5.3.



$$4.1 \text{ mm} = \sigma_{S_1}^-$$

$$(0.21) = r_i^1$$

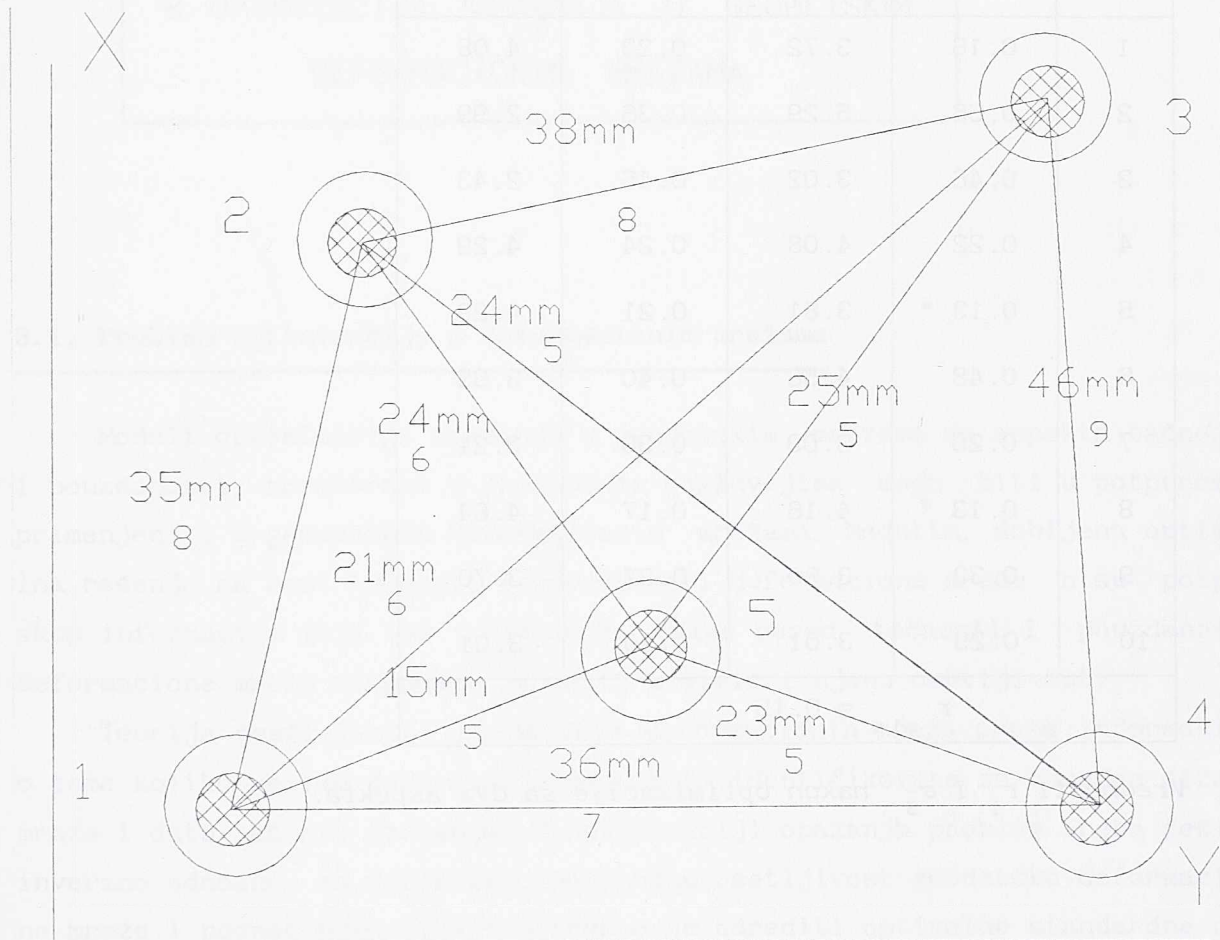
$$r_{\min} = 0.15$$

$$M = 3 \text{ mm}$$

Sl. 7.5.2. Optimalne standardne devijacije planiranih opažanja  $\sigma_{S_1}^-$  u 2-D mreži.

U tabeli 7.5.1. dati su rezultati optimizacije ove 2-D mreže sa aspekta tačnosti (sl. 7.1.1) i sa aspekta tačnosti i pouzdanosti (sl. 7.2.8). U prvom slučaju, koeficijenti  $r_s$  i  $r_g$  imaju manje vrednosti od donje granične vrednosti  $r_{\min}$  dok u drugom slučaju ova pojava nije prisutna. Za simulirane rezultate opažanja sa optimalnom tačnošću  $\sigma_{S_1}^-$  dobijenom iz sekvencija-

Inog modela optimizacije sa aspekta tačnosti i pouzdanosti izvršeno je izravnanje programom IGM2D u cilju provere dobijenih rezultata kao i ispunjenja kriterijuma tačnosti, a rezultati su dati u dodatku 2.



$$M = 3 \text{ mm}$$

$$35 \text{ mm} = \nabla_o l_i$$

$$8 = \|\nabla_o x_i\|$$

$$\text{ALFA } 0 = 0.001$$

$$\text{BETA } 0 = 0.80$$

$$\text{DELTA } 0 = 4.13$$

$$k = 3.29$$

Sl.7.5.3. Optimalna unutrašnja i spoljašnja pouzdanost 2-D mreže.



Tabela 7.5.1.

Optimizacija sa aspekta tačnosti.			Optimizacija sa aspekta tačnosti i pouzdanosti.	
$S_i$	$r_i$	$\sigma_{S_i}$	$r_i$	$\sigma_{S_i}$
1	0.16	3.72	0.23	4.08
2	0.56	5.29	0.36	2.99
3	0.46	3.02	0.45	2.43
4	0.22	4.08	0.24	4.29
5	0.13 *	3.81	0.21	4.26
6	0.48	4.56	0.40	3.69
7	0.25	3.09	0.30	3.21
8	0.13 *	4.16	0.17	4.64
9	0.33	3.80	0.37	3.70
10	0.29	3.01	0.30	3.01
$r_{\min} = 0.15$				

Vrednosti  $r_i$  i  $\sigma_{S_i}$  nakon optimizacije sa dva aspekta.

## 8. OPTIMIZACIJA OPAŽANJA U GEODETSKIM DEFORMACIONIM MREŽAMA

### 8.1. Problem optimizacije u deformacionim mrežama

Modeli optimizacije opažanja u geodetskim mrežama sa aspekta tačnosti i pouzdanosti, razmatrani u prethodnim poglavljima mogu biti u potpunosti primenjeni i u geodetskim deformacionim mrežama. Međutim, dobijena optimalna rešenja na bazi tačnosti i pouzdanosti deformacione mreže nisu potpun skup informacija koji nas interesuje. Naime pored tačnosti i pouzdanosti deformacione mreže neophodno je uzeti u obzir i njenu osetljivost.

Teorija osetljivosti geodetskih deformacionih mreža pruža informacije o tome koliko velike deformacije mogu biti identifikovane za određen dizajn mreže i datu tačnost opažanja. U optimizaciji opažanja problem treba rešiti inverzno odnosno, za definisanu neophodnu osetljivost geodetske deformacione mreže i poznat njen dizajn potrebno je odrediti optimalne standardne devijacije planiranih opažanja.

Kako je osnovni cilj geodetskih deformacionih mreža identifikacija deformacija objekata i pomeranja tla, to onda optimizacija ovih mreža sa aspekta osetljivosti ima primarni značaj u odnosu na optimizaciju sa aspekta tačnosti ili pouzdanosti. Rešenja problema optimizacije sa aspekta osetljivosti deformacionih mreža biće detaljno izložena u narednim poglavljima.

Novo razvijen sekvencijalni model optimizacije sa aspekta osetljivosti baziran je na metodi deformacione analize Mihailovića.

## 8.2. Identifikacija stabilnih tačaka metodom Mihailovića

Mogućnost identifikacije stabilnih tačaka u geodetskim deformacionim mrežama metodama translacije koordinatnog sistema, rotacije koordinatnog sistema i kombinacijom ove dve, teorijski su objašnjene u radovima (Mihailović, K. 1985a, 1985b, 1985c, 1986, 1988). Prednosti ovih metoda nad već postojećim istaknute su u doktorskom radu Čvorović, M. (1986).

Radi potpunijeg sagledavanja optimizacije geodetskih deformacionih mreža neophodno je u kratkim crtama izložiti metodu identifikacije stabilnih tačaka, na kojoj će biti primenjena optimizacija.

Razlike vektora ocena koordinata dveju epoha daju vektor prividnih pomeranja

$$d' = \hat{x}' - \hat{x} \quad \dots (8.2.1)$$

gde je

$\hat{x}'$  vektor ocena koordinata u tekućoj epohi,

$\hat{x}$  vektor ocena koordinata u prethodnoj epohi.

Prividno pomeranje (8.2.1) stabilne tačke je

$$d'_s = \hat{x}'_s - \hat{x}_s \quad \dots (8.2.2)$$

Relativna pomeranja tačaka

$$d'_i = d'_{i, \max} - d'_{i, \min} \quad , i = 1, 2, \dots, n \quad \dots (8.2.3)$$

određuju se u odnosu na najstabilniju tačku u mreži.

U 1-D mreži kada je poznata opšta tendencija kretanja, prividna pomeranja najstabilnije tačke su

$$d'_s = d'_{i, \max} = \hat{x}'_s - \hat{x}_s \quad , \text{ za slučaj sleganja} \quad \dots (8.2.4)$$

ili

$$d'_s = d'_{i, \min} = \hat{x}'_s - \hat{x}_s \quad , \text{ za slučaj izdizanja} \quad \dots (8.2.5)$$



U 2-D mreži za poznatu tendenciju kretanja, izbor prividnih pomeranja za najstabilniju tačku zavisi od segmenta.

Tabela 8.2.1.

Segment	X - osa	Y - osa	
I	$d'_{i, \min}$	$d'_{i, \min}$	
II	$d'_{i, \max}$	$d'_{i, \min}$	
III	$d'_{i, \max}$	$d'_{i, \max}$	
IV	$d'_{i, \min}$	$d'_{i, \max}$	

Relativna pomeranja (8.2.3) u slučaju jedne stabilne tačke, ili što je identično slučaju najstabilnije tačke, bez obzira na dimenzije mreže su

$$d_i = d'_i - d'_{i, \min(\max)}, \quad i = 1, 2, \dots, n \quad \dots (8.2.6)$$

gde je za tekuću stabilnu tačku  $d_i = 0$ .

Ako u mreži postoji  $n_1$  stabilnih tačaka ( $n_1 > 1$ ) i poznata je tendencija kretanja, onda se određuje srednja vrednost prividnih pomeranja

$$\bar{d}' = \frac{1}{n_1} \sum_{i=1}^{n_1} d'_i \quad \dots (8.2.7)$$

ili relativna pomeranja u odnosu na ovu srednju vrednost

$$d_i = d'_i - \bar{d}' = d'_i - \frac{1}{n_1} \sum_{i=1}^{n_1} d'_i \quad \dots (8.2.8)$$

Srednja vrednost (8.2.7) u geometrijskom smislu odnosi se na fiktivnu stabilnu tačku odnosno, težište svih  $n_1$  stabilnih tačaka u granicama tačnosti opažanja. Na osnovu (8.2.8) i (8.2.1) relativna pomeranja su

- za stabilne tačke

$$d_1 = \left( \hat{x}_1' - \frac{1}{n_1} \sum_{i=1}^{n_1} \hat{x}_i' \right) - \left( \hat{x}_1 - \frac{1}{n_1} \sum_{i=1}^{n_1} \hat{x}_i \right) \quad \dots (8.2.9)$$

- za nestabilne tačke

$$d_j = \left( \hat{x}_j' - \frac{1}{n_1} \sum_{i=1}^{n_1} \hat{x}_i' \right) - \left( \hat{x}_j - \frac{1}{n_1} \sum_{i=1}^{n_1} \hat{x}_i \right) \quad \dots (8.2.10)$$

$$j = n_1 + 1, n_1 + 2, \dots, n$$

Relativna pomeranja (8.2.9) i (8.2.10) pišemo u matričnom obliku

$$d = B \hat{x}' - B \hat{x} \quad \dots (8.2.11)$$

gde je matrica

$$B_{nn} = \frac{1}{n_1} \begin{bmatrix} n_1 - 1 & -1 & -1 & 0 & 0 \\ -1 & n_1 - 1 & -1 & 0 & 0 \\ \vdots & \vdots & \vdots & \vdots & \vdots \\ -1 & -1 & n_1 - 1 & 0 & 0 \end{bmatrix}$$

Koeficijenti matrice B imaju značenje:

$$\begin{aligned} \text{- za stabilne tačke} \quad & b_{(i,i)} = (n_1 - 1) / n_1 \\ & b_{(i,j)} = -1 / n_1, \quad i \neq j \\ \text{- za nestabilne tačke} \quad & b_{(i,i)} = 1 \\ & b_{(i,j)} = 0, \quad i \neq j \end{aligned}$$

ili za jednu stabilnu tačku ( $n_1 = 1$ ):

$$\begin{aligned} \text{- za stabilnu tačku} \quad & b_{(1,i)} = 0, \\ & b_{(1,j)} = -1, \\ \text{- za nestabilne tačke} \quad & b_{(1,i)} = 1, \\ & b_{(1,j)} = 0. \end{aligned}$$

Matrica kofaktora relativnih pomeranja (8.2.11) ima oblik

$$Q_d = B Q_{\hat{x}'} B^T + B Q_{\hat{x}} B^T \quad \dots (8.2.12)$$

ili za isti dizajn mreže u obe epohe

$$Q_d = 2 B Q_x^{\wedge} B^T = 2 B N^{-1} B^T \quad \dots (8.2.13)$$

gde se matrica kofaktora  $Q_x^{\wedge} = N^{-1}$  određuje iz klasičnog izravnjanja po metodi posrednih merenja.

Kako su ovde matrice  $Q_d$  i  $B$  dimenzija  $(n \times n)$ , matrici  $Q_x^{\wedge}$  iz klasičnog izravnjanja treba dodati nula vrstu i nula kolonu koje se odnose na tačku u kojoj je definisan datum mreže, da bi i matrica  $Q_x^{\wedge}$  bila dimenzija  $(n \times n)$ .

Kada su na raspolaganju informacije iz izravnjanja prethodne i naredne epohe, moguće je izvršiti statističko testiranje hipoteza

$$\begin{aligned} H_0: M [d] &= 0 \\ H_a: M [d] &\neq 0 \end{aligned} \quad \dots (8.2.14)$$

gde test statistike

$$t_i = \frac{d_i}{\hat{\sigma}_{d_i}} = \frac{d_i}{\hat{\sigma}_0 \sqrt{Q_{d_{ii}}}} \quad \dots (8.2.15)$$

slede studentov t-raspored verovatnoća. Za istu geometriju mreže i homogenu tačnost merenih veličina obe epohe važi

$$\hat{\sigma}_0 = \left( \frac{v^T P' v' + v^T P v}{2(n-u)} \right)^{1/2} \quad \dots (8.2.16)$$

Izbor kritične vrednosti  $t_{1-\alpha/2;f}$  zavisi od broja stepeni slobode  $f=2(n-u)$  i nivoa značajnosti (najčešće  $\alpha = 0,05$ ). Odluke o prihvatanju ili odbacivanju hipoteza donose se na sledeći način:

- za  $t_i \leq t_{1-\alpha/2,f}$  prihvata se  $H_0$  (tačke su stabilne),
- za  $t_i > t_{1-\alpha/2,f}$  prihvata se  $H_a$  (tačke su nestabilne).

Ako je tačka zaista stabilna ( $d = 0$ ), a prihvaćena hipoteza  $H_a$  čini se greška prve vrste  $P(t_i > t_{1-\alpha/2,f}) = \alpha$ . Ako je tačka zaista nestabilna ( $d \neq 0$ ), a prihvaćena hipoteza  $H_0$  čini se greška druge vrste  $P(t_i < t_{1-\alpha/2,f}) = 1-\beta$ .

Kada je nepoznata tendencija kretanja tla ili objekata odnosno, kada su ona u različitim pravcima, neophodno je posmatrati vrednosti prividnih pomeranja  $d_i'$  i uočiti ona koja se grupišu oko neke vrednosti u granicama tačnosti merenja.



Maksimalan broj vrednosti koje se grupišu u granicama tačnosti merenja ekvivalentan je broju stabilnih tačaka  $n_1$  i na osnovu njih obrazujemo srednju vrednost prividnih pomeranja prema (8.2.7) a relativna pomeranja prema (8.2.8). Odavde proizilazi da je obrazovanje matrice B i testiranje statističkih hipoteza identično slučaju više stabilnih tačaka kada je poznata tendencija.

Matematičke relacije napred napisane odnose se na jednu osu, radi što kraćeg prikaza metode Mihailovića, a u slučaju 2-D mreže, neophodno je obrazovati matricu B po obe ose  $B_x$  i  $B_y$  ili za matricu  $Q_d$  po obe ose  $Q_{dx}$  i  $Q_{dy}$  kao i test statistike  $t_{x_i}$  i  $t_{y_i}$ .

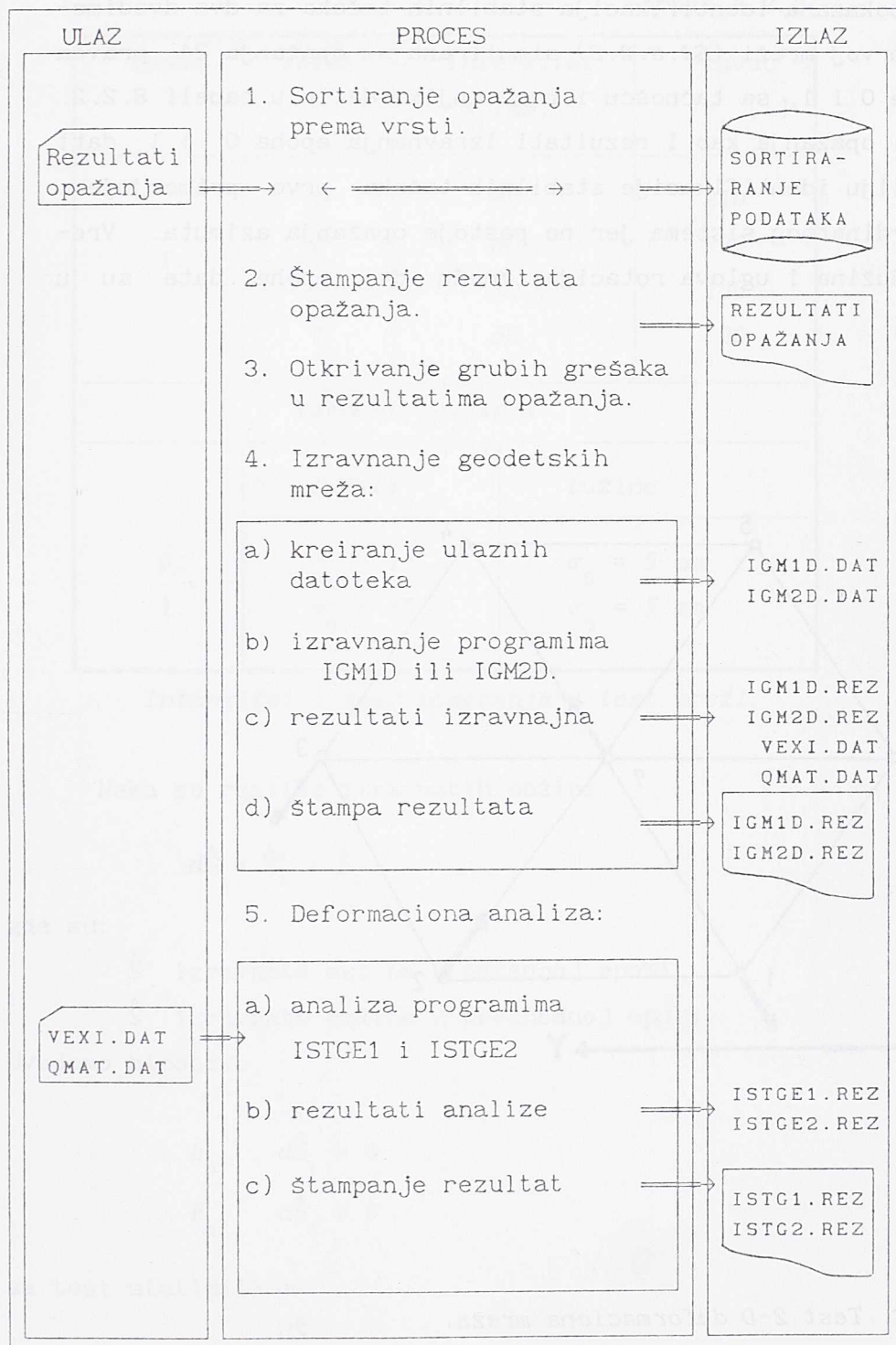
U cilju opširnijih istraživanja navedene metode u eksperimentalnim i simulacionim mrežama, autor ovog rada napisao je adekvatan softver. Softver je kompleksan i zbog svoje obimnosti u ovom radu neće biti prikazan detaljno, već samo pregledno (sl. 8.2.1).

Srž softvera čine četiri programa:

1. IGM1D Izravnanje geodetskih mreža 1-D,
2. IGM2D Izravnanje geodetskih mreža 2-D,
3. ISTGE 1 Identifikacija stabilnih tačaka geodetskih 1-D mreža,
4. ISTGE 2 Identifikacija stabilnih tačaka geodetskih 2-D mreža.

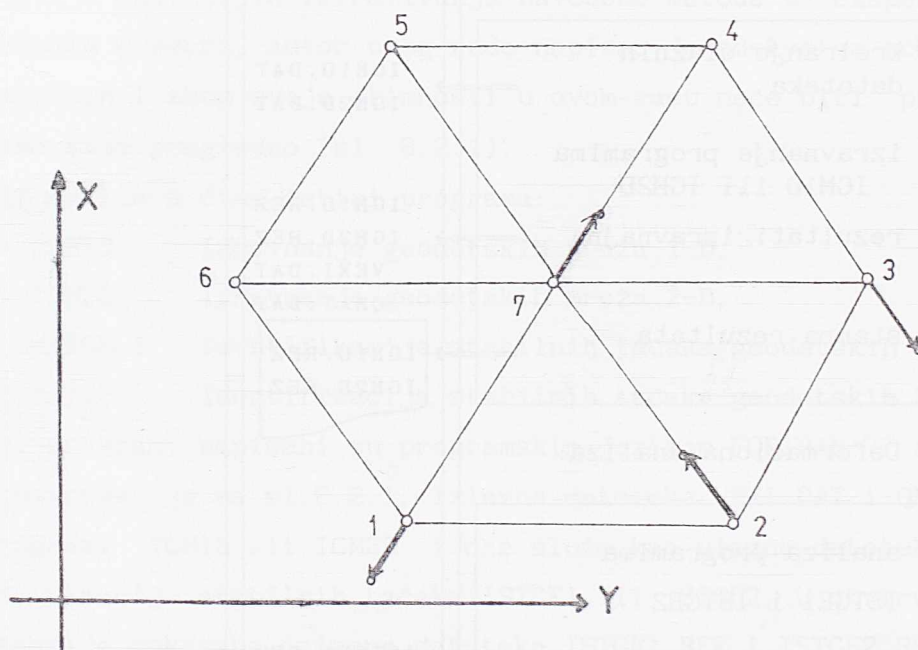
Svi programi napisani su programskim jezikom FORTRAN 77 a tok informacija ilustrovan je na sl.8.2.1. Izlazne datoteke VEXI.DAT i QMAT.DAT kreiraju programi IGM1D ili IGM2D i one služe kao ulazne datoteke programima za identifikaciju stabilnih tačaka ISTGE1 ili ISTGE2. U okviru ovoga rada bi će kasnije pokazane izlazne datoteke ISTGE1.REZ i ISTGE2.REZ koje sadrže informacije deformativne analize.

Navedeni softver pokazao se kao veoma moćno i efikasno sredstvo u analizi deformativnih mreža. Na osnovu ispitivanja mnogobrojnih 1-D i 2-D simuliranih deformativnih mreža ovim softverom, u svim slučajevima relativna pomeranja (8.2.3) ili (8.2.8) su dobijena korektno odnosno, relativna pomeranja dobijena iz analize u potpunoj su saglasnosti sa apriori usvojenim vrednostima.



Sl.8.2.1. Automatska obrada podataka u deformacionoj analizi.

Ovde će biti pokazana identifikacija stabilnih tačaka za dve dvodimenzionalne mreže. U prvoj mreži (Sl.8.2.2) simulirana su opažanja 24 pravca i 12 dužina za epohe 0 i 1, sa tačnošću i pomeranjima datim u tabeli 8.2.2. Simulirani rezultati opažanja kao i rezultati izravnjanja epoha 0 i 1 dati su u dodatku 3. U cilju identifikacije stabilnih tačaka prvo primenjujemo metodu rotacije koordinatnog sistema jer ne postoje opažanja azimuta. Vrednosti deformacija dužina i uglova rotacija između dve epohe date su u dodatku 4.



Sl.8.2.2. Test 2-D deformaciona mreža.



Tabela 8.2.2.

Epoha	Tačka	Intenzitet $d_i$ [mm]	Pravac $\nu_i$ [°]
1.	1	40	210
	2	60	330
	3	50	150
	7	50	30
Tačnost opažanja			
0.	Pravci		Dužine
	$\sigma_\alpha = 1''$		$\sigma_s = 5$ mm
1.	$\sigma_\alpha = 1''$		$\sigma_s = 5$ mm

Intenzitet i smer pomeranja u test mreži.

Neka su razlike izravnatih dužina

$$d\hat{S}_i = \hat{S}'_i - \hat{S}_i \quad \dots (8.2.17)$$

gde su:

$\hat{S}'_i$  izravnate dužine u narednoj epohi,

$\hat{S}_i$  izravnate dužine u prethodnoj epohi.

Uvedemo hipoteze

$$H_0: d\hat{S}_i = 0 \quad \dots (8.2.18)$$

$$H_a: d\hat{S}_i > 0$$

sa test statistikom

$$t_i = \frac{d\hat{S}_i}{\hat{\sigma}_{d\hat{S}_i}} \quad \dots (8.2.19)$$

koja sledi Studentovu raspodelu sa  $r=r_1+r_2$  stepeni slobode i standardnim devijacijama razlika izravnatih dužina

$$\hat{\sigma}_i^2 = \hat{\sigma}'_i^2 + \hat{\sigma}_i^2 \quad \dots (8.2.20)$$

ili za homogenu tačnost

$$\hat{\sigma}_i = \hat{\sigma}'_i \sqrt{2} \quad \dots (8.2.21)$$

Nulta hipoteza  $H_0$  se prihvata ako je

$$t_i \leq t_{r, 1-\alpha} \quad \dots (8.2.22)$$

gde je  $t_{r, 1-\alpha}$  kritična vrednost. Rezultati testiranja ovih hipoteza dati su u tabeli 8.2.3.

Vrednosti uglova rotacija  $\varphi_i$  za nedeformisane dužine date su u tabeli 8.2.4. Ove vrednosti za strane koje spajaju stabilne tačke grupišu se oko najverovatnije vrednosti  $\varphi$  u granici tačnosti  $\Delta G_\varphi$ . Ovu granicu tačnosti možemo odrediti iz razlika

$$\varphi_i = dv_i = v'_{ij} - v_{ij} \quad \dots (8.2.23)$$

ili nakon linearizacije

$$\varphi = g \mathbf{x}' + g \mathbf{x}$$

sa kovarijacionom matricom

$$K_\varphi = g K_{\mathbf{x}'} g^T + g K_{\mathbf{x}} g^T = 2 \hat{\sigma}_0^2 g Q_{\mathbf{x}} g^T \quad \dots (8.2.24)$$

Prema (8.2.24) mogu se dobiti standardne devijacije pojedinih uglova rotacije  $\varphi_i$  (tabela 8.2.4). Od ukupno  $m$  vrednosti  $\hat{\sigma}_{\varphi_i}$  odredimo prosečnu vrednost

$$\bar{\sigma}_\varphi = \frac{1}{m} \sum_{i=1}^m \hat{\sigma}_{\varphi_i} \quad \dots (8.2.25)$$

Granična tačnost je

$$\Delta G_\varphi = t_p \bar{\sigma}_\varphi \quad \dots (8.2.26)$$

odnosno, vrednost ugla  $\varphi$  nalazi se u intervalu

$$\varphi_i - \Delta G_\varphi < \varphi_i < \varphi_i + \Delta G_\varphi \quad \dots (8.2.27)$$

Tabela 8.2.3.

$T_i$	$T_j$	$d\hat{S}_i$ [mm]	$\hat{\sigma}_{\hat{S}_i}$ [mm]	$\hat{\sigma}_{\Delta_i}$ [mm]	$t_i$	Prihvata se $H_0$
1	2	11	3.9	3.8	2.02	da
1	3	-36	4.2	4.0	6.21	
1	4	-41	4.1	3.9	7.25	
1	5	-46	4.2	4.0	7.93	
1	6	-11	4.0	3.8	1.99	
1	7	-92	3.1	2.9	21.70	da
2	3	49	3.9	3.7	9.12	
2	4	44	4.2	3.9	7.78	
2	5	54	4.4	4.2	8.88	
2	6	45	4.5	4.3	7.23	
2	7	31	3.2	3.0	7.07	
3	4	-56	4.0	3.8	10.20	
3	5	-45	4.4	4.2	7.40	
3	6	-23	4.3	4.1	3.87	
3	7	3	3.1	3.0	0.61	da
4	5	4	3.8	3.6	0.76	da
4	6	-3	4.3	4.1	0.51	da
4	7	48	3.0	2.9	11.50	
5	6	-11	3.9	3.8	2.02	da
5	7	31	3.2	3.1	6.96	
6	7	-32	3.2	3.1	7.18	

$r=r_1 + r_2 = 18+18=36, \alpha =0.05$   
 $t_{r,1-\alpha} = t_{36;0.95} = 2.03$

Testiranje hipoteza u deformacijama dužina.

Tabela 8.2.4.

$T_i$	$T_j$	$d\hat{S}_i$ [mm]	$\varphi_i$ ["]	$\hat{\sigma}_{\varphi_i}$ ["]	
1	2	11	19.7	1.30	$\bar{\sigma}_{\varphi} = 1.24''$ $\Delta G_{\varphi} = t_p \bar{\sigma}_{\varphi} = 3.7''$ $t_p = 3$
1	6	-11	- 6.9	1.25	
3	7	3	-15.7	1.30	
4	5	4	0.7	1.30	
4	6	-3	2.2	1.05	
5	6	-11	2.1	1.25	

Uglovi rotacije za nedeformisane dužine.



Kada je relativno mali broj uglova  $\varphi_i$  onda se vizuelno mogu selektovati vrednosti koje se grupišu u granicama tačnosti  $\Delta G_\varphi$ . Međutim, kod većeg broja neophodno je za svaku vrednost ugla  $\varphi_i$  obrazovati interval  $\varphi_i + \Delta G_\varphi$  i ustanoviti koliko se vrednosti preostalih uglova nalazi u ovom intervalu (tabela 8.2.5). Pošto je za metodu rotacije koordinatnog sistema neophodno da postoje najmanje tri stabilne tačke onda, proizilazi da moraju postojati najmanje tri vrednosti  $\varphi_i$  ( $i=1,2,3$ ) koje se nalaze u granici tačnosti  $\Delta G_\varphi$ .

Tabela 8.2.5.

$T_i$	$T_j$	$\varphi_i$	$\varphi_i + \Delta G_\varphi$	Broj vrednosti koje se grupišu	Tačke u grupi
1	2	19.7	16.0; 23.4	1	1,2
1	6	-6.9	-10.6; -3.2	1	1,6
3	7	-15.7	-22.6; -12.0	1	3,7
4	5	0.7	-3.0; 4.4	3	4,5,6
4	6	2.2	-1.5; 5.9	3	4,5,6
5	6	2.1	-1.6; 5.8	3	4,5,6
Maksimalni broj vrednosti koje se grupišu				3	
Tačke stabilne grupe					4,5,6

Selekcija maksimalnog broja vrednosti  $\varphi_i$  u granici tačnosti  $\Delta G_\varphi$ .

Kada postoji znatno veliki broj vrednosti  $\varphi_i$  koje se nalaze u granici tačnosti  $\Delta G_\varphi$  poželjno je selektovane vrednosti  $\varphi_i$  proveriti jednim od metoda za identifikaciju grubih grešaka u opažanjima. Ovde će biti korišćeno pravilo Tompsona u cilju provere.

Na osnovu  $m$  selektovanih vrednosti  $\varphi_i$  koje se nalaze u granici  $\Delta G_\varphi$  obrazuju se

$$\bar{\varphi} = \frac{1}{m} \sum_{i=1}^m \varphi_i \quad \dots (8.2.28)$$

$$S^{*2} = \hat{\sigma}_{\varphi}^2 = \frac{1}{m} \sum_{i=1}^m (\varphi_i - \bar{\varphi})^2 \quad \dots (8.2.29)$$

Test statistika je oblika

$$t_i = \frac{\varphi_i - \bar{\varphi}}{S^*} = \frac{v_{\varphi}}{\hat{\sigma}_{\varphi}} \quad \dots (8.2.30)$$

Kada je  $t_i \leq t_{m-2, \alpha}$  prihvata se nulta hipoteza  $H_0$  odnosno, da ne postoje rezultati koji se znatno izdvajaju, a u suprotnom za  $t_i > t_{m-2, \alpha}$  odbacujemo  $H_0$ , a vrednost  $\varphi_i$  isključujemo iz zajedničkog skupa. Kritična vrednost  $t_{m-2, \alpha}$  uzima se iz tablica datih u dodatku 10. Provera vrednosti  $\varphi_i$  pravilom Tompsona data je u tabeli 8.2.6.

Tabela 8.2.6.

$T_i$	$T_j$	$\varphi_i$	$t_i$	Testiranje $H_0$
4	5	0.7	1.41	$t_{m-2, \alpha} = t_{1; 0.05}$
4	6	2.2	0.78	$t_{m-2, \alpha} = 1.41$
5	6	2.1	0.63	
$\bar{\varphi} = 1.667 \quad S^* = 0.685$				Prihvata se $H_0$

Statističko testiranje vrednosti  $\varphi_i$  pravilom Tompsona.

Na osnovu navedene selekcije pomoću granične tačnosti  $\Delta G_{\varphi}$  (Tabela 8.2.5) i na osnovu provere pravilom Tompsona (Tabela 8.2.6) donosi se zaključak o stabilnosti tačaka 4, 5 i 6.

Najverovatnija vrednost ugla rotacije  $\bar{\varphi}$  određuje se na osnovu selektovanih vrednosti  $\varphi_i$  u granicama tačnosti  $\Delta G_{\varphi}$  pomoću uopštene aritmetičke sredine

$$\bar{\varphi} = \frac{\mathbf{e}^T \mathbf{K}_{\varphi}^{-1} \varphi}{\mathbf{e}^T \mathbf{K}_{\varphi}^{-1} \mathbf{e}} = \frac{\mathbf{e}^T \mathbf{Q}_{\varphi}^{-1} \varphi}{\mathbf{e}^T \mathbf{Q}_{\varphi}^{-1} \mathbf{e}} \quad \dots (8.2.31)$$

gde je  $K_\varphi$  odnosno  $Q_\varphi$  određeno prema (8.2.24) a  $e^T = [1 \ 1 \ 1 \ \dots \ 1]$   
 Za  $Q_\varphi^{-1} = P$  dobijamo

$$\bar{\varphi} = \frac{e^T P \varphi}{e^T P e} \quad \dots (8.2.32)$$

ili za  $P = I$  sledi

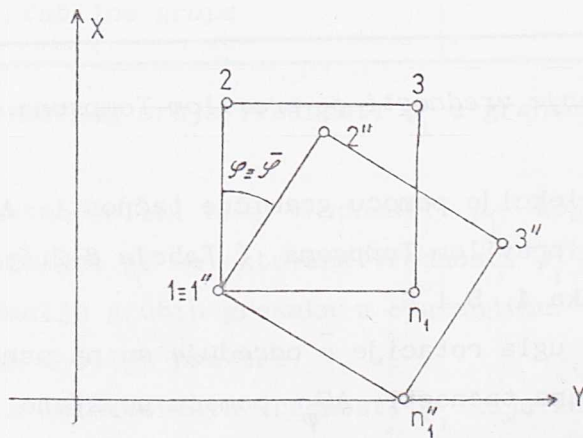
$$\bar{\varphi} = \frac{e^T \varphi}{e^T e} = \frac{1}{r} \sum_{i=1}^r \varphi_i \quad \dots (8.2.33)$$

Vrednost ugla  $\bar{\varphi}$  može se odrediti i pomoću unimodalne transformacije koordinata selektovanih  $n_1$  stabilnih tačaka

$$\operatorname{tg} \bar{\varphi} = \frac{[\bar{X}\bar{Y}'' - \bar{Y}\bar{X}'']}{[\bar{X}\bar{X}'' + \bar{Y}\bar{Y}'']} \quad \dots (8.2.34)$$

Izrazi (8.2.33) i (8.2.34) daju identične rezultate za  $\bar{\varphi}$ . Razlog ovome je što se koriste samo koordinate stabilnih tačaka u (8.2.34) kao i u (8.2.33) gde je

$$\varphi_i = v_i'' - v_i = f(X_i, Y_i, X_i'', Y_i''), \quad (i=1, 2, \dots, n_1)$$



Sl.8.2.3. Identične vrednosti  $\varphi = \bar{\varphi}$  određene prema (8.2.33) i (8.2.34) kada je  $q_x = q_y = 1$ .



Na ovaj način geodetskoj mreži u koordinatnom sistemu XOY odgovara identična mreža u sistemu X''O''Y'' koja nije deformisana. Kada nije ispunjen uslov  $q_X = q_Y = 1$  odnosno, kada je mreža u sistemu X''O''Y'' pretrpela deformacije onda je  $\varphi \neq \bar{\varphi}$ , ili vrednosti određene prema (8.2.33) i (8.2.34) su različite. Međutim, kako se za određivanje ovih vrednosti uzimaju koordinate samo stabilnih tačaka u deformacionoj analizi uvek će biti  $\varphi = \bar{\varphi}$  odnosno, izrazi (8.2.33) i (8.2.34) daju iste rezultate.

Slična identičnost ne postoji između (8.2.31) i (8.2.34) odnosno, u teorijskom smislu (8.2.34) nemože zameniti (8.2.31). Razlog ovome je što u (8.2.34) nije uzeta u obzir korelativna zavisnost koordinata već je ona zanemarena. Prema ovome, treba dati odgovor na pitanje, kako bi trebalo da izgleda izraz (8.2.34) da bi dao identičan rezultat kao (8.2.31)?

U tom cilju, pođimo od vektora transformacionih koeficijenata koji se određuje u transformaciji koordinata (Mihailović, K. 1991.)

$$t = - ( C^T N^{-1} C )^{-1} C^T N^{-1} w \quad \dots (8.2.35)$$

gde je za unimodalnu transformaciju

$$t^T = [ \varphi \quad c_X \quad c_Y ]$$

$$q_X = q_Y = 1, \quad \varphi = \varphi_0 + d\varphi, \quad \varphi_0 = 0$$

$$C = \begin{bmatrix} -y_1 & 1 & 0 \\ x_1 & 0 & 1 \\ \vdots & \vdots & \vdots \\ -y_{n_1} & 1 & 0 \\ x_{n_1} & 0 & 1 \end{bmatrix}, \quad w = X'' - X = \begin{bmatrix} w_{X_1} \\ w_{Y_1} \\ \vdots \\ w_{X_{n_1}} \\ w_{Y_{n_1}} \end{bmatrix} = \begin{bmatrix} X''_1 - X_1 \\ Y''_1 - Y_1 \\ \vdots \\ X''_{n_1} - X_{n_1} \\ Y''_{n_1} - Y_{n_1} \end{bmatrix}$$

$$N = K_{X''}^{\wedge} + B^T K_X^{\wedge} B = K_{X''}^{\wedge} + K_X^{\wedge} \quad \dots (8.2.36)$$

gde je za  $\varphi_0 = 0$  matrica  $B = I$ .

Za homogenu tačnost opažanja i istu geometriju mreže u obe epohe (8.2.36) postaje

$$N = 2 K_{\hat{X}} = 2 \hat{\sigma}_o^2 Q_{\hat{X}}$$

i zamenom u (8.2.35) dobijamo

$$t = - ( C^T Q_{\hat{X}}^{-1} C )^{-1} C^T Q_{\hat{X}}^{-1} (X'' - X) \quad \dots (8.2.37)$$

Dakle, umesto izraza (8.2.34) neophodno je koristiti (8.2.37) gde se u okviru vektora  $t$  odredi vrednost ugla rotacije  $\varphi$  koja će biti identična sa vrednošću dobijenom prema (8.2.31). Ako se u (8.2.37) zanemari korelaciona zavisnost koordinata dobijamo

$$t = - (C^T C) C^T (X'' - X) \quad \dots (8.2.38)$$

a vrednost ugla rotacije  $\varphi$  dobijena u okviru vektora  $t$  bi će identična sa vrednostima dobijenim prema (8.2.33) i (8.2.34). Za identifikovane stabilne tačke 4, 5 i 6 (Tabela 8.2.6) najverovatnije vrednosti ugla rotacije  $\varphi$  određene su u Tabeli 8.2.7.

U cilju dalje primene metode translacije koordinatnog sistema neophodno je koordinate iz tekuće serije  $X''$  transformisati u  $X'$

$$X'' \xrightarrow{\bar{\varphi}} X'$$

za vrednost ugla rotacije  $\bar{\varphi}$  prema

$$Y' = Y_T + (Y'' - Y_T) \cos \bar{\varphi} + (X'' - X_T) \sin \bar{\varphi} \quad \dots (8.2.39)$$

$$X' = X_T + (X'' - X_T) \cos \bar{\varphi} - (Y'' - Y_T) \sin \bar{\varphi}$$

gde su  $Y_T$  i  $X_T$  parametri translacije. Transformacija prema (8.2.39) pokazana je u dodatku 5 za prethodno određene parametre test mreže.

Identifikacija stabilnih tačaka metodom translacije koordinatnog sistema, kada je tendencija nepoznata, zahteva određivanje graničnih vrednosti u čijem se okviru prividna pomeranja grupišu oko neke nepoznate vrednosti. Ove granice tačnosti moraju biti korektno određene jer u suprotnom mogu nastati pogrešne odluke o stabilnim tačkama.

Tabela 8.2.7.

Br.	Način određivanja $\bar{\varphi}$
1	$\bar{\varphi} = \frac{1}{r} \sum_{i=1}^r \varphi_i = 2'', \quad r=3$
2	$\operatorname{tg} \bar{\varphi} = \frac{[\bar{X}\bar{Y}'' - \bar{Y}\bar{X}'']}{[\bar{X}\bar{X}'' + \bar{Y}\bar{Y}'']}, \quad \bar{\varphi} = 2'', \quad n_1 = 3$
3	$\bar{\varphi} = \frac{e^T Q_{\varphi}^{-1} \varphi}{e^T Q_{\varphi}^{-1} e} = 2''$
4	$t = \begin{bmatrix} \varphi \\ c_X \\ c_Y \end{bmatrix} = - (C^T Q_{\Delta_X}^{-1} C)^{-1} C^T Q_{\Delta_X}^{-1} w, \quad \varphi = 2''$
	$Q_{\varphi} = Q_{dv} = \begin{bmatrix} 1.684 & 1.047 & 0.755 \\ & 1.103 & 1.111 \\ \text{simetrično} & & 1.572 \end{bmatrix}$ $C = \begin{bmatrix} -2200 & 1 & 0 \\ 2500 & 0 & 1 \\ -1200 & 1 & 0 \\ 2600 & 0 & 1 \\ -400 & 1 & 0 \\ 1600 & 0 & 1 \end{bmatrix}$ $Q_{\Delta_X} = \begin{bmatrix} 223.9 & -145.1 & 65.30 & -162.6 & -36.99 & -53.79 \\ & 418.6 & 50.58 & 356.3 & 154.6 & 111.1 \\ & & 166.2 & 36.61 & 89.35 & -15.09 \\ \text{simetrično} & & & 452.7 & 173.9 & 134.5 \\ & & & & 237.8 & 15.83 \\ & & & & & 147.5 \end{bmatrix}$

Načini određivanja  $\bar{\varphi}$  za stabilne tačke.



Kovarijaciona matrica prividnih pomeranja (8.2.1) je

$$K_{d'} = K_{X'} + K_{Y'}$$

odnosno

$$\sigma_{d'}^2 = \sigma_{X'}^2 + \sigma_{Y'}^2 \quad \dots (8.2.40)$$

ili za homogenu tačnost

$$\sigma_{d'_i} = \sigma_{X'_i} \sqrt{2}, \quad (i=1,2,3,\dots,u) \quad \dots (8.2.41)$$

Na osnovu  $u$  vrednosti  $\sigma_{d'_i}$ , odredimo prosečnu vrednost

$$\bar{\sigma}_{d'} = \frac{1}{u} \sum_{i=1}^u \sigma_{d'_i} \quad \dots (8.2.42)$$

a interval tačnosti ili granična vrednost, u okviru koje treba da se grupišu vrednosti  $d'_i$  je

$$\Delta G_{d'} = t_p \bar{\sigma}_{d'} \quad \dots (8.2.43)$$

U 2-D mrežama neophodno je odrediti ove granične vrednosti po X i Y osi tako da se nepoznata vrednost prividnog pomeranja oko koje se ostale vrednosti grupišu u najvećem broju, nađe u intervalu

$$\begin{aligned} d'_{X'_i} - \Delta G_{d'_X} < d'_{X'_i} < d'_{X'_i} + \Delta G_{d'_X} \\ d'_{Y'_i} - \Delta G_{d'_Y} < d'_{Y'_i} < d'_{Y'_i} + \Delta G_{d'_Y} \end{aligned} \quad \dots (8.2.44)$$

Za test mrežu koju posmatramo granična tačnost po X i Y osi određena je u tabeli 8.2.8.

Kada su selektovane vrednosti prividnih pomeranja  $d'_i$  koje se u najvećem broju grupišu oko neke vrednosti u granici tačnosti  $\Delta G_{d'}$ , poželjno je ove selektovane vrednosti proveriti i uveriti se da ne postoje vrednosti koje se znatno izdvajaju. Primenom *Tompsonovog* pravila za  $m$  vrednosti  $d'$  koje se grupišu u granici  $\Delta G_{d'}$ , sledi

Tabela 8.2.8.

$T_1$	$\sigma_{d'_y}$	$\sigma_{d'_x}$	Granice tačnosti
1	3.4	3.2	$\bar{\sigma}_{d'_y} = 3.3 \text{ mm}$
2	3.5	3.5	
3	3.5	3.2	$\bar{\sigma}_{d'_x} = 3.2 \text{ mm}$
4	3.4	3.2	
5	3.4	3.7	$\Delta G_{d'_y} = 3 \times 3.3 = 10 \text{ mm}$
6	3.8	3.2	
7	2.3	2.4	$\Delta G_{d'_x} = 3 \times 3.2 = 10 \text{ mm}$

Granice tačnosti  $\Delta G_{d'_y}$  i  $\Delta G_{d'_x}$ .

$$\bar{d}' = \frac{1}{m} \sum_{i=1}^m d'_i \quad \dots (8.3.45)$$

$$S^{*2} = \frac{1}{m} \sum_{i=1}^m (d'_i - \bar{d}')^2$$

a test statistika je oblika

$$t_i = \frac{d'_i - \bar{d}'}{S^*} \quad \dots (8.2.46)$$

Kada je  $t_i \leq t_{m-2, \alpha}$  prihvatamo nultu hipotezu  $H_0$  i smatramo da ne postoje vrednosti koje se znatno izdvajaju. Kritična vrednost  $t_{m-2, \alpha}$  uzima se iz tablica datih u dodatku 10.

Kompletna identifikacija stabilnih tačaka sa testiranjem statističkih hipoteza, za datu test mrežu, izvršena je programom ISTGE2 a rezultati su pokazani u dodatku 6. Uzimanjem iz ovog dodatka vrednosti prividnih pomeranja koja se grupišu u granicama tačnosti  $\Delta G_d$ , u tabeli 8.2.9 pokazani su rezultati provere *Tompsonovim* pravilom.

Konačni rezultati dobijeni metodom translacije koordinatnog sistema kada je tendencija nepoznata (dodatak 6), dati su pregledno u tabeli 8.2.10. radi uporedne analize sa početnim stanjem, iz koje sledi dobra saglasnost.

Tabela 8.2.9.

Osa X			Osa Y	
$T_i$	$d'_x$	$t_x$	$d'_y$	$t_y$
4	-7	0.16	8	0.12
5	-1	1.30	12	1.28
6	-11	1.14	5	1.16
$\bar{d}'_x = -6.33 \text{ mm}$ $S_x^2 = 4.11 \text{ mm}^2$ $t_{m-2, \alpha} = t_{1; 0.05} = 1.41$ Prihvata se $H_0$			$\bar{d}'_y = 8.33 \text{ mm}$ $S_y^2 = 2.87 \text{ mm}^2$ $t_{m-2, \alpha} = t_{1; 0.05} = 1.41$ Prihvata se $H_0$	

Statističko testiranje vrednosti  $d'_x$  i  $d'_y$  pravilom Tompsona.

Tabela 8.2.10.

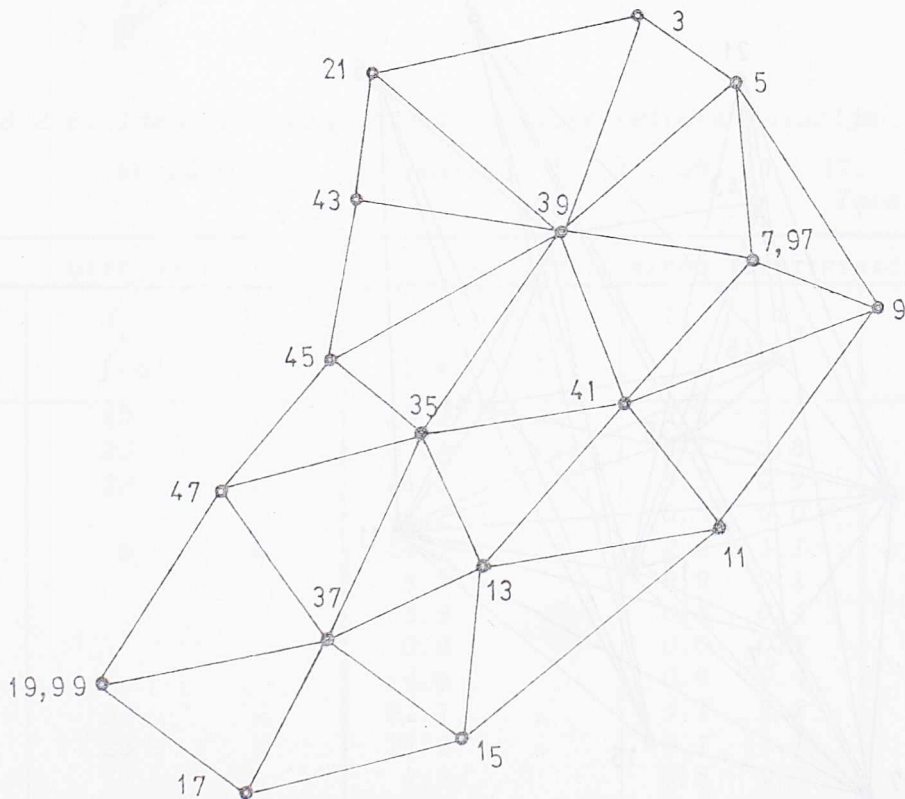
POČETNE VREDNOSTI			VREDNOSTI NAKON IDENTIFIKACIJE		
$T_i$	$d_i$ [mm]	$\nu_i$ [o]	$d_i$ [mm]	$\nu_i$ [o]	STABILNA TAČKA
1	40	210	40	210.8	NE
2	60	330	60	328.2	NE
3	50	150	54	150.2	NE
4			2		DA
5			9		DA
6			4		DA
7	50	30	52	23.3	NE

Vrednosti  $d_i$  i  $\nu_i$  pre i posle identifikacije.



Ovde će biti pokazana i analiza druge test mreže date na sl.8.2.4 koju je simulirao Kok, J. J. 1983. sa pomeranjima datim u tabeli 8.2.11.

U mreži su simulirana opažanja 72 pravaca i 37 dužina za epohe 1 i 2A, sa tačnošću datom u tabeli 8.2.11 bez prisustva grubih grešaka. Tačke 7 i 19 su prisutne samo u epohi 1, a samo u epohi 2A tačke 9, 97 i 99. Identifikacija stabilnih tačaka kada je tendencija nepoznata, obavljena je na identičan način kao i u prethodnoj test mreži, pa će ovde biti pokazani samo rezultati detaljne analize. Na slici 8.2.5. pokazane su nedeformisane dužine dobijene nakon testiranja statičkih hipoteza (8.2.18). Identifikovane stabilne tačke metodom rotacije koordinatnog sistema pokazane su na slici 8.2.6. Iste tačke identifikovane su kao stabilne i metodom translacije koordinatnog sistema. Detaljna analiza pokazana je u dodatku 7 a u tabeli 8.2.12. date su uporedne vrednosti iz koje se vidi dobra saglasnost.

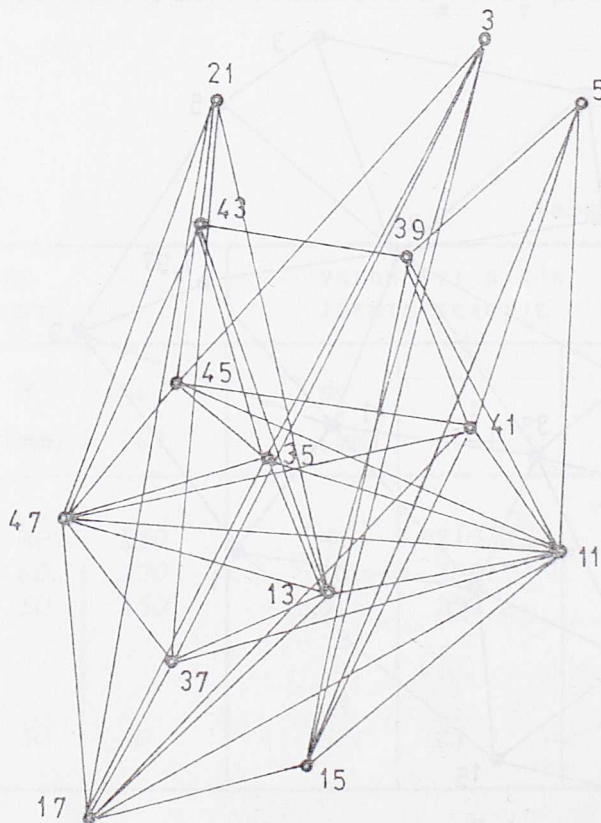


Sl.8.2.4. Test deformaciona mreža (Kok, J. J. 1983.)

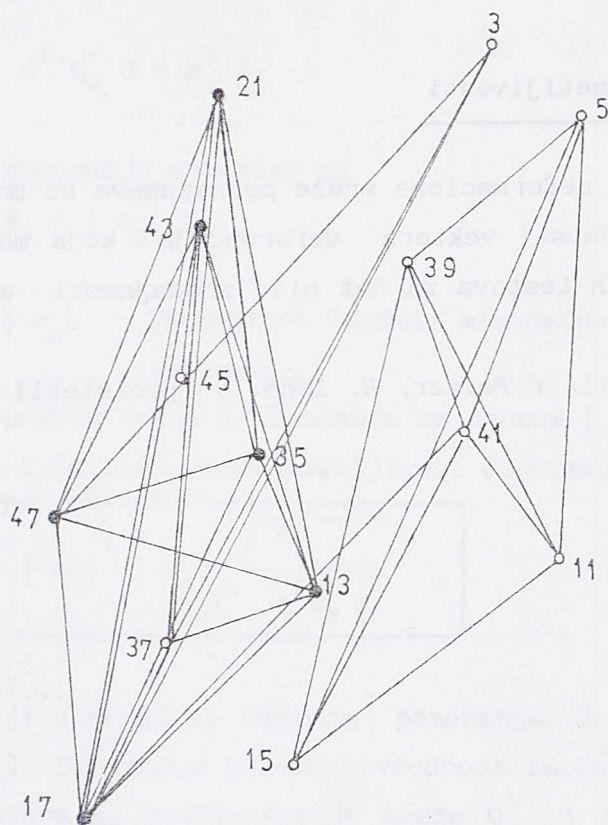
Tabela 8.2.11.

Epoha	Stanica	Y	X	d	$\nu$
2A	3	+0.20	+0.02	0.20	$\nearrow$
	5	+0.12	+0.20	0.23	$\nearrow$
	11	+0.12	+0.20	0.23	$\nearrow$
	15	-0.06	+0.06	0.08	$\searrow$
	39	+0.12	+0.20	0.23	$\nearrow$
	41	+0.12	+0.20	0.23	$\nearrow$
	45	-0.08	-0.10	0.13	$\swarrow$
Tačnost opažanja					
	pravci		dužine		
1	$\sigma_{\alpha} = 0.1 \text{ mgon}$		$\sigma_s = 0.01 \text{ m}$		
2A	$\sigma_{\alpha} = 0.1 \text{ mgon}$		$\sigma_s = 0.08 \text{ m}$		

Pomeranja i tačnost opažanja za test 2-D mrežu (Sl.8.2.4)



Sl.8.2.5. Nedeformisane dužine.



Sl.8.2.6. Identifikovane stabilne tačke metodom rotacije koordinatnog sistema: 13, 17, 21, 35, 43 i 47.

Tabela 8.2.12.

$T_i$	DATE VREDNOSTI		VREDNOSTI NAKON IDENTIFIKACIJE				STABILNA TAČKA
	$d_i$ [cm]	$\nu_i$ [°]	$d_i$ [cm]	$\nu_i$ [°]	$t_x$	$t_y$	
3	20	$\nearrow$	23.6	$\nearrow$	0.9	6.0	
5	23	$\nearrow$	23.3	$\nearrow$	2.7	2.8	
11	23	$\nearrow$	26.2	$\nearrow$	5.5	0.9	
13			2.2		0.5	0.0	DA
15	8	$\searrow$	14.0	$\searrow$	2.2	1.1	
17			6.2		0.9	0.1	DA
21			5.9		0.8	0.4	DA
35			0.3		0.0	0.1	DA
37			4.6		0.9	0.4	DA
39	23	$\nearrow$	21.1	$\nearrow$	5.1	2.2	
41	23	$\nearrow$	21.2	$\nearrow$	6.1	1.1	
43			2.3		0.5	0.2	DA
45	13	$\searrow$	15.9	$\searrow$	4.7	1.6	
47			5.3		1.3	0.1	DA

Uporedne vrednosti deformacija.



### 8.3. Optimizacija sa aspekta osetljivosti

Pod osetljivošću geodetske deformacione mreže podrazumeva se mogućnost određivanja donje granične vrednosti vektora deformacija koja može biti ustanovljena putem statističkih testova za dat nivo značajnosti  $\alpha$  i moć testa  $\beta$ .

Osnovi analize osetljivosti (Pelzer, H. 1985.) proistekli su iz statističkih test hipoteza

$$H_0: E(d) = 0 \quad \dots (8.3.1)$$

$$H_a: E(d) \neq 0$$

sa test statistikom

$$F = \frac{d^T Q_d^+ d}{\hat{\sigma}_0^2 r(Q_d)} \quad \dots (8.3.2)$$

gde je:

$$d = \hat{x}_2 - \hat{x}_1$$

$$Q_d = Q_{x_1} + Q_{x_2} = 2 Q_x = 2 (A^T P A)^+$$

$$r(Q_d) = \text{rang } Q_d$$

F - test statistika sledi F raspodelu sa brojevima stepeni slobode  $n_1 = \text{rang } Q_d$  i  $n_2 = r = r_1 + r_2$ .

Analiza osetljivosti treba da odgovori na pitanje ako je hipoteza  $H_a$  prihvaćena i postoji pomeranje onda, koliko veliko pomeranje  $d$  može biti identifikovano za date verovatnoće  $\alpha$  i  $\beta$ ?

U slučaju alternativne hipoteze  $H_a$ , test statistika F sledi necentralnu  $F_{1-\alpha, r, \omega, \delta}$  raspodelu sa parametrom necentralnosti

$$\delta = \frac{d^T Q_d^+ d}{\sigma_0^2} \quad \dots (8.3.3)$$

Parametar necentralnosti  $\delta$  zamenimo sa teorijskom donjom graničnom vrednošću

$$\delta_0 = f(r, \omega, \alpha_0, \beta_0) \quad \dots (8.3.4)$$

i (8.3.3) pišemo u obliku

$$d^T Q_d^+ d = \sigma_0^2 \delta_0 \quad \dots (8.3.5)$$

Minimalno pomeranje označimo sa

$$d_0 = |a_0| g \quad \dots (8.3.6)$$

gde je

$a_0 = |a_0|$  - intenzitet (modul) minimalnog vektora pomeranja,

$g$  - pravac vektora pomeranja sa normom  $\|g\| = 1$ .

Iz (8.3.5) i (8.3.6) sledi osetljivost deformacione mreže

$$|a_0| = \sigma_0 \sqrt{\frac{\delta_0}{g^T Q_d^+ g}} \quad \dots (8.3.7)$$

ili najmanji intenzitet vektora pomeranja koji može biti identifikovan ( $|a_0| = a_{\min}$ ). Ova donja granična vrednost zavisi od verovatnoća  $\alpha_0$ ,  $\beta_0$ , pravca vektora  $g$ , konfiguracije mreže  $Q_d^+$  i *a priori* usvojenog standarda jedinice težine  $\sigma_0$ .

Matrica kofaktora  $Q_d$  može biti napisana u obliku spektralne matrice

$$Q_d = S \Lambda S^T \quad \dots (8.3.8)$$

ili njena pseudo inverzija

$$Q_d^+ = S \Lambda^+ S^T = \sum_{i=1}^r \frac{1}{\lambda_i} s_i s_i^T \quad \dots (8.3.9)$$

gde je:

$$S = [s_1, s_2, \dots, s_r, \dots, s_u],$$

$$\Lambda = \text{diag} [\lambda_1, \lambda_2, \dots, \lambda_r, 0, \dots, 0],$$

$\lambda_i$  = sopstvene vrednosti matrice  $Q_d$ ,

$s_i$  = sopstveni vektori korespondentni sa  $\lambda_i$ ,

$$\lambda_1 = \lambda_{\max} \quad i \quad \lambda_r = \lambda_{\min} \quad (\lambda_1 > \lambda_2 > \dots > \lambda_r).$$

Iz spektralne analize sledi

$$\mathbf{g}^T \mathbf{Q}_d^+ \mathbf{g} = \sum_{i=1}^r \frac{1}{\lambda_i} (\mathbf{g}^T \mathbf{s}_i) (\mathbf{s}_i^T \mathbf{g})$$

ili uzimajući da su pravci vektora  $\mathbf{g}$  i  $\mathbf{s}_i$  paralelni ( $\mathbf{g} = \mathbf{s}_i$ )

$$\mathbf{g}^T \mathbf{Q}_d^+ \mathbf{g} = \lambda_i^{-1} \quad \dots (8.3.10)$$

gde je norma vektora  $\|\mathbf{g}\| = \|\mathbf{s}_i\| = 1$ .

Zamenom (8.3.10) u (8.3.7) dobijaju se intenziteti pomeranja u navedenim pravcima

$$|a_{\min}^0| = \sigma_0 \sqrt{\delta_0 \lambda_{\min}} \quad \dots (8.3.11)$$

$$|a_{\max}^0| = \sigma_0 \sqrt{\delta_0 \lambda_{\max}} \quad \dots (8.3.12)$$

gde je za minimalnu sopstvenu vrednost  $\lambda_{\min}$  osetljivost najbolja, a za maksimalnu vrednost  $\lambda_{\max}$  osetljivost je najslabija.

Mere osetljivosti (8.3.7) ili (8.3.11) mogu poslužiti kao kriterijumi u optimizaciji geodetskih deformacionih mreža (Zhang, Y. 1987., Zhang, Z. i Li, X. 1990, Huaxue, T. i Fengxiang, J. 1990.) i ovde će biti pokazani samo osnovni idejni pristupi. Metod optimizacije baziran na kriterijumu osetljivosti (Zhang, Z. i Li, X. 1990.) podrazumeva prvo iznalaženje kriterijum matrice osetljivosti  $\mathbf{Q}_d$  za matricu kofaktora  $\mathbf{Q}_d$ . Prema (8.3.6) i (8.3.11) sledi jednakost

$$d_0 = \sigma_0 \sqrt{\delta_0 \lambda_0} \quad \mathbf{g}, \quad (\lambda_0 = \lambda_{\min}) \quad \dots (8.3.13)$$

na osnovu koje se dobijaju vrednosti

$$\lambda_0 = \frac{d_0^2}{\sigma_0^2 \delta_0} \quad \dots (8.3.14)$$

za definisani minimalni intenzitet pomeranja  $d_0$ , poznatu standardnu devijaciju  $\sigma_0$  i parametar necentralnosti  $\delta_0$ . Kako je na osnovu dizajna mreže poznata matrica (8.3.8) onda zamenom sopstvenih vrednosti  $\lambda$  sa vrednostima  $\lambda_0$  u ovoj matrici dobija se kriterijum matrica osetljivosti



$$\underline{Q}_d = S \Lambda_0 S^T$$

Optimalne težine opažanja određuju se iz matricne jednačine

$$A^T P A = 2 \underline{Q}_d^+ \quad \dots (8.3.15)$$

gde je  $P$  nepoznata dijagonalna matrica težina. Jednačinu (8.3.15) pišemo u obliku sistema linearnih jednačina

$$(A^T \circ A^T) p = q$$

gde je

$p = \text{vec } (P)$  vektor dijagonalnih koeficijenata matrice  $P$

$q = \text{vec } (2 \underline{Q}_d^+)$  vektor koeficijenata donje trougaone matrice  $2 \underline{Q}_d^+$ ,

$u(u+1)/2 =$  broj linearnih jednačina.

U opštem slučaju broj linearnih jednačina je veći od broja nepoznatih težina  $n$ , pa se rešenje sistema jednačina nalazi po metodi najmanjih kvadrata. Problem ovog rešenja je pojava negativnih težina ili zahteva za veoma visokom tačnošću opažanja koji su praktično neizvodljivi pa je neophodno uvođenje dodatnog uslova  $p_i > 0$  ( $i = 1, 2, \dots, n$ ). Pored ovog ograničenja uvodi se i ograničenje za minimalnu pouzdanost mreže. Kako početne vrednosti težina mogu biti nerealne, uveden je iterativni postupak, gde se posle svake iteracije formira nova kriterijum matrica osetljivosti, sa limitom iteracija

$$\| \Delta \| = | \text{vec } 2 (A^T P A)^+ - \underline{Q}_d^+ | < \varepsilon_0$$

gde je norma  $\| \Delta \| = \varepsilon_0$  mala pozitivna vrednost.

U (Huaxue, T. i Fengxiang, J. 1990.) osnovna ideja optimizacije deformacionih mreža sa aspekta osetljivosti, proistekla je iz matricne jednačine (8.3.9) koja s obzirom na relacije između sopstvenih vrednosti i sopstvenih vektora može biti pisana u obliku

$$Q_d^+ s_i = \Lambda^+ s_i = \frac{1}{\lambda_{\min}} s_i \quad \dots (8.3.16)$$

ili

$$\frac{1}{2} A^T P A s_i - \frac{1}{\lambda_{\min}} s_i = 0 \quad \dots (8.3.17)$$

Matematički model optimizacije dobijen je primenom metode najmanjih kvadrata gde je minimalna norma

$$\left\| \frac{1}{2} A^T P A s_i - \frac{1}{\lambda_{\min}} s_i \right\| = \min \quad \dots (8.3.18)$$

U ovom izrazu poznata je matrica dizajna deformacione mreže  $A$  kao i vrednost  $\lambda_{\min} = \lambda_0$  koja se određuje prema (8.3.14). Za poznate aproksimativne pravce pomeranja u deformacionoj mreži sopstveni vektor  $s_i$  može biti zamenjen sa aproksimativnim  $s_0$ , pa (8.3.18) ima oblik

$$\left\| \frac{1}{2} A^T P A s_0 - \frac{1}{\lambda_0} s_0 \right\| = \min \quad \dots (8.3.19)$$

Na ovaj način u (8.3.19) preostaje nepoznata dijagonalna matrica težina  $P$ , za koju se nalazi optimalno rešenje.

#### 8.4. Sekvencijalni model optimizacije sa aspekta osetljivosti

U okviru razmatranja mogućnosti optimizacije opažanja u geodetskim deformacionim mrežama ( poglavlje 8.3 ), lako je uočiti da su kriterijumi osetljivosti uzeti samo kao globalne mere. Međutim, dobra globalna osetljivost ne znači i dobru lokalnu osetljivost. Zbog toga, ovde će biti prvo razmatrane mogućnosti dobijanja lokalnih mera osetljivosti što znači određivanje osetljivosti za svako pojedino pomeranje.

Ideja o određivanju lokalnih mera osetljivosti može biti realizovana ako se ima u vidu statističko testiranje hipoteza (8.2.14). U test statistici (8.2.15) ocenu standardne devijacije  $\hat{\sigma}_0$  dobijenu iz izravnjanja po metodi najmanjih kvadrata zamenimo sa teorijskom vrednošću  $\sigma_0$  pa sledi

$$t_i = \frac{d_i}{\sigma_{d_i}} = \frac{d_i}{\sigma_0 \sqrt{Q_{d_{11}}}} \sim N \quad \dots (8.4.1)$$

U slučaju nulte hipoteze  $H_0$  test statistika  $t_i$  sledi standardizovanu normalnu raspodelu  $t_i \sim N(0, 1)$ , a u slučaju alternativne hipoteze  $H_a$  necentralnu normalnu raspodelu  $t_i \sim N(\delta_i, 1)$  sa parametrom necentralnosti  $\delta$  (sl.4.5.1), i pišemo

$$\delta_i = \frac{\nabla d_i}{\sigma_{d_i}} \quad \dots (8.4.2)$$

Empirisku vrednost parametra necentralnosti  $\delta_i$  sada zamenimo sa teorijskom vrednošću

$$\delta_0 = f(\alpha_0, \beta_0)$$

pa (8.4.2) pišemo u obluku

$$d_{i,0} = \delta_0 \sigma_{d_i} = \delta_0 \sigma_0 \sqrt{Q_{d_{11}}} \quad \dots (8.4.3)$$

Jednakost (8.4.3) predstavlja upravo tražene mere lokalne osetljivosti ili osetljivost svakog pojedinog relativnog pomeranja u deformacionoj mreži. Očigledno ona zavisi od parametra necentralnosti  $\delta_0$ , a priori uzete



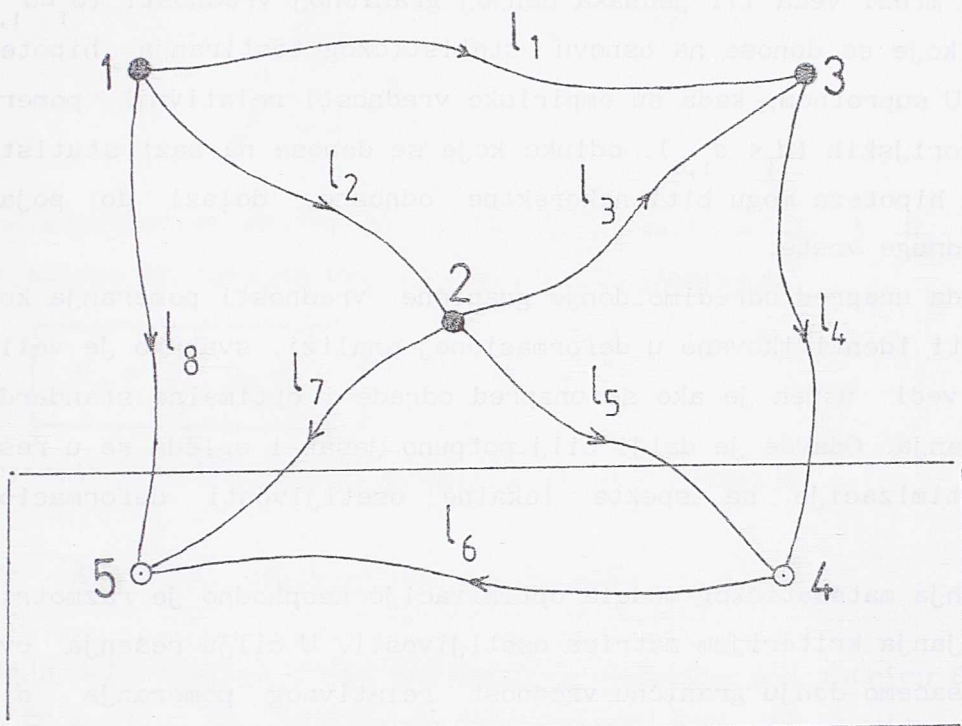
standardne devijacije  $\sigma_0$  i dizajna deformacione mreže  $Q_d$ . Parametar necentralnosti  $\delta_0$  treba određivati prema tabeli 4.5.2. za usvojene verovatnoće  $\alpha_0$  i  $\beta_0$ , tako da bude konstantan ( $\delta_0 = \text{const}$ ) za sva relativna pomeranja u deformacionoj mreži. Kako za parametar necentralnosti  $\delta_0$  biramo obično donju graničnu vrednost, to će onda i  $d_{1,0}$  određeno prema (8.4.3) predstavljati donju graničnu vrednost relativnog pomeranja, koje može biti identifikovano putem testiranja statističkih hipoteza. Drugim rečima, za poznat dizajn deformacione mreže i usvojeno  $\alpha_0$ ,  $\beta_0$  i  $\sigma_0$  moguće je odrediti donje granične vrednosti relativnih pomeranja koje mogu putem testiranja statističkih hipoteza biti identifikovane.

Očigledno, teorijske vrednosti (8.4.3) lako se mogu odrediti međutim, sada se nameće pitanje koliko one odražavaju realno stanje odnosno, da li prilikom statističkih testiranja hipoteza u deformacionoj analizi zaista mogu biti korektno identifikovana pomeranja koja u malome prevazilaze ili su jednaka ovim graničnim vrednostima.

U ovom cilju, ispitivano je više mreža a ovde će biti pokazane samo dve. Za test 1-D deformacionu mrežu (sl.8.4.1) teorijske donje granične vrednosti (8.4.3) date su u tabeli 8.4.1. Prilikom formiranja matrice B za ovu svrhu potpuno je suvišno poznavanje tendencija pomeranja.

Za ovu test 1-D deformacionu mrežu u nultoj epohi simulirana su opažanja  $l_i$  ( $i = 1, 2, 3, \dots, 8$ ) sa tačnošću  $\sigma_1 = 1\text{mm}$  a u tekućoj epohi takode sa istom tačnošću ali sa pomeranjima na tačkama 4 i 5 u iznosima  $d_4 = +4\text{mm}$  i  $d_5 = -4\text{mm}$ , tako da ove vrednosti u malome prevazilaze donje granične vrednosti na ovim tačkama ( $d_{1,0} = 3,7\text{mm}$ ). Na osnovu rezultata izravnjanja obe epohe izvršena je deformaciona analiza programom ISTGE1 a informacije dobijene nalaze se u dodatku 8. Imajući u vidu dobijene informacije može se zaključiti da su odluke prilikom statističkog testiranja hipoteza donešene korektno.

Slično je postupljeno i sa mrežom na slici 7.4.1, za koju su donje granične vrednosti (8.4.3) određene u tabeli 8.4.3. a simulirana su pomeranja neznatno veća od teorijskih donjih graničnih vrednosti. Informacije dobijene na osnovu deformacione analize pokazale su i u ovom slučaju da su odluke donšene korektno prilikom statističkog testiranja hipoteza.



- stabilna tačka  $\sigma_{l_i} = 1\text{mm}, i = 1, 2, \dots, 8$
- nestabilna tačka

Sl.8.4.1. Test 1-D deformaciona mreža.

Tabela 8.4.1

$T_i$	$d_{i,0} [\text{mm}]$	Poznate vrednosti
1	2. 41	$\alpha_0 = 0,001$
2	2. 25	$\beta_0 = 0,80$
3	2. 41	$\delta_0 = f(0,001, 0,80) = 4,13$
4	3. 66	$Q_d = 2 B Q_{\Delta} B^T$
5	3. 66	$\sigma_0 = 1\text{mm}$

Lokalna osetljivost test 1-D deformacione mreže.



Na osnovu navedenih ispitivanja, kao i na osnovu ispitivanja drugih mreža koje ovde neće biti prikazivane, konstatovano je da ako su pomeranja u deformacionoj mreži veća ili jednaka donjoj graničnoj vrednosti ( $d_i \geq d_{i,0}$ ) onda će odluke koje se donose na osnovu statističkog testiranja hipoteza biti korektne. U suprotnom, kada su empiriske vrednosti relativnih pomeranja manje od teorijskih ( $d_i < d_{i,0}$ ), odluke koje se donose na bazi statističkog testiranja hipoteza mogu biti nekorektne odnosno, dolazi do pojava grešaka prve i druge vrste.

Mogućnost da unapred odredimo donje granične vrednosti pomeranja koje mogu kasnije biti identifikovane u deformacionoj analizi, svakako je veliki uspeh, ali još veći uspeh je ako se unapred odrede i optimalne standardne devijacije opažanja. Odavde je dalji cilj potpuno jasan i ogleda se u rešenju problema optimizacije sa aspekta lokalne osetljivosti deformacione mreže.

Pre kreiranja matematičkog modela optimizacije neophodno je razmotriti mogućnosti dobijanja kriterijum matrica osetljivosti. U cilju rešenja ovog problema definisaćemo donju graničnu vrednost relativnog pomeranja  $d_{i,0}$  koju je neophodno odrediti u deformacionoj mreži

$$d_{i,0} \equiv \text{definisana vrednost} \quad \dots (8.4.4)$$

Na primer, ako se na bazi realne analize objekta došlo do saznanja da pomeranja veća od 10 mm narušavaju statiku objekta onda, donja granična vrednost mora biti definisana vrednošću od  $d_{i,0} = 10\text{mm}$ . Prema tome, u cilju rešenja problema optimizacije vrednosti  $d_{i,0}$  moraju biti odraz realnih potreba deformacionih objekata iz prirode, a nikako teorijske vrednosti u funkciji uzetih verovatnoća. Na osnovu vrednosti (8.4.4) i jednakosti (8.4.3) pišemo

$$\sigma_{d_i} = \frac{d_{i,0}}{\delta_0} \quad \dots (8.4.5)$$

ili u vidu dijagonalne matrice standardnih devijacija relativnih pomeranja

$$D_d = \text{Diag} \left[ \sigma_{d_1}, \sigma_{d_2}, \dots, \sigma_{d_n} \right] \quad \dots (8.4.6)$$



Za poznati dizajn deformacione mreže matrica kofaktora  $Q_d$  (8.2.13) takođe je poznata, pa iz nje određujemo koeficijente korelacije relativnih pomeranja

$$r_{d_i d_j} = \frac{Q_{d_i d_j}}{\sqrt{Q_{d_i d_i} Q_{d_j d_j}}} \quad \dots (8.4.7)$$

odnosno korelacionu matricu  $R_d$ . Na osnovu matrica  $D_d$  i  $R_d$  dobijamo kovarijacionu kriterijum matricu relativnih pomeranja

$$\underline{K}_d = D_d R_d D_d \quad \dots (8.4.8)$$

ili kriterijum matricu osetljivosti koja je u funkciji

$$\underline{K}_d = f(d_{i,0}, \delta_0, Q_d) = f(d_{i,0}, \alpha_0, \beta_0, A, B) \quad \dots (8.4.9)$$

Dizajn deformacione mreže definisan je matricom A a matricu B određujemo prema (8.2.11). Za formiranje matrice B ovde je suviše poznavanje tendencija kretanja tla i objekta i jedino što treba znati to su tačke koje se nalaze u oblasti deformacija koje se ispituju. Na osnovu matrične analize ustanovljeno je da u svim slučajevima matrica B ima nepotpunu rang ( $\det B = 0$ ) odnosno, B je singularna matrica. Ako sada kovarijacionu matricu relativnih pomeranja

$$\underline{K}_d = 2 B K_x^\Delta B^T \quad \dots (8.4.10)$$

zamenimo sa kriterijum matricom (8.4.8) dobijamo

$$\underline{K}_d = 2 B K_x^\Delta B^T \quad \dots (8.4.11)$$

Matričnu jednačinu (8.4.11) pomnožimo sa leva matricom  $B^T$  i sa desna matricom B, pa je

$$B^T \underline{K}_d B = 2 B^T B K_x^\Delta B^T B \quad \dots (8.4.12)$$

odnosno

$$\frac{1}{2} (B^T B)^+ B^T \underline{K}_d B (B^T B)^+ = \underline{K}_x \quad \dots (8.4.13)$$

ili uvedemo oznaku

$$\underline{K}_{-x,d} = \underline{K}_x \quad \dots (8.4.14)$$

gde je

$$\underline{K}_{-x,d} = \frac{1}{2} (B^T B)^+ B^T \underline{K}_d B (B^T B)^+ \quad \dots (8.4.15)$$

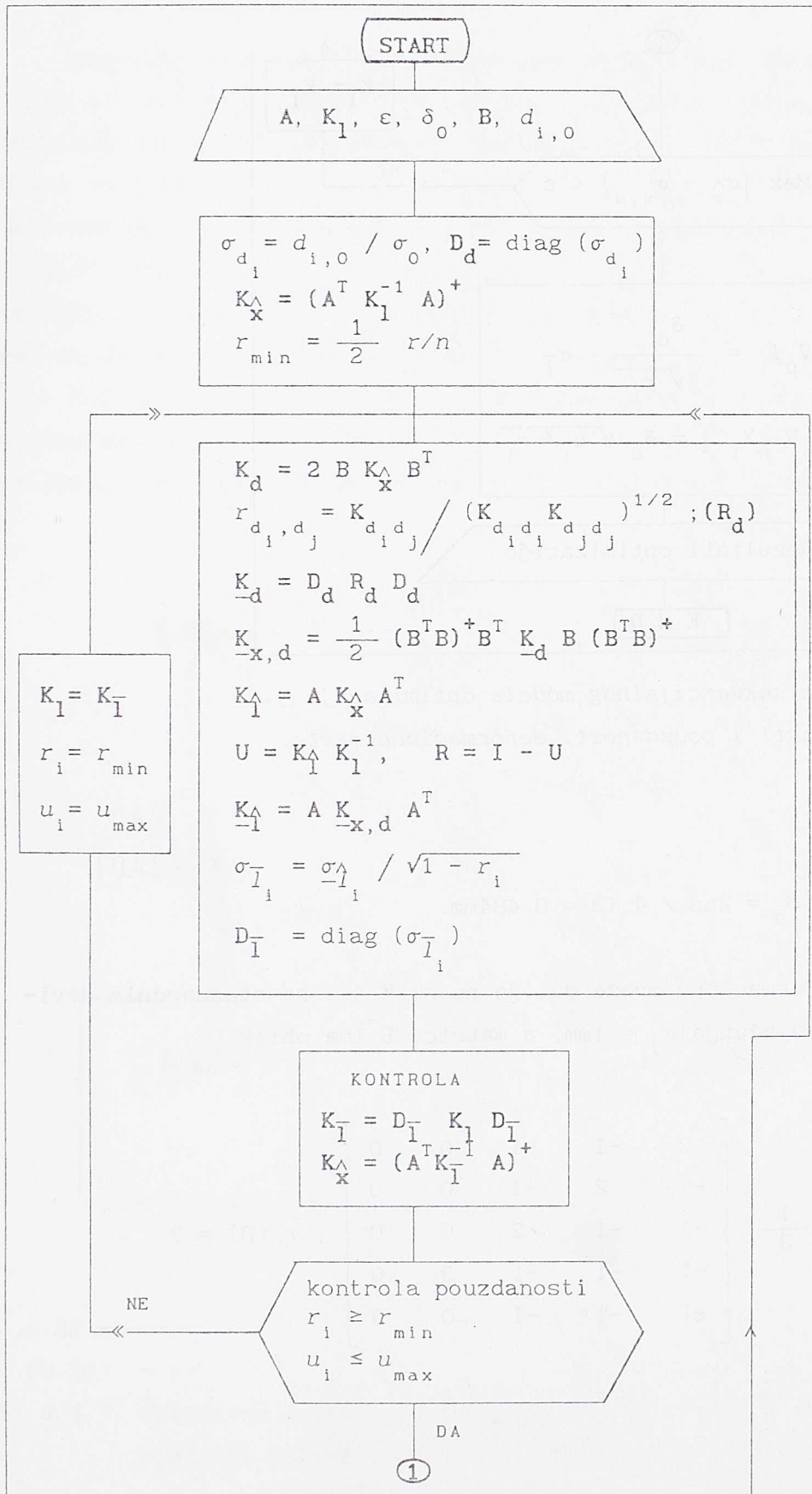
Matrična jednačina (8.4.15) predstavlja transformaciju kriterijum matrice osetljivosti  $\underline{K}_d$  u kriterijum kovarijacionu matricu nepoznatih parametara  $\underline{K}_{-x,d}$ . Ova transformacija neophodna je zbog primene sekvencijalnog modela optimizacije. Naime, ako (8.4.14) napišemo u obliku

$$\underline{K}_{-x,d} = (A^T D_1^{-1} R_1 D_1^{-1} A)^+ \quad \dots (8.4.16)$$

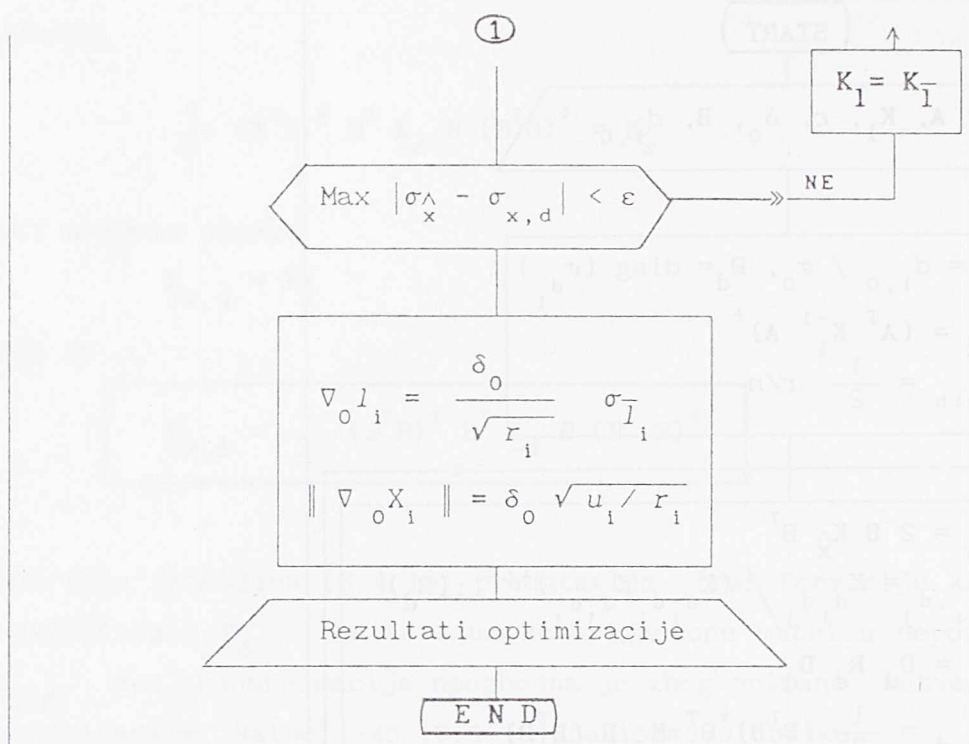
i ovu jednačinu uporedimo sa (7.1.2), onda je potpuno jasno da se optimizacija sa aspekta lokalne osetljivosti svodi na sekvencijalni model optimizacije.

Sekvencijalni model optimizacije detaljno je objašnjen u poglavlju 7 i sve njegove karakteristike važiće i u ovom slučaju. Jedina je razlika što u optimizaciji sa aspekta lokalne osetljivosti formiramo kriterijum matricu  $\underline{K}_{-x,d}$  umesto kriterijum matrice  $\underline{K}_x$  u optimizaciji sa aspekta tačnosti. Kriterijumi unutrašnje i spoljašnje pouzdanosti deformacione mreže pri optimizaciji sa aspekta osetljivosti bi će uključeni na već ranije objašnjen način (sl. 7.2.10). Kompletan algoritam sekvencijalnog modela optimizacije sa aspekta osetljivosti i pouzdanosti deformacione mreže dat je na slici 8.4.2.

Primena sekvencijalnog modela optimizacije (sl. 8.4.2) ovde će biti pokazana za test 1-D deformacionu mrežu (sl. 8.4.1). Za ovu test mrežu definisana je donja granična vrednost pomeranja  $d_{1,0} = 2\text{mm}$  koja treba da bude identifikovana u deformacionoj analizi. Iz tablica određujemo  $\delta_0 = f(\alpha_0, \beta_0) = f(0.001, 0.80) = 4.13$  i prema (8.4.5) dobijamo







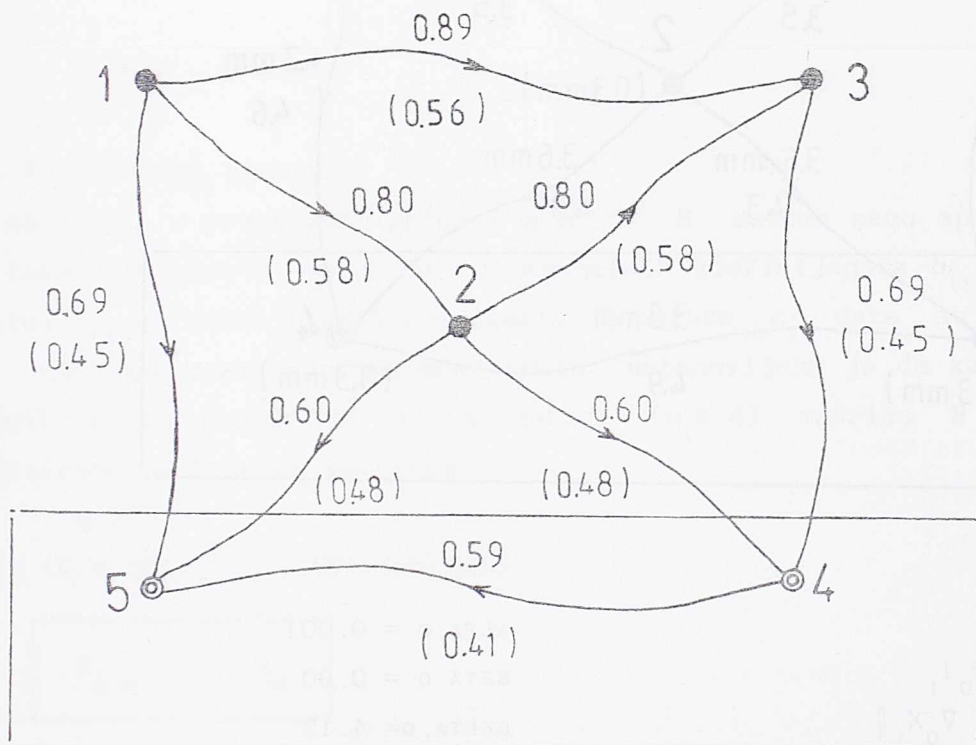
Sl. 8.4.2. Algoritam sekvencijalnog modela optimizacije sa aspekta osetljivosti i pouzdanosti deformacione mreže.

$$\sigma_{d_i} = d_{i,0} / \delta_0 = 2\text{mm} / 4.13 = 0.484\text{mm}.$$

Dizajn test deformacione mreže dat je na sl.8.4.1 sa standardnim devijacijama planiranih opažanja  $\sigma_{l_i} = 1\text{mm}$ , a matrica B ima oblik

$$B = \frac{1}{3} \begin{bmatrix} 2 & -1 & -1 & 0 & 0 \\ -1 & 2 & -1 & 0 & 0 \\ -1 & -1 & 2 & 0 & 0 \\ -1 & -1 & -1 & 3 & 0 \\ -1 & -1 & -1 & 0 & 3 \end{bmatrix}, \quad r(B) = 3$$

Neophodna računanja prema algoritmu na sl.8.4.2. data su u dodatku 9, a ovde će biti diskutovani samo dobijeni rezultati optimizacije. Dobijene optimalne vrednosti standardnih devijacija  $\sigma_I$  (sl.8.4.3) su realne. Parovi visinskih razlika  $(l_{1,2}, l_{2,3})$ ,  $(l_{1,5}, l_{3,4})$  i  $(l_{2,5}, l_{2,4})$  imaju identičan položaj u deformacionoj mreži, pa su očekivanja da će sekvencijalni model optimizacije dati za ove parove identična rešenja u potpunosti ispunjena. U tabeli 8.4.1. za tačnost opažanja u ovoj mreži  $\sigma_I = 1$  mm dobijene su donje donje granične vrednosti relativnih pomeranja u intervalu od  $d_{1,0} = 2.4$  mm do  $d_{1,0} = 3.7$  mm, a iz sekvencijalnog modela optimizacije za nižu donju graničnu vrednost  $d_{1,0} = 2$  mm dobijene su optimalne standardne devijacije (sl.8.4.3) koje zahtevaju realno višu tačnost opažanja.



$$0.89 \text{ mm} = \sigma_I$$

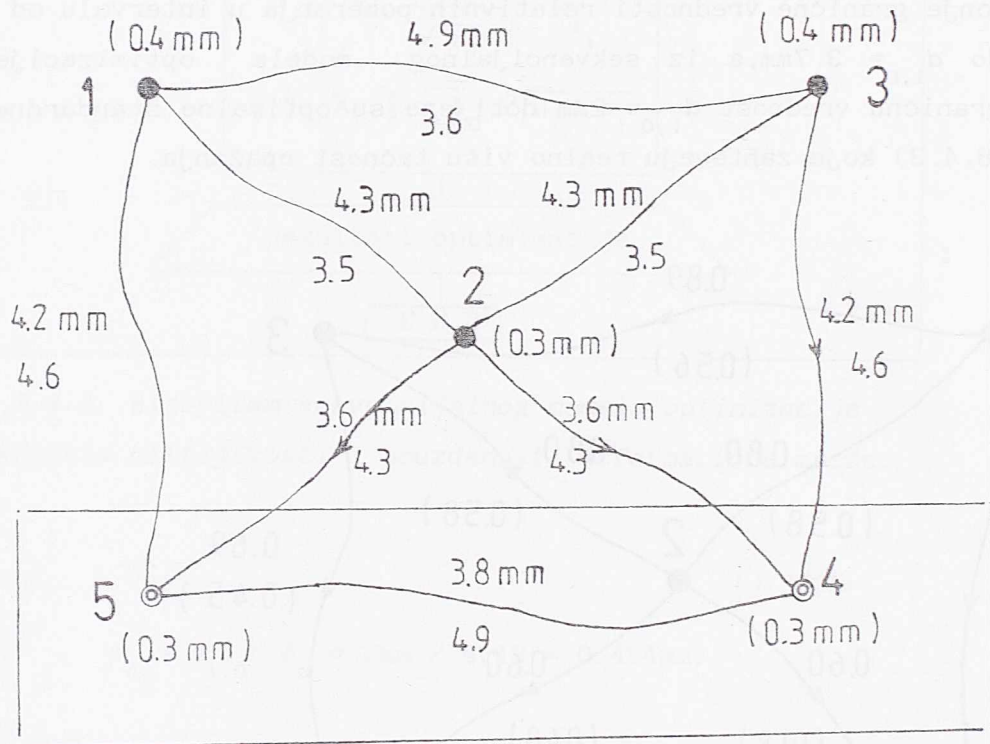
$$(0.56) = r_i^1$$

$$(r)_{\min} = 0.25$$

$$d_{i,0} = 2 \text{ mm}$$

Sl.8.4.3. Optimalne standardne devijacije planiranih opažanja u test 1-D deformacionoj mreži.

Treba uočiti da se viša tačnost opažanja zahteva u delu mreže gde su moguće pojave deformacija u odnosu na deo mreže gde se ne očekuju njihove pojave. Za optimalnu unutrašnju i spoljašnju pouzdanost može se reći da je dobra a data je na slici 8.4.4.



$$4.9\text{mm} = \nabla_0 l_i$$

$$3.6 = \|\nabla_0 X_i\|$$

$$1 (0.4\text{mm}) = 1 (\sigma_x)$$

$$\text{ALFA } \sigma = 0.001$$

$$\text{BETA } \sigma = 0.80$$

$$\text{DELTA } \sigma = 4.13$$

$$k = 3.29$$

Sl. 8.4.4. Optimalna unutrašnja i spoljašnja pouzdanost test 1-D deformacione mreže.

Kada se opravdano može prihvatiti hipoteza da će u deformacionoj mreži biti relativno veći broj stabilnih tačaka onda, koeficijenti matrice B (8.2.11) imaju granične vredosti:



- za stabilne tačke

$$b_{ii} = \lim_{n_1 \rightarrow \infty} \frac{n_1 - 1}{n_1} = 1 \quad \dots (8.4.17)$$

$$b_{ij} = \lim_{n_1 \rightarrow \infty} \frac{-1}{n_1} = 0, \quad i \neq j$$

- za nestabilne tačke

$$b_{ii} = \lim_{n_1 \rightarrow \infty} \frac{n_1}{n_1} = 1 \quad \dots (8.4.18)$$

$$b_{ij} = \lim_{n_1 \rightarrow \infty} \frac{0}{n_1} = 0$$

ili

$$\lim_{n_1 \rightarrow \infty} B = B = I$$

gde je I jedinična matrica.

Naravno, u praktičnoj primeni matricu B možemo samo aproksimirati jediničnom matricom I. Vrednosti dijagonalnih koeficijenata  $b_{ii}$  i vandiagonalni  $b_{ij}$  u funkciji od broja stabilnih tačaka  $n_1$  date su u tabeli 8.4.2. Za ispitivan određen broj mreža ustanovljeno je da kada je broj stabilnih tačaka jednak ili veći od četiri ( $n_1 \geq 4$ ) matrica B može biti aproksimirana jediničnom matricom

$$B \cong I \quad \dots (8.4.19)$$

Zamenom (8.4.19) u (8.4.15) dobijamo

$$\underline{K}_{-x,d} \cong \frac{1}{2} \underline{K}_d \quad \dots (8.4.20)$$

Na ovaj način prilikom određivanja kriterijum matrice  $\underline{K}_{-x,d}$  izbegnuto je iznalaženje pseudoinverzije koja se javlja u matricnoj jednačini (8.4.15), pa samim tim problem se pojednostavljuje. Određivanje a priori kovarijacione matrice relativnih pomeranja takođe se može pojednostaviti, zamenom (8.4.19) u (8.4.10) pa sledi

Tabela 8.4.2.

$n_1$	$b_{ii} = (n_1 - 1) / n_1$	$b_{ij} = \frac{-1}{n_1}$
1	0	-1
2	0.5	-0.5
3	0.667	-0.333
-----		
4	0.75	-0.25
5	0.80	-0.20
10	0.9	-0.1
15	0.93	-0.067
20	0.95	-0.05
30	0.967	-0.033

Vrednosti koeficijenata  $b_{ii}$  i  $b_{ij}$  u funkciji od broja stabilnih tačaka  $n_1$ .

$$K_d \cong 2 K_x^\Delta \quad \dots (8.4.21)$$

ili

$$Q_d \cong 2 Q_x^\Delta \quad \dots (8.4.22)$$

Aproksimativno određivanje matrice  $K_d$  ili  $Q_d$  ima za posledicu aproksimativno određivanje donjih graničnih vrednosti prema (8.4.3)

$$d_{1,0} \cong \delta_0 \sigma_0 \sqrt{2 Q_x^\Delta} \quad \dots (8.4.23)$$

Ove vrednosti određene su prema (8.4.3) i (8.4.23) u tabeli 8.4.3., za 1-D mrežu datu na sl.7.4.1. i broj stabilnih tačaka  $n_1 = 6$ .

Tabela 8.4.3

$T_i$	$d_{i,0} = \delta_0 \sigma_0 \sqrt{Q_{d,ii}}$ $Q_d = 2 B Q_X^A B^T$	$\alpha_{i,0} \cong \delta_0 \sigma_0 \sqrt{Q_{d,ii}}$ $Q_d \cong 2 Q_X^A$	Date vrednosti
1	4.2	4.7	$n_1 = 6$ stabilne tačke: 1, 3, 4, 6, 7, 10 $\sigma_0 = 1\text{mm}$ $\alpha_0 = 0.001$ $\beta_0 = 0.80$ $\delta_0 = 4.13$
2	4.0	4.0	
3	4.3	4.7	
4	3.5	3.7	
5	3.3	3.0	
6	3.4	3.7	
7	3.8	3.7	
8	3.7	3.0	
9	4.2	3.7	
10	4.9	4.7	
11	4.7	4.0	
12	4.9 [mm]	4.7 [mm]	

Donje granične vrednosti određene prema (8.4.3) i (8.4.23) za mrežu datu na sl.7.4.1.

Naglasimo još samo to da kovarijaciona kriterijum matrica osetljivosti (8.4.8) ili (8.4.9) ima opšti karakter, a njen aproksimativni oblik (8.4.21) ili (8.4.22) odgovara obliku (8.3.15) koji se do sada koristio u optimizaciji praktično u uprošćenom obliku.



Tablica 8.4.3

T	$\sigma_{\Delta} = \sigma_{\Delta} \sqrt{B_{\Delta}^{-1}}$		Datum
	$\sigma_{\Delta} = \sigma_{\Delta} \sqrt{B_{\Delta}^{-1}}$	$\sigma_{\Delta} = \sigma_{\Delta} \sqrt{B_{\Delta}^{-1}}$	
1	4.5	4.7	n = 6
2	4.0	4.0	slabina
3	4.3	4.7	čakovi
4	3.8	3.7	1. 3. 1. 8.
5	3.3	3.0-3.0	7. 10. 0.
6	3.4	3.7	0. 5. 1am
7	3.8	3.7	a = 0.001
8	3.7	3.0	B = 0.80
9	4.5	3.0-3.7	3. 3. 0. 13
10	4.8	3.0-3.7	1. 3. 0.
11	4.7	4.0	1. 3. 0.
12	4.9 (mal)	4.7 (mal)	1. 3. 0.

... za mrežu datu na sl. 7.4.1.

... optimizacija projekcija u upređenoj elipsi.

... optimizacija projekcija u upređenoj elipsi.

... optimizacija projekcija u upređenoj elipsi.

## 9. ZAKLJUČAK

Na osnovu detaljnih razmatranja u prethodnim poglavljima može se zaključiti da je savremena optimizacija opažanja u geodetskim mrežama veoma kompleksna. Ova kompleksnost ogleda se u uključivanju kriterijuma tačnosti, pouzdanosti i osetljivosti geodetskih mreža u modele optimizacije.

Kriterijumi tačnosti u geodetskim mrežama najčešće se odnose na tačnost koordinata pojedinih tačaka. U ovom radu pokazano je kako se neophodna tačnost koordinata pojedinih tačaka može definisati posredstvom srednjih položajnih grešaka.

Pokazano je da su ove mere u slobodnim geodetskim mrežama invarijantne u odnosu na uvedene koordinatne sisteme i da položajna tačnost ne zavisi od težišta mreže. Na bazi ovih veličina formiran je nov oblik realne kovarijacione kriterijum matrice  $K_x$  neophodne za optimizaciju geodetskih mreža.

Pored već postojećih problema u teoriji pouzdanosti geodetskih mreža, u ovom radu je ukazano na određena nova ograničenja ove teorije. U cilju lakših teorijskih razmatranja ukupne popravke opažanja u mreži rasčlanjene su na elementarne popravke. U ovom pristupu pokazano je da i pored toga što opažanje ima dobru pouzdanost, prisustvom grube greške u njemu može ostati neidentifikovano nakon izravnjanja.

Razlog ovome otkriven je u matrici koeficijenata  $R$ . Do sada u teoriji pouzdanosti vodilo se računa samo o dijagonalnim koeficijentima ove matrice. Međutim, kako je u ovom radu istaknuto vandijagonalni koeficijenti mogu imati presudnu ulogu u identifikaciji grubih grešaka. Da bi se ove poteškoće izbegle nakon izravnjanja i testiranja statističkih hipoteza o grubim greškama, pronađen je optimalni oblik matrice  $R_0$ , o kome se mora voditi računa u toku projektovanja i optimizacije geodetskih mreža.

Za razliku od dosadašnjih saznanja teorije pouzdanosti, gde se smatralo da dijagonalni koeficijenti ove matrice moraju težiti maksimalnim vrednostima  $r_{ii} \rightarrow \max \rightarrow 1$ , u ovom radu je pokazano da vandijagonalni

koeficijenti moraju imati minimalne vrednosti  $r_{ij} \Rightarrow \min \Rightarrow 0$ , ili da je njihov količnik minimalan  $r_{ij} / r_{ii} \Rightarrow \min \Rightarrow 0$ . Posebna pažnja je posvećena i slučajevima koji su često zastupljeni u obradi podataka, kada se nepoznate veličine određuju putem proste ili opšte aritmetičke sredine.

Analiza teorije pouzdanosti iskorišćena je u kasnijem radu za definisanje kriterijuma pouzdanosti u optimizaciji geodetskih mreža. U ovom cilju korišćene su mere lokalne unutrašnje i spoljašnje pouzdanosti koje su invarijantne u odnosu na uvedene koordinatne sisteme.

Pristup razvoju sekvencijalnog modela optimizacije bio je integralan gde su u ovaj model istovremeno uključeni lokalni kriterijumi tačnosti i pouzdanosti. Pokazano je da ako se izvrši optimizacija samo sa aspekta željene tačnosti, pouzdanost opažanja u mreži može ostati veoma slaba, pa je time istaknut značaj integralnog pristupa.

U analizi sekvencijalnog modela optimizacije pokazano je da ovaj model za veću pouzdanost planiranog opažanja u projektu daje manju njegovu optimalnu tačnost i obrnuto, za manju pouzdanost planiranog opažanja daje veću optimalnu tačnost opažanja. Modelom su predviđena ograničenja u smislu unutrašnje i spoljašnje pouzdanosti tako da sva opažanja u projektu imaju elementarne brojeve suvišnih opažanja  $r_i$  veće od minimalne vrednosti  $r_{\min}$  i nijedno opažanje ne sme imati veći koeficijent uticaja  $u_i$  od maksimalne vrednosti  $u_{\max}$ .

Da sekvencijalni model optimizacije geodetskih mreža može biti primenjivan u širem smislu, pokazano je njegovim razvojem na bazi modela uslovnog izravnjanja i može biti od izuzetne važnosti.

U optimizaciju opažanja geodetskih deformacionih mreža neophodno je bilo uključiti kriterijume osetljivosti kao primarne. Nakon definisanja lokalne osetljivosti pomeranja u svakoj tački deformacione mreže kreirana je kovarijaciona kriterijum matrica osetljivosti pomeranja. Za njeno formiranje, pored navedenih informacija neophodno je poznavanje matrice koeficijenata stabilnih ili nestabilnih tačaka, ali je potpuno suvišno poznavanje tendencija kretanja tla i objekata, već jednostavno treba znati tačke koje se nalaze u oblasti mogućih deformacija ili van nje.



Da bi sekvencijalni model optimizacije bio primenjen u optimizacije geodetskih deformacionih mreža kovarijaciona kriterijum matrica osetljivosti  $\underline{K}_d$  transformisana je u matricu osetljivosti  $\underline{K}_{x,d}$ . Uključivanje kriterijuma osetljivosti i pouzdanosti geodetskih deformacionih mreža u sekvencijalni model optimizacije pokazano je algoritmom na slici 8.4.2.

U jednom opštem zaključku može se reći da sekvencijalni model optimizacije razvijen u ovom radu može veoma uspešno rešiti probleme optimizacije geodetskih mreža sa aspekta tačnosti, pouzdanosti i osetljivosti. Osnovna njegova prednost nad već postojećim modelima je da uvek daje pozitivne vrednosti traženih optimalnih standardnih devijacija i da ima jaku konvergenciju.

U budućim istraživanjima optimizacije geodetskih mreža neophodno je prvenstveno posvetiti pažnju novim mrežama globalnih pozicionih sistema. U ovom trenutku kod nas a i u Svetu ne postoji integralni model optimizacije savremenih mreža globalnih pozicionih sistema (GPS) sa aspekta tačnosti, pouzdanosti i osetljivosti.



10. D O D A C I



DODATAK 1: SEKVENCIJALNI MODEL OPTIMIZACIJE U 1-D MREŽAMA PROGRAM OPT1D

UNIVERZITET U BEOGRADU  
 GRADEVINSKI FAKULTET  
 INSTITUT ZA GEODEZIJU

OBJEKAT: TEST1 1-D MREZA  
 SLOBODNA MREZA - DEFEKT RANGA  $d=1$   
 OPAZANJA NEZAVISNA  
 BROJ NEPOZNATIH TACAKA NN= 12  
 BROJ DATIH TACAKA ND= 0  
 UKUPAN BROJ TACAKA NU= 12  
 BROJ MERENIH VELICINA NM= 17  
 BROJ SUVISNIH MERENJA R = 6

PLANIRANA OPAZANJA U 1-D MREZI:

-----

Ti	Tj	TEZINE P(i)
1	2	1.0000
2	3	1.0000
3	4	1.0000
4	5	1.0000
2	5	1.0000
5	6	1.0000
1	6	1.0000
6	7	1.0000
7	8	1.0000
5	8	1.0000
8	9	1.0000
4	9	1.0000
9	10	1.0000
10	11	1.0000
8	11	1.0000
11	12	1.0000
7	12	1.0000

REZULTATI OPTIMIZACIJE 1-D MREZE :
 

---

Ti	Tj	OP. ST. D SDO(i)	KOEFI. U(i, i)	ST. D. I SLI	KOEFI. R(i, i)	POUZDANOST NoL(i)	MREZE NoX(i)
1	2	0.6133	0.7168	0.5192	0.2832	4.7594	6.5702
2	3	0.6156	0.7368	0.5284	0.2632	4.9550	6.9093
3	4	0.6529	0.6773	0.4583	0.3227	4.7241	5.9827
4	5	0.9376	0.4766	0.6039	0.5234	5.3522	3.9407
2	5	0.8719	0.4880	0.6091	0.5120	5.0324	4.0322
5	6	0.9636	0.4334	0.6343	0.5666	5.2867	3.6119
1	6	0.6529	0.6773	0.5348	0.3227	4.7241	5.9827
6	7	0.8148	0.6949	0.6792	0.3051	6.0920	6.2323
7	8	0.9376	0.4766	0.6472	0.5234	5.3522	3.9407
5	8	1.1114	0.4317	0.7302	0.5683	6.0888	3.5994
8	9	0.9023	0.5178	0.6493	0.4822	5.3665	4.2794
4	9	0.8148	0.6949	0.6792	0.3051	6.0920	6.2323
9	10	0.6309	0.7333	0.5402	0.2667	5.0452	6.8484
10	11	0.6118	0.7480	0.5292	0.2520	5.0334	7.1150
8	11	0.8536	0.5033	0.6056	0.4967	5.0020	4.1573
11	12	0.6118	0.7480	0.5647	0.2520	5.0334	7.1150
7	12	0.6434	0.6723	0.5276	0.3277	4.6420	5.9151

ALFA<sub>0</sub> = 0.001BETA<sub>0</sub> = 0.80DELTA<sub>0</sub> = f(0.001, 0.80, 1, ∞) = 4.13

KRITICNA VREDNOST k = 3.29

BROJ ITERACIJA 2

 TRAZENE VELICINE I OCENA TACNOSTI:
 

---

TACKA	A PRIORI Mx(i)	A POSTERIORI MOx(i)
1	0.5000	0.5418
2	0.5000	0.5401
3	0.5000	0.5418

4	0.5000	0.5297
5	0.5000	0.5187
6	0.5000	0.5337
7	0.5000	0.5184
8	0.5000	0.4996
9	0.5000	0.5175
10	0.5000	0.5418
11	0.5000	0.4977
12	0.5000	0.5418

EPSILON = 0.07500

(C) I.A.

TAKA	A PRIORI	A POSTERIORI
1	0.5000	0.5418
2	0.5000	0.5418
3	0.5000	0.5418



Deo izlazne datoteke programa OPT1D za TEST2 1-D mreže.

OBJEKAT: TEST2 1-D MREZA

SLOBODNA MREZA - DEFEKT RANGA d=1

OPAZANJA NEZAVISNA

BROJ NEPOZNATIH TACAKA NN= 12

BROJ DATIH TACAKA ND= 0

UKUPAN BROJ TACAKA NU= 12

BROJ MERENIH VELICINA NM= 21

BROJ SUVISNIH MERENJA R = 10

REZULTATI OPTIMIZACIJE 1-D MREZE :

Ti	Tj	OP. ST. D	KOEFI.	ST. D. I	KOEFI.	POUZDANOST MREZE	
		SDO(i)	U(i, i)	SLI	R(i, i)	NoL(i)	NoX(i)
1	2	0.7577	0.5536	0.5638	0.4464	4.6838	4.5990
2	3	0.7577	0.5536	0.5638	0.4464	4.6838	4.5990
3	4	0.7889	0.5663	0.5937	0.4337	4.9478	4.7197
4	5	0.9258	0.4890	0.6474	0.5110	5.3487	4.0399
2	5	0.8645	0.4507	0.5804	0.5493	4.8175	3.7408
5	6	0.9258	0.4890	0.6474	0.5110	5.3487	4.0399
1	6	0.7889	0.5663	0.5937	0.4337	4.9478	4.7197
6	7	0.8156	0.6557	0.6605	0.3443	5.7409	5.6995
7	8	0.9258	0.4890	0.6474	0.5110	5.3487	4.0399
5	8	1.1113	0.5319	0.8105	0.4681	6.7085	4.4026
8	9	0.9258	0.4890	0.6474	0.5110	5.3487	4.0399
4	9	0.8156	0.6557	0.6605	0.3443	5.7409	5.6995
9	10	0.7889	0.5663	0.5937	0.4337	4.9478	4.7197
10	11	0.7577	0.5536	0.5638	0.4464	4.6838	4.5990
8	11	0.8645	0.4507	0.5804	0.5493	4.8175	3.7408
11	12	0.7577	0.5536	0.5638	0.4464	4.6838	4.5990
7	12	0.7889	0.5663	0.5937	0.4337	4.9478	4.7197
1	5	0.8793	0.4549	0.5931	0.5451	4.9187	3.7731
3	5	0.8793	0.4549	0.5931	0.5451	4.9187	3.7731
8	10	0.8793	0.4549	0.5931	0.5451	4.9187	3.7731
8	12	0.8793	0.4549	0.5931	0.5451	4.9187	3.7731

$$\text{ALFA}_0 = 0.001$$

$$\text{BETA}_0 = 0.80$$

$$\text{DELTA}_0 = f(0.001, 0.80, 1, \infty) = 4.13$$

$$\text{KRITICNA VREDNOST } k = 3.29$$

BROJ ITERACIJA 1

TRAZENE VELICINE I OCENA TACNOSTI:

TACKA      A PRIORI      A POSTERIORI  
                   Mx(i)            MOx(i)

1	0.5000	0.5416
2	0.5000	0.5475
3	0.5000	0.5440
4	0.5000	0.5009
5	0.5000	0.4497
6	0.5000	0.5490
7	0.5000	0.5291
8	0.5000	0.4497
9	0.5000	0.5490
10	0.5000	0.5416
11	0.5000	0.5475
12	0.5000	0.5416

EPSILON = 0.10000

(C) I. A.

DODATAK 2: PROVERA REZULTATA DOBIJENIH SEKVENCIJALNIM MODELOM OPTIMIZACIJE  
U 2-D MREŽI - PROGRAM IGM2D

UNIVERZITET U BEOGRADU

GRAGJEVINSKI FAKULTET

INSTITUT ZA GEODEZIJU

OBJEKAT:

2-D OPTIMALNA MREŽA

DOKUMENTACIJA KORISCENE VERZIJE

SLOBODNO IZRAVNANJE MREZE

VERZIJA 1

TRILATERACIJA

OPAZANI ELEMENTI

MERENE DUZINE 10

OPAZANE GRUPE PRAVACA 0

MAKSIMALNI BROJ PRAVACA NA TACKI 0

BROJ DATIH TACAKA 0

NEPOZNATE

NEPOZNATE KOORDINATE 10

NEPOZNATE ORIJENTACIJE 0

DEFEKT RANGA 3

PRIKAZ DUZINA - ULAZNI PODACI

BR.	OD	DO	MER. DUZ. (M)	TEZINA SR.GR.PRE (CM)	SLOB. CLAN (CM)	
1	1	2	824.6270	0.06	0.40	-0.59
2	1	3	1414.2210	0.11	0.30	-0.74
3	1	5	583.1020	0.17	0.24	-0.68
4	1	4	1000.0080	0.05	0.43	-0.80
5	2	3	824.6250	0.06	0.42	-0.39
6	2	4	1131.3760	0.07	0.37	-0.52
7	2	5	583.1000	0.10	0.32	-0.48
8	3	4	1000.0060	0.05	0.46	-0.60
9	3	5	860.2270	0.07	0.37	0.55
10	4	5	583.0930	0.11	0.30	0.22



## PRIKAZ DUZINA - IZLAZNI PODACI

BR.	OD	DO	MER. DUZ. (M)	POPRAVKA (CM)	DUZINA (M)	S. G. POSLE (CM)
1	1	2	824.6270	-0.09	824.6261	0.35
2	1	3	1414.2210	-0.14	1414.2196	0.23
3	1	5	583.1020	0.19	583.1039	0.21
4	1	4	1000.0080	-0.28	1000.0052	0.37
5	2	3	824.6250	-0.10	824.6240	0.38
6	2	4	1131.3760	0.08	1131.3768	0.28
7	2	5	583.1000	0.00	583.1000	0.26
8	3	4	1000.0060	-0.23	1000.0037	0.42
9	3	5	860.2270	0.39	860.2309	0.27
10	4	5	583.0930	0.12	583.0942	0.25
SUMMA PVV =			0.00000295			
SR. GR. MO =			0.00099175			

## P R I K A Z      K O O R D I N A T A

TACKA BR.	PRIBLIZNE KOORDINATE		DEFINITIVNE KOORDINATE	
	YP	XP	YD	XD
1	1000.0000	1000.0000	999.9961	999.9976
2	1200.0000	1800.0000	1199.9975	1800.0024
3	2000.0000	2000.0000	2000.0007	2000.0014
4	2000.0000	1000.0000	2000.0013	999.9977
5	1500.0000	1300.0000	1500.0043	1300.0008

## O C E N A      T A C N O S T I

TACKA	MY (CM)	MX (CM)	MV (CM)	A (CM)	B (CM)	DELTA
1	0.20	0.22	0.30	0.25	0.16	140.146
2	0.23	0.20	0.30	0.23	0.19	81.560
3	0.21	0.21	0.30	0.24	0.17	138.580
4	0.20	0.24	0.31	0.26	0.18	27.186
5	0.19	0.23	0.30	0.23	0.19	168.489

DODATAK 3: IZRAVNANJE 0. I 1. EPOHE TEST DEFORMACIONE MREŽE - PROGRAM IGM2D

UNIVERZITET U BEOGRADU

GRAGJEVINSKI FAKULTET

OBJEKAT:

INSTITUT ZA GEODEZIJU

EPOHA 0

SLOBODNO IZRAVNANJE MREZE

OPAZANI ELEMENTI

MERENE DUZINE 12

OPAZANE GRUPE PRAVACA 7

MAKSIMALNI BROJ PRAVACA NA TACKI 6

BROJ DATIH TACAKA 0

NEPOZNATE

NEPOZNATE KOORDINATE 14

NEPOZNATE ORIJENTACIJE 7

DEFEKT RANGA 3

## I Z L A Z N I P O D A C I

=====

STANICA 1 Y = 1000.000 X = 1000.003

OSMATR. TACKA	OPAZANI PRAVCI	DEFINITIVNI DIREKC. UGAO	DUZINA	V
6	0 0 0.00	315 0 0.26	848.5259	0.482
7	77 0 20.00	32 0 20.22	943.3952	0.443
2	135 0 1.30	90 0 0.15	1000.0019	-0.925

STANICA 2 Y = 2000.002 X = 1000.003

OSMATR. TACKA	OPAZANI PRAVCI	DEFINITIVNI DIREKC. UGAO	DUZINA	V
1	0 0 0.00	270 0 0.15	1000.0019	-0.489
7	57 59 37.30	327 59 40.14	943.3950	2.198
3	123 41 25.00	33 41 23.93	1081.6596	-1.709

STANICA 3 Y = 2599.997 X = 1899.999

OSMATR. TACKA	OPAZANI PRAVCI			TEZINA PRAVCA DEFINITIVNI DIREKC. UGAO			TP = 1.0000 DUZINA	V
	2	0	0	0.00	213	41		
7	51	6	56.70	264	48	20.00	1104.5318	-0.146
4	112	37	13.60	326	18	36.71	721.1093	-0.335

STANICA 4 Y = 2200.000 X = 2500.000

OSMATR. TACKA	OPAZANI PRAVCI			TEZINA PRAVCA DEFINITIVNI DIREKC. UGAO			TP = 1.0000 DUZINA	V
	3	0	0	0.00	146	18		
7	78	41	22.50	224	59	59.71	989.9494	0.596
5	129	24	0.90	275	42	36.81	1004.9887	-0.700

STANICA 5 Y = 1199.998 X = 2599.994

OSMATR. TACKA	OPAZANI PRAVCI			TEZINA PRAVCA DEFINITIVNI DIREKC. UGAO			TP = 1.0000 DUZINA	V
	4	0	0	0.00	95	42		
7	63	44	0.60	159	26	37.14	854.3963	-0.100
6	122	56	59.20	218	39	35.78	1280.6156	-0.066

STANICA 6 Y = 400.002 X = 1600.003

OSMATR. TACKA	OPAZANI PRAVCI			TEZINA PRAVCA DEFINITIVNI DIREKC. UGAO			TP = 1.0000 DUZINA	V
	5	0	0	0.00	38	39		
7	41	2	8.60	79	41	43.20	1118.0327	-0.247
1	96	20	26.10	135	0	0.26	848.5259	-0.687



STANICA 7 Y = 1500.001 X = 1799.999

-----

TEZINA PRAVCA TP = 1.0000

OSMATR. TACKA	OPAZANI PRAVCI	DEFINITIVNI DIREKC. UGAO	DUZINA	V
1	0 0 0.00	212 0 20.22	943.3952	-0.899
6	47 41 22.10	259 41 43.20	1118.0327	-0.021
5	127 26 15.30	339 26 37.14	854.3963	0.727
4	192 59 38.50	44 59 59.71	989.9494	0.088
3	232 47 58.10	84 48 20.00	1104.5318	0.786
2	295 59 19.70	147 59 40.14	943.3950	-0.681

PRIKAZ DUZINA - IZLAZNI PODACI

=====

BR.	OD	DO	MER. DUZ. (M)	POPRAVKA (CM)	DUZINA (M)	S. G. POSLE (CM)
1	1	2	1000.0000	0.19	1000.0019	0.39
2	2	3	1081.6600	-0.04	1081.6596	0.39
3	3	4	721.1080	0.13	721.1093	0.40
4	4	5	1004.9890	-0.03	1004.9887	0.38
5	5	6	1280.6210	-0.54	1280.6156	0.39
6	1	6	848.5310	-0.51	848.5259	0.40
7	1	7	943.4000	-0.48	943.3952	0.31
8	2	7	943.3950	0.00	943.3950	0.32
9	3	7	1104.5290	0.28	1104.5318	0.31
10	4	7	989.9500	-0.06	989.9494	0.30
11	5	7	854.3880	0.83	854.3963	0.32
12	6	7	1118.0290	0.37	1118.0327	0.32

SUMMA PVV = 0.00000165

SR. GR. MO = 0.00030282

## PRIKAZ PRIRASTAJA

=====

## TACKA      P R I R A S T A J I

	VY (M)	VX (M)
1	-0.0004	0.0035
2	0.0015	0.0027
3	-0.0031	-0.0012
4	0.0002	-0.0001
5	-0.0015	-0.0064
6	0.0020	0.0026
7	0.0013	-0.0011

## P R I K A Z      K O O R D I N A T A

=====

TACKA BR.	PRIBLIZNE KOORDINATE		DEFINITIVNE KOORDINATE	
	YP	XP	YD	XD
1	1000.0000	1000.0000	999.9996	1000.0035
2	2000.0000	1000.0000	2000.0015	1000.0027
3	2600.0000	1900.0000	2599.9969	1899.9988
4	2200.0000	2500.0000	2200.0002	2499.9999
5	1200.0000	2600.0000	1199.9985	2599.9936
6	400.0000	1600.0000	400.0020	1600.0026
7	1500.0000	1800.0000	1500.0013	1799.9989

## O C E N A      T A C N O S T I

=====

TACKA	MY	MX	MV	A	B	DELTA
	(CM)	(CM)	(CM)	(CM)	(CM)	
1	0.24	0.23	0.33	0.25	0.22	52.909
2	0.25	0.25	0.35	0.26	0.24	141.549
3	0.25	0.23	0.34	0.25	0.23	98.713
4	0.24	0.23	0.33	0.24	0.23	51.846
5	0.24	0.26	0.35	0.27	0.23	148.968
6	0.27	0.23	0.35	0.27	0.23	94.735
7	0.16	0.17	0.23	0.17	0.16	0.693

UNIVERZITET U BEOGRADU

GRAGJEVINSKI FAKULTET

OBJEKAT:

INSTITUT ZA GEODEZIJU

EPOHA 1

SLOBODNO IZRAVNANJE MREZE

OPAZANI ELEMENTI

MERENE DUZINE 12

OPAZANE GRUPE PRAVACA 7

MAKSIMALNI BROJ PRAVACA NA TACKI 6

BROJ DATIH TACAKA 0

NEPOZNATE

NEPOZNATE KOORDINATE 14

NEPOZNATE ORIJENTACIJE 7

DEFEKT RANGA 3

## I Z L A Z N I P O D A C I

=====

STANICA 1 Y = 999.987 X = 999.959

OSMATR. TACKA	OPAZANI PRAVCI	TEZINA PRAVCA DEFINITIVNI DIREKC. UGAO	TP = 1.0000	DUZINA	V
6	0 0 0.00	315 0 7.15		848.5370	0.180
7	77 0 10.70	32 0 16.40		943.4874	-1.273
2	134 59 32.40	89 59 40.47		999.9910	1.094

STANICA 2 Y = 1999.978 X = 1000.054

OSMATR. TACKA	OPAZANI PRAVCI	TEZINA PRAVCA DEFINITIVNI DIREKC. UGAO	TP = 1.0000	DUZINA	V
1	0 0 0.00	269 59 40.47		999.9910	0.504
7	58 0 8.20	327 59 47.55		943.3644	-0.616
3	123 42 1.50	33 41 41.58		1081.6108	0.112



STANICA 3 Y = 2600.023 X = 1899.958

-----

TEZINA PRAVCA TP = 1.0000

OSMATR. TACKA	OPAZANI PRAVCI	DEFINITIVNI DIREKC. UGAO	DUZINA	V
2	0 0 0.00	213 41 41.58	1081.6108	0.818
7	51 6 56.60	264 48 35.70	1104.5291	-1.660
4	112 36 54.30	326 18 35.90	721.1654	0.843

STANICA 4 Y = 2199.993 X = 2500.005

-----

TEZINA PRAVCA TP = 1.0000

OSMATR. TACKA	OPAZANI PRAVCI	DEFINITIVNI DIREKC. UGAO	DUZINA	V
3	0 0 0.00	146 18 35.90	721.1654	0.209
7	78 41 25.60	225 0 1.22	989.9018	-0.070
5	129 24 0.60	275 42 36.15	1004.9850	-0.139

STANICA 5 Y = 1199.995 X = 2599.995

-----

TEZINA PRAVCA TP = 1.0000

OSMATR. TACKA	OPAZANI PRAVCI	DEFINITIVNI DIREKC. UGAO	DUZINA	V
4	0 0 0.00	95 42 36.15	1004.9850	-0.197
7	63 43 51.30	159 26 27.86	854.3655	0.212
6	122 56 57.30	218 39 33.64	1280.6269	-0.015

STANICA 6 Y = 400.001 X = 1599.987

-----

TEZINA PRAVCA TP = 1.0000

OSMATR. TACKA	OPAZANI PRAVCI	DEFINITIVNI DIREKC. UGAO	DUZINA	V
5	0 0 0.00	38 39 33.64	1280.6269	0.301
7	41 1 59.80	79 41 33.12	1118.0648	-0.020
1	96 20 34.10	135 0 7.15	848.5370	-0.281

STANICA 7 Y = 1500.023 X = 1800.042

-----

TEZINA PRAVCA TP = 1.0000

OSMATR. TACKA	OPAZANI PRAVCI	DEFINITIVNI DIREKC. UGAO	DUZINA	V
1	0 0 0.00	212 0 16.40	943.4874	-0.840
6	47 41 15.40	259 41 33.12	1118.0648	0.474
5	127 26 10.80	339 26 27.86	854.3655	-0.179
4	192 59 44.70	45 0 1.22	989.9018	-0.719
3	232 48 17.50	84 48 35.70	1104.5291	0.957
2	295 59 30.00	147 59 47.55	943.3644	0.307

PRIKAZ DUZINA - IZLAZNI PODACI

=====

BR.	OD	DO	MER. DUZ. (M)	POPRAVKA (CM)	DUZINA (M)	S. G. POSLE (CM)
1	1	2	999.9870	0.40	999.9910	0.38
2	2	3	1081.6120	-0.12	1081.6108	0.37
3	3	4	721.1700	-0.46	721.1654	0.38
4	4	5	1004.9860	-0.10	1004.9850	0.36
5	5	6	1280.6280	-0.11	1280.6269	0.38
6	1	6	848.5410	-0.40	848.5370	0.38
7	1	7	943.4810	0.64	943.4874	0.29
8	2	7	943.3690	-0.46	943.3644	0.30
9	3	7	1104.5230	0.61	1104.5291	0.30
10	4	7	989.9090	-0.72	989.9018	0.29
11	5	7	854.3620	0.35	854.3655	0.31
12	6	7	1118.0630	0.18	1118.0648	0.31
	SUMMA PVV =		0.00000149			
	SR. GR. MO =		0.00028813			

## PRIKAZ PRIRASTAJA

## TACKA P R I R A S T A J I

	VY (M)	VX (M)
1	-0.0131	-0.0405
2	-0.0221	0.0542
3	0.0233	-0.0417
4	-0.0069	0.0045
5	-0.0053	-0.0054
6	0.0015	-0.0135
7	0.0227	0.0424

## P R I K A Z K O O R D I N A T A

TACKA BR.	PRIBLIZNE KOORDINATE YP	XP	DEFINITIVNE KOORDINATE YD	XD
1	1000.0000	1000.0000	999.9869	999.9595
2	2000.0000	1000.0000	1999.9779	1000.0542
3	2600.0000	1900.0000	2600.0233	1899.9583
4	2200.0000	2500.0000	2199.9931	2500.0045
5	1200.0000	2600.0000	1199.9947	2599.9946
6	400.0000	1600.0000	400.0015	1599.9865
7	1500.0000	1800.0000	1500.0227	1800.0424

## O C E N A T A C N O S T I

TACKA	MY (CM)	MX (CM)	MV (CM)	A (CM)	B (CM)	DELTA
1	0.23	0.22	0.32	0.24	0.21	52.909
2	0.24	0.24	0.34	0.25	0.22	141.549
3	0.24	0.22	0.33	0.24	0.22	98.713
4	0.22	0.22	0.31	0.23	0.22	51.846
5	0.23	0.25	0.34	0.26	0.21	148.968
6	0.26	0.22	0.34	0.26	0.22	94.735
7	0.15	0.16	0.22	0.16	0.15	0.693



DODATAK 4: DEFORMACIJE DUŽINA I UGLOVA ROTACIJE - PROGRAM MRKS

\*\*\*\*\*  
 \* IDENTIFIKACIJA STABILNIH TACAKA \*  
 \* METODOM ROTACIJE KOORDINATNOG \*  
 \* SISTEMA \*  
 \*\*\*\*\*

## KOORDINATE TACAKA

Ti	NULTA EPOHA		TEKUCA EPOHA	
	Yo	Xo	Yi	Xi
1	1000.000	1000.004	999.987	999.960
2	2000.002	1000.003	1999.978	1000.054
3	2599.997	1899.999	2600.023	1899.958
4	2200.000	2500.000	2199.993	2500.005
5	1199.998	2599.994	1199.995	2599.995
6	400.002	1600.003	400.002	1599.986
7	1500.001	1799.999	1500.023	1800.042

BROJ TACAKA U MREZI N= 7

BROJ KOMBINACIJA  $K=N(N-1)/2 = 21$

Ti-Tj	NULTA EPOHA		TEKUCA EPOHA		DEFORMACIJE	
	NIo	So	NIi	Si	dNI	dS
	[o.]	[m]	[o.]	[m.]	["]	[m]
1 2	90.00004	1000.002	89.99457	999.991	19.698	0.011
1 3	60.64233	1835.751	60.64283	1835.787	-1.811	-0.036
1 4	38.65989	1920.935	38.65911	1920.976	2.790	-0.041
1 5	7.12502	1612.442	7.12514	1612.487	-0.416	-0.046
1 6	315.00007	848.526	315.00199	848.537	-6.893	-0.011
1 7	32.00562	943.395	32.00456	943.487	3.817	-0.092
2 3	33.68998	1081.660	33.69489	1081.611	-17.666	0.049
2 4	7.59461	1513.272	7.59546	1513.227	-3.074	0.044
2 5	333.43473	1788.848	333.43458	1788.794	0.562	0.054
2 6	290.55605	1708.800	290.55420	1708.755	6.661	0.045
2 7	327.99449	943.395	327.99655	943.364	-7.417	0.031

3	4	326.31020	721.109	326.30997	721.165	0.817	-0.056
3	5	296.56491	1565.244	296.56577	1565.289	-3.112	-0.046
3	6	262.23492	2220.355	262.23563	2220.378	-2.584	-0.023
3	7	264.80556	1104.532	264.80992	1104.529	-15.707	0.003
4	5	275.71023	1004.989	275.71004	1004.985	0.668	0.004
4	6	243.43500	2012.458	243.43439	2012.462	2.200	-0.003
4	7	224.99992	989.949	225.00034	989.902	-1.532	0.048
5	6	218.65994	1280.616	218.65935	1280.627	2.136	-0.011
5	7	159.44365	854.396	159.44107	854.365	9.299	0.031
6	7	79.69533	1118.033	79.69253	1118.065	10.095	-0.032

(C) I. Aleksic

DODATAK 5: TRANSFORMACIJA KOORDINATA X"Y" U X'Y' - PROGRAM TRAN

```

*****
*   TRANSFORMACIJA KOORDINATA TACAKA KADA   *
*   SU POZNATI PARAMETRI TRANSLACIJE  I   *
*   ROTACIJE KOORDINATNOG SISTEMA         *
*****

```

BROJ TACAKA N= 7

PARAMETAR ROTACIJE FI= 0. 0. 2.000

PARAMETRI TRANSLACIJE: YT= 999.987 XT= 999.960

KOORDINATE TACAKA U SISTEMU XX O YY

Ti	YYi	XXi
1	999.987	999.960
2	1999.978	1000.054
3	2600.023	1899.958
4	2199.993	2500.005
5	1199.995	2599.995
6	400.002	1599.986
7	1500.023	1800.042

TRANSFORMISANE KOORDINATE TACAKA U SISTEM XOY

Ti	Yi	Xi
1	999.987	999.960
2	1999.978	1000.045
3	2600.032	1899.943
4	2200.008	2499.993
5	1200.010	2599.993
6	400.007	1599.992
7	1500.030	1800.038



DODATAK 6: IDENTIFIKACIJA STABILNIH TAČAKA 2-D TEST MREŽE 1 - PROGRAM  
ISTGE2

\*\*\*\*\*  
\* ----- \*  
\* IDENTIFIKACIJA STABILNIH TACAKA U 2-D MREZI \*  
\* ----- \*  
\*\*\*\*\*

PROGRAM : I S T G E 2 ver 2.2

PROJEKAT : TEST MREZA

MESTO / DATUM / VREME : BEOGRAD/20-02-91/

BROJ TACAKA U MREZI: N = 7

Ti	NULTA EPOHA		TEKUCA EPOHA	
	Xi	Yi	XPi	YPi
1	1000.004	1000.000	999.960	999.987
2	1000.003	2000.002	1000.045	1999.978
3	1899.999	2599.997	1899.943	2600.032
4	2500.000	2200.000	2499.993	2200.008
5	2599.994	1199.998	2599.993	1200.010
6	1600.003	400.002	1599.992	400.007
7	1799.999	1500.001	1800.038	1500.030

Ti	PRIVIDNE DEFORMACIJE		RELATIVNE DEFORMACIJE	
	DXP	DYP	DX	DY
1	-0.043	-0.013	-0.037	-0.021
2	0.042	-0.023	0.048	-0.032
3	-0.056	0.035	-0.050	0.027
4	-0.007	0.008	-0.001	0.000
5	-0.001	0.012	0.005	0.003
6	-0.011	0.005	-0.005	-0.003
7	0.039	0.029	0.045	0.021

GRX= -0.006 GRY= 0.008

Ti	VEKTOR	DEFORMACIJA	STABILNA TACKA	
	INTENZITET	SMER	X-OSA	Y-OSA
1	0.043	208.920	NE	NE
2	0.058	326.824	NE	NE
3	0.057	151.519	NE	NE
4	0.001	199.093	**DA**	**DA**
5	0.006	32.037	**DA**	**DA**
6	0.006	214.170	**DA**	**DA**
7	0.050	24.533	NE	NE

Interval granice tacnosti [X-osa] , DGX = 0.010

Interval granice tacnosti [Y-osa] , DGY = 0.010

Broj stabilnih tacaka [X-osa] , BSTX= 3

Broj stabilnih tacaka [Y-osa] , BSTY= 3

.....

: STATISTICKO TESTIRANJE HIPOTEZA :

: STUDENTOV T - TEST :

: Ho: M[d]=0 i Ha: M[d]#0 :

.....

U ODNOSU NA NAJSTABILNIJU(E) TACKU(E)

Ti	X - O S A :		STABILNA TACKA
	SR. GR. REL. DEF	TEST STAT.	
	Md=moSQRT(Qd)	ti=di/Md	
1	0.004	10.250	NE
2	0.004	12.105	NE
3	0.004	13.718	NE
4	0.000	0.000	**DA**
5	0.003	2.004	NE
6	0.003	1.105	**DA**
7	0.003	15.988	NE

Kvantil t-studentove raspodele [t0.95,f]= 1.960

Broj stabilnih tacaka BST= 2

Ti	SR.GR. REL. DEF Md=moSQRT(Qd)	TEST STAT. ti=di/Md	STABILNA TACKA
1	0.004	5.637	NE
2	0.004	8.778	NE
3	0.003	8.856	NE
4	0.000	0.000	**DA**
5	0.004	0.999	**DA**
6	0.004	0.694	**DA**
7	0.003	7.030	NE

Kvantil t-studentove raspodele  $[t_{0.95}, f] = 1.960$

Broj stabilnih tacaka BST= 3

.....  
 : STATISTICKO TESTIRANJE HIPOTEZA :  
 : STUDENTOV T - TEST :  
 : Ho: M[d]=0 i Ha: M[d]#0 :  
 :.....

U ODNOSU NA FIKTIVNU STABILNU TACKU

Ti	PRIVIDNE DEFORMACIJE		RELATIVNE DEFORMACIJE	
	DXP	DYP	DX	DY
1	-0.043	-0.013	-0.035	-0.021
2	0.042	-0.023	0.051	-0.032
3	-0.056	0.035	-0.047	0.027
4	-0.007	0.008	0.002	0.000
5	-0.001	0.012	0.008	0.003
6	-0.011	0.005	-0.002	-0.003
7	0.039	0.029	0.048	0.021
	SUMX= -0.009	SUMY= 0.008		



Ti	INTENZITET	SMER
	VEKTORA	VEKTORA
1	0.040	210.782
2	0.060	328.242
3	0.054	150.150
4	0.002	350.789
5	0.009	22.645
6	0.004	239.172
7	0.052	23.292

----- X - O S A : -----

Ti	SR. GR. REL. DEF	TEST STAT.	STABILNA
	Md=moSQRT(Qd)	ti=di/Md	TACKA
1	0.003	11.147	NE
2	0.003	14.680	NE
3	0.003	16.400	NE
4	0.002	1.105	**DA**
5	0.003	2.691	NE
6	0.002	1.105	**DA**
7	0.002	19.366	NE

Kvantil t-studentove raspodele [t0.95,f]= 1.960

Broj stabilnih tacaka [X-osa] , BSTX= 2

----- Y - O S A : -----

Ti	SR. GR. REL. DEF	TEST STAT.	STABILNA
	Md=moSQRT(Qd)	ti=di/Md	TACKA
1	0.003	7.540	NE
2	0.003	10.158	NE
3	0.003	8.698	NE
4	0.002	0.131	**DA**
5	0.002	1.689	**DA**
6	0.002	1.400	**DA**
7	0.002	10.110	NE

Kvantil t-studentove raspodele [t0.95,f]= 1.960

Broj stabilnih tacaka [Y-osa] , BSTY= 3

DODATAK 7: IDENTIFIKACIJA STABILNIH TAČAKA 2-D TEST MREŽE 2 - PROGRAMISTGE2

```

*****
* ----- *
* IDENTIFIKACIJA STABILNIH TACAKA U 2-D MREZI *
* ----- *
*****

```

PROGRAM : I S T G E 2 ver 2.2

PROJEKAT : TEST MREZA 2

MESTO / DATUM / VREME : /BEOGRAD/25-02-91/

BROJ TACAKA U MREZI: N = 14

	NULTA EPOHA		TEKUCA EPOHA	
Ti	Xi	Yi	XPi	YPi
3	191680.014	103710.018	191679.920	103710.208
5	181690.005	115980.008	181690.146	115980.122
11	121599.995	115599.998	121600.220	115599.987
13	115660.009	84650.000	115659.995	84649.962
15	92849.997	81779.980	92850.094	81779.898
17	84149.987	53549.990	84150.013	53549.960
21	181820.000	68829.995	181819.909	68829.978
35	133609.996	75869.998	133609.963	75869.958
37	106059.992	64500.005	106059.999	64499.983
39	161040.013	93610.000	161040.170	93610.047
41	138700.000	102240.000	138700.172	102240.005
43	165629.990	66860.007	165629.933	66859.976
45	144120.002	64149.994	144119.819	64149.896
47	125209.994	50070.003	125209.906	50069.970

	PRIVIDNE DEFORMACIJE		RELATIVNE DEFORMACIJE	
Ti	DXP	DYP	DX	DY
3	-0.094	0.190	-0.058	0.229
5	0.141	0.114	0.176	0.153
11	0.225	-0.011	0.261	0.028

13	-0.014	-0.038	0.022	0.001
15	0.097	-0.082	0.133	-0.043
17	0.026	-0.030	0.062	0.008
21	-0.091	-0.017	-0.055	0.022
35	-0.033	-0.040	0.003	-0.001
37	0.007	-0.022	0.043	0.016
39	0.157	0.047	0.193	0.086
41	0.172	0.004	0.207	0.043
43	-0.057	-0.031	-0.022	0.008
45	-0.183	-0.098	-0.147	-0.059
47	-0.088	-0.033	-0.052	0.006
	GRX= -0.036	GRY= -0.039		

Ti	VEKTOR	DEFORMACIJA	STABILNA TACKA	
	INTENZITET	SMER	X-OSA	Y-OSA
3	0.236	104.306	**DA**	NE
5	0.233	40.906	NE	NE
11	0.262	6.082	NE	**DA**
13	0.022	2.497	**DA**	**DA**
15	0.140	341.876	NE	**DA**
17	0.062	7.793	**DA**	**DA**
21	0.059	158.660	**DA**	**DA**
35	0.003	337.218	**DA**	**DA**
37	0.046	21.074	**DA**	**DA**
39	0.211	24.075	NE	NE
41	0.212	11.781	NE	**DA**
43	0.023	160.781	**DA**	**DA**
45	0.159	201.977	NE	**DA**
47	0.053	173.725	**DA**	**DA**

Interval granice tacnosti [X-osa] , DGX = 0.080

Interval granice tacnosti [Y-osa] , DGY = 0.071

Broj stabilnih tacaka [X-osa] , BSTX= 8

Broj stabilnih tacaka [Y-osa] , BSTY= 11



```

.....
: STATISTICKO TESTIRANJE HIPOTEZA :
: STUDENTOV T - TEST :
: Ho: M[d]=0 i Ha: M[d]#0 :
:.....

```

U ODNOSU NA NAJSTABILNIJU(E) TACKU(E)

----- X - O S A : -----

Ti	SR. GR. REL. DEF Md=moSQRT(Qd)	TEST STAT. ti=di/Md	STABILNA TACKA
3	0.066	0.922	**DA**
5	0.064	2.695	NE
11	0.047	5.453	NE
13	0.037	0.526	**DA**
15	0.060	2.151	NE
17	0.064	0.927	**DA**
21	0.075	0.773	**DA**
35	0.000	0.000	**DA**
37	0.042	0.963	**DA**
39	0.037	5.141	NE
41	0.033	6.137	NE
43	0.052	0.473	**DA**
45	0.032	4.734	NE
47	0.042	1.320	**DA**

Kvantil t-studentove raspodele [t0.95,f]= 1.960

Broj stabilnih tacaka BST= 8

----- Y - O S A : -----

Ti	SR. GR. REL. DEF Md=moSQRT(Qd)	TEST STAT. ti=di/Md	STABILNA TACKA
3	0.038	6.032	NE
5	0.055	2.778	NE
11	0.029	0.909	**DA**
13	0.000	0.000	**DA**
15	0.040	1.106	**DA**

17	0.065	0.115	**DA**
21	0.050	0.414	**DA**
35	0.028	0.074	**DA**
37	0.038	0.406	**DA**
39	0.038	2.241	NE
41	0.039	1.073	**DA**
43	0.042	0.157	**DA**
45	0.038	1.579	**DA**
47	0.046	0.105	**DA**

Kvantil t-studentove raspodele  $[t_{0.95}, f] = 1.960$

Broj stabilnih tacaka BST= 11

.....  
 : STATISTICKO TESTIRANJE HIPOTEZA :  
 : STUDENTOV T - TEST :  
 : Ho: M[d]=0 i Ha: M[d]#0 :  
 : .....

U ODNOSU NA FIKTIVNU STABILNU TACKU

Ti	PRIVIDNE DEFORMACIJE		RELATIVNE DEFORMACIJE	
	DXP	DYP	DX	DY
3	-0.094	0.190	-0.051	0.226
5	0.141	0.114	0.184	0.150
11	0.225	-0.011	0.268	0.025
13	-0.014	-0.038	0.029	-0.002
15	0.097	-0.082	0.140	-0.046
17	0.026	-0.030	0.069	0.006
21	-0.091	-0.017	-0.048	0.019
35	-0.033	-0.040	0.010	-0.004
37	0.007	-0.022	0.050	0.014
39	0.157	0.047	0.200	0.084
41	0.172	0.004	0.215	0.041
43	-0.057	-0.031	-0.014	0.005
45	-0.183	-0.098	-0.140	-0.062
47	-0.088	-0.033	-0.045	0.003
	SUMX= -0.043	SUMY= -0.036		

Ti	INTENZITET VEKTORA	SMER VEKTORA
3	0.232	102.714
5	0.237	39.291
11	0.269	5.383
13	0.029	356.947
15	0.147	341.826
17	0.069	4.909
21	0.052	158.321
35	0.011	339.902
37	0.052	15.571
39	0.217	22.678
41	0.219	10.743
43	0.015	160.707
45	0.153	203.876
47	0.045	175.894

----- X - O S A : -----

Ti	SR. GR. REL. DEF Md=moSQRT(Qd)	TEST STAT. ti=di/Md	STABILNA TACKA
3	0.053	0.965	**DA**
5	0.055	3.355	NE
11	0.044	6.021	NE
13	0.033	0.899	**DA**
15	0.054	2.599	NE
17	0.053	1.302	**DA**
21	0.063	0.762	**DA**
35	0.027	0.376	**DA**
37	0.033	1.527	**DA**
39	0.029	6.968	NE
41	0.033	6.600	NE
43	0.045	0.319	**DA**
45	0.036	3.861	NE
47	0.038	1.200	**DA**

Kvantil t-studentove raspodele [t<sub>0.95</sub>,f]= 1.960

Broj stabilnih tacaka [X-osa] , BSTX= 8



----- Y - OSA : -----			
Ti	SR. GR. REL. DEF	TEST STAT.	STABILNA
	Md=moSQRT(Qd)	ti=di/Md	TACKA
3	0.028	8.012	NE
5	0.050	3.019	NE
11	0.027	0.933	**DA**
13	0.024	0.064	**DA**
15	0.036	1.279	**DA**
17	0.052	0.114	**DA**
21	0.037	0.515	**DA**
35	0.022	0.164	**DA**
37	0.027	0.522	**DA**
39	0.028	2.983	NE
41	0.033	1.245	**DA**
43	0.028	0.180	**DA**
45	0.027	2.302	NE
47	0.036	0.090	**DA**

Kvantil t-studentove raspodele  $[t_{0.95, f}] = 1.960$

Broj stabilnih tacaka  $[Y-osa]$  , BSTY= 10

(C) I. A.

DODATAK 8: IDENTIFIKACIJA STABILNIH TAČAKA U 1-D MREŽI U SLUČAJU GRANIČNIH  
POMERANJA - PROGRAM ISTGE1

```
*****
*
* IDENTIFIKACIJA STABILNIH TACAKA U 1-D MREZI *
*
*****
```

```
PROGRAM : I S T G E 1 ver 1.0
PROJEKAT : TEST 1-D MREZA (S1.8.5.1)
MESTO / DATUM / VREME : 20.09
BROJ TACAKA U MREZI: N = 5
```

	NULTA SERIJA	TEKUCA SERIJA	
Ti	Xi	XPi	
1	9.999	9.999	
2	20.001	20.001	
3	30.000	30.000	
4	40.000	40.005	
5	49.999	49.995	
	PRIVIDNA	RELATIVNA	STABILNA
	POMERANJA	POMERANJA	TACKA
Ti	DXP	DX	
1	0.000	0.000	**DA**
2	-0.001	0.000	**DA**
3	0.000	0.000	**DA**
4	0.005	0.005	NE
5	-0.005	-0.004	NE
GRX=	0.000		

Interval granice tacnosti , DGX = 0.002

Broj stabilnih tacaka , BSTX= 3

.....  
 : STATISTICKO TESTIRANJE HIPOTEZA :  
 : STUDENTOV T - TEST :  
 : Ho:  $M[d]=0$  i Ha:  $M[d]\neq 0$  :  
 :.....

U ODNOSU NA NAJSTABILNIJU(E) TACKU(E)

Ti	SR. GR. REL. DEF Md=moSQRT(Qd)	TEST STAT. ti=di/Md	STABILNA TACKA
1	0.001	0.827	**DA**
2	0.000	0.000	**DA**
3	0.001	0.311	**DA**
4	0.001	5.668	NE
5	0.001	4.225	NE

Kvantil t-studentove raspodele  $[t_{0.95}, f]= 3.306$

Broj stabilnih tacaka BST= 3

.....  
 : STATISTICKO TESTIRANJE HIPOTEZA :  
 : STUDENTOV T - TEST :  
 : Ho:  $M[d]=0$  i Ha:  $M[d]\neq 0$  :  
 :.....

U ODNOSU NA FIKTIVNU STABILNU TACKU

Ti	PRIVIDNA POMERANJA DXP	RELATIVNA POMERANJA DX
1	0.000	0.000
2	-0.001	0.000
3	0.000	0.000
4	0.005	0.005
5	-0.005	-0.004
	SUMX= 0.000	



Ti	SR. GR. REL. DEF	TEST STAT.	STABILNA
	Md=moSQRT(Qd)	ti=di/Md	TACKA
1	0.001	0.741	**DA**
2	0.001	0.673	**DA**
3	0.001	0.113	**DA**
4	0.001	5.766	NE
5	0.001	5.019	NE

Kvantil t-studentove raspodele [t<sub>0.95,f</sub>]= 3.306

Broj stabilnih tacaka , BSTX= 3

\* MATRICA B(I,J) \*

0.667	-0.333	-0.333	0.000	0.000
-0.333	0.667	-0.333	0.000	0.000
-0.333	-0.333	0.667	0.000	0.000
-0.333	-0.333	-0.333	1.000	0.000
-0.333	-0.333	-0.333	0.000	1.000

\* MATRICA QDx=2 B Qx BT \*

0.3408	-0.1482	-0.1926	-0.1038	0.2964E-01
-0.1482	0.2963	-0.1482	0.7411E-01	0.7411E-01
-0.1926	-0.1482	0.3408	0.2964E-01	-0.1038
-0.1038	0.7411E-01	0.2964E-01	0.7853	0.2519
0.2964E-01	0.7411E-01	-0.1038	0.2519	0.7853

(C) I. A.

DODATAK 9: SEKVENCIJALNI MODEL OPTIMIZACIJE U DEFORMACIONIM MREZAMA

## OPTIMIZACIJA TEST 1-D DEFORMACIONE MREŽE

Matrica kofaktora relativnih pomeranja

$$Q_d = 2 B Q_x^A B^T = \begin{bmatrix} 0.341 & -0.148 & -0.193 & -0.104 & 0.030 \\ & 0.296 & -0.148 & 0.074 & 0.074 \\ & & 0.341 & 0.030 & -0.104 \\ & \text{simetrično} & & 0.785 & 0.252 \\ & & & & 0.785 \end{bmatrix}$$

Korelaciona matrica relativnih pomeranja

$$R_d = \begin{bmatrix} 1 & -0.466 & -0.565 & -0.201 & 0.057 \\ & 1 & -0.466 & 0.145 & 0.154 \\ & & 1 & 0.057 & -0.201 \\ & \text{simetrično} & & 1 & 0.321 \\ & & & & 1 \end{bmatrix}$$

Kovarijaciona kriterijum matrica osetljivosti

$$K_d = D_d R_d D_d = \begin{bmatrix} 0.234 & -0.109 & -0.132 & -0.047 & 0.013 \\ & 0.234 & -0.109 & 0.036 & 0.036 \\ & & 0.234 & 0.013 & -0.047 \\ & \text{simetrično} & & 0.234 & 0.075 \\ & & & & 0.234 \end{bmatrix}$$

$$D = \text{Diag} (\sigma_{d_i}), \quad \sigma_{d_i} = 0.484 \text{ mm}, \quad i=1,2,\dots,5$$

Kovarijaciona kriterijum matrica nepoznatih

$$K_{\hat{x},d} = \begin{bmatrix} 0.139 & -0.047 & -0.044 & -0.039 & -0.009 \\ & 0.110 & -0.047 & -0.008 & -0.009 \\ & & 0.139 & -0.009 & -0.039 \\ & & & \text{simetrično} & 0.068 & -0.012 \\ & & & & & 0.068 \end{bmatrix}$$

gde je pseudo inverzija

$$(B^T B)^+ = \begin{bmatrix} 0.747 & -0.253 & -0.253 & -0.119 & -0.121 \\ & 0.747 & -0.253 & -0.119 & -0.121 \\ & & 0.747 & -0.119 & -0.121 \\ & & & \text{simetrično} & 0.681 & -0.321 \\ & & & & & 0.681 \end{bmatrix}$$

Dijagonalni koeficijenti matrica  $R$ ,  $K_{\hat{1}}$  i  $D_{\hat{1}}$  su

$$\text{Diag } R = \begin{bmatrix} 0.467 \\ 0.533 \\ 0.533 \\ 0.467 \\ 0.533 \\ 0.467 \\ 0.533 \\ 0.467 \end{bmatrix}, \quad \text{Diag } K_{\hat{1}} = \begin{bmatrix} 0.366 \\ 0.343 \\ 0.343 \\ 0.225 \\ 0.194 \\ 0.160 \\ 0.194 \\ 0.225 \end{bmatrix}, \quad \text{Diag } D_{\hat{1}} = \begin{bmatrix} 0.886 \\ 0.802 \\ 0.802 \\ 0.694 \\ 0.603 \\ 0.586 \\ 0.603 \\ 0.694 \end{bmatrix}$$



## DODATAK 10: TABLICE

## KRITERIJUMI ISKLJUČENJA GRUBIH GREŠAKA

Kritične vrednosti  $t_{n,\alpha}$  - Tompsonovo pravilo.

n	$\alpha$				
	0.002	0.01	0.02	0.05	0.10
1	1.414	1.414	1.414	1.410	1.397
2	1.730	1.723	1.715	1.645	1.559
3	1.982	1.948	1.917	1.757	1.611
4	2.178	2.106	2.051	1.814	1.631
5	2.329	2.218	2.142	1.848	1.640
6	2.447	2.301	2.207	1.870	1.644
7	2.541	2.364	2.256	1.885	1.647
8	2.616	2.414	2.294	1.896	1.648
9	2.679	2.454	2.324	1.904	1.649
10	2.731	2.486	2.348	1.910	1.649
11	2.775	2.513	2.368	1.915	1.649
12	2.812	2.536	2.385	1.920	1.650
13	2.845	2.556	2.399	1.923	1.650
14	2.874	2.573	2.411	1.926	1.650
15	2.899	2.588	2.422	1.929	1.649
16	2.921	2.601	2.431	1.931	1.649
17	2.941	2.613	2.440	1.933	1.649
18	2.959	2.623	2.447	1.934	1.649
19	2.975	2.632	2.454	1.936	1.649
20	2.990	2.641	2.460	1.937	1.649
21	3.003	2.649	2.465	1.938	1.649
22	3.015	2.655	2.470	1.939	1.649
23	3.026	2.662	2.475	1.940	1.649
24	3.037	2.668	2.479	1.941	1.649
25	3.047	2.673	2.483	1.942	1.648
26	3.055	2.678	2.486	1.943	1.648
27	3.064	2.683	2.490	1.943	1.648
28	3.071	2.687	2.493	1.944	1.648
29	3.078	2.691	2.496	1.945	1.648
30	3.085	2.695	2.498	1.945	1.648
31	3.092	2.699	2.501	1.946	1.648
32	3.098	2.702	2.503	1.946	1.648
33	3.103	2.705	2.505	1.947	1.648
34	3.108	2.708	2.507	1.947	1.648
35	3.114	2.711	2.509	1.947	1.648
36	3.118	2.713	2.511	1.948	1.648
37	3.123	2.716	2.513	1.948	1.648
38	3.127	2.718	2.514	1.948	1.648
39	3.131	2.720	2.516	1.949	1.647
40	3.135	2.723	2.518	1.949	1.647
41	3.139	2.725	2.519	1.949	1.647
42	3.142	2.727	2.520	1.950	1.647
43	3.145	2.729	2.522	1.950	1.647
44	3.149	2.730	2.523	1.950	1.647
45	3.152	2.732	2.524	1.950	1.647
46	3.155	2.734	2.525	1.951	1.647
47	3.158	2.735	2.526	1.951	1.647
48	3.161	2.736	2.527	1.951	1.647
49	3.163	2.738	2.528	1.951	1.647
50	3.165	2.739	2.529	1.951	1.647
55	3.176	2.746	2.533	1.952	1.647
60	3.186	2.750	2.537	1.953	1.647
65	3.194	2.755	2.540	1.954	1.646
70	3.201	2.759	2.541	1.954	1.646
75	3.207	2.762	2.545	1.955	1.646
80	3.212	2.765	2.547	1.955	1.646
85	3.216	2.767	2.548	1.955	1.646
90	3.220	2.769	2.550	1.955	1.646
95	3.224	2.771	2.551	1.955	1.646
100	3.227	2.773	2.553	1.956	1.646



## LITERATURA

- [ 1] Alberda, J.E. (1980). A review of analysis techniques for engineering survey control Schemes, Industrial and Engineering Survey Conference, London.
- [ 2] Aleksić, I. (1988a). Optimizacija merenja u geodetskim mrežama, Magistarski rad, Građevinski fakultet, Beograd.
- [ 3] Aleksić, I. (1988b). Optimizacija geodetskih mreža modifikovanom metodom minimalne norme, Geodetski list br. 7-9, Zagreb.
- [ 4] Aleksić, I. (1989a). Identifikacija stabilnih tačaka geodetskih 2-D mreža - program ISTGE2, Geodetski list, br.4-6, Zagreb.
- [ 5] Aleksić, I. (1989b). Eksperimentalna analiza identifikacije stabilnih tačaka metodama translacije i rotacije koordinatnog sistema, Geodetska služba, br.54, Beograd.
- [ 6] Aleksić, I. (1990a). Optimization of geodetic networks with stochastic observations, The 8-th International Symposium on Geodetic Computation, Wuhan, China.
- [ 7] Aleksić, I. (1990b). Geodezija 3-zbirka rešenih zadataka Naučna knjiga, Beograd.
- [ 8] Ašanin, S. (1986). Prilog obradi i analizi geodetskih merenja za određivanje pomeranja i deformacija objekata i tla, Doktorska disertacija, Građevinski fakultet, Beograd.
- [ 9] Baarda, W. (1968). A testing procedure for use in geodetic networks, Netherlands Geodetic Commission, New series, Volume 2, Number 5, Delft.



- [10] *Baarda, W. (1967). Statistical concepts in geodesy, Netherlands Geodetic Commission, New series, Volume 2, Number 4, Delft.*
- [11] *Banov, B. (1982). Special method to derive a criterion matrix, Survey Control Networks, Munchen.*
- [12] *Baumer, R. und Heister, H. (1984). Das programm - SYSTEM NOPTI II zum entwurf des optimalen beobachtungsplanes geodatischer lagenetze nach invariante kriterien, Beitrage aus dem Institut fur Geodasie, Heft 10, Munchen.*
- [13] *Bilajbegović, A. (1983). Optimizacije geodetskih mreža Zbornik radova, Niz A - Svezak br.35, Geodetski fakultet, Zagreb.*
- [14] *Bill, R., Muller, H., Schmitt, G. and Monicke, H.J. (1983). Der optimale Entwurf eines Staudamm-Überwachungsnetze, AVN, Heft 10.*
- [15] *Bill, R. (1985). Kriteriummatrizen ebener geodatischer Netze, DGK, Reihe A, Heft Nr. 102, Munchen.*
- [16] *Cross, P. and Thapa, K. (1977). The optimal design of levelling networks, Survey Review XXV.*
- [17] *Caspary, W. and Borutta, H. (1987). Robust estimation in deformation models, Survey Review.*
- [18] *Caspary, W. (1988). Concept of network and deformation analysis, Monograph 11, The University of New South Wales, Australia.*
- [19] *De Heus, H. (1982). Data-snooping in control networks, Survey Control Networks, Munchen.*
- [20] *Deformationsanalysen (1983). Geometrische Analyse und Interpretation von Deformationen Geodatischer Netze, Munchen.*
- [21] *Einstein, A. (1961). What is the theory of relativity, Srpska akademija nauka i umetnosti, Beograd.*
- [22] *Fletcher, R. (1987). Practical Methods of Optimization Chichester, New York, Brisbane, Toronto, Singapore.*

- [23] Forstner, W. (1985). Reliability, gross error detection and Selfcalibration, Photogrammetry Engineering, Institute for Photogrammetry, Stuttgart.
- [24] Gaspar, P. und Schmit, G. (1989). Design zweiter Ordnung durch diskrete suboptimale Programmierung, AVN, Heft 6.
- [25] Grafarend, E. and Schraffrin, B. (1976). Equivalence of Estimable Quantities and Invariants in Geodetic Networks, ZfV, Nr 11/976.
- [26] Grafarend, E. (1976). Space-time differential geodesy, The Ohio State University.
- [27] Grafarend, E. and Schaffrin, B. (1979). Variance-Covariance- Component Estimation of Helmert Type, Surveying and Mapping, Vol. XXXIX, No.3.
- [28] Grafarend, E. (1979). Optimierung geodatischer Mesoperationen, Karlsruhe.
- [29] Hahn, M. (1986). Comparison of different methods and strategies for detecting outliers in data, Karlsruhe.
- [30] Heck, B. (1980). Statistische ausreisserkriterien zur kontrolle geodatischer beobachtungen, VIII Internat. kurs feuer ingenieurvermessung, Zuerich.
- [31] Hoppe, H. und Kaltenbach, H. (1989). Gewichtsoptimierung angeschlossener geodatischer Netze, DGK, Reihe A, Heft Nr. 105.
- [32] Huaxue, T. and Fengxiang, J. (1990). Method of dynamic programming with multiobjective function to determination of crustal movements, XIX Internationaler kongress, Helsinki.
- [33] Illner, M. (1987). Ausgleichungs und Optimierungsmodelle der Netzverdichtung, AVN, Heft 3.
- [34] Kok, J. J. (1982). Statistical analysis of deformation problems using Baarda's testing procedures, Published in Forty Yers of Thought Delft University of Technology, Delft.

- [35] Kok, J.J. (1983). Simuliertes Beobachtungsmaterial für das Testnetz zur Deformationsanalyse, Geometrische Analyse und Interpretation von Deformationen Geodätischer Netze, München.
- [36] Kok, J.J. (1984). On Data Snooping and Multiple Outlier Testing, National Geodetic Survey, Rockville.
- [37] Mihailović, K. (1985a). Nov pristup za određivanje stabilnih tačaka kod deformacionih merenja, Zbornik radova Instituta za geodeziju, br.24, Beograd.
- [38] Mihailović, K. (1985b). Identifikacija stabilnih tačaka na osnovu rotacije koordinatnog sistema, Geodetska služba, br. 43, Beograd.
- [39] Mihailović, K. (1985c). Određivanje stabilnih repera, Geodetska služba, br.43, Beograd.
- [40] Mihailović, K. i Vračarić, K. (1985d). Geodezija 3, Naučna knjiga, Beograd.
- [41] Mihailović, K. (1988a). Optimizacija merenih veličina u geodetskim mrežama, Geodetska služba, br.51, Beograd.
- [42] Mihailović, K. (1988b). Identifikacija stabilnih tačaka, Savetovanje, Priština.
- [43] Mihailović, K. (1986a). Položajne greške tačaka u gradskim mrežama, Geodetski list, br. 7-12, Zagreb.
- [44] Mihailović, K. (1986b). Matematička obrada merenih veličina pri određivanju deformacija, Geodetski list, br 4-6, Zagreb.
- [45] Mihailović, K. (1986c). Nov pristup pri određivanju broja merenja, odnosno broja girusa, Geodetska služba br. 46, Beograd.
- [46] Mihailović, K. (1991a). Izravnanje geodetskih mreža, Monografija u rukopisu, Naučna knjiga, Beograd.
- [47] Mihailović, K. (1991b). Kritički osvrt na mogućnosti otkrivanja grubih grešaka, Geodetska služba, br.60, Beograd.



- [48] Muller, H. (1986). Zur Berücksichtigung der Zuverlässigkeit bei der Gewichtsoptimierung geodatischer Netze, ZfV, Heft 4.
- [49] Murle, M. and Bill, R. (1984). Zuverlässigkeits und Genauigkeitsuntersuchung ebener geodatischer Netze, AVN.
- [50] Niemeier, W. (1988). Deformationsanalyse aktueller stand in theorie und praxis, X. Internationaler Kurs für Ingenieurvermessung, München.
- [51] Neimeier W. (1989). Zur Zuverlässigkeit geodatischer Systeme, Problemformulierung und Lösungsansätze, Hanover.
- [52] Ninkov, T. (1985). Deformaciona analiza i njena praktična primena, Geodetski list, br.7-9, Zagreb.
- [53] Ninkov, T. (1989). Optimizacija projektovanja geodetskih mreža, Naučna knjiga, Beograd.
- [54] Ninkov, T. i Aleksić, I. (1990). Upoređivanje rezultata optimizacije geodetskih mreža po raznim kriterijumima, Geodetski list, br.4-6, Zagreb.
- [55] Ninkov, T. (1982). Matematička optimizacija projektovanja geodetskih mreža, Doktorska disertacija, Građevinski fakultet, Beograd.
- [56] Pelzer, H. (1977). Criteria for the reliability of geodetic networks, International Symposium on optimization of design and computation of control networks, Sopron.
- [57] Pelzer, H. (1985). Geodatische Netze in Landes- und Ingenieurvermessung II, Stuttgart.
- [58] Perović, G. (1986). Singularna izravnjanja, Naučna knjiga, Beograd.
- [59] Perović, G. i Ašanin, S. (1989). Pouzdanost poligonometrijskih mreža, Geodetski list, br. 10-12, Zagreb.

- [60] Perović, G. i Ašanin, S. (1985). Optimalno projektovanje gradskih poligonometrijskih mreža, Građevinski fakultet, Beograd.
- [61] Perović, G. i Ašanin, S. (1987). Definisanje razmere i njen uticaj na preciznost i pouzdanost mreža, Svetovanje o osnovnim geodetskim radovima, Struga.
- [62] Peiliang, X. (1989). On robust estimation with correlated observations, Bulletin Geodesique, V.63, No.3.
- [63] Rao, C. and Mitra, S. (1971). Generalized Inverse of Matrices and its Applications, New York.
- [64] Schmitt, G. (1982). Optimization of geodetic Networks, Reviews of geophysics and space physics, Vol.20, No.4.
- [65] Stefanović, P. (1978). Blunders and least squares, ITC Journal.
- [66] Teunissen, P. (1984). Quality control in geodetic networks, 3rd Course: Optimization and Design of Geodetic Networks, Erice-Trapani-Sicily.
- [67] Van Mierlo, J. (1981). Second order design: precision and reliability aspects, AVN, Heft 3.
- [68] Van Mierlo, J. (1982). A review of model checks and reliability, DGK, Reihe B, Heft Nr.258/V, Munchen.
- [69] Van Mierlo, J. und Hahn, M. (1987). Konsequenzen für die Zuverlässigkeitsmasse infolge der Elimination von Beobachtungen, AVN, No. 3.
- [70] Van Mierlo, J. (1987). Die folge einer gewichtsänderung einer beobachtung auf die zuverlässigkeitsmasse, Geodetski fakultet, Zagreb.
- [71] Van Mierlo, J. and Fahlbusch, T. (1990). Structure and Design of GPS- Network, XIX International Congress Helsinki, Finland.
- [72] Vučković, S. (1988). Neki savremeni postupci pri analizi i obradi geodetskih deformacionih merenja, Magistarski rad, Građevinski fakultet, Beograd.

- [73] Čvorović, M. (1986). Prilog metodologiji otkrivanja stabilnih tačaka u trigonometrijskoj mreži pri pomera-  
nju tla i objekata, Disertacija, Građevinski fakultet,  
Beograd.
- [74] Zhang, Z. and Li, X. (1990). New Method for Monitoring  
Networks Base, ZfV, Heft 6.
- [75] Welsch, W. (1979). A review the adjustment of free net-  
works, Survey Review, No. 194.
- [76] William, H. P., Brian, P. F., Saul, A. T. and William, T. V.  
(1986). Numerical Recipes, Cambridge University Press  
Cambridge.
- [77] Yan, Z. (1987). Beitrage zum Entwurf von optimalen Beo-  
bachtungsplanen fur tektonische Uberwachungsnetze,  
Dissertation, Universitat der Bundeswehr, Munchen.

---

AVN - Allgemeine Vermessungs Nachrichten.

ZfV - Zeitschrift fur Vermessungswesen

DGK - Deutsche Geodatische Kommission











